50376
1974
9-2

50376
1974
9-2

LILLE

1972

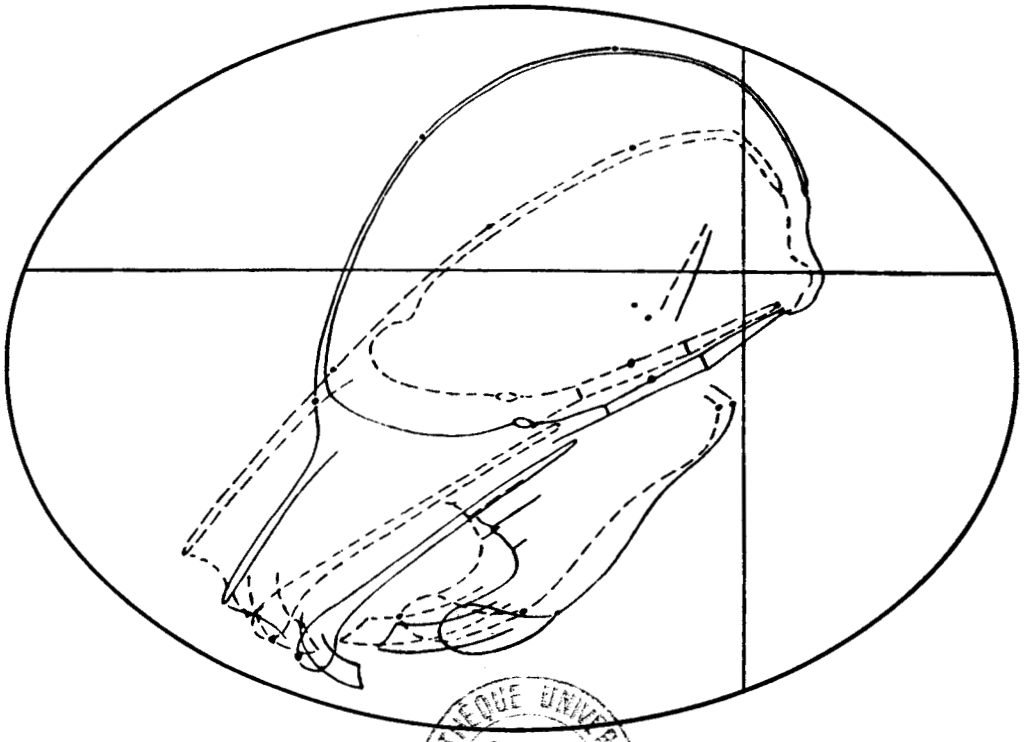

BIBLIOTHÈQUE UNIVERSITAIRE
Section de SCIENCES
LILLE

Documents sur l'Hydrocéphalie provoquée chez le rat

Pierre DESTOMBES

Annexe de la Thèse

Cet ouvrage a pour objet de présenter au lecteur de la thèse, l'ensemble des documents de base recueillis après orientation vestibulaire des crânes de 148 rats rendus hydrocéphales par une injection intracisternale d'une suspension de kaolin, et des 160 témoins correspondants.

Il a été conçu comme un document de référence sur lequel reposent la plupart des investigations avancées dans la thèse, et en est une annexe.

Constitué dans sa majeure partie de tableaux de chiffres, il nous a semblé utile, dans un certain nombre de cas tout au moins, d'y adjoindre les figures correspondantes de façon à mieux visualiser les résultats obtenus.

Quant à la mise en page que nous avons retenue, elle a été établie tant pour les tableaux que pour l'iconographie, de façon à pouvoir comparer à chaque instant les valeurs obtenues chez les sujets traités (H) et les témoins (T) correspondants.

On trouvera successivement :

- La présentation du matériel d'étude.

- Le glossaire définissant les paramètres retenus, ainsi que tous les termes couramment utilisés.

- L'ensemble des mesures effectuées : Coordonnées vestibulaires des points,
Paramètres linéaires et angulaires,
Indices et capacités.

- Les résultats statistiques de chaque population.

- La comparaison des populations.

- L'iconographie : Profils moyens orientés,
Ellipses équiprobables,
Intervalles de confiance,
Histogrammes.

Une brève introduction précède chacune de ces différentes parties afin de rappeler au lecteur les méthodes et techniques employées et de lui notifier les conventions adoptées. Il convient d'ailleurs de signaler à ce propos que nous nous sommes volontairement abstenus d'en présenter ici quelque justification que ce soit ; cela fera l'objet de la thèse proprement dite.

Tableaux 1 à 5

•
• •

MATERIEL D'ETUDE

• •
•

Les tableaux 1 à 5 présentent les références du matériel d'étude que nous avons retenu pour notre travail.

Successivement et en suivant la progression des âges croissants, sont disposées les classes des hydrocéphales (H) et celles des témoins (T) correspondants, chacune étant affectée d'un numéro en indice (et dans certains cas, du sexe en exposant ; ex.: $H_6^{♂}$).

- Ont été ainsi définies 8 classes d'hydrocéphales, soient : H_1, H_2, H_3, H_4, H'_4, H_5, $H_6^{♂}$ et $H_6^{♀}$.

Le groupe des H'_4, constitué seulement de 2 individus, n'a pas pu être retenu pour les divers calculs statistiques. Cependant les valeurs enregistrées permettent une comparaison utile avec les groupes voisins.

Les classes H_2, H_3 et H_4 ont fait l'objet d'un regroupement pour les calculs statistiques, ce qui constitue une série complémentaire.

- Conjointement, chez les témoins, 8 classes ont été établies. Il s'agit des T_o, T_1, T_2, T_3, T_4, T_5, $T_6^{♂}$ et $T_6^{♀}$.

L'effectif de chacune d'elles a toujours été maintenu égal à celui des hydrocéphales correspondants (portant le même numéro en indice).

Quelques sujets du groupe T_2 se retrouvent chez les T_1 et quelques-uns du groupe T_5 chez les T_3 et les T_4. Cela est nécessité par le fait que pour une même tranche de poids, deux types d'hydrocéphales devront être analysés : les "lents" et les "rapides".

La classe T_o répond à un stade néo-natal que l'on ne retrouve évidemment pas chez les hydrocéphales. Il est constitué de 14 sujets nouveau-nés, de différentes portées, des deux sexes, et pesant 5,8 grammes en moyenne.

On repérera dans chaque tableau, de gauche à droite :

- Le numéro d'ordre attribué le jour de la mort ou du sacrifice.
- Le sexe, qu'il nous fut parfois impossible de définir avec certitude (?) par suite de cannibalisme.
- L'âge (en jours). Chez les hydrocéphales, deux chiffres sont indiqués :

Le premier marque l'âge qu'avait le sujet lors de l'injection de kaolin. Le deuxième correspond à la durée de survie après le traitement. L'âge réel est la somme des deux.

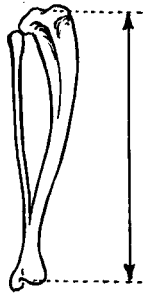

- Le poids (en grammes) est le poids maximal qu'a présenté l'animal au cours de sa vie ; ce n'est pas nécessairement celui enregistré à la mort du sujet (notamment chez les jeunes hydrocéphales qui voient leur poids décroitre les derniers jours de leur vie).

- La longueur du tibia (en millimètres) a été mesurée sur téléradiographie (à 2 mètres) du profil droit du tibia du côté gauche, entre le plateau tibial de l'extrémité supérieure et les gorges articulaires de la mortaise inférieure, non compris les deux malléoles externe et interne (Vr. schéma).

H_1					T_1				
N°	Sexe	Age	Poids	Tibia	N°	Sexe	Age	Poids	Tibia
9	♂	5 + 16	17		501	♂	10	20	14,5
21	?	10 + 24	36		502	♂	10	21	14,5
28	♀	10 + 13	22	17,1	503	♂	10	20	14
31	♀	10 + 22	37	21,7	504	♂	10	19	14,2
48	♂	8 + 15	18	15,2	505	♀	10	20	14,2
61	♀	8 + 22	33	19,8	506	♀	10	20	14,5
66	?	6 + 12	13		508	♂	10	20	14,1
104	♂	6 + 20	27	18,2	509	♀	10	17	13,7
117	♀	6 + 8	13	12	515	♀	14	30	16,5
122	♀	6 + 8	11	12,5	516	♀	14	25	16
134	♀	11 + 20	33	19,7	518	♀	20	36	19,5
150	♀	7 + 16	18	16,1	519	♀	20	32	18,8
159	♀	6 + 19	24	18,4	533	♀	25	25	19,1
H_2					T_2				
1	♂	2 + 31	26	19,1	517	♂	20	37	19,8
4	♀	5 + 29	25	19,1	518	♀	20	36	19,5
8	♂	7 + 44	40	22,4	519	♀	20	32	18,8
23	♀	10 + 22	37	21,8	520	♂	20	35	19,6
42	♂	8 + 27	40	21,7	521	♂	20	38	19,8
47	♂	8 + 25	31	19,8	522	♀	20	37	20,3
54	♂	8 + 22	31	20,2	523	♀	20	37	
70	♀	7 + 40	33	21,1	524	♂	25	33	20,6
96	♂	7 + 22	46	21,5	525	♀	25	36	21,1
103	♀	6 + 25	40	19,4	526	♀	25	37	21,4
141	♀	6 + 25	43	22	527	♂	25	35	21,1
162	♂	4 + 30	34	22,1	528	♀	25	35	20,8
169	♀	3 + 26	29	19,8	530	♀	25	34	19,3
175	♂	2 + 35	31	20,4	531	♂	25	39	20,1
192	♂	3 + 27	31	20,5	532	♀	25	31	20,6
196	♂	3 + 30	40	22,8	533	♀	25	25	19,1
208	♀	2 + 32	32	20,3	534	♂	25	33	20,1
209	♀	2 + 25	49	21,4	540	♀	30	45	21,9

Tableau 1

H_3					T_3				
N°	Sexe	Age	Poids	Tibia	N°	Sexe	Age	Poids	Tibia
12	♂	5 + 45	50	25,7	535	♂	30	68	24,1
38	♀	10 + 42	56	25,2	536	♂	30	62	23,4
53	♂	7 + 38	73	26,6	537	♂	30	62	23,9
56	♀	7 + 28	51	23,9	538	♂	30	67	23,9
67	♂	6 + 25	62	23,5	539	♀	30	62	23,2
72	♂	7 + 25	50	23,1	541	♀	30	65	23,8
81	♂	7 + 26	50	23,4	543	♂	35	77	25,6
82	♀	7 + 30	49	23,7	544	♂	35	82	25,8
89	♀	7 + 30	45	23,2	545	♀	35	78	25,4
110	♀	6 + 39	50	24	546	♀	35	75	24,9
116	♂	6 + 37	46	23,1	547	♀	35	68	25,3
148	♀	7 + 34	64	25,7	548	♀	35	77	26
188	♂	4 + 33	40	23,4	549	♂	35	73	25,8
190	♂	4 + 35	38	23,9	550	♀	35	78	25,7
194	♀	3 + 49	51		556	♀	41	80	26,1
217	♀	3 + 29	41	23,1	560	♂	41	84	27
H_4					T_4				
197	♀	3 + 49	99		542	♂	35	85	27,1
215	♂	3 + 47	84	28,4	552	♂	41	89	27
219	♂	3 + 45	93	27,4	554	♂	41	100	27,4
272	♂	7 + 51	90	30,8	559	♀	41	94	27,1
H'_4									
41	♂	10 + 249	222	38,8					
121	♀	6 + 219	187	34,6					

BUS LILLE

Tableau 2

H_5					T_5				
N°	Sexe	Age	Poids	Tibia	N°	Sexe	Age	Poids	Tibia
6	♀	5 + 93	70	26,5	535	♂	30	68	24,1
25	♂	10 + 96	162	32,8	538	♂	30	67	23,9
36	♀	10 + 62	113		539	♀	30	62	23,2
62	♂	8 + 38	105	28,1	541	♀	30	65	23,8
75	♀	6 + 59	67	26	545	♀	35	78	25,4
115	♂	6 + 59	62	26,6	546	♀	35	75	24,9
154	♀	6 + 67	112		547	♀	35	68	25,3
160	♀	6 + 67	167		550	♀	35	78	25,7
163	♀	4 + 60	123	30	551	♂	41	85	26,2
164	♂	4 + 60	121		553	♂	41	112	28,7
166	♀	4 + 60	137		554	♂	41	100	27,4
167	♂	4 + 53	112	28,5	555	♂	41	105	27,5
178	♂	2 + 56	67	25,3	556	♀	41	80	26,1
184	♀	4 + 49	107		557	♀	41	90	26,6
186	♀	4 + 49	122		558	♀	41	90	27
195	♀	3 + 49	140		559	♀	41	94	27,1
200	♂	3 + 42	155		560	♂	41	84	27
201	♀	3 + 42	142		562	♀	50	160	30,9
210	♂	2+105	68	24,3	565	♀	50	150	30,5
223	♀	2 + 35	88		567	♂	61	180	33,2
224	♂	2 + 35	88		568	♀	61	120	30,1
229	♀	3 + 37	97		569	♂	61	165	32,4
238	♀	2 + 37	102		570	♀	61	140	31,3
254	♀	8 + 55	145		571	♀	61	150	31,8
257	♀	5 + 38	115		572	♀	61	130	31,3
259	♀	5 + 38	106		573	♂	61	170	32,5
261	♂	5 + 38	121		575	♀	61	145	31,4

BUS LILLE

Tableau 3

H_6 ♂					T_6 ♂				
N°	Sexe	Age	Poids	Tibia	N°	Sexe	Age	Poids	Tibia
2	♂	3 + 125	200	34,7	563	♂	50	210	31,9
3	♂	5 + 620	336	38,2	564	♂	50	185	32,6
7	♂	7 + 580	497	43,3	566	♂	61	185	33,4
13	♂	5 + 548	281	37,4	580	♂	74	235	36,5
18	♂	10 + 538	270	38,4	581	♂	74	230	35,3
27	♂	10 + 192	325	38,6	585	♂	98	265	36
35	♂	10 + 184	392		587	♂	98	280	38,1
43	♂	8 + 459	500	42,2	588	♂	98	255	36,3
52	♂	7 + 457	475	41,2	594	♂	153	410	40,7
63	♂	8 + 128	296	38,4	595	♂	146	335	38,7
74	♂	6 + 621	427	40,5	596	♂	146	324	37,8
76	♂	6 + 424	440	40,8	597	♂	146	332	38,8
83	♂	7 + 423	595	43	604	♂	194	390	40,6
91	♂	7 + 423	465	42,1	608	♂	258	385	41
93	♂	7 + 308	454		622	♂	298	485	42,2
94	♂	7 + 620	487		623	♂	298	485	42
99	♂	6 + 416	575	41,8	625	♂	331	505	43
102	♂	6 + 416	570	38,9	632	♂	368	545	43,1
109	♂	6 + 594	495	41,3	634	♂	368	520	43,2
112	♂	6 + 467	365	42,2	635	♂	368	440	42,1
114	♂	6 + 468	570	46,2	636	♂	368	570	44,2
123	♂	6 + 617	557	42,2	637	♂	368	460	42,1
138	♂	6 + 289	670		643	♂	432	480	42,4
140	♂	6 + 465	605	41,9	644	♂	432	490	43,4
143	♂	6 + 237	243	37,9	649	♂	496	494	43
146	♂	7 + 67	202	33,7	651	♂	496	437	42,4
156	♂	6 + 67	226		652	♂	496	452	42,8
157	♂	6 + 67	218		653	♂	527	465	43,5
172	♂	3 + 620	305	40,6	654	♂	546	445	41,8
177	♂	2 + 446	400	40,9	655	♂	548	515	43,5
202	♂	3 + 506	477	43,6	659	♂	608	600	43,8
204	♂	3 + 506	550	43,7	660	♂	608	505	43,6
207	♂	3 + 211	450		661	♂	608	570	43
250	♂	8 + 55	199		662	♂	608	474	43,2
276	♂	7 + 492	435	43	663	♂	608	550	43,5
279	♂	6 + 492	485	43,4	664	♂	608	390	42,5

Tableau 4

BDS LILLE

H_6 ♀					T_6 ♀				
N°	Sexe	Age	Poids	Tibia	N°	Sexe	Age	Poids	Tibia
17	♀	10 + 452	210	34,7	578	♀	74	220	33,5
24	♀	10 + 196	330		593	♀	98	210	34,8
46	♀	8 + 459	225	36,9	599	♀	155	250	36,5
49	♀	7 + 457	480	37	601	♀	155	245	36,2
55	♀	8 + 164	181	35,4	605	♀	194	280	36,1
64	♀	8 + 128	190		606	♀	192	262	37,3
65	♀	8 + 128	210		607	♀	192	300	35,8
71	♀	7 + 417	277	36	612	♀	258	265	38,3
73	♀	6 + 621	315	37	614	♀	258	250	37,2
77	♀	6 + 424	320		615	♀	258	255	36,5
78	♀	6 + 621	350	36,2	616	♀	267	330	
80	♀	7 + 254	341	37,7	618	♀	298	240	36,4
85	♀	7 + 132	265		619	♀	298	290	37,8
86	♀	7 + 620	340	39,3	627	♀	368	345	37,7
88	♀	7 + 563	335	37,6	628	♀	368	345	38,6
90	♀	7 + 441	280	34,3	629	♀	368	345	37,4
92	♀	7 + 620	418	39,5	630	♀	368	360	38
95	♀	7 + 423	278	38,1	631	♀	368	265	37,8
118	♀	6 + 412	300	37,5	639	♀	411	340	41
125	♀	6 + 644	310	36,1	641	♀	432	285	36,8
126	♀	6 + 644	257	37	642	♀	432	310	38,2
127	♀	6 + 532	335	37	645	♀	463	237	37
130	♀	9 + 643	314	36,1	647	♀	496	230	36,3
136	♀	11 + 432	347	38,2	648	♀	496	270	37
137	♀	11 + 409	345	36	656	♀	548	285	37,2
139	♀	6 + 612	297	36,9	657	♀	548	300	38,8
149	♀	7 + 67	195	34,1	658	♀	546	292	36,4
205	♀	3 + 506	265	36,2	665	♀	608	330	37,8
216	♀	3 + 501	270	36,7	666	♀	608	319	37,5
218	♀	3 + 501	313	37,4	667	♀	608	280	38,2
269	♀	10 + 492	202	36,2	668	♀	608	350	39,5
284	♀	3 + 485	320	39,3	669	♀	608	318	38

Tableau 5

GLOSSAIRE

POINTS *(FIGURE A1)*

1 - NEUROCRANE

A - Voute du crâne

Point central des axes

Point virtuel déterminé par l'intersection des trois plans : horizontal vestibulaire, vertico-frontal vestibulaire et sagittal médian.

Nasion (Na)

Intersection de la suture naso-frontale par le plan sagittal médian.

Bregma (Br)

Point de rencontre, sur l'exocrâne, de la suture coronale avec la suture sagittale inter-pariétale

Lambda (L)

Point de rencontre, sur l'exocrâne, de la suture inter-pariétale et de la suture pariéto-occipitale.

Inion (I)

Point situé à l'extrémité distale de la protubérance occipitale externe (Paramètre retenu chez les adultes seulement).

Opisthion (Op)

Section, par le plan sagittal médian,du bord supérieur du foramen magnum.

Prévestibion (p.v.)

Point d'intersection de la paroi exocrânienne du frontal, avec l'axe vestibulaire horizontal.

Rétrovestibion (r.v.)

Point d'intersection du profil postérieur du crâne, projeté sagittalement, avec l'axe vestibulaire horizontal.

B - Base du crâne

Basion (Ba)

Point d'intersection du bord inférieur du foramen magnum avec le plan sagittal médian.

Point occipito-sphénoïdal (O.S.)

Point exocrânien situé, dans le plan sagittal, sur la suture entre le basi-sphénoïde et le basi-occipital.

Point S (S)

Point virtuel, pris contre l'os sphénoïde, au milieu de la selle turcique.

Point optique (Opt)

Point correspondant au centre de la projection du débouché endocrânien du canal optique.

2 - SPLANCHNOCRANE

A - Massif facial

Prosthion (Pr)

Point médian le plus antérieur et inférieur du rebord alvéolaire supérieur.

Rhinion (Rh)

Extrémité inférieure de la suture internasale.

B - Mandibule

Symphysaire inférieur (S.i.)

Point médian, le plus inférieur et postérieur de la symphyse mandibulaire.

Alvéolaire inférieur (A.i.)

Point médian, le plus antérieur et supérieur du rebord alvéolaire inférieur.

Condylien ou Condyloïdien de Topinard (Cond)

En projection sagittale, point le plus élevé du condyle mandibulaire, en orientation vestibulaire.

Gonion (Go.)

En projection sagittale, point extrême postérieur de l'angle de la mandibule orientéeselon sa branche horizontale.

PLANS ET LIGNES

Plan vestibulaire horizontal

Il est déterminé par la direction du canal semi-circulaire externe gauche, projeté sagittalement.

Plan vestibulaire vertico-frontal

Perpendiculaire au plan vestibulaire horizontal et au plan médian sagittal, il passe par les points : vestibions internes (centres des boucles des canaux semi-circulaires).

Plan sagittal "médian"

Plan vertical, perpendiculaire aux deux précédents, passant par le milieu de l'axe vestibien de Perez (axe réunissant les deux vestibions internes, droit et gauche). On considère que dans ce plan, appelé encore plan d'énantiomorphie, se situent ou se projettent les points médians du crâne.

Plan triturant

Il est déterminé par la direction du bord apical de l'ensemble des molaires supérieures et inférieures.

Plan palatin ou ligne palatine

Plan ou ligne correspondant à la direction générale de la voûte palatine, en arrière du canal naso-palatin.

Ligne condylo-goniaque

Droite joignant, en projection sagittale, le point condylien au point Gonion.

DISTANCES

Longueur Nasion-Opisthion (Na-Op)

Distance comprise entre ces deux points ; elle exprime la longueur du neuro-crâne.

Longueur Rhinion-Opisthion (Rh-Op)

Distance comprise entre ces deux points ; elle exprime la longueur totale de la tête.

Longueur prévestibulaire (p.v.)

Distance comprise entre le point central des axes et le prévestibion.

Longueur rétro-vestibulaire (r.v.)

Distance comprise entre le point central des axes et le rétrovestibion.

Hauteur sus-vestibulaire (h.s.v.)

Hauteur maximale comprise entre le plan horizontal et la table interne de la voûte du neurocrâne.

Hauteur hypo-vestibulaire (h.h.v.)

Elle est mesurée entre le centre de la projection sagittale du trou optique et le plan horizontal vestibulaire.

Hauteur maximale au point S (h)

Hauteur endocrânienne prise au point S, perpendiculairement à la direction générale de la base.

Flèche de courbure (f)

Distance correspondant, sur l'exocrâne, à l'arc sous-tendu par la corde Rhinion-Opisthion.

Largeur maximale (l)

Chez le rat normal, elle joint, à droite et à gauche, les points situés immédiatement au-dessus de l'implantation du zygoma sur l'écaille temporale. Pour certaines pièces particulièrement globuleuses, il nous a paru plus judicieux de retenir la mesure exocrânienne prise entre les points les plus latéraux des pariétaux (Euryons).

INDICES

100 r.v./p.v.

Indice permettant de comparer le crâne rétro-vestibulaire au crâne prévestibulaire.

100 h.h.v./h.s.v.

Indice permettant de comparer la hauteur sous-vestibulaire du crâne à sa hauteur sus-vestibulaire.

100 f./Rh-Op

Considéré comme le rapport de la flèche de courbure à la corde Rhinion-Opisthion, cet indice permet d'apprécier le degré de voûssure du neurocrâne.

100 h/Na-Op

Cet indice compare la hauteur à la longueur du neurocrâne.

ANGLES *(FIGURE A2)*

A. foraminien ou foramino-vestibulaire

Compris entre l'axe horizontal vestibulaire et la droite Basion-Opisthion. L'angle mesuré est postéro-supérieur.

A. palatin ou A. d'inclinaison du plan palatin ou encore A. palato-vestibulaire

Compris entre le plan horizontal vestibulaire et le plan palatin. L'angle mesuré est postéro-supérieur.

A. tentorial ou A. tentorio-vestibulaire

Compris entre la projection sagittale du bord pétreux tentorial et le plan vestibulaire horizontal. L'angle mesuré est postéro-supérieur.

A. extérieur de la base ou A. d'inclinaison de la base

Il est compris entre le prolongement de la portion antérieure de la base exocrânienne sous le sphénoïde, et l'horizontale vestibulaire. L'angle mesuré est antéro-inférieur.

A. occipito-sphénoïdal

Angle pris sur l'exocrâne, et centré au niveau de la suture du même nom. Ses côtés sont la direction du basi-occipital et celle de la partie plus antérieure de la base.

A. alvéolaire inférieur-Point Condylien-Gonion

Il est mesuré dans son ouverture inférieure.

CAPACITES

Cette mesure estimée, ne correspond pas exactement au volume de l'endocrâne, mais en donne cependant une notion approchée. Elle est établie à partir du calcul du volume d'un ellipsoïde dont les trois diamètres correspondent à la longueur Nasion-Opisthion (Na-Op), la hauteur maximale endocrânienne au point S (h), et la largeur maximale (l).

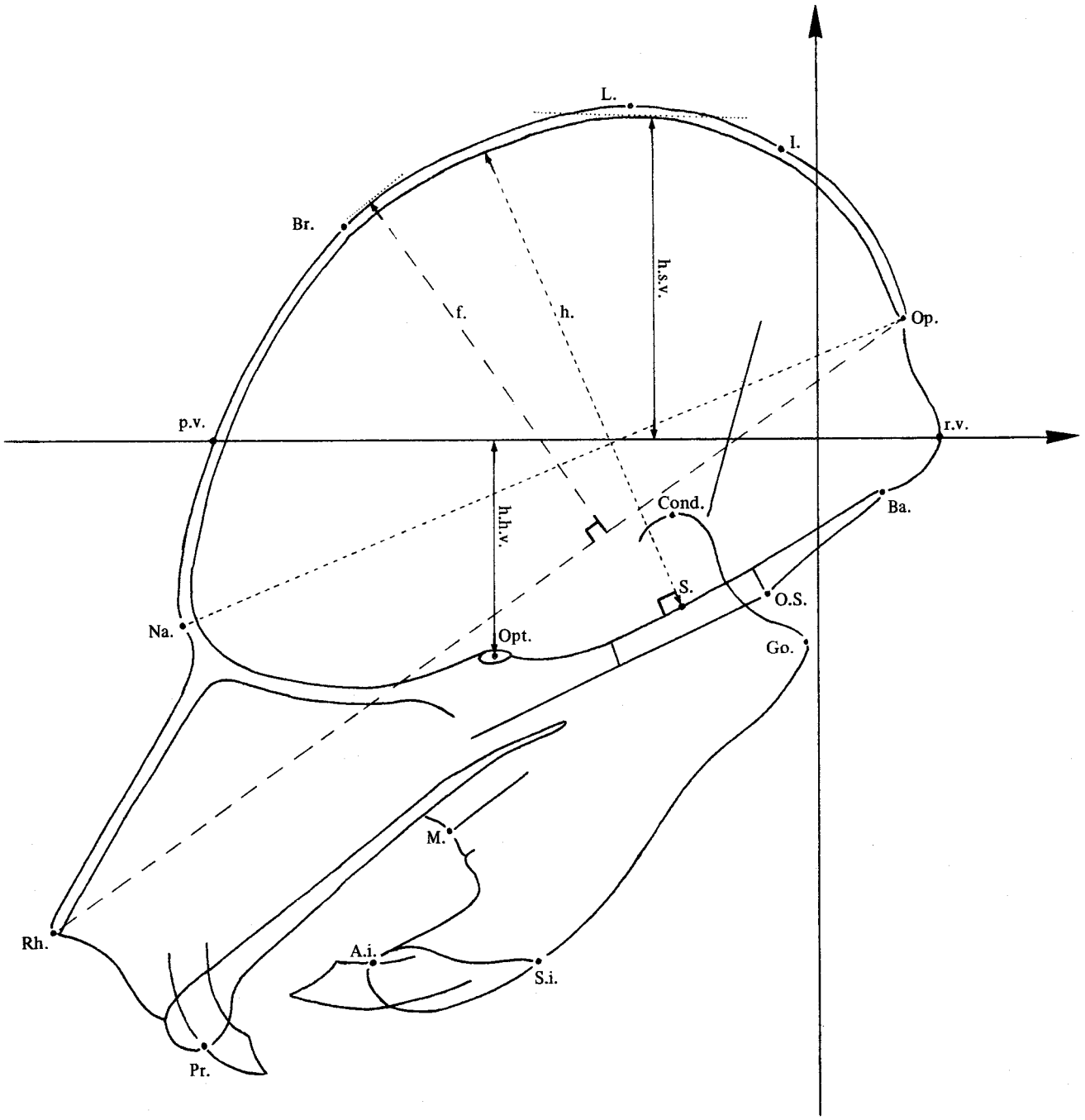

Figure A1

POINTS CRANIOMETRIQUES

ET PARAMETRES LINEAIRES

BUS LILLE

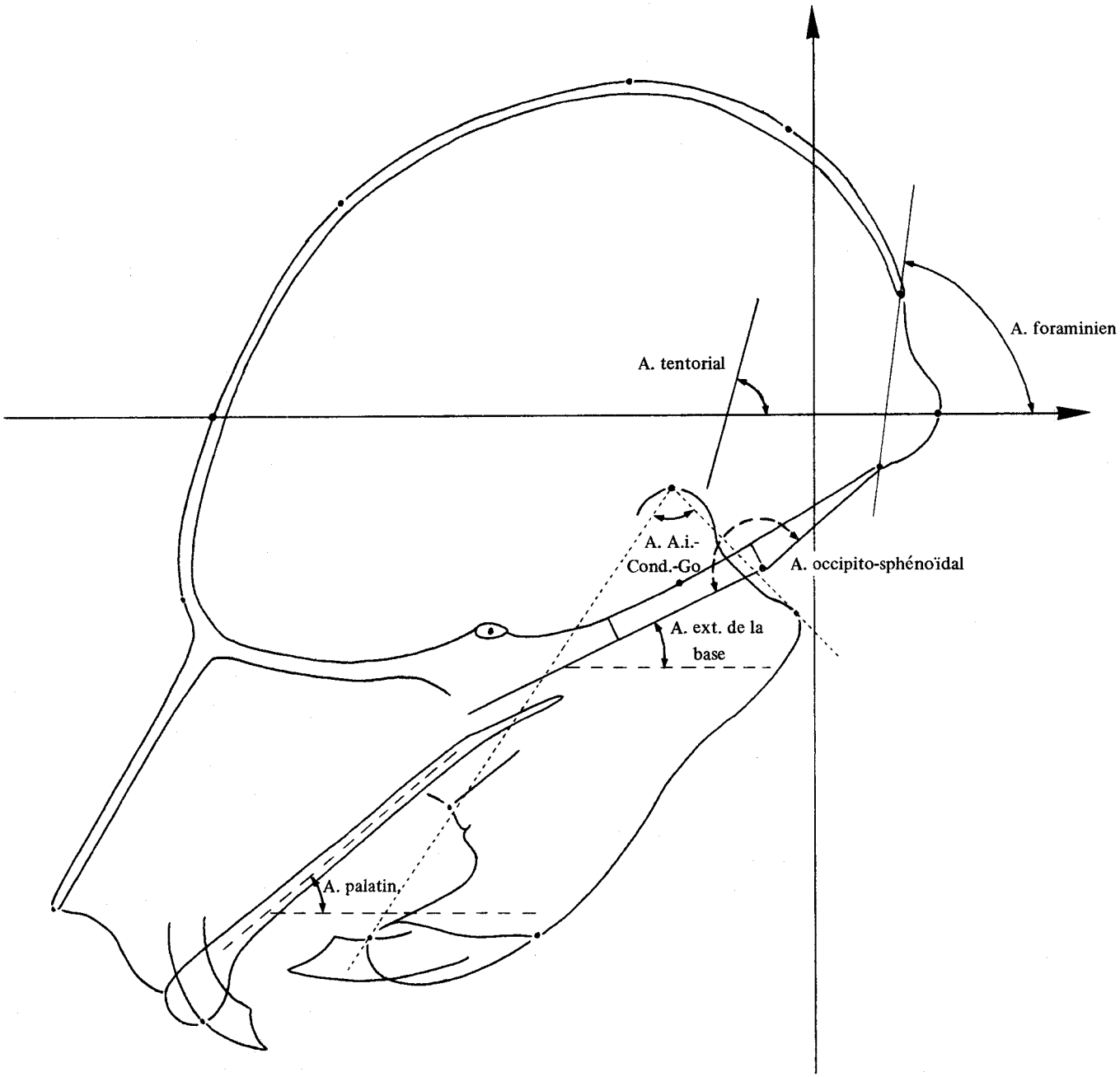

Figure A2

PARAMETRES ANGULAIRES

BUS LILLE

MESURES DE BASE

L'ensemble des mesures relevées sur les crânes des rats traités et des témoins, repérés chacun par un numéro d'ordre (à gauche des tableaux, sous l'abréviation indiquant le groupe considéré) est reporté :

- Pour les coordonnées vestibulaires, dans les **Tableaux 6 à 21 bis**.
- Pour les longueurs, indices, angles et capacités, dans les **Tableaux 22 à 29 bis**.

Tous les résultats sont représentés par leur valeur réelle.

En effet, les dessins sagittaux ou en projection sagittale ayant été faits sous appareil optique agrandisseur, les mesures linéaires prises sur les calques (précision 0,5 mm) ont dû être ensuite réduites à leur grandeur naturelle, en divisant par le coefficient d'agrandissement (3,1 pour tous les crânes sauf pour les T_o où le coefficient est de 5,8).

Quant aux indices et aux angles, ils n'ont pas à subir cette correction.

Les capacités approchées (Cf. précédemment : glossaire) ont été établies suivant la formule $4/3\ \pi\ \frac{a.b.c.}{8}$ où a est la longueur Na-Op, b la largeur l, et c la hauteur h.

En se référant aux axes vestibulaires, les différents points étudiés se situent dans l'un des quatre quadrants ainsi délimités dans le plan sagittal ; leurs coordonnées doivent être affectées d'un signe soit positif, soit négatif, sachant que les axes de référence sont orientés positivement vers le haut et vers l'arrière du crâne. Notons que, dans les tableaux, seuls les signes négatifs ont été imprimés. Pour chaque point (sauf ceux situés sur un axe comme c'est le cas pour p.v. et r.v.), les abréviations A et O ont été utilisées respectivement pour l'abscisse et l'ordonnée.

Les unités sont exprimées :

- En millimètres (mm) pour tous les paramètres linéaires.
- En millimètres carrés (mm^2) pour les surfaces.
- En millimètres cubes (mm^3) pour les capacités.
- En degrés et fractions décimales de degrés pour les angles.
- En "points" d'indices pour ceux-ci.

Tableaux 6 à 21 bis

•
• •

COORDONNEES VESTIBULAIRES DES POINTS

• •
•

T_o	Pr		Rh		Na		Br		L		Op		Ba	
	A	O	A	O	A	O	A	O	A	O	A	O	A	O
801	-10,9	-7,4	-12,8	-5,9	-10,4	-1,5	-7,2	2,5	-3,2	3,8	1,7	2,1	1,8	-1,2
802	-10,7	-8,3	-13,4	-6,7	-11,0	-2,4	-7,1	2,5	-3,3	3,8	1,9	2,5	1,7	-0,9
803	-10,4	-6,9	-11,8	-5,9	-9,5	-1,4	-6,1	2,8	-2,2	4,1	2,6	2,1	2,5	-0,7
804	-10,7	-6,9	-12,5	-5,4	-9,5	-0,9	-6,0	2,6	-2,1	3,7	2,2	2,2	2,1	-1,0
805	-9,6	-6,5	-11,2	-5,3	-9,5	-1,4	-6,0	2,7	-2,6	3,8	2,1	1,9	1,9	-1,3
806	-10,3	-7,4	-12,2	-6,2	-10,2	-1,7	-6,4	2,6	-2,7	3,6	2,0	2,2	2,1	-1,1
807	-9,5	-7,2	-11,4	-5,3	-8,7	-1,2	-5,5	2,2	-2,1	3,4	2,1	1,6	2,2	-0,7
808	-11,5	-7,6	-13,3	-6,8	-10,8	-1,1	-6,5	3,1	-2,8	4,1	2,2	2,4	1,9	-1,0
809	-11,1	-8,4	-12,8	-6,9	-10,7	-2,1	-7,0	2,5	-3,8	4,2	2,2	2,6	2,2	-0,9
810	-12,2	-7,9	-14,0	-6,2	-11,6	-1,7	-7,2	2,7	-3,2	4,1	1,4	2,5	1,6	-0,7
811	-11,5	-7,5	-13,1	-5,2	-10,5	-1,2	-6,8	2,9	-3,1	4,5	2,2	2,7	2,2	-0,8
812	-12,2	-8,2	-14,0	-6,4	-11,6	-1,7	-7,0	3,6	-3,3	5,0	1,8	2,7	2,2	-0,9
813	-10,5	-7,1	-12,5	-6,3	-10,0	-1,5	-6,5	3,3	-2,9	4,7	2,2	2,7	2,3	-0,5
814	-10,5	-6,5	-12,2	-5,3	-9,9	-1,0	-6,3	3,6	-3,2	4,6	1,9	2,7	1,6	-0,9

Tableau 6

T_o	O.S.		S		Opt.		S.i.		A.i.		M.		Cond.		Go.	
	A	O	A	O	A	O	A	O	A	O	A	O	A	O	A	O
801	-1,4	-2,0	-2,8	-1,8	-6,5	-2,4	-5,9	-7,6	-9,3	-7,4	-7,2	-5,3	-2,8	-1,1	-1,2	-2,9
802	-1,4	-2,2	-2,8	-1,9	-6,3	-2,9	-5,5	-8,0	-9,2	-8,2	-7,0	-5,9	-3,4	-1,1	-1,2	-2,7
803	-0,5	-1,7	-2,0	-1,5	-5,3	-2,3	-5,7	-7,3	-8,7	-7,4	-6,6	-5,5	-2,7	-1,0	-0,9	-2,8
804	-0,9	-2,2	-2,2	-1,9	-6,6	-2,6	-5,6	-7,2	-9,1	-7,2	-6,9	-5,6	-3,0	-1,0	-1,4	-2,8
805	-1,4	-1,9	-2,8	-1,7	-5,3	-2,4	-5,3	-7,2	-8,4	-7,2	-6,0	-5,0	-2,9	-1,3	-1,2	-2,7
806	-0,6	-2,2	-2,1	-1,8	-5,9	-2,2	-5,9	-7,9	-9,1	-8,1	-6,9	-5,7	-2,8	-1,2	-1,8	-3,4
807	-0,5	-1,6	-1,7	-1,6	-5,3	-2,5	-4,3	-6,9	-7,7	-7,4	-5,7	-5,4	-2,8	-1,0	-1,2	-2,6
808	-1,4	-1,7	-2,7	-1,5	-6,0	-2,2	-6,6	-7,3	-9,5	-6,8	-7,2	-4,7	-2,9	-0,9	-1,2	-2,9
809	-1,1	-2,2	-2,8	-1,9	-6,2	-2,8	-5,7	-8,9	-9,1	-9,0	-7,1	-6,2	-3,5	-0,9	-1,7	-3,0
810	-1,5	-2,1	-2,9	-2,1	-6,6	-2,8	-6,7	-8,6	-10,2	-8,6	-8,5	-6,6	-3,8	-1,5	-2,2	-3,4
811	-0,7	-2,0	-2,2	-1,8	-5,7	-2,3	-5,5	-8,0	-9,7	-8,1	-7,3	-5,9	-2,4	-0,9	-1,2	-3,1
812	-1,1	-2,0	-2,8	-1,7	-6,4	-2,2	-6,3	-8,6	-10,0	-8,7	-7,8	-6,5	-3,0	-1,0	-1,6	-2,6
813	-0,3	-1,8	-1,9	-1,6	-5,1	-2,2	-5,2	-7,8	-9,0	-7,7	-6,7	-5,3	-3,3	-1,0	-1,8	-2,9
814	-0,9	-1,9	-2,4	-1,8	-5,8	-2,4	-5,0	-7,3	-8,6	-7,6	-6,6	-5,0	-3,3	-1,0	-1,8	-2,6

Tableau 7

BUS LILLE

	Pr		Rh		Na		Br		L		Op		Ba	
	A	O	A	O	A	O	A	O	A	O	A	O	A	O
H_1														
9	-17,3	-13,1	-20,0	-9,8	-16,5	-3,2	-11,3	5,2	-4,2	7,7	2,9	3,2	1,3	-1,6
21	-19,4	-16,5	-23,9	-12,3	-17,9	-4,2	-11,3	4,2	-4,7	7,1	2,4	3,5	2,4	-1,5
28	-18,1	-14,7	-21,0	-10,8	-17,3	-3,5	-12,3	5,3	-5,5	8,9	2,6	3,7	1,8	-1,3
31	-20,8	-15,8	-24,0	-12,1	-18,1	-4,2	-11,1	3,5	-4,2	6,8	3,1	3,1	2,4	-2,3
48	-16,1	-15,0	-19,4	-11,6	-16,5	-5,2	-12,6	4,4	-5,5	8,4	2,4	3,5	2,1	-1,1
61	-20,8	-14,2	-24,7	-10,8	-18,7	-2,6	-12,3	5,8	-4,2	8,9	2,9	3,9	1,9	-1,5
66	-13,7	-13,2	-16,8	-10,8	-14,2	-4,8	-10,0	3,5	-3,7	6,3	2,9	2,6	1,9	-1,6
104	-19,8	-15,0	-23,7	-11,5	-18,1	-3,9	-12,6	5,2	-4,7	8,2	2,9	2,9	1,1	-1,6
117	-14,5	-12,6	-18,5	-10,6	-14,8	-3,5	-9,0	4,8	-3,5	6,3	2,6	2,9	1,6	-1,3
122	-14,8	-11,6	-16,8	-9,2	-14,7	-4,0	-10,6	4,5	-4,2	7,3	2,3	3,1	1,5	-1,0
134	-18,2	-15,2	-22,3	-12,6	-17,7	-4,5	-12,3	5,2	-5,6	8,2	2,9	4,2	2,1	-1,0
150	-18,7	-13,2	-21,8	-9,8	-16,9	-3,4	-11,6	4,8	-4,2	7,9	3,2	2,7	1,3	-1,8
159	-19,0	-14,4	-21,9	-11,6	-17,7	-3,5	-12,1	6,1	-4,5	9,0	2,9	2,9	1,9	-1,5
T_1														
501	-17,1	-12,3	-20,2	-9,5	-16,3	-3,5	-10,3	3,4	-4,2	5,8	1,9	3,2	1,6	-1,3
502	-17,7	-12,3	-20,5	-9,4	-16,8	-3,7	-10,8	3,1	-4,5	5,5	1,9	2,7	0,8	-1,8
503	-17,4	-11,5	-20,2	-8,1	-16,5	-3,2	-10,5	3,9	-4,0	6,0	2,1	3,2	1,1	-1,0
504	-16,8	-11,9	-20,0	-8,7	-16,0	-3,1	-10,0	3,7	-3,9	6,3	2,3	3,2	1,8	-1,3
505	-16,3	-12,7	-19,5	-10,0	-15,8	-4,0	-10,6	2,9	-3,9	6,0	2,4	3,2	1,9	-1,0
506	-17,1	-12,3	-20,5	-9,7	-16,1	-3,4	-10,5	3,4	-4,5	6,1	2,3	3,2	1,5	-1,0
508	-16,6	-12,6	-19,8	-10,0	-16,1	-4,0	-10,3	3,2	-4,2	6,1	2,3	3,5	1,3	-1,3
509	-16,8	-11,3	-19,4	-8,5	-16,1	-3,2	-10,0	3,5	-3,5	5,5	1,9	2,9	1,5	-1,3
515	-19,7	-14,2	-23,1	-10,5	-18,2	-3,9	-11,6	2,9	-5,2	5,6	1,9	3,5	1,0	-1,3
516	-17,4	-15,2	-21,5	-12,3	-16,8	-4,7	-11,5	2,9	-4,8	6,0	1,9	3,9	1,8	-1,0
518	-20,5	-15,7	-24,2	-12,6	-18,2	-4,5	-12,4	2,7	-5,5	6,1	2,1	4,0	1,7	-1,6
519	-19,5	-15,5	-23,9	-12,3	-18,1	-4,0	-12,3	2,6	-5,6	6,1	1,8	4,2	1,1	-1,1
533	-20,0	-15,8	-23,9	-12,3	-18,2	-4,5	-11,0	2,3	-4,5	5,6	1,9	4,0	1,5	-1,5

Tableau 8

LILLE

	O.S.		S.		Opt.		S.i.		A.i.		M.		Cond.		Go.	
	A	O	A	O	A	O	A	O	A	O	A	O	A	O	A	O
H_1																
9	-2,1	-3,4	-4,2	-3,4	-9,2	-4,2	-8,2	-11,9	-13,1	-12,7	-10,2	-9,0	-4,2	-1,8	-1,8	-5,3
21	-1,3	-3,9	-4,0	-3,9	-9,7	-5,6	-9,0	-15,2	-14,0	-14,5	-11,6	-10,8	-4,2	-1,6	-0,6	-5,8
28	-1,5	-3,4	-3,9	-3,4	-9,4	-5,0	-9,0	-13,1	-13,5	-13,5	-11,1	-9,8	-4,5	-1,8	-1,6	-5,5
31	-1,5	-4,5	-4,0	-4,5	-9,7	-5,5	-9,0	-14,8	-14,5	-14,8	-11,8	-10,8	-3,7	-1,9	-0,6	-6,3
48	-1,3	-3,5	-3,5	-4,2	-8,7	-5,8	-6,9	-13,4	-11,6	-14,2	-9,4	-10,3	-3,5	-1,6	-1,1	-5,2
61	-1,5	-3,4	-4,4	-3,5	-10,5	-4,5	-10,0	-13,7	-15,2	-13,7	-10,6	-9,4	-4,7	-0,8	-1,5	-5,3
66	-1,0	-3,5	-2,9	-3,9	-7,1	-5,6	-6,3	-11,9	-10,0	-12,3	-8,4	-9,0	-3,1	-1,9	-0,6	-5,0
104	-2,7	-3,5	-4,8	-3,5	-10,2	-5,8	-9,4	-13,5	-14,7	-13,5	-11,9	-10,0	-4,5	-2,1	-1,8	-5,5
117	-1,6	-3,1	-3,9	-3,2	-7,4	-4,2	-7,3	-11,3	-11,1	-11,0	-9,0	-7,4	-3,5	-1,5	-1,3	-4,2
122	-1,6	-2,9	-3,7	-3,1	-7,4	-4,2	-6,5	-10,3	-10,2	-11,0	-8,7	-8,2	-3,7	-1,8	-1,3	-3,9
134	-1,3	-3,5	-4,0	-3,7	-9,7	-5,5	-7,9	-13,9	-12,6	-14,2	-10,8	-10,3	-4,2	-1,3	-1,0	-5,2
150	-2,1	-3,7	-4,0	-3,5	-9,2	-5,0	-9,4	-12,9	-14,5	-13,2	-11,3	-9,7	-4,0	-1,8	-1,6	-5,8
159	-1,8	-3,7	-4,2	-3,9	-9,0	-4,8	-9,5	-14,0	-13,9	-13,9	-11,5	-10,0	-3,9	-1,6	-1,6	-6,0
T_1																
501	-1,9	-2,7	-4,5	-2,7	-9,0	-3,7	-10,2	-11,3	-13,4	-10,8	-10,6	-8,2	-3,7	-0,8	-1,5	-5,0
502	-2,6	-3,2	-4,8	-3,2	-9,5	-4,4	-10,3	-11,8	-13,9	-10,6	-12,1	-8,7	-5,3	-0,6	-1,9	-5,3
503	-2,4	-2,6	-4,7	-2,4	-9,7	-3,2	-9,8	-11,3	-14,0	-11,5	-11,1	-8,2	-4,5	-1,1	-2,9	-5,3
504	-1,8	-2,3	-4,2	-2,3	-9,0	-3,5	-9,4	-11,0	-13,1	-11,0	-11,0	-8,2	-5,3	-0,8	-2,4	-4,7
505	-1,6	-2,6	-3,9	-2,6	-9,0	-3,7	-8,4	-11,0	-13,4	-11,6	-10,5	-8,7	-4,2	-0,6	-1,0	-4,5
506	-1,8	-2,6	-4,2	-2,6	-9,7	-3,7	-8,1	-10,0	-12,1	-10,0	-11,3	-8,2	-4,2	-1,1	-1,3	-4,5
508	-1,9	-2,6	-4,0	-2,6	-9,0	-3,5	-9,0	-11,6	-13,2	-11,5	-10,8	-8,5	-4,7	-0,6	-2,3	-5,2
509	-1,9	-2,7	-4,2	-2,6	-9,0	-3,5	-10,0	-11,1	-13,5	-10,6	-11,1	-7,6	-4,7	-0,6	-2,3	-4,5
515	-2,6	-3,2	-5,3	-3,2	-11,0	-4,5	-11,0	-13,4	-12,7	-13,2	-12,4	-9,7	-5,0	-1,8	-2,4	-6,0
516	-1,9	-2,9	-4,4	-3,2	-9,4	-4,7	-8,7	-12,9	-14,2	-13,7	-11,1	-10,0	-5,2	-1,6	-1,6	-5,6
518	-2,3	-3,4	-4,5	-3,5	-9,5	-5,5	-10,6	-15,2	-16,3	-14,8	-12,4	-10,6	-4,4	-1,9	-1,6	-6,0
519	-2,4	-3,2	-5,0	-3,4	-10,5	-4,8	-9,8	-13,9	-15,5	-14,0	-12,3	-10,3	-4,5	-1,1	-1,8	-6,1
533	-2,3	-3,9	-4,5	-3,7	-9,8	-5,2	-7,7	-13,4	-13,7	-14,2	-11,5	-10,6	-4,5	-1,9	0,0	-5,0

SUS LILLE

Tableau 9

	Pr		Rh		Na		Br		L		Op		Ba	
	A	O	A	O	A	O	A	O	A	O	A	O	A	O
H_2														
1	-16,3	-16,3	-20,0	-14,2	-18,1	-6,3	-15,0	7,3	-6,0	11,5	3,2	4,4	1,9	-1,0
4	-17,6	-16,0	-21,8	-13,9	-18,5	-5,6	-13,5	5,6	-4,8	9,7	2,3	4,2	1,6	-0,8
8	-20,0	-17,7	-24,4	-14,5	-20,2	-4,8	-14,7	6,0	-5,3	9,0	3,1	3,2	2,1	-2,1
23	-19,5	-18,2	-23,9	-15,6	-20,3	-6,3	-16,0	6,1	-7,1	10,2	2,3	3,4	1,6	-1,9
42	-20,6	-16,3	-25,3	-12,1	-19,7	-5,2	-14,2	6,1	-5,2	9,8	2,9	3,7	1,9	-1,8
47	-18,1	-17,1	-21,9	-14,4	-18,9	-5,8	-15,0	5,8	-5,5	10,3	3,4	3,4	2,6	-1,6
54	-17,1	-17,7	-21,3	-15,3	-18,4	-6,0	-14,4	6,5	-6,1	10,6	3,7	3,7	2,6	-1,6
70	-18,4	-17,1	-22,6	-15,2	-19,7	-5,6	-14,8	6,5	-5,3	9,7	3,5	3,5	2,1	-1,8
96	-19,8	-18,1	-24,5	-14,8	-19,7	-5,5	-14,0	6,8	-5,0	10,6	3,4	3,5	1,9	-1,8
103	-18,1	-17,7	-22,4	-16,3	-22,7	-3,5	-17,6	8,1	-9,0	13,4	3,2	3,2	1,3	-1,3
141	-20,2	-17,7	-24,8	-14,2	-21,0	-5,5	-15,0	6,9	-6,3	11,0	3,2	3,1	1,6	-2,1
162	-17,7	-18,9	-22,1	-16,5	-18,5	-7,1	-14,5	5,0	-6,5	9,0	2,6	3,9	2,4	-1,6
169	-18,1	-16,9	-22,3	-14,2	-18,7	-5,5	-15,0	5,8	-6,3	10,5	2,4	4,2	1,5	-1,1
175	-16,8	-20,3	-21,5	-18,4	-18,7	-8,5	-15,8	4,4	-6,0	8,7	2,1	3,7	1,9	-1,5
192	-17,7	-18,5	-22,3	-16,1	-19,0	-8,1	-14,7	6,1	-7,4	11,0	2,7	3,9	2,1	-1,1
196	-18,4	-18,7	-23,7	-15,5	-18,9	-6,1	-14,5	6,0	-5,2	10,6	3,1	3,5	2,3	-1,8
208	-16,3	-20,6	-21,0	-18,1	-18,5	-10,3	-17,3	3,7	-7,4	9,5	2,6	3,2	1,9	-1,9
209	-16,1	-22,3	-21,3	-19,8	-18,5	-10,0	-15,8	2,6	-9,0	8,4	2,1	3,9	1,9	-1,6
T_2														
517	-22,1	-14,7	-26,0	-11,2	-19,3	-2,8	-12,3	3,7	-5,5	7,0	2,0	4,5	1,1	-1,1
518	-20,5	-15,7	-24,2	-12,6	-18,2	-4,5	-12,4	2,7	-5,5	6,1	2,1	4,0	1,7	-1,6
519	-19,5	-15,2	-23,9	-12,3	-18,1	-4,0	-12,3	2,6	-5,6	6,1	1,8	3,9	1,1	-1,1
520	-20,8	-15,5	-25,0	-12,3	-18,5	-4,0	-11,9	2,6	-4,8	6,0	2,3	3,7	1,5	-1,6
521	-20,8	-15,2	-24,7	-11,1	-18,7	-3,7	-11,5	3,1	-5,5	5,8	2,3	4,2	1,6	-1,1
522	-21,1	-15,6	-24,8	-11,8	-18,9	-3,9	-11,8	2,7	-5,2	5,8	2,1	3,4	1,6	-1,9
523	-20,0	-16,3	-24,0	-12,7	-18,2	-5,0	-11,9	2,1	-5,2	5,6	1,8	3,4	1,8	-1,8
524	-20,0	-16,5	-24,4	-12,4	-18,2	-4,2	-10,8	2,6	-5,2	5,6	1,9	3,5	1,6	-1,6
525	-20,8	-17,1	-24,5	-13,1	-18,4	-5,2	-11,5	2,3	-5,2	5,6	1,6	4,0	1,6	-1,5
526	-21,1	-15,8	-25,5	-12,1	-18,7	-3,9	-11,8	2,7	-5,0	6,3	1,8	4,0	1,8	-1,1
527	-20,5	-16,6	-25,3	-13,7	-18,4	-4,5	-11,5	2,1	-5,2	5,3	1,9	3,5	1,8	-1,8
528	-21,0	-15,6	-25,0	-12,3	-18,2	-3,7	-11,5	2,6	-4,8	6,0	1,8	4,2	1,6	-1,3
530	-20,6	-15,8	-25,2	-11,8	-18,5	-3,4	-11,3	3,1	-4,8	5,6	1,6	3,9	1,5	-1,3
531	-20,2	-17,1	-24,8	-12,6	-18,5	-4,8	-11,8	1,9	-5,2	5,6	1,8	3,9	1,6	-1,1
532	-19,5	-16,1	-23,4	-12,4	-17,7	-4,7	-11,1	2,3	-5,0	5,3	2,3	3,7	1,5	-1,5
533	-20,0	-15,8	-24,2	-12,3	-18,2	-4,5	-11,0	2,3	-4,5	5,6	1,9	4,0	1,5	-1,5
534	-20,8	-17,4	-24,7	-13,7	-18,7	-5,0	-11,9	1,9	-5,8	-5,6	1,5	3,9	1,6	-1,5
540	-21,0	-16,8	-25,0	-12,4	-18,2	-4,0	-11,1	2,7	-4,8	5,6	2,3	3,5	1,8	-1,5

Tableau 10

BNS LILLE

	O.S.		S.		Opt.		S.i.		A.i.		M.		Cond.		Go.	
	A	O	A	O	A	O	A	O	A	O	A	O	A	O	A	O
H_2																
1	-1,6	-3,9	-3,9	-4,4	-9,8	-6,0	-7,4	-13,4	-12,6	-14,7	-10,0	-10,5	-3,1	-1,0	-0,2	-4,7
4	-1,5	-3,7	-4,0	-4,2	-10,6	-6,5	-8,4	-14,2	-13,5	-14,4	-10,0	-10,2	-3,9	-1,6	-0,5	-5,5
8	-1,5	-4,5	-4,2	-4,8	-11,6	-6,9	-9,7	-16,1	-14,2	-15,6	-11,9	-11,9	-4,5	-2,1	-0,3	-6,5
23	-2,3	-4,8	-4,8	-5,2	-10,6	-7,1	-8,1	-15,2	-14,5	-16,5	-12,1	-12,3	-4,5	-2,4	-0,8	-6,6
42	-2,3	-4,4	-5,0	-4,2	-11,1	-5,8	-10,2	-15,0	-15,2	-14,5	-12,7	-10,6	-3,7	-1,3	-1,1	-6,5
47	-1,0	-4,5	-3,5	-4,7	-9,4	-6,8	-7,7	-15,3	-12,7	-16,1	-10,8	-11,8	-3,5	-2,1	0,0	-5,8
54	-0,8	-4,0	-3,4	-4,5	-10,3	-7,6	-6,8	-14,8	-11,9	-15,8	-9,8	-11,8	-3,2	-2,3	0,0	-6,5
70	-1,5	-4,5	-3,9	-4,8	-9,0	-6,6	-7,3	-14,7	-12,7	-16,0	-10,8	-11,8	-3,7	-1,9	-0,3	-5,5
96	-1,9	-4,4	-4,5	-4,8	-10,0	-6,6	-7,9	-15,0	-13,4	-15,8	-11,1	-11,6	-4,5	-1,9	-0,3	-5,8
103	-2,3	-3,9	-4,4	-4,7	-11,0	-6,8	-8,5	-14,5	-13,2	-14,8	-11,1	-11,8	-4,4	-3,1	-1,6	-6,5
141	-2,1	-4,5	-4,7	-5,0	-10,6	-6,6	-10,0	-15,5	-14,2	-15,8	-12,9	-11,5	-4,7	-3,1	-2,1	-6,3
162	-1,1	-4,5	-3,7	-5,0	-9,7	-7,4	-7,1	-16,3	-13,1	-17,1	-10,0	-12,9	-4,0	-2,4	0,3	-6,1
169	-1,8	-4,0	-4,2	-4,4	-10,6	-6,3	-9,4	-14,7	-13,9	-15,2	-11,5	-11,3	-5,0	-1,9	-1,5	-5,3
175	-1,5	-4,7	-3,9	-5,5	-9,5	-8,5	-6,6	-16,3	-12,3	-18,4	-10,2	-13,5	-4,2	-2,6	0,6	-6,5
192	-1,6	-4,2	-3,9	-5,2	-9,7	-7,4	-7,3	-15,2	-12,9	-16,1	-10,6	-12,1	-4,5	-2,1	-0,5	-6,0
196	-1,5	-4,4	-3,9	-4,5	-10,2	-6,3	-8,5	-15,8	-13,9	-16,3	-11,1	-11,6	-4,0	-1,5	-0,5	-5,3
208	-1,3	-5,0	-3,7	-5,8	-8,7	-8,7	-7,3	-17,4	-12,1	-18,7	-9,7	-13,9	-4,2	-2,4	-0,2	-6,6
209	-1,1	-4,8	-3,9	-5,6	-9,8	-8,9	-5,6	-17,9	-11,1	-19,7	-10,0	-14,5	-4,7	-2,6	-0,3	-6,1
T_2																
517	-3,0	-3,2	-5,9	-3,3	-11,7	-4,4	-11,6	-14,0	-17,3	-13,5	-13,4	-9,8	-5,2	-0,6	-2,1	-6,1
518	-2,3	-3,4	-4,5	-3,5	-9,5	-5,5	-10,6	-15,2	-16,3	-14,8	-12,4	-10,6	-4,4	-1,9	-1,6	-6,0
519	-2,4	-3,2	-5,0	-3,4	-10,5	-5,0	-9,8	-13,9	-15,5	-14,0	-12,3	-10,3	-4,5	-1,1	-1,8	-6,1
520	-2,1	-3,7	-4,8	-3,9	-10,5	-5,0	-10,3	-14,2	-16,1	-14,4	-12,6	-10,2	-5,3	-1,6	-1,8	-6,0
521	-2,1	-3,4	-4,8	-3,4	-11,0	-4,7	-10,2	-14,5	-15,8	-14,8	-12,4	-10,3	-4,8	-1,9	-1,9	-5,3
522	-2,4	-3,9	-5,2	-3,7	-11,1	-5,3	-9,8	-14,7	-16,1	-15,2	-12,7	-10,6	-4,8	-1,5	-1,6	-5,8
523	-1,6	-4,2	-4,7	-4,2	-10,0	-5,6	-9,0	-14,5	-15,0	-15,3	-11,8	-10,6	-4,7	-1,3	-1,0	-5,2
524	-2,1	-4,2	-4,7	-4,2	-10,3	-5,8	-9,7	-15,0	-15,5	-15,2	-12,3	-11,0	-5,5	-1,5	-1,0	-5,6
525	-2,3	-3,9	-4,7	-4,2	-10,6	-5,6	-9,0	-15,2	-15,2	-16,1	-12,3	-11,5	-4,4	-1,3	-1,3	-6,1
526	-2,3	-3,2	-5,0	-3,5	-10,3	-5,2	-10,2	-14,7	-16,1	-14,5	-12,9	-10,5	-4,7	-0,5	-1,0	-5,8
527	-1,8	-3,9	-4,5	-4,0	-10,2	-5,6	-9,8	-15,3	-16,1	-15,8	-12,4	-11,0	-4,8	-1,3	-1,5	-6,1
528	-2,3	-3,5	-4,7	-3,5	-10,2	-5,3	-9,5	-14,8	-15,2	-14,5	-12,3	-10,5	-4,4	-1,5	-1,5	-5,2
530	-2,3	-3,9	-4,5	-3,7	-10,3	-5,5	-10,2	-14,2	-16,5	-14,5	-12,6	-10,3	-5,2	-1,3	-1,0	-5,5
531	-1,8	-3,7	-4,5	-4,0	-10,3	-5,6	-9,2	-15,5	-15,8	-15,6	-12,6	-11,3	-5,2	-1,6	-1,8	-6,8
532	-1,6	-3,4	-4,2	-3,2	-8,7	-4,8	-9,4	-14,7	-14,4	-14,7	-11,9	-10,6	-5,0	-1,5	-1,0	-5,5
533	-2,3	-3,9	-4,5	-3,7	-9,8	-5,2	-7,7	-13,4	-13,7	-14,2	-11,5	-10,6	-4,5	-1,9	0,0	-5,0
534	-2,4	-3,9	-5,2	-4,0	-10,8	-6,3	-9,5	-15,5	-15,5	-16,1	-12,4	-11,6	-5,5	-1,6	-1,6	-6,5
540	-2,4	-3,9	-4,8	-3,9	-10,8	-5,6	-9,7	-15,8	-14,8	-16,1	-12,1	-11,1	-4,8	-1,0	-0,6	-5,5

Tableau 11

BCS LILLE

	Pr		Rh		Na		Br		L		Op		Ba	
	A	O	A	O	A	O	A	O	A	O	A	O	A	O
H_3														
12	-20,3	-19,0	-24,8	-15,2	-20,0	-6,0	-14,2	5,2	-6,1	8,7	1,8	4,2	1,9	-1,6
38	-21,3	-18,7	-25,8	-16,0	-20,3	-4,5	-14,5	6,1	-4,8	9,4	3,2	3,5	2,3	-1,8
53	-20,8	-21,3	-26,0	-17,1	-21,3	-7,1	-15,5	5,8	-5,8	9,7	3,1	3,9	2,7	-1,9
56	-19,5	-19,7	-24,7	-16,8	-20,0	-6,8	-16,1	5,5	-6,6	10,2	2,4	3,7	1,9	-1,8
67	-20,5	-21,3	-25,2	-14,5	-20,0	-4,8	-14,4	6,6	-5,0	10,3	3,2	3,9	2,3	-1,8
72	-20,8	-18,1	-25,0	-14,8	-20,5	-4,8	-15,0	7,7	-6,5	11,1	2,9	4,5	2,3	-1,5
81	-20,8	-18,4	-25,5	-15,8	-22,1	-5,5	-15,8	9,0	-6,8	12,9	3,4	2,9	1,5	-2,4
82	-19,8	-18,7	-24,5	-15,3	-19,7	-5,8	-13,9	6,5	-5,8	9,8	3,7	3,4	2,3	-2,1
89	-19,5	-18,1	-24,2	-14,7	-19,0	-6,1	-14,4	6,1	-6,8	10,5	3,2	3,9	2,4	-1,5
110	-19,0	-18,4	-23,9	-14,5	-19,0	-4,8	-12,3	7,6	-3,9	9,7	3,7	3,5	2,9	-1,6
116	-18,7	-19,5	-23,4	-17,4	-21,6	-7,1	-17,6	7,7	-7,7	12,9	3,4	3,9	1,6	-1,8
148	-20,6	-20,6	-26,1	-17,7	-21,3	-6,5	-16,9	6,9	-7,1	11,8	2,3	4,5	1,6	-1,1
188	-19,8	-18,1	-24,5	-14,5	-20,3	-5,5	-15,8	6,8	-6,1	11,8	3,2	3,5	2,1	-2,1
190	-22,1	-16,6	-26,1	-12,6	-20,0	-3,9	-13,9	7,3	-5,0	10,5	2,9	3,2	1,8	-2,3
194	-20,5	-21,5	-25,3	-17,7	-20,0	-7,7	-14,7	4,4	-6,8	9,4	2,1	3,5	2,3	-1,9
217	-18,9	-18,7	-23,9	-15,8	-20,3	-6,6	-16,5	6,6	-5,6	11,3	3,9	3,1	1,9	-2,1
T_3														
535	-22,6	-18,1	-26,9	-13,5	-20,0	-5,2	-11,8	2,3	-5,8	5,5	1,6	4,0	1,9	-1,5
536	-22,9	-17,4	-26,6	-13,1	-20,0	-5,3	-12,1	2,1	-5,6	5,5	1,9	4,2	1,8	-1,6
537	-22,1	-18,2	-26,8	-13,1	-19,5	-5,3	-12,1	1,8	-5,3	5,5	1,8	4,0	1,9	-1,8
538	-23,1	-18,1	-26,9	-13,1	-20,6	-5,2	-12,9	1,9	-5,6	6,0	1,8	4,0	1,8	-1,5
539	-21,0	-18,7	-25,5	-14,8	-19,4	-6,1	-12,3	1,6	-5,8	5,5	1,1	4,4	1,6	-1,0
541	-23,1	-16,5	-27,1	-12,7	-19,8	-4,4	-11,5	3,1	-5,2	6,3	1,9	4,2	1,9	-1,5
543	-23,9	-17,7	-27,4	-13,2	-20,2	-4,8	-12,4	2,3	-5,5	6,1	1,9	4,5	2,1	-1,3
544	-24,7	-18,2	-28,2	-13,7	-20,3	-4,5	-12,6	1,9	-5,5	5,8	2,1	3,5	1,9	-1,6
545	-23,4	-18,5	-28,5	-14,4	-20,0	-4,4	-12,3	1,9	-4,8	6,0	2,3	3,9	1,9	-1,8
546	-22,6	-19,0	-27,1	-15,0	-20,0	-5,3	-12,3	1,8	-5,2	5,6	1,9	3,9	1,9	-1,5
547	-23,4	-18,1	-27,1	-13,9	-19,8	-5,0	-12,1	2,1	-5,5	5,5	2,4	3,5	1,9	-1,6
548	-23,4	-18,7	-27,4	-14,5	-19,8	-5,2	-12,6	1,6	-5,3	5,6	1,9	3,9	1,9	-1,5
549	-23,5	-18,2	-27,9	-13,5	-20,0	-4,7	-11,9	2,1	-5,2	5,8	2,3	3,5	1,8	-1,8
550	-23,5	-19,2	-27,9	-15,2	-20,5	-5,5	-12,9	1,8	-5,8	5,8	2,1	3,9	1,9	-1,6
556	-24,2	-18,1	-27,7	-13,9	-20,8	-5,2	-12,7	1,9	-5,3	6,1	2,3	3,4	2,3	-1,3
560	-21,9	-20,6	-26,8	-17,1	-20,0	-7,1	-12,1	1,3	-5,3	5,5	2,1	4,5	2,6	-1,5

Tableau 12

BUS LILLE

	O.S.		S.		Opt.		S.i.		A.i.		M.		Cond.		Go.	
	A	O	A	O	A	O	A	O	A	O	A	O	A	O	A	O
H_3																
12	-1,9	-4,8	-4,5	-5,2	-11,3	-7,1	-9,0	-17,1	-14,5	-17,1	-12,4	-12,6	-4,5	-2,7	-1,1	-6,3
38	-1,6	-4,5	-4,5	-5,0	-10,5	-6,9	-9,8	-15,8	-14,7	-16,6	-12,4	-12,3	-4,4	-2,1	-0,6	-6,5
53	-1,0	-5,2	-3,9	-5,2	-10,6	-7,9	-7,7	-18,4	-14,2	-18,9	-11,9	-13,9	-3,7	-2,7	0,6	-6,6
56	-1,8	-4,7	-4,5	-5,0	-10,3	-7,6	-8,1	-16,9	-13,4	-17,4	-11,3	-12,7	-4,4	-1,9	-0,2	-5,3
67	-1,9	-4,4	-4,5	-4,5	-10,3	-6,5	-9,5	-16,1	-14,8	-16,3	-11,8	-11,9	-3,9	-1,9	-0,2	-6,1
72	-1,1	-4,5	-4,0	-4,8	-10,8	-6,5	-9,4	-15,8	-15,2	-16,6	-12,4	-12,1	-4,0	-1,3	-1,8	-5,2
81	-2,3	-4,8	-4,8	-5,2	-11,6	-7,1	-9,7	-16,0	-15,6	-16,8	-12,7	-12,3	-4,2	-3,1	-1,3	-6,6
82	-1,6	-4,8	-3,9	-5,2	-10,0	-7,1	-9,0	-16,3	-14,8	-17,1	-11,8	-12,1	-4,0	-2,6	-0,6	-6,5
89	-1,3	-4,2	-3,9	-4,5	-10,0	-6,8	-8,1	-15,5	-14,2	-17,1	-11,3	-11,6	-3,9	-2,6	-0,6	-5,5
110	-1,0	-4,7	-3,7	-4,8	-9,4	-6,8	-7,4	-16,1	-12,6	-16,1	-10,3	-12,1	-2,9	-2,3	1,0	-6,5
116	-1,8	-5,0	-4,2	-5,6	-9,4	-8,5	-8,7	-16,5	-14,7	-17,3	-11,6	-13,1	-3,7	-2,4	-0,8	-6,0
148	-2,4	-4,5	-4,8	-5,2	-10,8	-7,7	-9,4	-16,8	-15,3	-17,3	-12,3	-13,2	-4,8	-1,8	-0,3	-5,5
188	-2,3	-4,5	-4,7	-5,0	-10,5	-6,6	-9,5	-15,5	-15,2	-15,8	-11,8	-11,8	-3,9	-1,9	-1,0	-6,5
190	-1,9	-4,8	-4,5	-4,8	-10,3	-6,1	-10,2	-15,0	-15,6	-15,2	-12,7	-11,0	-4,2	-1,9	-0,8	-6,0
194	-1,6	-5,3	-4,2	-5,6	-10,5	-8,4	-9,2	-18,1	-14,5	-18,4	-12,1	-14,0	-4,2	-2,6	-0,8	-7,1
217	-1,6	-4,8	-4,0	-5,5	-10,6	-7,3	-8,9	-15,6	-14,7	-16,1	-11,8	-12,3	-4,4	-2,3	-1,0	-6,3
T_3																
535	-2,3	-3,9	-4,8	-3,9	-11,1	-6,1	-10,6	-16,6	-16,6	-16,5	-13,4	-11,9	-5,3	-1,6	-1,6	-7,1
536	-2,4	-4,2	-5,3	-4,2	-11,1	-6,0	-10,2	-15,8	-16,5	-16,1	-13,2	-11,9	-5,2	-1,8	-1,0	-7,1
537	-2,1	-4,2	-4,8	-4,5	-11,3	-6,0	-10,3	-16,8	-16,5	-16,6	-13,1	-11,9	-5,0	-1,8	-0,8	-6,3
538	-2,4	-4,4	-5,3	-4,4	-11,3	-6,0	-10,0	-15,8	-16,5	-16,9	-13,5	-11,9	-4,8	-1,6	-1,8	-6,5
539	-2,4	-4,2	-4,8	-4,5	-10,6	-6,8	-9,0	-15,8	-15,0	-16,5	-12,1	-12,3	-5,0	-1,6	-0,3	-6,0
541	-2,6	-3,7	-5,2	-3,7	-10,0	-5,2	-10,6	-15,8	-16,3	-15,8	-13,4	-11,3	-4,5	-1,6	-1,8	-6,5
543	-2,3	-4,0	-5,3	-4,2	-11,5	-6,0	-10,6	-17,1	-16,5	-17,1	-13,4	-12,6	-4,7	-1,6	-0,6	-6,6
544	-2,9	-4,2	-5,6	-4,5	-11,6	-6,1	-11,0	-17,4	-17,1	-17,3	-13,9	-12,6	-5,5	-1,8	-0,6	-6,8
545	-2,6	-4,2	-5,6	-4,4	-12,6	-6,3	-10,5	-16,5	-17,6	-16,9	-14,0	-12,1	-4,8	-1,9	-1,3	-6,0
546	-2,3	-3,9	-5,3	-4,4	-10,6	-6,3	-9,8	-16,9	-16,1	-17,7	-13,1	-12,6	-5,6	-1,8	-1,1	-6,1
547	-2,3	-4,4	-5,2	-4,2	-11,8	-5,8	-10,0	-16,8	-16,3	-16,9	-13,5	-12,3	-5,2	-1,5	-1,3	-6,8
548	-2,3	-4,0	-5,3	-4,5	-11,3	-6,3	-10,0	-16,9	-16,9	-17,3	-13,1	-12,6	-5,5	-1,6	-0,6	-6,9
549	-2,4	-4,2	-5,2	-4,5	-11,5	-6,1	-11,1	-17,3	-17,1	-17,1	-14,0	-12,3	-4,8	-1,8	-1,5	-6,5
550	-2,4	-4,2	-5,5	-4,5	-11,5	-6,5	-10,0	-16,8	-16,5	-17,6	-13,7	-12,6	-5,8	-2,1	-0,8	-6,1
556	-2,6	-4,0	-5,5	-4,0	-11,6	-5,8	-11,0	-17,4	-16,6	-17,1	-13,5	-12,4	-5,2	-1,8	-0,8	-6,5
560	-1,5	-4,4	-4,8	-4,7	-10,5	-7,4	-9,0	-17,9	-14,8	-18,7	-12,4	-13,5	-4,8	-1,6	-0,2	-7,1

BUS LILLE

Tableau 13

Tableau 14

	Pr		Rh		Na		Br		L		Op		Ba	
	A	O	A	O	A	O	A	O	A	O	A	O	A	O
H_4														
197	-25,5	-19,4	-30,6	-19,0	-22,1	-4,5	-14,2	5,8	-5,3	10,2	4,0	3,5	3,2	-1,9
215	-23,7	-20,3	-28,5	-16,5	-21,6	-6,1	-14,2	5,5	-6,1	9,4	2,9	3,9	2,3	-1,3
219	-21,8	-21,3	-27,1	-18,4	-21,9	-6,9	-16,9	8,2	-7,1	13,5	4,0	4,4	2,9	-1,6
272	-24,8	-20,3	-29,2	-19,2	-22,4	-5,0	-14,8	6,0	-7,1	11,0	3,4	3,5	2,4	-2,3
H'_4														
41	-29,8	-25,0	-35,5	-18,5	-24,2	-5,3	-15,6	6,6	-5,5	9,7	3,5	4,2	3,9	-1,3
121	-28,2	-22,7	-33,2	-18,5	-25,6	-6,0	-15,3	6,9	-5,3	9,4	2,9	4,8	3,2	-0,5
T_4														
542	-25,0	-17,7	-29,2	-14,2	-20,5	-4,5	-12,9	1,9	-5,6	5,8	2,4	4,2	1,9	-1,8
552	-23,5	-19,7	-27,9	-15,0	-20,5	-5,6	-12,3	1,8	-5,5	5,3	1,8	3,9	2,1	-1,6
554	-24,5	-18,5	-28,7	-13,5	-20,2	-4,0	-11,9	2,9	-4,8	6,3	2,3	4,2	2,3	-1,6
559	-24,7	-17,7	-29,0	-13,2	-20,8	-3,9	-12,6	2,6	-5,2	6,5	1,9	3,9	2,3	-1,3

	O.S.		S		Opt		S.i.		A.i.		M		Cond.		Go	
	A	O	A	O	A	O	A	O	A	O	A	O	A	O	A	O
H_4																
197	-1,6	-4,7	-4,8	-4,8	-11,9	-6,3	-11,8	-17,7	-17,7	-17,4	-14,7	-12,3	-4,5	-0,6	-0,6	-7,1
215	-2,4	-4,4	-5,3	-4,5	-11,6	-6,8	-10,6	-18,4	-16,6	-18,4	-13,5	-13,1	-5,3	-1,6	-0,6	-6,8
219	-1,0	-5,0	-3,9	-5,5	-11,3	-7,9	-8,4	-17,7	-14,8	-18,2	-12,4	-13,5	-4,5	-2,1	0,5	-6,6
272	-1,9	-5,0	-5,2	-5,0	-12,3	-6,5	-11,9	-18,5	-18,1	-18,2	-14,5	-12,9	-5,3	-1,1	0,2	-7,4
H'_4																
41	-1,6	-5,5	-5,5	-6,0	-13,4	-8,7	-10,6	-23,4	-18,4	-23,4	-15,6	-16,5	-4,4	-1,6	0,5	-7,6
121	-2,1	-5,0	-5,8	-5,2	-13,7	-7,3	-10,6	-20,5	-18,2	-20,6	-15,2	-14,4	-4,7	-0,8	0,8	-6,0
T_4																
542	-2,6	-4,5	-5,5	-4,5	-11,8	-6,1	-11,3	-17,4	-18,2	-17,4	-14,2	-12,6	-5,3	-1,9	-1,5	-7,3
552	-1,9	-4,2	-4,8	-4,7	-11,1	-6,8	-10,3	-17,7	-16,9	-17,6	-13,5	-13,2	-5,5	-1,9	-0,6	-7,1
554	-2,3	-4,4	-5,5	-4,5	-11,3	-6,1	-10,2	-16,8	-16,6	-16,9	-13,9	-12,4	-4,5	-1,6	-0,3	-6,5
559	-2,3	-3,9	-5,5	-3,9	-11,8	-5,3	-11,0	-16,5	-17,4	-16,5	-14,2	-12,3	-5,2	-1,5	-1,1	-6,8

BUS LILLE

Tableau 15

H_5	Pr		Rh		Na		Br		L		Op		Ba	
	A	O	A	O	A	O	A	O	A	O	A	O	A	O
6	-22,3	-18,1	-26,1	-14,0	-19,7	-4,5	-12,4	5,3	-6,3	7,7	2,7	3,4	2,9	-1,1
25	-24,2	-23,2	-29,4	-18,9	-21,8	-6,9	-14,2	3,5	-6,6	7,4	3,2	4,2	4,0	-1,1
36	-25,6	-18,9	-29,7	-15,2	-21,6	-5,2	-12,6	3,9	-5,3	6,8	2,4	3,5	2,3	-1,3
62	-25,3	-18,4	-29,7	-14,0	-21,5	-4,5	-12,9	3,5	-6,1	6,9	2,4	3,9	2,6	-1,3
75	-21,0	-19,5	-25,6	-16,0	-18,9	-6,3	-11,6	2,9	-4,0	5,5	2,9	3,5	2,9	-1,8
115	-22,1	-20,3	-26,8	-16,6	-20,6	-6,5	-13,1	4,7	-4,7	6,8	2,3	3,9	1,9	-1,3
154	-21,5	-21,9	-26,1	-19,0	-20,6	-6,9	-13,7	4,0	-5,6	7,6	2,3	4,0	3,2	-0,6
160	-25,3	-21,5	-30,0	-16,8	-21,9	-5,5	-13,2	4,0	-5,2	7,4	2,3	4,2	2,9	-0,6
163	-23,5	-21,3	-28,5	-16,8	-20,5	-5,8	-12,6	3,7	-5,0	6,9	2,9	3,9	3,4	-1,6
164	-23,9	-20,8	-28,7	-16,3	-21,0	-5,3	-12,7	3,9	-5,5	6,8	2,3	4,2	2,3	-0,5
166	-24,5	-20,6	-29,5	-16,0	-21,3	-4,5	-12,7	4,2	-5,5	7,1	2,4	4,4	2,7	-0,5
167	-21,6	-20,6	-26,6	-16,5	-19,8	-5,6	-12,7	3,7	-5,2	6,8	2,6	4,2	3,5	-1,0
178	-20,6	-20,6	-25,2	-17,4	-19,2	-6,8	-12,6	3,9	-6,0	7,4	2,9	3,5	3,1	-1,8
184	-23,9	-18,4	-28,2	-13,9	-19,7	-3,5	-11,1	4,5	-4,5	7,1	3,5	3,9	3,4	-1,6
186	-21,6	-21,5	-26,3	-17,7	-19,0	-6,3	-11,6	3,1	-4,7	6,1	2,9	3,7	3,5	-1,5
195	-24,8	-20,8	-29,4	-16,1	-21,6	-5,8	-13,5	4,7	-6,0	7,9	2,6	4,2	2,4	-1,5
200	-25,3	-20,8	-29,8	-16,3	-21,5	-5,5	-12,6	3,5	-5,2	7,1	2,4	4,5	2,7	-1,3
201	-25,8	-19,7	-30,2	-15,5	-21,9	-4,8	-13,9	4,4	-6,0	7,7	2,1	3,9	2,4	-1,5
210	-21,0	-20,3	-25,0	-16,1	-20,0	-7,6	-13,9	3,5	-5,6	7,4	1,6	4,2	1,8	-1,0
223	-21,8	-20,3	-26,3	-16,0	-19,7	-6,5	-11,8	2,9	-5,5	6,8	2,6	4,4	3,1	-1,5
224	-24,2	-18,5	-28,5	-14,5	-21,0	-4,7	-13,5	4,4	-6,3	7,7	2,4	4,2	2,1	-1,5
229	-26,5	-16,5	-30,8	-12,9	-21,6	-3,4	-12,4	4,2	-5,0	7,1	2,3	4,2	2,1	-1,3
238	-24,8	-18,5	-29,5	-13,9	-21,8	-3,9	-13,7	4,5	-4,8	8,7	2,6	4,2	1,8	-1,6
254	-25,8	-21,3	-31,0	-16,3	-22,1	-5,3	-13,5	3,2	-5,5	7,1	2,4	3,9	2,9	-1,3
257	-24,7	-19,4	-29,2	-14,5	-21,3	-4,5	-12,3	3,7	-5,2	6,8	2,6	4,2	2,9	-1,0
259	-22,6	-19,7	-27,3	-15,6	-20,0	-5,2	-12,6	3,2	-5,2	7,1	2,4	4,4	2,6	-1,0
261	-25,5	-19,0	-29,5	-14,5	-21,8	-4,2	-13,4	4,8	-5,6	8,1	2,3	5,0	2,1	-0,8

Tableau 16

T_5	Pr		Rh		Na		Br		L		Op		Ba	
	A	O	A	O	A	O	A	O	A	O	A	O	A	O
535	-22,6	-18,1	-26,9	-13,5	-20,0	-5,2	-11,8	2,3	-5,8	5,5	1,6	4,0	1,9	-1,5
538	-23,1	-18,1	-26,9	-13,1	-20,6	-5,2	-12,9	1,9	-5,6	6,0	1,8	4,0	1,8	-1,5
539	-21,0	-18,7	-25,5	-14,8	-19,4	-6,1	-12,3	1,6	-5,8	5,5	1,1	4,4	1,6	-1,0
541	-23,1	-16,5	-27,1	-12,7	-19,8	-4,4	-11,5	3,1	-5,2	6,3	1,9	4,2	1,9	-1,5
545	-23,4	-18,5	-28,5	-14,4	-20,0	-4,4	-12,3	1,9	-4,8	6,0	2,3	3,9	1,9	-1,8
546	-22,6	-19,0	-27,1	-15,0	-20,0	-5,3	-12,3	1,8	-5,2	5,6	1,9	4,0	1,9	-1,5
547	-23,4	-18,1	-27,1	-13,9	-19,8	-5,0	-12,1	2,1	-5,5	5,5	2,4	3,5	1,9	-1,6
550	-23,5	-19,2	-27,9	-15,2	-20,5	-5,5	-12,9	1,8	-5,8	5,8	2,1	3,9	1,9	-1,6
551	-23,4	-19,5	-27,3	-15,6	-20,0	-5,8	-12,3	1,6	-5,5	5,6	1,9	4,2	2,3	-1,3
553	-24,8	-20,3	-29,5	-16,1	-21,3	-5,6	-12,6	1,6	-5,5	5,6	1,9	4,0	2,1	-1,5
554	-24,5	-18,5	-28,7	-13,5	-20,2	-4,0	-11,9	2,9	-4,8	6,3	2,3	4,2	2,3	-1,6
555	-25,3	-18,7	-29,4	-14,5	-21,3	-4,5	-12,6	2,6	-5,3	6,1	2,3	4,0	1,8	-1,8
556	-24,2	-18,1	-27,7	-13,9	-20,8	-5,2	-12,7	1,9	-5,3	6,1	2,3	3,4	2,3	-1,3
557	-24,2	-19,0	-28,2	-14,5	-20,8	-4,8	-12,7	2,3	-4,8	6,1	2,1	3,9	1,9	-1,3
558	-24,8	-18,1	-28,4	-13,9	-21,3	-4,8	-12,9	2,3	-6,3	5,8	2,1	3,9	1,9	-1,5
559	-24,7	-17,7	-29,0	-13,2	-20,8	-3,9	-12,6	2,6	-5,2	6,5	1,9	3,9	2,3	-1,3
560	-21,9	-20,6	-26,8	-17,1	-20,0	-7,1	-12,1	1,3	-5,3	5,5	2,1	4,5	2,6	-1,5
562	-27,3	-19,0	-31,9	-14,5	-22,4	-4,4	-12,9	2,6	-5,5	6,1	2,3	4,0	2,4	-1,3
565	-26,8	-19,7	-31,3	-15,3	-22,3	-4,7	-13,1	2,1	-5,5	6,5	2,4	4,2	3,2	-1,1
567	-27,7	-21,3	-32,9	-16,9	-22,9	-5,5	-13,1	1,8	-5,5	6,1	2,3	4,2	2,4	-1,3
568	-25,2	-21,3	-29,8	-16,8	-21,5	-5,8	-12,4	1,6	-5,2	6,0	1,9	4,0	2,4	-1,0
569	-25,0	-23,2	-30,5	-18,5	-21,9	-6,8	-12,7	1,3	-5,8	5,8	2,4	4,2	3,2	-0,6
570	-24,4	-22,7	-29,2	-18,2	-21,1	-7,1	-12,9	0,6	-6,6	5,5	2,3	4,7	3,2	-0,3
571	-25,3	-21,6	-30,0	-16,9	-21,5	-5,6	-12,6	1,5	-5,8	5,8	2,4	4,4	3,1	-0,5
572	-25,5	-22,1	-30,3	-16,8	-21,3	-5,8	-12,7	1,1	-5,8	5,5	2,3	4,0	2,9	-1,0
573	-26,3	-22,6	-31,6	-18,1	-22,4	-6,3	-12,9	1,6	-5,0	5,8	2,4	3,5	2,6	-1,6
575	-26,0	-22,3	-31,0	-17,3	-22,1	-6,5	-13,1	1,1	-6,0	6,0	2,4	4,2	3,1	-0,8

Tableau 16 bis

BU LILLE

H_5	O.S.		S.		Opt.		S.i.		A.i.		M		Cond		Go.	
	A	O	A	O	A	O	A	O	A	O	A	O	A	O	A	O
6	-1,3	-4,2	-4,2	-4,5	-10,3	-6,3	-9,7	-17,1	-14,8	-16,5	-12,3	-12,4	-3,9	-2,1	1,3	-6,1
25	-0,8	-4,8	-3,9	-5,5	-11,3	-7,9	-7,7	-20,6	-14,5	-21,0	-12,9	-15,3	-3,5	-1,9	1,6	-6,8
36	-2,1	-4,2	-5,3	-5,6	-11,9	-6,1	-10,6	-17,6	-17,1	-17,4	-14,2	-12,6	-5,2	-1,3	0,0	-6,9
62	-1,9	-4,0	-5,2	-4,0	-11,8	-5,8	-11,5	-17,6	-17,3	-16,8	-14,2	-12,4	-4,8	-1,5	-0,3	-6,6
75	-1,3	-4,7	-4,4	-5,0	-10,6	-7,1	-8,5	-17,7	-14,7	-17,9	-11,5	-12,9	-4,0	-2,4	0,3	-6,8
115	-2,9	-4,4	-5,8	-4,8	-11,8	-7,3	-9,0	-17,4	-14,2	-17,9	-12,9	-13,2	-5,0	-2,3	-0,5	-6,5
154	-1,1	-4,7	-4,5	-5,2	-10,5	-7,4	-7,7	-19,7	-13,5	-19,8	-11,6	-14,5	-4,0	-1,5	1,8	-6,8
160	-2,1	-4,4	-5,5	-4,7	-12,6	-6,9	-10,5	-19,8	-16,8	-19,7	-14,4	-13,5	-4,8	-1,8	0,2	-6,6
163	-1,1	-4,8	-4,5	-4,8	-11,0	-6,8	-9,0	-20,0	-15,6	-19,4	-12,9	-14,4	-4,4	-2,1	1,3	-7,3
164	-1,9	-3,9	-5,5	-4,0	-12,3	-6,3	-9,0	-19,2	-15,8	-19,2	-13,7	-13,7	-4,5	-1,5	0,6	-6,3
166	-1,9	-3,7	-5,2	-3,7	-12,1	-6,0	-9,7	-18,9	-16,5	-18,9	-14,2	-13,4	-4,8	-1,3	0,6	-6,1
167	-1,6	-4,2	-4,5	-4,0	-11,3	-6,1	-8,4	-18,2	-14,8	-18,7	-12,4	-13,4	-4,0	-1,8	1,0	-6,8
178	-0,6	-4,8	-3,7	-5,2	-10,3	-7,3	-8,2	-17,4	-13,9	-18,1	-11,5	-13,4	-3,7	-2,3	0,0	-6,8
184	-1,3	-4,2	-4,4	-4,0	-10,6	-5,2	-10,8	-17,7	-16,9	-16,6	-13.2	-12,1	-3,7	-1,0	0,2	-6,9
186	-0,8	-5,2	-3,7	-5,5	-9,7	-7,4	-8,1	-19,0	-14,2	-19,0	-11,3	-14,4	-3,9	-2,3	1,3	-6,8
195	-2,4	-4,5	-5,8	-4,7	-12,3	-6,8	-10,8	-19,0	-17,1	-18,7	-14,2	-13,5	-4,8	-1,9	-0,5	-6,5
200	-2,1	-4,5	-5,3	-4,5	-12,4	-6,8	-11,3	-19,8	-18,1	-19,4	-14,4	-14,0	-5,0	-1,9	0,2	-6,8
201	-2,6	-4,2	-5,5	-4,5	-12,6	-6,1	-11,3	-18,7	-17,7	-18,4	-14,8	-12,9	-5,5	-1,6	-0,8	-6,5
210	-1,8	-4,5	-4,7	-5,2	-10,6	-7,7	-8,9	-18,1	-15,5	-18,4	-12,3	-13,5	-4,5	-2,1	-0,5	-6,5
223	-1,3	-4,4	-4,2	-4,5	-10,2	-6,9	-8,9	-18,1	-15,0	-18,1	-11,8	-12,9	-3,7	-2,1	0,5	-6,9
224	-2,1	-4,0	-5,2	-4,0	-11,8	-5,8	-10,5	-16,9	-16,8	-16,8	-13,5	-11,9	-4,7	-1,6	-0,2	-6,3
229	-2,4	-3,9	-5,8	-3,5	-12,6	-4,8	-11,9	-16,8	-17,9	-16,6	-14,8	-11,3	-5,5	-1,3	-1,0	-6,5
238	-2,6	-4,0	-6,1	-3,9	-12,7	-5,3	-11,8	-16,9	-17,7	-16,8	-14,2	-11,8	-5,5	-1,0	-0,8	-6,5
254	-2,1	-4,5	-5,5	-4,8	-11,9	-6,9	-11,6	-20,0	-18,4	-19,0	-15,0	-14,0	-4,8	-2,3	1,0	-7,4
257	-1,5	-3,7	-4,7	-3,7	-11,6	-5,5	-10,6	-17,4	-17,1	-17,3	-14,0	-12,4	-4,8	-1,8	0,3	-6,8
259	-2,1	-3,9	-4,8	-4,2	-10,3	-6,8	-8,7	-17,7	-15,2	-17,9	-11,9	-12,9	-4,8	-1,9	1,0	-6,5
261	-2,6	-3,7	-5,5	-4,0	-12,3	-5,6	-11,5	-17,7	-17,4	-17,6	-13,9	-12,6	-5,5	-1,6	0,3	-6,5

Tableau 17

BUS LILLE

T_5	O.S.		S.		Opt.		S.i.		A.i.		M.		Cond.		Go.	
	A	O	A	O	A	O	A	O	A	O	A	O	A	O	A	O
535	-2,3	-3,9	-4,8	-3,9	-11,1	-6,1	-10,6	-16,6	-16,6	-16,5	-13,4	-11,9	-5,3	-1,6	-1,6	-7,1
538	-2,4	-4,4	-5,3	-4,4	-11,3	-6,0	-10,0	-15,8	-16,5	-16,9	-13,5	-11,9	-4,8	-1,6	-1,8	-6,5
539	-2,4	-4,2	-4,8	-4,5	-10,6	-6,6	-9,0	-15,8	-15,0	-16,5	-12,1	-12,3	-5,0	-1,6	-0,3	-6,0
541	-2,6	-3,7	-5,2	-3,7	-10,0	-5,2	-10,6	-15,8	-16,3	-15,8	-13,4	-11,3	-4,5	-1,6	-1,8	-6,5
545	-2,6	-4,2	-5,6	-4,4	-12,6	-6,3	-10,5	-16,5	-17,6	-16,9	-14,0	-12,1	-4,8	-1,9	-1,3	-6,0
546	-2,3	-3,9	-5,3	-4,4	-10,6	-6,3	-9,8	-16,9	-16,1	-17,7	-13,1	-12,6	-5,6	-1,8	-1,1	-6,1
547	-2,3	-4,4	-5,2	-4,2	-11,8	-5,8	-10,0	-16,8	-16,3	-16,9	-13,5	-12,3	-5,2	-1,5	-1,3	-6,8
550	-2,4	-4,2	-5,5	-4,5	-11,5	-6,5	-10,0	-16,8	-16,5	-17,6	-13,7	-12,6	-5,8	-2,1	-0,8	-6,1
551	-2,4	-4,4	-5,5	-4,7	-11,5	-6,8	-9,4	-17,6	-16,0	-18,1	-13,1	-13,4	-4,8	-1,1	-0,8	-6,5
553	-2,6	-4,5	-5,8	-4,8	-11,8	-6,9	-9,8	-18,7	-16,8	-19,4	-14,0	-13,7	-5,2	-2,3	-0,3	-6,5
554	-2,3	-4,4	-5,5	-4,5	-11,3	-6,1	-10,2	-16,8	-16,6	-16,9	-13,9	-12,4	-4,5	-1,6	-0,3	-6,5
555	-2,6	-4,0	-5,8	-4,2	-11,9	-6,5	-11,0	-17,9	-17,3	-17,7	-14,4	-13,1	-5,8	-1,8	-1,8	-7,3
556	-2,6	-4,0	-5,5	-4,0	-11,6	-5,8	-11,0	-17,4	-16,6	-17,1	-13,5	-12,4	-5,2	-1,8	-0,8	-6,5
557	-2,1	-4,2	-5,2	-4,4	-11,9	-6,0	-9,7	-17,1	-15,3	-16,9	-15,2	-12,6	-5,3	-1,6	0,5	-6,5
558	-2,1	-3,9	-5,3	-3,9	-11,6	-6,1	-11,0	-17,6	-16,9	-17,4	-14,2	-12,6	-5,6	-1,9	-0,8	-6,6
559	-2,3	-3,9	-5,5	-3,9	-11,8	-5,3	-11,0	-16,5	-17,4	-16,5	-14,2	-12,3	-5,2	-1,5	-1,1	-6,8
560	-1,5	-4,4	-4,8	-4,7	-10,5	-7,4	-9,0	-17,9	-14,8	-18,7	-12,4	-13,5	-4,8	-1,6	-0,2	-7,1
562	-2,6	-3,9	-6,0	-4,0	-13,1	-6,0	-12,3	-18,5	-18,9	-18,2	-15,6	-12,9	-5,8	-1,5	-0,6	-6,6
565	-1,9	-4,2	-5,5	-4,2	-12,4	-6,0	-11,9	-19,4	-18,2	-18,9	-14,7	-13,1	-5,2	-1,8	-0,3	-7,3
567	-2,3	-4,5	-6,0	-4,7	-13,2	-6,8	-11,9	-20,2	-18,2	-19,8	-15,3	-14,0	-4,8	-1,1	-0,8	-8,4
568	-2,1	-4,2	-5,5	-4,4	-12,3	-6,6	-10,8	-19,5	-17,3	-19,2	-13,9	-14,2	-4,7	-1,6	-0,5	-7,1
569	-1,9	-4,2	-5,5	-4,7	-11,9	-7,3	-10,0	-20,6	-16,5	-21,0	-14,4	-15,2	-5,0	-1,6	0,3	7,4
570	-1,6	-4,0	-4,5	-4,7	-11,5	-7,3	-9,0	-20,0	-16,0	-20,3	-13,4	-14,8	-4,5	-1,8	0,5	-6,5
571	-1,6	-4,0	-5,2	-4,2	-11,8	-6,8	-10,0	-20,2	-16,8	-20,0	-14,2	-14,5	-5,0	-1,6	0,0	-7,4
572	-1,9	-4,4	-5,5	-4,7	-11,8	-6,8	-10,3	-20,0	-17,3	-19,8	-14,2	-14,2	-4,8	-1,3	0,0	-7,1
573	-2,3	-4,7	-6,0	-5,0	-12,6	-7,1	-10,8	-20,0	-17,4	-20,6	-14,7	-14,7	-5,0	-1,9	0,2	-7,3
575	-1,8	-4,2	-5,5	-4,5	-11,9	-6,8	-10,2	-20,3	-17,1	-20,2	-14,7	-14,5	-5,2	-1,1	0,5	-7,1

Tableau 17 bis

H_6 ♂	Pr		Rh		Na		Br		L		I		Op		Ba	
	A	O	A	O	A	O	A	O	A	O	A	O	A	O	A	O
2	-25,5	-24,2	-30,0	-19,8	-22,6	-7,7	-14,2	2,7	-5,2	7	0,6	7,7	4,2	4,0	4,8	-1,6
3	-27,3	-26,8	-32,9	-22,3	-24,4	-7,7	-15,2	3,5	-6,1	8,4	-1,5	9,0	3,5	4,2	4,4	-0,8
7	-28,9	-29,4	-36,0	-22,4	-25,6	-7,7	-14,2	1,8	-6,1	6,5	-0,6	8,2	3,7	3,5	5,6	-1,0
13	-24,4	-26,3	-31,5	-22,6	-23,4	-7,1	-14,8	3,5	-5,6	8,4	1,5	7,9	3,2	4,4	4,0	-0,3
18	-28,7	-24,5	-34,2	-20,5	-24,7	-5,8	-14,7	4,5	-6,5	8,7	-1,3	9,8	3,9	5,2	4,8	-0,5
27	-25,5	-27,7	-31,6	-23,2	-23,7	-8,2	-15,3	3,5	-6,9	8,7	-0,8	9,2	3,5	4,8	4,5	-0,6
35	-29,8	-24,5	-35,6	-19,7	-25,6	-5,5	-14,8	4,8	-6,0	9,2	0,3	8,9	4,2	4,2	4,7	-1,1
43	-28,1	-30,5	-35,0	-24,8	-25,2	-8,5	-15,0	2,1	-7,1	7,6	-1,3	9,4	3,5	4,0	5,0	-0,3
52	-31,3	-26,8	-37,7	-21,1	-27,1	-6,0	-15,8	4,5	-7,1	9,0	-1,6	10,0	3,1	4,5	4,2	-0,3
63	-27,7	-25,5	-34,4	-20,3	-24,8	-6,6	-15,2	3,5	-5,6	7,4	-0,5	8,4	2,6	4,8	3,2	0,0
74	-27,3	-30,8	-34,8	-26,1	-26,6	-9,8	-16,8	3,9	-6,9	8,2	-1,1	9,2	1,9	5,0	2,6	-0,5
76	-30,3	-27,4	-37,3	-22,6	-26,8	-6,9	-15,3	2,9	-7,1	7,1	-2,3	8,9	2,6	4,2	3,4	-0,5
83	-29,2	-31,8	-37,6	-26,6	-27,3	-9,2	-14,7	2,3	-6,1	6,9	-0,6	9,2	4,2	4,0	4,7	-1,0
91	-30,2	-26,8	-36,1	-21,9	-26,5	-7,1	-15,5	4,0	-7,4	8,4	-1,0	9,4	2,7	4,4	4,2	0,0
93	-32,4	-25,0	-38,2	-20,3	-27,1	-5,8	-15,2	4,5	-6,1	7,7	-0,6	8,9	2,9	4,8	3,2	-0,3
94	-27,1	-29,7	-34,4	-24,8	-24,5	-8,4	-13,9	3,9	-5,2	7,7	0,0	9,4	4,0	4,8	5,0	0,0
99	-28,1	-30,0	-34,8	-25,5	-25,5	-9,4	-14,8	1,8	-5,8	6,6	-0,3	8,2	3,9	4,2	5,2	-0,3
102	-28,5	-27,7	-35,0	-22,7	-25,6	-8,7	-14,5	2,6	-6,3	6,5	-1,6	8,2	2,6	4,5	3,9	0,0
109	-27,7	-30,0	-34,2	-25,2	-25,6	-9,5	-14,2	4,2	-6,0	7,4	-1,5	8,7	2,3	4,8	4,0	-0,2
112	-29,5	-28,1	-36,1	-22,6	-26,8	-7,4	-15,5	5,2	-6,1	8,5	0,0	9,2	2,9	4,8	3,5	-1,0
114	-31,0	-30,3	-38,5	-24,2	-27,4	-8,1	-14,7	3,9	-6,1	7,4	-0,5	8,4	3,1	4,2	4,8	-0,6
123	-30,0	-29,4	-36,8	-25,8	-26,9	-8,9	-14,8	3,4	-6,1	7,1	-1,1	8,7	3,1	3,7	4,2	-1,0
138	-30,8	-30,3	-38,4	-25,5	-27,7	-8,4	-15,6	3,2	-6,1	7,9	-1,0	9,0	3,9	3,9	5,0	-0,8
140	-30,8	-27,7	-37,7	-22,6	-28,1	-6,9	-16,0	5,5	-7,1	9,0	-1,6	10,0	3,4	4,2	3,9	-0,5
143	-28,5	-23,5	-34,4	-19,2	-24,7	-6,5	-14,8	4,8	-5,3	8,1	-0,5	7,6	2,9	3,2	4,2	-1,6
146	-26,1	-22,6	-31,0	-18,1	-22,9	-6,1	-14,5	3,9	-5,8	7,1	-0,5	7,7	2,4	4,0	3,1	-1,1
156	-25,3	-23,1	-30,3	-18,7	-21,9	-6,3	-13,1	3,5	-5,8	7,4	-0,5	8,4	2,9	4,8	3,7	-1,0
157	-27,9	-20,6	-33,1	-16,1	-23,5	-4,2	-14,0	4,2	-5,6	7,7	-0,3	7,6	2,9	3,7	3,2	-1,3
172	-28,9	-26,8	-34,8	-20,8	-26,0	-6,5	-15,5	5,6	-5,5	9,4	1,6	9,5	4,0	4,5	4,4	-0,8
177	-29,7	-27,3	-36,0	-22,6	-25,8	-7,1	-14,2	3,5	-6,1	6,9	-1,1	8,4	2,6	4,4	4,2	-0,5
202	-33,5	-26,0	-39,5	-20,6	-27,4	-5,5	-14,8	5,0	-5,8	8,7	0,6	9,4	3,4	4,2	4,2	-0,2
204	-32,7	-27,6	-39,8	-25,6	-28,7	-6,0	-16,5	5,0	-6,8	9,2	-1,1	10,0	3,4	4,5	3,9	-0,5
207	-30,0	-29,0	-36,8	-23,5	-26,1	-8,1	-14,5	2,9	-6,1	6,9	-0,5	8,2	3,2	4,4	4,5	-0,8
250	-28,4	-21,3	-33,2	-16,1	-23,4	-6,3	-13,2	4,0	-5,5	7,4	-0,5	8,1	2,1	4,8	2,6	-0,6
276	-33,4	-25,8	-39,4	-20,6	-28,4	-5,5	-16,6	4,0	-6,8	8,9	-1,1	10,0	3,4	4,0	4,4	-0,5
279	-33,5	-24,5	-39,0	-19,2	-27,7	-4,8	-14,8	5,2	-6,5	8,5	-1,6	9,8	3,1	4,8	4,4	-0,2

Tableau 18

BUS LILLE

T_6 ♂	Pr		Rh		Na		Br		L		I		Op		Ba	
	A	O	A	O	A	O	A	O	A	O	A	O	A	O	A	O
563	-27,4	-20,5	-32,3	-15,8	-22,3	-4,4	-13,2	2,6	-5,8	6,8	-0,6	7,7	2,3	4,5	2,6	-0,5
564	-26,9	-21,9	-32,6	-16,6	-22,6	-4,8	-13,1	2,3	-5,8	6,5	-0,8	7,6	2,7	3,9	2,9	-1,0
566	-26,0	-23,7	-31,8	-19,2	-22,6	-6,8	-13,5	0,8	-6,0	5,6	-1,0	7,1	1,9	3,9	2,7	-1,3
580	-29,7	-21,0	-34,5	-14,8	-24,0	-4,2	-13,2	2,7	-5,8	6,5	-0,6	8,2	2,3	4,4	2,9	-0,3
581	-28,4	-23,2	-33,9	-18,4	-24,2	-6,1	-13,2	2,3	-5,8	6,5	-0,5	7,9	2,9	4,2	3,4	-1,0
585	-27,9	-24,5	-33,9	-18,9	-24,4	-6,5	-13,9	1,6	-6,8	6,1	-1,5	8,2	2,1	4,8	3,1	-0,6
587	-28,1	-25,5	-33,5	-20,6	-23,2	-6,5	-13,7	1,0	-6,5	5,8	-1,9	7,7	2,3	4,5	2,9	-0,6
588	-28,5	-23,5	-34,2	-18,1	-23,7	-5,5	-13,7	1,6	-6,5	5,8	-1,0	7,4	2,9	4,2	3,5	-1,3
594	-31,0	-26,3	-37,4	-21,1	-25,2	-6,1	-14,0	1,3	-6,8	-5,8	-1,3	8,1	2,9	4,2	3,9	-0,5
595	-29,8	-26,1	-36,8	-20,3	-25,5	-6,5	-13,9	1,6	-6,5	5,6	-1,8	7,7	2,7	3,9	3,9	-1,0
596	-27,4	-26,5	-34,4	-22,7	-24,2	-7,4	-13,5	1,0	-5,6	5,8	-1,0	8,1	3,1	4,2	3,7	-0,8
597	-27,9	-26,6	-34,4	-22,6	-25,0	-7,6	-13,2	1,6	-6,3	6,3	-1,5	8,4	2,3	4,8	3,4	-0,3
604	-31,0	-26,5	-37,1	-21,1	-26,6	-6,9	-14,5	1,3	-6,9	5,5	-1,9	7,9	2,6	3,9	3,5	-0,6
608	-31,0	-26,1	-37,1	-21,6	-26,0	-6,9	-14,5	1,0	-6,5	5,6	-1,5	8,4	2,9	4,2	3,7	-0,6
622	-31,9	-26,5	-37,4	-20,5	-26,5	-7,1	-14,8	0,8	-6,6	6,1	-1,1	8,7	3,2	4,2	3,9	-0,8
623	-31,5	-27,1	-37,6	-21,6	-26,8	-7,1	-14,2	1,6	-7,4	6,1	-2,4	8,7	2,3	4,4	3,9	-0,3
625	-33,9	-27,4	-40,6	-21,6	-29,0	-7,3	-15,5	1,6	-7,4	6,5	-2,4	8,7	2,3	4,2	3,7	-0,2
632	-34,4	-26,8	-39,7	-21,0	-28,4	-6,9	-15,6	1,5	-7,6	6,1	-2,6	8,7	2,6	4,2	3,9	-0,3
634	-31,0	-28,4	-37,7	-22,3	-27,1	-7,6	-14,8	1,3	-7,4	6,1	-2,4	8,5	2,3	4,7	3,5	0,0
635	-30,6	-27,7	-36,9	-21,8	-26,5	-7,7	-14,4	1,0	-6,9	6,0	-2,1	8,5	2,9	4,7	4,4	0,0
636	-31,3	-29,2	-38,1	-23,5	-27,3	-7,9	-14,8	0,6	-7,3	6,0	-2,3	8,9	3,2	4,5	4,4	0,0
637	-31,1	-28,4	-37,7	-22,9	-27,4	-7,7	-15,2	1,0	-7,1	6,1	-2,1	8,9	2,4	5,0	3,9	0,0
643	-31,1	-27,4	-38,1	-21,9	-26,3	-7,1	-14,4	1,0	-6,6	5,5	-1,9	8,2	2,9	4,0	4,2	-1,0
644	-31,5	-28,4	-37,9	-22,7	-27,6	-7,7	-14,7	1,6	-7,1	6,1	-2,6	8,7	2,6	4,4	3,9	-0,3
649	-32,7	-28,1	-38,9	-22,9	-27,4	-7,1	-14,8	1,3	-7,1	5,8	-1,6	8,4	3,1	4,4	4,5	-0,3
651	-29,0	-30,3	-35,6	-25,5	-26,3	-10,2	-14,5	0,0	-7,1	4,8	-2,3	8,1	3,2	2,6	4,2	-0,5
652	-31,8	-27,6	-37,4	-23,1	-26,5	-7,7	-14,2	0,5	-6,8	4,8	-1,9	8,1	2,9	4,2	4,2	-0,6
653	-31,1	-30,2	-38,1	-24,5	-27,4	-8,4	-15,3	0,5	-6,8	5,8	-2,3	8,5	2,6	4,4	4,2	-0,3
654	-30,2	-29,4	-36,8	-24,7	-26,8	-8,5	-14,2	0,6	-6,5	5,8	-1,9	8,5	3,1	4,0	4,4	-0,5
655	-31,9	-29,8	-38,7	-23,9	-27,3	-7,7	-14,8	1,0	-6,9	6,0	-2,4	8,7	2,3	4,5	4,0	-0,2
659	-33,1	-28,4	-39,7	-23,2	-29,0	-7,1	-16,1	1,9	-7,7	6,8	-2,9	9,0	1,9	4,4	3,7	-0,2
660	-31,8	-28,5	-38,1	-24,5	-28,1	-8,4	-15,5	1,5	-7,7	6,0	-2,6	8,4	2,3	4,2	4,2	0,0
661	-31,8	-30,6	-38,9	-25,3	-28,1	-7,9	-15,2	1,9	-8,2	6,5	-2,6	9,4	2,6	4,2	3,4	-0,3
662	-32,1	-27,6	-38,2	-22,9	-27,7	-7,4	-14,7	1,3	-6,9	6,1	-2,3	8,9	2,7	4,8	3,9	-0,5
663	-32,9	-28,4	-39,5	-22,1	-27,4	-6,8	-15,0	1,5	-6,6	6,5	-0,6	8,7	3,5	3,9	4,2	-0,6
664	-30,5	-28,2	-37,4	-23,5	-26,9	-7,7	-14,5	1,0	-6,5	5,5	-1,9	8,4	3,2	4,0	4,2	-0,8

Tableau 18 bis

BUS LILLE

H_6 ♂	O.S.		S.		Opt.		S.i.		A.i.		M.		Cond.		Go.	
	A	O	A	O	A	O	A	O	A	O	A	O	A	O	A	O
2	0,0	-5,5	-3,5	-6,3	-11,5	-8,7	-9,0	-21,8	-15,6	-21,9	-13,7	-16,5	-4,2	-2,3	2,4	-8,2
3	-1,3	-5,3	-5,3	-5,8	-13,5	-8,7	-8,9	-23,9	-16,8	-24,5	-12,9	-15,5	-4,7	-1,6	2,6	-8,4
7	-0,2	-6,1	-5,0	-6,0	-14,0	8,7	-9,0	-26,9	-18,2	-27,4	-15,5	-18,9	-3,9	-1,9	3,7	-7,7
13	-1,5	-5,2	-5,2	-5,3	-12,9	-7,9	-6,5	-22,1	-14,5	-22,7	-12,9	-16,1	-4,4	-1,1	3,4	-6,3
18	-0,6	-4,8	-4,7	-5,3	-12,9	-8,5	-9,0	-22,9	-17,1	-23,2	-14,8	-16,3	-4,8	-1,1	2,4	-7,4
27	-0,6	-5,2	-4,7	-5,8	-12,1	-9,4	-6,9	-23,4	-14,7	-24,8	-13,1	-17,7	-4,5	-1,6	3,2	-6,5
35	-1,0	-5,2	-5,2	-5,5	-14,2	-7,3	-12,7	-22,9	-20,3	-22,3	-16,9	-15,5	-5,6	-1,1	1,0	-7,1
43	-0,3	-5,5	-4,8	-6,0	-12,9	-10,2	-7,1	-26,0	-16,5	-27,4	-14,8	-19,2	-5,3	-2,3	3,2	-6,9
52	-1,9	-4,8	-6,5	-5,2	-15,0	-7,7	-10,6	-23,4	-19,8	-24,0	-16,8	-16,8	-6,8	-2,3	1,6	-6,8
63	1,9	-4,5	-6,1	-4,5	-14,0	-7,4	-10,2	-22,6	-18,1	-23,2	-15,6	-16,0	-6,0	-1,8	1,8	-6,6
74	-3,7	-5,5	-7,7	-5,5	-15,0	-9,0	-9,5	-24,7	-18,2	-25,8	-14,5	-18,7	-6,8	-1,5	1,0	-6,9
76	-2,7	-5,0	-7,3	-5,2	-15,5	-7,9	-10,5	-23,9	-19,7	-24,8	-16,0	-16,5	-6,3	-1,1	2,3	-6,5
83	-1,3	-6,1	-6,5	-6,0	-14,5	-9,0	-9,4	-26,9	-18,1	-28,1	-15,3	-19,4	-5,5	-2,6	3,2	-8,4
91	-2,3	-4,8	-6,8	-5,0	-14,8	-7,4	-10,5	-23,5	-18,7	-23,9	-16,1	-16,5	-6,1	-1,6	1,9	-6,5
93	-2,7	-4,7	-7,4	-4,8	-15,8	-6,8	-12,9	-23,5	-21,3	-23,2	-17,4	-16,0	-6,9	-1,8	2,1	-7,7
94	-0,8	-5,6	-5,5	-5,6	-12,9	-9,0	-7,7	-25,3	-16,3	-26,1	-13,5	-17,9	-4,4	-1,3	3,5	-6,8
99	-1,0	-5,8	-5,3	-5,5	-13,5	-8,5	-8,7	-25,6	-17,4	-27,1	-14,7	-18,7	-5,5	-2,3	2,9	-8,1
102	-1,8	-5,5	-6,5	-5,8	-14,2	-8,7	-9,8	-24,4	-18,4	-25,3	-15,6	-17,6	-6,3	-2,1	1,3	-7,3
109	-1,3	-5,8	-5,6	-6,3	-13,5	-9,7	-7,9	-25,6	-16,6	-26,9	-13,9	-18,5	-5,5	-1,5	3,2	-6,9
112	-2,3	-5,8	-6,3	-5,8	-13,9	-8,1	-10,3	-24,2	-19,0	-25,0	-16,0	-17,4	-6,5	-1,5	1,3	-6,0
114	-1,3	-6,8	-6,0	-6,3	-14,8	-8,9	-9,8	-26,5	-19,0	-26,9	-16,1	-19,0	-4,8	-1,6	2,9	-7,6
123	-1,5	-6,5	-6,0	-6,5	-14,0	-9,0	-8,7	-26,1	-17,6	-27,1	-15,0	-18,4	-6,0	-2,6	3,4	-8,4
138	-1,6	-6,1	-6,5	-6,1	-15,3	-9,0	-10,6	-26,3	-19,7	-26,9	-16,5	-18,7	-6,1	-2,1	1,8	-7,7
140	-2,3	-5,3	-6,1	-5,3	-15,6	-7,7	-10,6	-23,9	-18,7	-24,2	-17,1	-16,9	-7,4	-0,6	1,3	-6,8
143	-1,8	-5,8	-5,6	-5,8	-13,4	-7,7	-11,0	-22,1	-18,1	-21,9	-15,8	-15,5	-5,6	-1,8	0,6	-7,7
146	-1,6	-4,8	-5,2	-4,8	-12,3	-7,1	-10,0	-20,0	-16,8	-20,5	-14,5	-15,0	-5,5	-1,9	1,0	-7,1
156	-1,5	-5,0	-5,2	-5,2	-11,9	-7,1	-9,2	-20,6	-16,8	-21,0	-13,9	-15,2	-4,7	-2,1	1,5	-7,7
157	-2,3	-4,7	-5,8	-4,4	-13,2	-6,0	-10,2	-19,2	-19,2	-19,2	-16,3	-13,2	-6,3	-1,9	0,0	-7,3
172	-1,3	-5,5	-5,8	-5,5	-13,9	-8,1	-9,2	-23,1	-17,7	-23,2	-15,0	-16,5	-6,1	-1,1	1,9	-7,1
177	-1,9	-5,3	-6,3	-5,2	-14,5	-7,7	-10,3	-24,4	-18,9	-24,7	-15,6	-16,8	-5,6	-2,1	2,4	-7,3
202	-1,9	-5,0	-6,5	-5,0	-14,8	-7,4	-12,3	-25,2	-21,1	-24,8	-16,8	-16,6	-6,0	-1,5	2,6	-8,5
204	-3,1	-5,5	-7,7	-5,5	-16,1	-7,4	-10,6	-24,2	-20,3	-24,7	-16,9	-16,0	-6,1	-0,5	2,6	-7,4
207	-1,3	-5,6	-5,8	-5,8	-14,2	-8,9	-11,1	-26,0	-19,4	-26,1	-15,8	-18,1	-5,6	-2,1	1,6	-9,0
250	-2,3	-4,4	-5,8	-4,5	-13,1	-6,6	-11,8	-20,3	-18,9	-20,0	-15,8	-14,0	-5,2	-1,6	0,2	-7,6
276	-2,3	-4,8	-7,1	-5,0	-16,1	-6,9	-12,3	-24,8	-21,5	-24,7	-18,4	-16,5	-6,9	-0,6	0,6	-7,1
279	-2,3	-5,2	-6,8	-5,2	-15,8	-6,8	-12,9	-25,2	-21,0	-24,7	-18,1	-16,5	-6,1	-0,8	2,3	-7,4

Tableau 19

OBS LILLE

T_6 ♂	O.S.		S.		Opt.		S.i.		A.i.		M.		Cond.		Go.	
	A	O	A	O	A	O	A	O	A	O	A	O	A	O	A	O
563	-2,3	-3,5	-5,8	-3,7	-12,6	-6,0	-11,9	-19,4	-18,7	-19,0	-15,6	-13,7	-5,8	-2,3	0,3	-7,6
564	-2,3	-4,4	-5,8	-4,5	-13,4	-6,8	-11,9	-20,3	-18,9	-20,0	-16,0	-14,4	-6,3	-1,8	0,0	-8,1
566	-1,9	-4,7	-5,5	-4,8	-11,8	-7,6	-10,3	-20,6	-16,9	-21,1	-14,8	-15,0	-6,1	-2,1	0,0	-8,1
580	-2,6	-4,0	-6,1	-3,9	-13,4	-6,0	-12,9	-20,3	-20,0	-19,7	-16,5	-13,9	-5,2	-1,3	1,0	-7,4
581	-1,9	-4,2	-5,8	-4,5	-12,9	-6,6	-11,3	-21,3	-18,7	-21,5	-15,8	-15,3	-5,5	-1,8	0,6	-8,4
585	-2,3	-4,5	-6,3	-4,7	-13,5	-7,1	-10,6	-21,6	-18,4	-21,6	-15,5	-15,3	-6,0	-1,5	1,3	-7,4
587	-2,1	-4,5	-5,8	-5,2	-13,2	-8,2	-11,0	-22,6	-18,7	-22,9	-15,8	-16,5	-6,1	-1,9	1,3	-8,4
588	-1,9	-4,5	-5,8	-4,8	-13,5	-7,1	-11,3	-21,5	-19,0	-21,3	-15,8	-15,5	-6,0	-1,6	1,5	-8,1
594	-1,6	-4,8	-6,1	-5,3	-13,5	-7,7	-10,5	-23,9	-18,7	-24,2	-16,3	-16,8	-5,8	-1,3	1,9	-7,4
595	-2,1	-5,2	-6,1	-5,5	-13,4	-7,3	-10,5	-23,4	-18,9	-23,5	-15,5	-16,3	-5,5	-1,6	2,4	-7,4
596	-1,6	-4,2	-5,8	-4,8	-12,7	-7,7	-10,2	-23,4	-17,6	-23,7	-14,7	-16,5	-6,5	-1,9	1,6	-7,6
597	-2,1	-4,0	-6,1	-4,8	-13,5	-8,1	-9,5	-22,9	-17,4	-23,7	-15,0	-16,5	-6,1	-1,9	2,4	-7,1
604	-1,9	-5,2	-6,5	-5,2	-14,5	-8,1	-11,5	-24,2	-19,7	-24,8	-17,1	-17,1	-6,3	-1,5	1,8	-7,7
608	-2,6	-4,7	-6,8	-5,2	-14,5	-8,1	-11,0	-24,8	-20,0	-24,8	-16,5	-16,9	-6,1	-1,8	1,3	-7,7
622	-1,9	-4,8	-6,5	-5,2	-14,5	-8,1	-11,5	-25,8	-20,0	-25,5	-16,8	-17,4	-6,8	-1,5	1,6	-8,1
623	-1,9	-5,0	-6,5	-5,0	-14,5	-7,9	-11,1	-24,8	-19,7	-24,8	-16,6	-17,6	-6,3	-1,5	2,3	-7,9
625	-2,3	-4,8	-7,4	-5,2	-15,5	-7,6	-11,9	-25,6	-21,0	-25,5	-17,9	-17,4	-6,6	-1,3	2,3	-8,1
632	-2,6	-5,0	-7,4	-5,3	-15,8	-7,7	-12,6	-25,3	-21,5	-25,5	-18,2	-17,4	-7,3	-1,3	1,5	-7,4
634	-2,3	-4,7	-7,3	-5,2	-15,2	-8,1	-11,0	-24,7	-20,0	-25,5	-16,6	-17,9	-6,1	-1,3	1,9	-7,7
635	-1,5	-4,8	-6,1	-5,2	-14,2	-8,2	-10,2	-24,2	-18,2	-25,5	-16,1	-17,7	-6,0	-1,6	2,3	-8,7
636	-2,3	-5,2	-7,1	-6,0	-15,3	-8,9	-11,3	-26,5	-20,3	-26,5	-17,4	-18,7	-6,8	-1,9	2,4	-7,1
637	-1,9	-4,5	-6,8	-5,2	-15,2	-8,5	-11,1	-25,2	-19,4	-25,5	-16,8	-17,7	-6,6	-1,9	1,9	-6,1
643	-1,9	-5,2	-6,6	-5,5	-14,4	-7,9	-11,3	-25,5	-19,7	-25,6	-16,8	-17,6	-6,0	-1,9	2,3	-9,5
644	-2,1	-5,0	-6,6	-5,3	-14,8	-7,9	-11,6	-26,0	-20,5	-26,3	-17,1	-18,2	-6,1	-1,6	1,6	-8,1
649	-1,6	-5,3	-6,1	-5,5	-14,8	-8,4	-11,3	-26,0	-20,3	-26,5	-17,3	-18,1	-5,8	-1,8	2,1	-7,3
651	-1,3	-5,2	-6,0	-5,8	-14,0	-9,4	-8,2	-26,0	-17,1	-27,4	-14,7	-19,2	-5,8	-2,1	3,2	-7,6
652	-1,6	-5,5	-6,1	-5,5	-14,5	-8,5	-10,6	-25,3	-19,5	-26,1	-16,5	-18,2	-5,5	-2,1	1,8	-8,5
653	-1,6	-5,5	-6,6	-5,8	-14,8	-8,5	-10,0	-26,1	-18,9	-27,4	-16,0	-18,7	-6,5	-1,9	2,9	-6,3
654	-1,0	-5,2	-5,8	-5,5	-14,2	-8,7	-9,7	-25,3	-18,7	-26,9	-16,1	-18,5	-6,8	-1,9	1,3	-7,1
655	-2,3	-5,2	-7,3	-5,5	-15,2	-8,7	-10,8	-26,1	-19,8	-27,1	-16,9	-18,5	-6,1	-1,6	1,6	-7,3
659	-2,4	-4,8	-7,7	-5,2	-15,8	-7,4	-11,6	-26,0	-21,0	-26,1	-17,7	-17,4	-6,3	-1,0	2,3	-7,4
660	-1,9	-5,3	-6,8	-5,6	-15,2	-8,1	-10,5	-25,8	-19,4	-26,8	-16,6	-18,4	-6,8	-1,5	1,9	-7,3
661	-2,6	-4,8	-7,1	-5,3	-15,5	-8,5	-10,0	-26,8	-19,5	-27,6	-16,9	-18,9	-6,6	-1,5	2,3	-7,6
662	-1,6	-4,8	-6,5	-5,2	-14,4	-7,7	-10,0	-25,6	-20,0	-26,3	-16,3	-17,7	-5,8	-1,3	2,1	-6,8
663	-1,8	-4,8	-6,6	-5,2	-14,8	-7,7	-11,5	-25,6	-20,8	-26,5	-17,4	-17,7	-6,1	-1,3	1,8	-7,1
664	-1,3	-5,2	-6,5	-5,5	-14,5	-8,2	-10,6	-25,8	-18,7	-25,8	-16,5	-17,9	-6,5	-1,6	1,0	-7,1

Tableau 19 bis

BBS LILLE

H_6 ♀	Pr		Rh		Na		Br		L		I		Op		Ba	
	A	O	A	O	A	O	A	O	A	O	A	O	A	O	A	O
17	-27,4	-22,4	-33,1	-16,9	-24,2	-4,7	-15,5	5,0	-6,5	9,4	0,2	9,4	3,7	4,2	3,4	-1,1
24	-29,0	-23,2	-34,4	-18,4	-24,2	-5,2	-13,5	4,2	-5,8	7,7	0,0	8,4	3,4	4,2	3,5	-1,0
46	-26,1	-26,1	-32,9	-20,6	-23,9	-6,6	-16,1	3,7	-7,4	9,0	-1,5	9,7	2,9	5,2	4,0	0,0
49	-27,9	-24,7	-33,5	-20,3	-24,5	-5,5	-13,7	4,0	-5,8	7,4	-1,3	8,4	3,4	3,9	4,8	-1,0
55	-27,3	-22,1	-32,7	-17,3	-22,7	-4,0	-13,4	6,0	-5,2	9,0	1,1	8,7	4,5	4,5	4,7	-1,3
64	-26,9	-22,3	-32,3	-17,1	-22,6	-5,2	-12,9	3,9	-5,0	6,9	-0,6	7,9	2,1	4,5	3,1	-0,5
65	-29,7	-22,1	-35,2	-16,5	-24,8	-3,9	-14,8	4,4	-5,8	8,2	-0,3	8,1	2,9	4,0	3,2	-1,1
71	-24,7	-28,9	-31,3	-24,5	-23,9	-9,7	-13,9	1,8	-5,5	6,0	-0,6	7,9	3,2	4,2	3,5	-0,6
73	-27,7	-27,7	-34,2	-24,2	-25,3	-8,1	-15,0	2,3	-6,5	6,8	-1,6	8,4	3,1	3,9	3,2	-0,6
77	-30,2	-24,0	-35,8	-19,0	-25,6	-5,8	-13,9	3,5	-6,1	6,9	-1,6	7,7	2,6	4,0	3,2	-1,1
78	-26,6	-26,8	-32,9	-22,3	-24,2	-7,9	-13,9	3,5	-4,8	7,7	-0,2	8,2	3,5	4,2	4,2	-1,3
80	-28,9	-26,1	-35,2	-20,2	-26,0	-6,8	-15,8	4,5	-7,1	8,1	-1,1	8,9	2,6	3,9	2,6	-1,5
85	-27,9	-23,9	-34,4	-19,4	-23,9	-6,0	-13,7	3,9	-4,7	7,1	0,8	8,2	3,5	3,5	3,9	-1,6
86	-27,7	-29,4	-34,4	-25,2	-25,8	-8,7	-14,0	4,2	-5,8	8,1	0,0	9,0	3,7	3,9	3,7	-1,5
88	-26,0	-29,8	-33,2	-25,5	-25,0	-9,4	-14,7	2,7	-7,3	7,6	-1,8	8,9	3,1	4,2	3,7	-1,0
90	-30,2	-21,3	-35,0	-15,5	-24,8	-3,9	-13,2	6,5	-4,5	8,4	0,8	7,7	2,7	3,5	2,3	-1,1
92	-28,4	-26,8	-34,8	-21,9	-25,3	-7,1	-14,8	4,2	-5,0	7,4	-0,6	8,5	3,1	4,8	4,0	0,0
95	-31,5	-22,9	-37,1	-17,6	-25,6	-4,5	-13,9	4,0	-5,5	7,1	-0,2	8,7	3,2	3,9	3,5	-1,0
118	-28,9	-25,6	-35,2	-20,3	-25,5	-6,8	-14,0	4,5	-6,0	7,4	-1,6	8,4	1,9	4,8	2,9	-0,8
125	-26,0	-25,5	-32,1	-21,6	-23,5	-7,1	-13,1	3,9	-5,8	6,3	-1,0	9,0	3,2	4,2	4,0	-0,6
126	-26,3	-24,8	-32,7	-20,3	-23,9	-8,1	-14,4	3,9	-6,3	7,7	-1,5	8,2	2,3	4,2	3,5	-0,3
127	-27,7	-26,1	-33,9	-22,9	-24,4	-7,7	-13,5	4,4	-6,1	7,1	-1,3	8,7	3,2	4,2	3,9	-0,8
130	-24,7	-28,1	-30,5	-24,2	-23,2	-9,0	-14,7	1,8	-6,1	6,1	-1,0	8,9	3,5	4,4	4,0	0,0
136	-28,5	-26,6	-34,4	-21,5	-25,8	-6,9	-14,0	5,8	-5,8	8,4	-0,3	9,4	2,9	4,2	3,1	-0,8
137	-29,4	-24,5	-35,0	-19,4	-26,0	-6,0	-15,8	4,5	-6,5	8,1	-1,3	8,4	2,6	4,0	2,9	-1,3
139	-28,2	-26,0	-34,8	-21,3	-25,6	-7,8	-16,3	5,0	-5,5	8,5	0,8	7,7	3,9	3,1	3,5	-1,8
149	-24,8	-25,2	-29,8	-20,6	-22,3	-8,1	-14,5	2,6	-6,1	6,5	-0,3	7,3	2,9	3,5	3,4	-1,9
205	-24,5	-28,9	-31,0	-24,7	-23,2	-9,2	-14,4	2,4	-6,6	6,3	-2,1	7,7	1,9	4,5	3,7	-0,3
216	-31,8	-23,9	-38,2	-17,7	-26,8	-4,4	-15,5	5,8	-6,5	9,5	0,2	9,4	3,9	4,5	3,2	-1,0
218	-31,1	-25,5	-38,1	-19,5	-27,6	-5,3	-16,5	5,3	-7,6	8,7	-1,3	9,4	2,6	4,2	2,9	-0,8
269	-29,2	-23,7	-34,8	-18,4	-24,8	-5,5	-14,2	3,2	-5,8	7,3	-0,2	7,7	3,9	3,1	3,7	-1,8
284	-31,1	-25,6	-36,6	-19,8	-26,1	-5,8	-14,5	2,6	-6,8	6,5	-1,5	8,5	2,7	4,4	3,7	-0,6

Tableau 20

T_6 ♀	Pr		Rh		Na		Br		L		I		Op		Ba	
	A	O	A	O	A	O	A	O	A	O	A	O	A	O	A	O
578	-27,6	-22,1	-32,6	-18,1	-23,4	-5,8	-13,5	1,6	-5,6	6,1	-0,8	7,4	2,3	4,4	2,9	-0,8
593	-26,8	-23,5	-32,9	-18,7	-22,7	-5,8	-12,9	1,9	-6,0	6,1	-1,5	7,4	2,3	4,2	3,4	-0,8
599	-29,4	-24,0	-35,8	-19,2	-24,8	-5,8	-13,5	1,9	-6,0	6,1	-1,1	7,9	2,6	4,2	3,5	-0,6
601	-31,3	-21,9	-36,0	-17,3	-24,5	-4,8	-13,2	2,4	-6,1	6,1	-1,3	7,9	2,7	4,0	3,2	-0,6
605	-27,7	-24,5	-33,1	-19,5	-23,5	-6,8	-13,2	1,3	-6,9	5,3	-1,6	7,9	2,6	4,2	3,2	-0,6
606	-28,5	-25,0	-34,8	-19,4	-24,2	-6,3	-13,2	1,8	-6,5	5,6	-1,6	7,7	2,3	4,0	3,2	-0,8
607	-26,6	-24,8	-32,3	-19,7	-23,1	-6,9	-13,2	0,8	-6,5	5,3	-1,5	7,6	2,6	4,2	3,5	-0,3
612	-28,9	-25,3	-34,7	-20,6	-24,2	-6,8	-13,5	1,0	-6,1	5,5	-1,3	7,6	2,9	3,9	3,4	-0,8
614	-30,0	-24,0	-35,8	-19,4	-24,8	-5,8	-13,7	1,9	-6,5	5,8	-1,6	7,9	2,7	4,0	2,9	-1,0
615	-28,5	-25,6	-34,2	-20,3	-24,5	-7,3	-13,5	0,6	-5,8	5,2	-1,1	7,7	3,1	3,9	3,5	-1,1
616	-30,0	-24,0	-35,2	-18,1	-24,7	-5,5	-13,1	2,6	-6,1	6,3	-0,5	8,1	3,2	3,9	3,5	-0,8
618	-29,4	-23,9	-33,7	-19,0	-23,7	-6,5	-13,2	1,3	-5,8	5,6	-1,1	7,7	2,9	4,4	3,7	-0,6
619	-29,8	-24,5	-35,3	-18,4	-25,0	-6,0	-14,2	1,0	-6,8	5,6	-1,5	8,1	1,9	4,7	3,2	-0,8
627	-30,2	-25,2	-35,3	-19,7	-25,0	-6,8	-13,9	1,0	-6,5	5,5	-1,6	7,9	2,6	4,5	3,5	-0,3
628	-31,3	-24,7	-36,6	-19,5	-25,6	-6,5	-13,9	1,5	-6,8	5,6	-1,6	8,1	2,3	4,2	3,7	-0,5
629	-27,3	-26,9	-32,3	-20,6	-23,9	-7,9	-13,7	0,5	-6,8	5,5	-2,3	8,1	2,4	4,5	3,9	-0,3
630	-30,3	-23,9	-35,2	-17,9	-25,0	-6,0	-13,2	1,3	-6,5	5,2	-0,8	7,6	3,4	3,9	4,0	-1,3
631	-31,1	-23,5	-35,2	-18,1	-25,5	-6,1	-14,2	1,6	-6,8	5,5	-1,6	7,9	2,6	3,9	3,2	-0,8
639	-30,3	-27,1	-36,1	-21,6	-25,8	-7,4	-14,5	1,3	-7,1	5,8	-1,6	8,1	2,3	4,5	3,5	-0,6
641	-26,1	-28,1	-31,9	-23,5	-23,9	-9,5	-13,9	0,0	-7,1	4,7	-2,7	7,6	1,9	4,2	2,7	-0,6
642	-26,9	-27,9	-32,6	-23,1	-24,2	-8,7	-13,1	0,6	-6,3	4,8	-1,6	7,7	2,6	4,2	3,2	-0,6
645	-29,5	-24,8	-34,5	-18,7	-25,0	-7,1	-13,5	0,8	-6,5	4,8	-1,6	7,3	2,9	3,5	3,5	-1,0
647	-29,4	-23,9	-33,7	-19,4	-24,8	-7,1	-13,7	1,3	-6,1	5,5	-1,5	7,9	2,7	4,0	3,2	-0,6
648	-28,4	-26,0	-33,7	-21,0	-24,2	-7,7	-12,9	0,8	-6,1	4,8	-1,6	7,7	2,9	3,9	3,9	-0,8
656	-28,7	-26,5	-33,9	-19,7	-25,3	-7,7	-14,5	0,6	-6,9	5,5	-1,9	7,7	2,3	4,2	2,9	-1,0
657	-29,2	-27,3	-35,0	-22,6	-25,5	-7,7	-14,0	1,1	-6,8	5,6	-1,6	8,5	2,7	4,5	3,7	-0,8
658	-29,4	-25,2	-34,8	-20,3	-25,5	-6,8	-14,2	1,6	-6,9	6,1	-1,9	8,4	2,1	4,8	2,9	-0,3
665	-30,3	-25,2	-35,8	-19,8	-24,8	-6,0	-13,5	1,9	-6,5	6,1	-1,6	8,4	2,9	4,2	3,5	-0,6
666	-29,8	-26,3	-35,5	-21,5	-25,8	-7,1	-14,7	1,3	-7,1	5,6	-2,6	7,7	2,3	4,0	3,2	-1,0
667	-29,4	-26,5	-35,2	-22,1	-25,5	-7,1	-14,2	1,8	-6,6	6,0	-1,8	8,2	2,3	4,2	3,2	-0,6
668	-30,2	-27,1	-35,8	-22,3	-25,6	-7,7	-14,5	0,6	-7,4	5,6	-2,7	8,4	2,6	4,4	3,5	-0,3
669	-30,8	-25,8	-36,6	-20,6	-26,1	-6,5	-14,4	1,6	-6,8	5,8	-1,3	8,2	3,1	3,9	3,2	-1,0

Tableau 20 bis

BUS LILLE

H_6 ♀	O.S.		S.		Opt.		S.i.		A.i.		M.		Cond.		Go.	
	A	O	A	O	A	O	A	O	A	O	A	O	A	O	A	O
17	-1,6	-4,7	-5,8	-5,0	-13,2	-7,4	-8,5	-20,0	-16,5	-20,3	-14,4	-14,4	-5,3	-0,5	1,8	-6,0
24	-1,9	-4,7	-5,8	-5,2	-13,7	-6,8	-10,6	-22,3	-19,0	-21,8	-15,8	-15,2	-5,0	-1,5	1,6	-6,9
46	-1,3	-4,5	-5,2	-5,0	-12,9	-7,9	-7,9	-21,5	-16,1	-22,7	-14,5	-16,5	-5,5	-0,6	2,7	-6,8
49	-1,0	-5,5	-5,2	-5,5	-12,9	-7,7	-8,9	-22,4	-16,1	-22,9	-15,0	-16,1	-5,0	-1,3	3,1	-7,4
55	-0,6	-5,2	-4,4	-5,5	-12,1	-7,3	-8,7	-21,6	-16,6	-21,3	-14,5	-15,3	-4,7	-1,8	2,3	-7,4
64	-1,6	-4,4	-5,5	-4,8	-12,3	-6,8	-10,2	-21,0	-17,6	-20,6	-14,8	-14,7	-5,2	-1,3	1,8	-7,1
65	-2,3	-4,5	-6,5	-4,5	-14,4	-6,1	-12,6	-20,6	-20,3	-20,3	-17,4	-14,2	-6,5	-0,8	0,0	-7,1
71	-1,9	-5,2	-6,1	-5,5	-13,1	-8,7	-6,8	-23,5	-15,2	-25,2	-13,5	-17,6	-5,2	-1,3	3,2	-5,6
73	-2,6	-4,8	-6,8	-5,2	-14,2	-8,2	-8,4	-23,9	-17,1	-25,0	-15,2	-17,3	-6,1	-1,3	1,9	-7,3
77	-2,7	-4,7	-6,9	-4,8	-14,7	-6,9	-11,6	-22,3	-20,2	-21,9	-16,6	-15,3	-6,5	-1,0	0,3	-7,1
78	-1,1	-5,2	-5,2	-5,3	-12,7	-7,9	-7,7	-22,9	-15,8	-23,9	-14,2	-16,3	-5,3	-1,0	3,2	-6,8
80	-2,9	-5,5	-7,1	-5,5	-14,7	-7,7	-11,0	-23,5	-19,0	-23,5	-16,3	-16,3	-6,5	-1,9	0,6	-8,1
85	-1,9	-5,2	-5,6	-5,0	-13,2	-6,9	-9,8	-20,8	-18,1	-21,6	-15,2	-15,2	-5,5	-1,6	1,5	-7,6
86	-1,9	-6,0	-6,1	-6,1	-14,2	-8,7	-7,6	-25,0	-16,1	-26,1	-14,7	-18,2	-5,5	-1,9	3,1	-7,9
88	-1,5	-5,5	-5,8	-5,8	-13,7	-8,9	-6,8	-23,4	-15,2	-25,5	-14,0	-17,7	-6,3	-1,6	2,1	-7,4
90	-2,9	-5,2	-6,6	-5,0	-14,2	-6,5	-11,8	-20,3	-19,7	-20,0	-16,3	-14,7	-5,6	-1,1	0,6	-6,8
92	-1,6	-5,2	-5,8	-5,0	-13,9	-7,3	-9,7	-23,5	-18,4	-23,5	-14,8	-16,3	-5,6	-1,3	1,3	-7,1
95	-2,4	-4,8	-7,1	-4,7	-15,2	-6,0	-13,4	-22,6	-21,5	-21,5	-17,3	-14,8	-6,8	-1,3	0,2	-8,1
118	-2,4	-5,2	-6,5	-5,5	-14,5	-7,4										
125	-1,0	-5,2	-5,0	-5,2	-12,3	-7,6	-8,1	-21,3	-16,0	-21,6	-13,1	-15,6	-4,8	-0,8	2,9	-5,8
126	-1,0	-5,2	-4,8	-5,8	-12,6	-8,5	-8,4	-23,2	-15,6	-24,7	-14,2	-16,5	-4,8	-1,3	1,5	-7,1
127	-1,3	-5,3	-5,3	-5,5	-12,9	-8,1	-6,5	-22,6	-15,0	-24,5	-13,5	-16,6	-5,3	-1,3	3,1	-6,0
130	-1,0	-5,0	-5,5	-5,8	-12,9	-9,2	-6,8	-23,4	-14,8	-24,8	-12,1	-17,9	-5,0	-1,5	2,4	-6,9
136	-2,6	-5,3	-6,5	-5,2	-14,2	-7,9	-10,0	-23,1	-18,2	-23,7	-15,2	-16,1	-5,5	-0,5	1,6	-5,6
137	-2,4	-5,5	-6,6	-5,5	-14,7	-7,3	-10,2	-20,8	-18,7	-21,9	-15,8	-15,3	-6,9	-0,6	0,6	-6,6
139	-1,9	-6,1	-5,6	-6,0	-14,5	-7,9	-10,6	-23,1	-18,7	-23,5	-15,8	-16,5	-6,1	-1,9	0,5	-7,7
149	-1,6	-5,8	-4,8	-6,3	-11,5	-8,9	-9,5	-22,4	-16,8	-22,3	-13,9	-16,5	-5,0	-3,2	1,6	-8,1
205	-1,3	-5,2	-5,5	-5,8	-12,1	-9,0	-6,6	-22,7	-14,2	-24,5	-12,7	-16,8	-5,0	-1,3	2,9	-6,1
216	-2,9	-5,3	-7,1	-5,2	-15,3	-6,9	-13,9	-22,1	-22,1	-21,0	-18,1	-15,2	-7,1	-0,6	0,0	-8,1
218	-2,9	-4,7	-7,1	-4,8	-15,8	-6,9	-11,9	-22,1	-20,5	-22,7	-17,9	-15,6	-6,9	-0,6	1,0	-7,6
269	-1,9	-5,2	-5,5	-5,5	-13,4	-7,6	-11,5	-22,3	-19,0	-21,9	-16,5	-15,2	-6,1	-1,3	1,0	-7,7
284	-2,4	-5,0	-6,5	-5,2	-15,0	-7,6	-11,0	-23,2	-19,0	-23,4	-16,9	-16,3	-6,3	-1,1	1,9	-7,4

Tableau 21

BUS LILLE

T_6 ♀	O.S.		S.		Opt.		S.i.		A.i.		M.		Cond.		Go.	
	A	O	A	O	A	O	A	O	A	O	A	O	A	O	A	O
578	-2,4	-4,4	-6,0	-4,5	-13,1	-6,8	-11,0	-20,2	-18,4	-20,5	-15,3	-14,4	-6,0	-1,5	0,5	-6,8
593	-2,1	-4,5	-5,5	-5,2	-12,3	-7,4	-10,0	-21,3	-17,4	-21,8	-14,8	-15,2	-5,6	-1,3	1,5	-6,9
599	-1,9	-4,2	-6,1	-4,7	-13,5	-6,8	-11,9	-22,9	-19,2	-22,6	-16,8	-16,0	-7,1	-2,1	0,2	-8,2
601	-1,9	-4,5	-6,1	-4,5	-13,7	-6,8	-11,9	-21,9	-19,5	-21,3	-16,6	-14,7	-6,0	-1,5	1,6	-8,1
605	-1,9	-4,8	-5,8	-5,2	-12,6	-7,4	-10,2	-22,3	-17,9	-22,4	-15,3	-16,1	-6,1	-2,3	1,9	-7,9
606	-1,9	-4,4	-6,1	-5,2	-13,4	-7,4	-10,8	-22,9	-19,0	-22,9	-16,0	-16,1	-6,8	-2,4	1,1	-7,6
607	-1,6	-4,5	-5,3	-5,2	-12,3	-7,7	-9,5	-22,4	-17,1	-22,6	-14,8	-16,1	-5,8	-2,1	1,6	-7,7
612	-2,1	-4,8	-6,1	-5,2	-13,5	-7,9	-10,0	-22,3	-17,7	-22,7	-15,3	-16,3	-6,0	-1,3	1,5	-5,8
614	-2,3	-4,5	-6,3	-5,0	-13,5	-7,1	-11,0	-22,4	-19,4	-22,3	-16,5	-15,8	-5,5	-1,9	1,5	-7,9
615	-2,1	-5,0	-6,1	-5,5	-13,4	-8,1	-9,0	-22,6	-18,2	-23,2	-15,3	-16,8	-5,8	-1,9	2,4	-7,1
616	-1,9	-4,5	-6,0	-4,8	-13,5	-6,8	-11,9	-23,1	-20,0	-22,6	-16,6	-15,6	-6,5	-1,9	1,6	-7,3
618	-1,9	-4,5	-5,8	-5,0	-13,1	-7,6	-10,6	-23,1	-18,5	-22,7	-15,3	-16,0	-5,6	-1,9	1,6	-7,3
619	-2,3	-4,8	-6,5	-5,2	-14,2	-7,7	-11,6	-22,9	-19,7	-22,9	-16,6	-16,1	-6,6	-2,1	1,0	-8,1
627	-1,9	-4,5	-6,1	-5,0	-13,7	-7,9	-11,3	-23,1	-19,4	-23,2	-16,5	-16,5	-6,3	-2,3	1,9	-8,1
628	-2,1	-5,3	-6,6	-5,6	-14,4	-7,6	-11,9	-23,9	-20,2	-23,2	-16,8	-16,8	-6,6	-1,6	1,3	-7,7
629	-1,5	-4,8	-5,6	-5,5	-12,6	-8,7	-9,7	-24,5	-17,9	-24,8	-15,2	-17,7	-6,0	-2,1	2,6	-7,7
630	-1,9	-5,2	-6,3	-5,2	-13,9	-7,1	-11,3	-23,1	-19,4	-22,7	-16,5	-15,8	-6,0	-1,5	1,9	-7,7
631	-2,6	-4,7	-6,1	-4,7	-14,2	-7,1										
639	-1,9	-5,2	-6,1	-5,2	-13,9	-8,2	-9,5	-24,7	-18,1	-25,5	-15,6	-17,7	-5,6	-1,6	2,9	-6,8
641	-1,9	-4,8	-6,1	-5,5	-12,9	-9,0	-8,1	-23,4	-16,0	-24,8	-14,4	-17,7	-5,5	-1,9	2,3	-6,8
642	-1,6	-4,8	-5,8	-5,6	-12,7	-8,9	-8,2	-23,9	-16,5	-25,2	-14,2	-17,7	-5,5	-2,1	2,9	-7,4
645	-1,9	-5,0	-6,1	-5,2	-13,4	-7,3	-10,0	-22,7	-18,1	-23,2	-15,8	-16,1	-5,8	-1,6	1,6	-6,6
647	-2,1	-4,5	-6,1	-5,2	-13,2	-7,7	-10,0	-22,1	-18,1	-23,1	-15,3	-16,3	-5,8	-1,6	1,3	-7,1
648	-1,3	-4,7	-5,5	-5,2	-12,7	-8,1	-8,9	-23,2	-16,9	-24,5	-14,8	-17,1	-6,1	-2,4	1,5	-6,9
656	-1,9	-4,8	-6,3	-5,3	-13,9	-8,2	-9,8	-23,4	-17,6	-23,9	-15,3	-16,8	-6,3	-1,9	2,1	-7,4
657	-1,9	-5,2	-6,5	-5,3	-13,9	-8,1	-8,9	-24,5	-17,6	-25,0	-14,8	-17,6	-6,0	-1,9	1,9	-7,7
658	-2,3	-4,5	-6,3	-4,7	-13,9	-7,1	-9,4	-22,1	-17,9	-22,7	-16,0	-16,1	-5,8	-1,3	1,0	-6,5
665	-1,6	-4,5	-6,0	-4,8	-13,4	-7,3	-9,5	-22,9	-18,7	-23,4	-15,6	-16,1	-5,3	-1,3	2,3	-7,1
666	-2,1	-4,8	-6,5	-5,2	-14,5	-8,1	-9,4	-23,9	-18,5	-24,8	-15,8	-16,9	-6,5	-1,3	1,9	-6,1
667	-1,9	-4,8	-6,3	-5,0	-14,0	-7,9	-10,2	-23,2	-18,9	-24,4	-16,0	-16,9	-6,5	-1,5	1,5	-7,4
668	-2,1	-4,8	-6,3	-5,5	-14,2	-8,4	-9,7	-24,5	-18,2	-25,2	-16,0	-17,4	-6,1	-1,6	2,1	-7,6
669	-2,3	-4,7	-6,8	-5,2	-14,4	-7,6	-11,0	-23,1	-19,7	-23,7	-16,9	-16,5	-6,6	-1,1	0,6	-6,8

BUS LILLE

Tableau 21 bis

Tableaux 22 à 29 bis

•
• •

LONGUEURS, INDICES, ANGLES ET CAPACITES

• •
•

T_o	p.v.	r.v.	h.s.v.	h.h.v.	Rh-Op	Na-Op	l.	h.	f.	100 r.v./p.v.	100 h.h.v./h.s.v.	100 h./Na-Op	100 f./Rh-Op	A. foraminien	A. palatin	A. tentorial	A. ext. de la base	A. occipito-sphénoïdal	A. A.i.-Cond.-Go.	Capacités
801	-9,4	2,5	3,4	-2,4	16,7	12,8	8,5	5,3	4,6	26,6	70,0	41,2	27,3	91,0	33,0	91,5	12,5	180,0	89,0	301,928
802	-9,5	2,8	3,6	-2,9	18,1	14,0	8,4	5,3	4,7	29,1	81,0	38,3	25,7	85,0	38,5	81,0	15,5	177,0	92,5	326,349
803	-8,7	3,2	3,8	-2,3	16,5	12,6	8,4	5,2	4,8	36,6	61,4	41,1	29,3	87,5	30,0	84,0	15,5	179,0	87,5	288,172
804	-9,0	2,8	3,4	-2,6	16,6	12,1	8,2	5,2	4,1	30,8	76,9	42,9	24,9	88,0	28,5	86,0	13,5	175,0	87,5	270,148
805	-8,9	2,6	3,5	-2,4	15,2	12,1	8,2	5,0	4,7	29,1	68,3	41,4	30,7	85,0	25,0	82,0	13,0	180,0	93,0	259,757
806	-9,1	3,0	3,5	-2,2	16,6	12,8	8,0	5,3	4,7	33,0	63,4	41,2	28,1	91,0	30,0	88,0	10,5	172,0	67,0	284,168
807	-7,9	2,8	3,1	-2,5	15,2	11,2	8,2	4,7	4,1	34,8	80,6	41,5	26,7	92,5	29,5	75,0	18,0	180,0	80,5	226,010
808	-9,9	2,8	3,9	-2,2	17,2	13,4	8,4	5,3	4,4	27,8	55,6	39,1	25,5	85,5	29,0	80,0	10,0	180,0	85,0	312,362
809	-9,1	2,9	4,1	-2,8	17,8	13,8	9,1	5,6	4,9	32,1	66,7	40,6	27,5	88,0	36,5	85,0	14,5	174,0	74,0	368,220
810	-10,2	2,2	4,0	-2,8	17,6	13,6	9,4	5,9	4,4	22,0	71,7	43,0	25,0	95,0	30,0	86,0	15,5	174,0	78,0	394,928
811	-9,7	3,1	4,4	-2,3	17,2	13,4	9,5	6,1	4,3	32,1	52,9	45,5	25,0	87,0	28,5	86,0	12,0	172,0	73,5	406,590
812	-10,3	2,8	4,6	-2,2	18,3	14,1	9,5	6,2	5,2	26,7	47,2	43,9	28,3	96,0	36,5	85,0	12,0	175,0	85,0	434,844
813	-9,1	3,1	4,5	-2,2	17,3	12,8	9,0	6,0	4,9	34,0	50,0	47,0	28,4	92,0	28,5	89,5	13,0	168,0	77,5	361,911
814	-9,2	2,5	4,3	-2,4	16,3	12,4	9,1	6,1	4,7	27,1	56,0	49,3	29,1	87,0	28,5	89,5	12,5	171,5	81,5	360,406

Tableau 22

	p.v.	r.v.	h.s.v.	h.h.v.	Rh-Op	Na-Op	l.	h.	f.	100 r.v./p.v.	100 h.h.v./h.s.v.	100 h./Na-Op	100 f./Rh-Op	A. foraminien	A. palatin	A. tentorial	A. ext. de la base	A. occipito-sphénoïdal	A. A.i.-Cond.-Go.	Capacités
H_1																				
9	-14,8	3,1	7,4	-4,2	26,3	20,3	15,6	10,6	8,7	20,65	56,52	52,38	33,13	70,5	35,0	71,0	15,0	168,5	73,0	1767,072
21	-15,0	3,5	6,8	-5,6	30,6	21,8	15,4	10,5	7,7	23,66	83,33	48,15	25,26	90,0	33,0	74,0	16,0	165,0	79,0	1840,700
28	-15,5	3,1	8,7	-5,0	27,6	21,0	17,3	11,9	9,4	19,79	57,41	56,92	33,92	81,0	35,5	70,5	15,5	164,0	75,0	2266,921
31	-14,8	4,0	6,5	-5,5	31,0	22,3	16,0	10,6	7,6	27,17	85,00	47,83	24,48	82,5	31,5	69,0	13,0	164,5	75,5	1984,990
48	-15,2	3,2	7,9	-5,8	26,5	20,8	17,7	12,3	9,7	21,28	73,47	58,91	36,59	84,0	40,0	78,5	23,0	167,5	66,5	2363,697
61	-17,1	5,5	8,4	-4,5	31,1	22,6	16,9	13,7	9,2	32,08	53,85	60,71	29,53	79,5	31,5	67,0	14,0	165,0	73,0	2739,359
66	-12,1	3,4	5,8	-5,6	23,7	18,4	13,8	10,0	8,1	28,00	97,22	54,39	34,01	78,0	36,5	79,0	29,5	180,0	70,0	1328,590
104	-16,8	2,7	7,7	-5,8	30,2	22,1	17,6	11,3	9,5	16,35	75,00	51,09	31,55	68,5	34,0	69,5	21,5	175,0	79,5	2299,040
117	-13,2	3,5	6,0	-4,2	25,0	18,7	13,7	9,2	7,9	26,83	70,27	49,14	31,61	76,5	40,0	79,0	20,0	174,0	77,0	1233,868
122	-13,1	2,9	6,8	-4,2	22,6	18,2	13,7	10,0	8,4	22,22	61,90	54,87	37,14	78,0	35,0	76,0	27,5	177,0	81,0	1307,392
134	-16,1	3,5	8,2	-5,5	30,0	22,3	15,6	11,6	9,2	22,00	66,67	52,17	30,65	83,0	37,0	74,0	21,0	167,0	73,0	2111,307
150	-15,2	3,2	7,6	-5,0	27,9	21,0	15,3	10,8	8,7	21,28	65,96	51,54	31,21	68,0	31,5	71,5	14,0	165,0	72,0	1815,201
159	-16,6	3,7	8,4	-4,8	28,7	21,6	17,1	12,4	10,5	22,33	57,69	57,46	36,52	78,0	31,0	69,5	18,0	167,0	65,0	2403,294
T_1																				
501	-13,5	2,9	5,2	-3,7	25,5	19,4	12,9	7,7	6,1	21,43	71,88	40,00	24,05	86,0	34,5	72,0	17,0	175,0	70,5	1012,109
502	-13,9	2,3	5,2	-4,4	25,3	19,7	13,3	7,9	6,3	16,28	84,38	40,16	24,84	77,0	35,0	70,0	18,5	177,5	75,0	1082,986
503	-14,0	2,7	5,6	-3,2	24,8	19,4	13,3	7,7	6,5	19,54	57,14	40,00	25,97	77,0	34,0	66,5	14,0	172,0	61,5	1043,493
504	-13,5	2,9	6,0	-3,5	25,2	19,2	12,8	7,9	6,3	21,43	59,46	41,18	25,00	83,0	36,5	78,0	16,0	180,0	73,0	1016,643
505	-13,1	3,2	5,6	-3,7	25,5	19,5	12,9	7,7	6,5	24,69	65,71	39,67	25,32	83,0	39,0	71,0	19,5	178,0	80,0	1020,544
506	-13,5	3,1	5,8	-3,7	26,1	19,5	13,1	8,2	6,6	22,62	63,89	42,15	25,31	78,0	33,5	69,0	20,0	175,0	80,0	1101,139
508	-13,2	3,1	5,6	-3,5	25,8	19,7	13,2	8,1	6,5	23,17	62,86	40,98	25,00	79,5	38,5	74,5	19,0	175,5	67,0	1096,779
509	-13,2	2,6	5,2	-3,5	24,2	19,0	12,6	7,7	6,3	19,51	68,75	40,68	26,00	81,5	32,5	67,0	14,0	172,0	73,0	972,096
515	-14,8	3,2	5,6	-4,5	28,5	21,5	13,6	8,1	6,1	21,74	80,00	37,59	21,47	78,0	36,5	66,5	19,0	172,0	76,0	1231,901
516	-13,7	3,5	5,6	-4,7	28,2	20,5	13,6	8,7	6,8	25,88	82,86	42,52	24,00	88,0	38,5	74,5	23,5	177,0	78,0	1270,433
518	-14,5	3,7	6,1	-5,5	31,0	21,9	14,3	9,0	6,8	25,56	89,47	41,18	21,88	86,0	35,0	67,5	21,0	172,0	75,0	1483,468
519	-14,5	2,9	6,5	-4,8	30,5	21,5	13,9	9,0	6,5	20,00	75,00	42,11	21,16	82,5	37,5	67,5	19,5	169,0	68,0	1410,164
533	-14,0	3,7	5,8	-5,2	30,5	21,8	13,8	8,2	5,3	26,44	88,89	37,78	17,46	85,0	34,0	66,5	20,0	172,0	91,0	1289,502

Tableau 23

	p.v.	r.v.	h.s.v.	h.h.v.	Rh-Op	Na-Op	l.	h.	f.	100 r.v./p.v.	100 h.h.v./h.s.v.	100 h./Na-Op	100 f./Rh-Op	A. foraminien	A. palatin	A. tentorial	A. ext. de la base	A. occipito-sphénoïdal	A. A.i.-Cond.-Go.	Capacités
H_2																				
1	-18,4	3,2	11,0	-6,0	29,8	23,9	22,4	16,1	14,2	17,54	54,41	67,57	47,57	77,5	45,5	89,0	26,0	168,0	71,5	4515,699
4	-17,1	3,4	9,4	-6,5	30,2	23,1	19,9	13,7	11,0	19,81	68,97	59,44	36,36	82,5	38,0	69,0	26,0	163,5	79,0	3294,756
8	-18,5	4,0	8,7	-6,9	32,7	24,5	20,6	14,4	12,3	21,74	79,63	58,55	37,44	81,0	39,0	75,0	21,0	170,0	78,5	3795,911
23	-17,4	2,6	10,0	-7,1	32,4	24,5	21,2	15,3	13,2	14,81	70,97	62,50	40,80	82,0	41,0	76,0	21,5	165,0	75,5	4169,829
42	-18,4	3,7	9,7	-5,8	32,3	23,5	19,8	14,0	11,3	20,18	60,00	59,59	35,00	80,0	34,0	65,5	16,0	165,5	67,5	3425,725
47	-17,9	4,0	10,0	-6,8	31,0	24,0	21,4	15,5	13,2	22,52	67,74	64,43	42,71	80,0	41,0	72,0	19,0	160,0	76,5	4169,524
54	-18,1	4,2	10,3	-7,6	31,5	24,2	21,5	15,2	13,2	23,21	73,44	62,67	42,05	77,5	41,0	69,5	31,5	176,0	70,5	4129,266
70	-18,9	4,0	9,7	-6,6	32,1	25,0	21,0	15,3	13,2	21,37	68,33	61,29	41,21	76,0	37,0	80,0	25,0	171,0	77,5	4212,014
96	-17,9	4,0	10,2	-6,6	33,5	24,8	20,2	14,8	12,4	22,52	65,07	59,74	37,02	75,5	38,0	72,0	24,5	169,0	80,0	3898,299
103	-21,9	3,2	13,1	-6,8	32,3	26,8	25,9	18,1	16,6	14,71	51,85	67,47	51,50	67,0	44,5	75,0	30,0	173,0	74,0	6559,053
141	-19,7	4,0	10,6	-6,6	32,9	25,5	21,1	15,5	13,1	20,49	62,12	60,76	39,71	73,5	40,0	68,5	24,0	172,5	77,0	4359,393
162	-17,1	4,4	8,7	-7,4	32,1	23,9	19,8	14,0	11,8	25,47	85,19	58,78	36,68	86,0	44,0	78,0	22,5	164,0	80,5	3472,653
169	-17,7	3,2	10,0	-6,3	30,8	23,1	20,6	14,8	12,4	18,18	62,90	64,34	40,31	80,0	38,0	79,0	26,0	165,5	80,0	3691,529
175	-18,1	3,5	8,4	-8,5	32,3	24,0	21,0	14,7	12,7	19,64	101,92	61,07	39,50	89,0	47,5	82,0	32,0	169,0	78,0	3878,486
192	-18,4	3,2	11,0	-7,4	31,9	24,8	22,5	15,6	13,2	17,54	67,65	62,99	41,41	81,5	42,5	73,5	34,0	175,5	76,0	4578,152
196	-17,3	4,2	10,0	-6,3	32,7	24,0	19,8	14,5	12,6	24,30	62,90	60,40	38,42	80,5	39,0	74,0	19,0	165,0	76,5	3616,673
208	-18,7	3,5	9,0	-8,7	31,8	25,2	22,3	16,1	14,0	18,97	96,43	64,10	44,16	83,0	47,5	80,0	33,5	173,0	70,5	4738,542
209	-17,1	3,4	8,7	-8,9	33,4	24,8	20,0	14,5	12,3	19,81	101,85	58,44	36,71	88,5	51,5	86,0	32,0	166,0	72,5	3775,796
T_2																				
517	-16,5	3,2	6,8	-4,5	31,8	22,4	14,5	9,0	6,6	19,61	66,67	40,29	20,81	80,5	32,0	74,0	18,0	170,0	71,0	1537,397
518	-14,5	3,7	6,1	-5,5	31,1	22,1	14,3	9,0	6,6	25,56	89,47	40,88	21,24	86,0	35,0	67,5	21,0	172,0	75,0	1494,376
519	-14,5	2,9	6,5	-5,0	30,6	21,6	13,9	9,0	6,5	20,00	77,50	41,79	21,05	82,5	37,5	67,5	19,5	169,0	68,0	1420,767
520	-14,8	3,4	6,1	-5,0	31,6	22,3	14,2	8,7	6,3	22,83	81,58	39,13	19,90	82,0	34,5	77,0	18,5	169,0	79,5	1441,373
521	-14,8	3,7	6,6	-4,7	31,1	22,4	14,4	8,5	5,8	25,00	70,73	38,13	18,65	83,0	33,0	72,0	17,5	169,0	80,5	1445,002
522	-15,2	3,5	5,8	-5,3	31,0	22,3	14,1	8,7	6,5	23,40	91,67	39,13	20,83	84,0	35,0	67,0	18,0	173,5	75,5	1431,223
523	-14,0	3,7	5,8	-5,6	30,8	21,9	14,0	9,0	6,3	26,44	97,22	41,18	20,42	85,5	36,0	73,0	18,0	164,0	81,0	1452,346
524	-24,0	3,5	5,8	-5,8	30,8	21,8	14,1	8,7	6,0	25,29	100,00	40,00	19,37	86,5	32,0	68,5	20,0	170,0	82,0	1400,109
525	-13,9	3,5	5,8	-5,6	31,5	22,3	14,3	8,7	5,8	25,58	97,22	39,13	18,46	89,0	35,0	73,5	21,5	170,0	68,0	1451,524
526	-14,8	3,4	6,1	-5,2	31,9	22,1	14,1	8,5	6,0	22,83	84,21	38,69	18,69	89,5	32,5	67,0	22,0	175,0	74,5	1394,539
527	-13,9	3,7	5,8	-5,6	32,3	21,9	14,4	8,5	6,1	26,74	97,22	38,97	19,00	88,0	34,5	69,0	21,0	171,0	74,0	1413,815
528	-14,2	3,5	6,1	-5,3	31,5	21,6	14,0	8,4	5,6	25,00	86,84	38,81	17,85	89,0	33,0	70,0	20,0	172,0	77,5	1328,775
530	-14,8	3,2	5,8	-5,5	31,1	21,5	14,1	8,7	5,8	21,74	94,44	40,60	18,65	88,5	34,5	63,5	16,5	166,5	86,0	1379,367
531	-14,2	3,2	6,3	-5,6	31,3	22,3	14,2	8,7	5,6	22,73	89,74	39,13	18,04	88,0	33,5	70,0	21,5	168,0	70,0	1441,373
532	-13,5	3,5	5,6	-4,8	30,3	21,8	13,9	7,9	6,0	26,19	85,71	36,30	19,68	83,0	35,0	68,0	21,5	172,0	78,5	1252,449
533	-14,0	3,7	5,8	-5,2	30,6	21,8	13,7	8,2	5,3	26,44	88,89	37,78	17,37	85,0	34,0	66,5	20,0	172,0	91,0	1289,502
534	-13,9	2,9	5,8	-6,3	31,6	22,1	14,2	8,5	6,0	20,93	108,33	38,69	18,88	87,5	37,5	71,5	23,0	171,5	73,0	1404,430
540	-14,4	3,5	5,8	-5,6	31,6	21,9	14,5	8,4	6,1	24,72	97,22	38,24	19,39	85,5	34,0	67,5	21,0	175,0	76,0	1396,772

Tableau 24

	p.v.	r.v.	h.s.v.	h.h.v.	Rh-Op	Na-Op	l.	h.	f.	100 r.v./p.v.	100 h.h.v./h.s.v.	100 h./Na-Op	100 f./Rh-Op	A. foraminien	A. palatin	A. tentorial	A. ext. de la base	A. occipito-sphénoïdal	A. A.i.-Cond.-Go.	Capacités
H_3																				
12	-17,7	3,7	8,4	-7,1	33,1	24,0	19,2	13,7	10,3	20,91	84,62	57,05	31,22	91,5	39,5	74,0	26,5	171,0	79,0	3312,239
38	-18,4	4,0	9,0	-6,9	35,2	24,8	20,5	14,5	12,3	21,93	76,79	58,44	34,86	79,0	36,0	68,0	20,5	167,0	75,0	3870,190
53	-19,0	5,0	9,4	-7,9	35,8	26,6	21,8	15,5	12,6	26,27	84,48	58,18	35,14	87,5	39,0	77,0	21,5	164,0	81,5	4703,562
56	-19,0	3,7	10,0	-7,6	33,9	24,7	21,0	15,2	12,7	19,49	75,81	61,44	37,62	86,0	41,0	69,5	25,5	170,0	82,0	4113,901
67	-18,5	4,5	9,8	-6,5	33,7	24,8	19,8	14,4	11,9	24,35	65,57	57,79	35,41	78,5	36,5	70,0	20,5	169,0	78,5	3696,504
72	-19,4	4,2	10,8	-6,5	34,0	28,5	22,0	16,5	13,2	21,67	59,70	57,63	38,86	83,5	40,5	73,5	19,0	161,0	68,0	5410,176
81	-21,9	3,9	12,4	-7,1	34,5	26,6	25,6	18,1	16,0	17,65	57,14	67,88	46,26	71,0	39,5	70,5	25,0	170,0	77,0	6444,024
82	-17,9	4,4	9,4	-7,1	34,0	25,3	21,2	15,0	12,4	24,32	75,86	59,24	36,49	75,0	38,5	72,0	26,0	172,0	77,5	4216,321
89	-17,6	4,4	10,3	-6,8	33,1	24,4	20,6	15,2	12,3	24,77	65,63	62,25	37,07	82,5	37,0	79,0	24,0	168,5	85,0	3982,789
110	-17,6	4,5	9,2	-6,8	33,2	24,4	20,3	14,5	11,9	25,69	73,68	59,60	35,92	81,0	36,0	68,0	23,5	167,5	78,0	3757,775
116	-21,3	3,7	12,4	-8,5	34,2	27,4	26,3	18,7	16,5	17,42	68,83	68,24	48,11	72,5	42,0	73,0	32,0	171,5	75,5	7064,443
148	-19,5	3,7	11,3	-7,7	36,1	26,1	23,3	17,4	14,5	19,01	68,57	66,67	40,18	82,5	42,0	73,5	28,0	171,0	83,0	5552,773
188	-19,4	3,2	11,5	-6,6	33,1	25,2	22,7	16,5	13,7	16,67	57,75	65,38	41,46	78,5	40,0	73,0	20,0	173,0	71,0	4920,009
190	-18,7	3,9	10,0	-6,1	32,9	24,0	20,3	15,3	13,7	20,69	61,29	63,76	41,67	80,0	31,0	76,5	18,0	166,0	82,0	3914,003
194	-17,1	3,9	8,9	-8,4	34,8	24,7	20,8	14,8	11,5	22,64	94,55	60,13	32,87	90,5	40,0	75,0	24,0	164,5	70,0	3988,025
217	-19,5	4,0	11,0	-7,3	33,5	26,1	25,0	17,6	15,3	20,66	66,18	67,28	45,67	71,0	39,0	74,5	29,0	175,0	75,5	6013,077
T_3																				
535	-14,5	4,2	6,0	-6,1	33,7	23,5	14,9	8,2	5,5	28,89	102,70	34,93	16,27	93,5	33,5	66,0	19,0	171,0	71,5	1511,209
536	-14,2	4,2	6,1	-6,0	33,2	23,9	14,8	8,7	5,6	29,55	97,37	36,49	16,99	88,0	32,5	65,0	20,0	169,0	77,0	1616,580
537	-14,0	3,9	6,0	-6,0	33,4	23,2	14,9	8,9	5,6	27,59	100,00	38,19	16,91	91,5	35,0	65,0	20,5	169,0	81,0	1607,410
538	-15,2	3,5	6,1	-6,0	33,4	24,4	14,7	9,2	6,0	23,40	97,37	37,75	17,87	90,0	34,5	71,0	18,5	166,5	69,0	1723,393
539	-13,9	3,5	6,1	-6,8	32,7	22,9	14,8	9,0	5,6	25,58	110,53	39,44	17,24	96,0	37,5	71,0	24,5	168,0	80,0	1603,073
541	-15,2	3,9	6,5	-5,2	33,7	23,5	14,8	8,9	6,1	25,53	80,00	37,67	18,18	88,5	32,5	72,5	18,0	169,5	70,0	1618,797
543	-14,8	3,5	6,5	-6,0	34,2	23,9	14,7	9,0	5,6	23,91	92,50	37,84	16,51	92,5	34,0	71,0	22,0	171,0	76,0	1659,519
544	-15,3	3,9	6,1	-6,1	34,8	23,9	15,4	8,7	6,1	25,26	100,00	36,49	17,59	86,5	34,0	67,5	23,0	175,5	79,5	1671,010
545	-15,0	3,9	6,1	-6,3	36,0	23,7	14,9	8,7	5,8	25,81	102,63	36,73	16,14	86,0	33,5	63,5	19,0	169,0	79,5	1611,063
546	-14,4	4,0	6,3	-6,3	34,7	23,9	14,8	8,5	5,8	28,09	100,00	35,81	16,74	90,0	36,0	69,5	23,5	174,5	78,5	1581,301
547	-14,5	4,2	5,8	-5,8	34,2	23,7	15,0	8,7	6,1	28,89	100,00	36,73	17,92	84,0	34,0	68,5	15,5	165,5	72,0	1621,876
548	-14,4	4,2	6,0	-6,3	34,7	23,5	14,8	9,0	6,0	29,21	105,41	38,36	17,21	90,0	34,5	68,5	22,5	172,5	79,0	1648,230
549	-14,8	3,9	6,0	-6,1	34,5	23,5	15,0	9,0	6,0	26,09	102,70	38,36	17,29	85,5	33,5	65,0	19,0	170,0	75,0	1670,504
550	-15,2	4,0	6,1	-6,5	35,3	24,2	15,1	9,0	6,1	26,60	105,26	37,33	17,35	93,0	37,5	64,5	19,0	169,0	85,0	1727,713
556	-15,2	4,5	6,1	-5,8	34,7	24,7	14,4	8,7	6,8	29,79	94,74	35,29	19,53	89,0	33,0	65,5	20,0	172,5	78,5	1620,552
560	-13,9	4,2	6,3	-7,4	35,8	25,0	15,1	8,9	6,1	30,23	117,95	35,48	17,12	94,5	38,5	73,5	23,5	168,0	71,0	1753,422

Tableau 25

	p.v.	r.v.	h.s.v.	h.h.v.	Rh-Op	Na-Op	l.	h.	f.	100 r.v.$_4$/p.v.	100 h.h.v./h.s.v.	100 h./Na-Op	100 f./Rh-Op	A. foraminien	A. palatin	A. tentorial	A. ext. de la base	A. occipito-sphénoïdal	A. A.i.-Cond.-Go.	Capacités
H_4																				
197	-19,0	5,2	9,8	-6,3	39,7	27,4	20,0	13,9	11,1	27,12	63,93	50,59	28,05	80,0	33,0	69,5	15,5	166,5	69,0	3982,838
215	-18,1	4,5	8,9	-6,8	37,4	26,5	19,3	13,5	11,1	25,00	76,36	51,22	29,74	84,0	35,5	70,0	21,5	170,5	76,5	3621,560
219	-20,3	4,8	13,1	-7,9	38,5	28,4	24,9	19,4	16,3	23,81	60,49	68,18	42,26	78,5	40,5	73,5	25,5	165,0	79,5	7163,223
272	-19,4	4,5	10,6	-6,5	37,9	27,1	19,5	15,3	12,6	23,33	60,61	56,55	33,19	80,0	36,0	73,0	13,5	161,5	77,5	4239,189
H'_4																				
.41	-20,6	4,8	9,2	-8,7	45,2	29,2	22,8	15,5	11,8	23,44	94,74	53,04	26,07	94,0	31,0	67,0	21,5	163,5	71,0	5396,347
121	-21,9	4,4	8,7	-7,3	42,9	30,5	20,1	14,7	11,6	19,85	83,33	48,15	27,07	93,0	35,5	65,0	16,0	157,5	81,0	4708,846
T_4																				
542	-15,5	4,0	6,5	-6,1	36,5	24,5	15,2	9,4	6,0	26,04	95,00	38,16	16,37	85,0	31,0	69,5	18,5	167,5	76,0	1819,280
552	-14,4	4,2	6,0	-6,8	35,2	24,2	15,1	9,0	5,6	29,21	113,51	37,33	16,06	93,5	32,5	71,5	22,0	171,0	80,0	1727,713
554	-15,5	4,2	6,5	-6,1	35,8	23,9	15,2	9,4	6,0	27,08	95,00	39,19	16,67	89,5	30,5	64,0	18,5	169,0	78,5	1777,250
559	-16,1	4,0	6,3	-5,3	35,5	24,0	14,6	9,0	6,1	25,00	84,62	37,58	17,27	92,0	30,0	64,0	16,0	166,5	76,5	1659,367

Tableau 26

H_5	p.v.	r.v.	h.s.v.	h.h.v.	Rh-Op	Na-Op	l.	h.	f.	100 r.v./p.v.	100 h.h.v./h.s.v.	100 h./Na-Op	100 f./Rh-Op	A. foraminien	A. palatin	A. tentorial	A. ext. de la base	A. occipito-sphénoïdal	A. A.i.-Cond.-Go.	Capacités
6	-17,1	4,2	7,4	-6,3	33,5	23,7	17,3	12,3	9,5	24,53	84,78	51,70	28,37	93,0	34,0	70,5	17,5	161,5	88,5	2632,645
25	-17,3	5,2	7,3	-7,9	39,8	27,4	17,9	12,7	9,7	29,91	108,89	46,47	24,29	97,5	37,5	77,0	23,0	166,0	76,5	3274,495
36	-16,9	4,2	6,8	-6,1	37,1	25,6	16,8	10,5	7,7	24,76	90,48	40,88	20,87	87,5	32,5	72,5	18,0	163,5	79,0	2365,021
62	-16,8	4,5	7,3	-5,8	36,6	25,2	16,2	10,3	7,4	26,92	80,00	41,03	20,26	90,0	31,5	65,0	17,0	167,0	81,0	2203,103
75	-14,8	4,8	5,5	-7,1	34,5	23,7	16,2	10,0	7,7	32,61	129,41	42,18	22,43	89,0	35,0	69,0	21,5	168,0	79,0	2011,126
115	-17,6	4,2	6,5	-7,3	35,5	25,2	18,7	11,6	9,7	23,85	112,50	46,15	27,27	86,5	38,0	69,0	26,0	175,0	80,0	2860,974
154	-16,9	4,7	7,1	-7,4	36,8	25,5	18,4	12,6	10,0	27,62	104,55	49,37	27,19	99,0	39,5	78,0	24,5	164,5	74,0	3088,764
160	-17,1	4,5	6,9	-6,9	38,5	26,0	17,3	11,1	8,4	26,42	100,00	42,86	21,76	96,0	33,5	69,0	20,5	165,0	80,5	2617,799
163	-16,3	5,2	6,8	-6,8	37,6	25,3	17,4	10,8	8,4	31,68	100,00	42,68	22,32	94,0	33,0	67,0	18,5	165,5	81,0	2493,096
164	-16,8	4,2	6,8	-6,3	37,3	25,3	16,5	10,0	8,1	25,00	92,86	39,49	21,65	90,0	34,5	67,5	21,0	167,0	80,0	2187,714
166	-17,3	4,2	7,1	-6,0	37,9	25,5	17,0	10,0	8,1	24,30	84,09	39,24	21,28	92,0	32,0	66,5	20,5	167,5	82,0	2268,365
167	-16,1	4,5	6,8	-6,1	36,0	24,7	16,8	10,3	8,5	28,00	90,48	41,83	23,77	97,5	34,0	70,0	18,0	168,5	78,0	2240,763
178	-15,8	4,8	7,1	-7,3	35,0	24,5	17,8	12,6	9,7	30,61	102,27	51,32	27,65	91,5	40,5	74,0	19,0	161,0	72,5	2874,574
184	-16,3	5,2	6,8	-5,2	36,5	24,4	16,5	10,5	7,7	31,68	76,19	43,05	21,24	88,0	30,0	67,0	14,5	165,5	74,5	2205,919
186	-14,5	5,3	6,1	-7,4	36,1	24,0	16,8	11,0	7,9	36,67	121,05	45,64	21,88	99,0	36,5	74,5	23,0	165,0	81,5	2318,567
195	-17,7	4,5	7,7	-6,8	38,1	26,3	18,8	11,8	9,2	25,45	87,50	44,79	24,15	87,0	35,5	63,5	19,5	167,0	81,0	3047,078
200	-16,8	4,8	6,9	-6,8	38,5	26,0	17,7	10,3	7,4	28,85	97,67	39,75	19,25	92,0	34,0	69,0	19,5	167,0	83,5	2477,227
201	-18,1	4,0	7,4	-6,1	37,7	25,6	18,1	11,9	8,7	22,32	82,61	46,54	23,08	93,0	33,5	67,5	20,0	170,5	81,0	2900,833
210	-17,1	5,0	7,1	-7,7	33,5	24,7	18,6	11,9	9,0	29,25	109,09	48,37	26,92	90,0	40,0	73,5	27,0	163,5	75,5	2868,477
223	-14,8	4,5	6,9	-6,9	35,2	24,7	16,8	10,3	7,1	30,43	100,00	41,83	20,18	95,0	38,5	72,0	21,5	169,0	77,0	2240,763
224	-17,6	4,2	7,6	-5,8	36,0	25,0	17,0	11,0	8,2	23,85	76,60	43,87	22,87	86,5	36,0	66,0	15,0	164,0	83,5	2440,646
229	-17,9	3,9	6,8	-4,8	37,4	25,0	15,8	9,7	6,8	21,62	71,43	38,71	18,10	87,0	29,0	67,0	15,0	168,5	79,0	1995,165
238	-18,4	4,2	8,4	-5,3	36,8	25,6	17,3	11,3	8,7	22,81	63,46	44,03	23,68	81,5	33,5	61,5	14,0	165,5	78,0	2622,748
254	-16,9	4,8	6,8	-6,9	38,9	26,1	17,8	10,6	7,7	28,57	102,38	40,74	19,92	95,0	32,5	66,0	24,5	172,5	87,0	2585,071
257	-16,9	4,0	6,9	-5,5	36,8	25,5	16,3	9,7	7,1	23,81	79,07	37,97	19,30	92,5	35,0	69,0	17,0	166,5	83,5	2104,802
259	-15,5	4,2	7,1	-6,8	35,6	24,4	16,9	10,2	7,4	27,08	95,45	41,72	20,81	90,5	34,5	72,0	24,5	172,5	83,5	2183,397
261	-18,4	3,5	7,9	-5,6	37,3	25,6	17,3	11,0	7,9	19,30	71,43	42,77	21,21	89,0	34,0	67,0	19,0	169,5	87,0	2540,448

Tableau 27

T_5	p.v.	r.v.	h.s.v.	h.h.v.	Rh-Op	Na-Op	l.	h.	f.	100 r.v./p.v.	100 h.h.v./h.s.v.	100 h./Na-Op	100 f./Rh-Op	A. foraminien	A. palatin	A. tentorial	A. ext. de la base	A. occipito-sphénoïdal	A. A.i.-Cond.-Go.	Capacités
535	-14,5	4,2	6,0	-6,1	33,7	23,5	14,9	8,2	5,5	28,89	102,70	34,93	16,27	93,5	33,5	66,0	19,0	171,0	71,5	1511,209
538	-15,2	3,5	6,1	-6,0	33,4	24,4	14,7	9,2	6,0	23,40	97,37	37,75	17,87	90,0	34,5	71,0	18,5	166,5	69,0	1723,393
539	-13,9	3,5	6,3	-6,6	32,7	22,9	14,8	9,0	5,6	25,58	105,13	39,44	17,24	96,0	37,5	71,0	24,5	168,0	80,0	1603,073
541	-15,2	3,9	6,5	-5,2	33,7	23,5	14,8	8,9	6,1	25,53	80,00	37,67	18,18	88,5	32,5	72,5	18,0	169,5	70,0	1618,797
545	-15,0	3,9	6,1	-6,3	35,8	23,5	14,9	8,7	6,0	25,81	102,63	36,99	16,67	86,0	33,5	63,5	19,0	169,0	79,5	1600,104
546	-14,4	4,0	6,3	-6,1	34,7	23,9	14,8	8,5	6,0	28,09	97,44	35,81	17,21	90,0	36,0	69,0	23,5	174,5	78,5	1581,301
547	-14,5	4,2	5,8	-5,8	34,2	23,7	15,0	8,7	6,3	28,89	100,00	36,73	18,40	84,0	34,0	68,5	15,5	165,5	72,0	1621,876
550	-15,2	4,0	6,1	-6,5	35,3	24,0	15,1	9,0	6,1	26,60	105,26	37,58	17,35	93,0	37,0	64,5	19,0	169,0	85,0	1716,194
551	-14,4	4,2	6,0	-6,8	35,3	24,0	14,8	8,7	5,8	29,21	113,51	36,24	16,44	94,5	37,0	72,5	22,5	170,5	71,5	1616,543
553	-14,8	4,2	6,1	-6,9	37,3	25,3	14,9	8,7	6,0	28,26	113,16	34,39	16,02	92,0	34,0	61,5	20,5	169,0	82,0	1720,659
554	-15,5	4,2	6,5	-6,1	35,8	23,9	15,2	9,4	6,0	27,08	95,00	39,19	16,67	89,5	30,5	64,0	18,5	169,0	78,5	1777,250
555	-16,1	4,0	6,5	-6,5	36,6	25,2	15,3	9,0	6,5	25,00	100,00	35,90	17,62	84,5	31,0	66,0	17,5	171,5	72,0	1820,620
556	-15,2	4,5	6,1	-6,0	34,7	24,7	14,4	8,7	6,6	29,79	97,37	35,29	19,07	89,0	33,0	65,5	20,0	172,5	78,5	1620,552
557	-15,5	4,2	6,3	-6,0	35,5	24,5	15,0	9,4	6,3	27,08	94,87	38,16	17,73	89,5	34,5	64,0	19,0	166,5	82,0	1801,267
558	-16,1	4,2	6,3	-6,1	35,3	25,0	15,0	9,0	6,5	26,00	97,44	36,13	18,26	87,0	31,0	69,0	19,0	167,5	82,0	1773,480
559	-16,1	4,0	6,3	-5,3	35,5	24,0	14,6	9,0	6,1	25,00	84,62	37,58	17,27	92,0	30,0	64,0	16,0	166,5	76,5	1659,367
560	-13,9	4,2	6,3	-7,4	35,8	25,0	15,1	8,9	6,1	30,23	117,95	35,48	17,12	94,5	38,5	74,0	23,5	168,0	71,0	1753,423
562	-16,9	4,2	6,8	-6,0	38,9	26,0	15,6	9,0	5,8	24,76	88,10	34,78	14,94	92,0	29,0	67,0	17,0	167,0	82,5	1915,816
565	-16,1	4,4	6,8	-6,0	39,0	26,3	15,2	9,4	6,3	27,00	88,10	35,58	16,12	97,0	31,0	67,0	17,0	167,5	78,0	1957,377
567	-16,0	4,8	6,6	-6,6	41,1	26,9	15,3	9,0	6,0	30,30	100,00	33,53	14,51	92,0	32,5	65,0	20,0	168,0	65,5	1948,997
568	-14,5	4,2	6,3	-6,6	38,1	25,5	15,1	8,7	5,8	28,89	105,13	34,18	15,25	94,5	35,0	68,5	20,0	166,5	73,5	1754,862
569	-14,2	4,5	6,8	-7,3	40,0	26,6	15,3	8,7	6,1	31,82	107,14	32,73	15,32	98,5	36,0	67,0	24,5	172,0	73,5	1850,814
571	-14,5	4,7	6,9	-6,8	38,7	25,8	15,4	8,4	5,8	32,22	97,67	32,50	15,00	96,0	35,0	68,0	21,0	166,0	73,5	1745,257
572	-14,4	4,5	6,3	-6,8	38,5	25,6	15,1	8,5	5,8	31,46	107,69	33,33	15,06	97,5	33,5	68,0	22,0	170,0	73,5	1733,266
573	-15,2	4,5	6,5	-7,1	40,3	26,8	15,6	8,7	6,5	29,79	110,00	32,53	16,00	91,0	35,0	69,0	21,0	169,0	79,0	1904,766
575	-14,5	4,7	6,5	-6,8	39,5	26,5	15,6	8,7	6,1	32,22	105,00	32,93	15,51	97,0	35,0	66,0	22,0	168,0	75,0	1875,786
570	-13,5	4,4	6,8	-7,3	38,9	26,3	15,1	9,0	6,0	32,14	107,14	34,36	15,35	100,0	37,0	72,0	30,0	174,0	78,0	1877,448

Tableau 27 bis

H_6 ♂	p.v.	r.v.	h.s.v.	h.h.v.	Rh-Op	Na-Op	l.	h.	f.	100 r.v./p.v.	100 h.h.v./h.s.v.	100 h./Na-Op	100 f./Rh-Op	A. foraminien	A. palatin	A. tentorial	A. ext. de la base	A. occipito-sphénoïdal	A. A.i.-Cond.-Go.	Capacités
2	-16,8	6,5	7,4	-8,7	41,9	29,4	19,5	13,1	9,4	38,46	117,39	44,51	22,31	94,0	38,0	68,5	23,0	166,5	79,0	3915,672
3	-18,4	5,6	8,1	-8,7	45,0	30,3	19,1	12,9	10,5	30,70	108,00	42,55	23,30	99,0	41,0	70,0	24,0	166,0	75,0	3912,879
7	-16,1	6,8	6,5	-8,7	47,6	31,5	17,7	11,1	8,4	42,00	135,00	35,38	17,63	112,5	36,0	79,5	16,0	158,0	81,0	3243,936
13	-17,9	5,0	8,2	-7,9	43,9	29,0	17,4	12,9	10,3	27,93	96,08	44,44	23,53	99,5	40,0	69,0	17,5	157,0	81,5	3412,927
18	-19,5	5,8	8,7	-8,5	46,1	30,6	19,8	13,2	9,8	29,75	98,15	43,16	21,33	98,0	34,0	78,0	22,0	164,0	79,0	4201,921
27	-18,4	5,2	8,7	-9,4	45,0	30,2	19,8	13,5	10,6	28,07	107,41	44,92	23,66	99,5	39,5	78,0	25,0	163,5	82,5	4236,443
35	-20,3	5,8	8,4	-7,3	46,6	31,3	20,3	13,7	10,3	28,57	86,54	43,81	22,15	95,5	34,0	70,0	19,0	166,0	82,0	4559,655
43	-16,9	6,0	7,6	-10,2	48,1	31,3	18,5	12,6	9,7	35,24	134,04	40,21	20,13	109,0	39,5	81,5	20,0	155,0	84,5	3813,145
52	-21,0	4,8	8,7	-7,7	48,1	31,9	18,4	12,7	10,0	23,08	88,89	39,90	20,81	103,0	36,0	70,0	19,0	163,0	92,0	3920,355
63	-19,0	4,5	7,4	-7,4	44,5	29,7	18,4	10,6	8,9	23,73	100,00	35,87	19,93	98,0	37,5	66,0	21,0	161,0	87,5	3043,651
74	-20,3	3,1	7,7	-9,0	48,2	32,3	20,2	11,9	11,3	15,08	116,67	37,00	23,41	96,0	46,0	73,5	20,0	161,5	79,0	4072,193
76	-19,4	4,4	7,1	-7,9	48,1	31,5	17,8	10,6	8,9	22,50	111,36	33,85	18,46	100,0	38,0	69,0	16,5	160,0	88,0	3120,425
83	-17,3	6,1	7,1	-9,0	51,8	34,2	19,4	10,6	9,4	35,51	127,27	31,13	18,07	96,0	42,5	64,0	21,0	163,0	82,5	3697,403
91	-20,0	5,2	8,4	-7,4	46,9	31,5	18,5	12,3	10,0	25,81	88,46	38,97	21,31	106,0	39,5	70,0	16,0	160,0	88,5	3734,523
93	-21,1	5,2	7,4	-6,8	48,4	31,9	19,1	10,8	9,2	24,43	91,30	33,84	19,00	94,5	33,0	62,5	13,5	157,0	90,0	3451,347
94	-17,9	5,5	7,7	-9,0	48,5	31,3	20,6	11,9	10,0	30,63	116,67	38,14	20,60	100,5	41,5	68,5	20,0	156,5	82,0	4028,245
99	-16,8	5,8	7,1	-8,5	48,9	32,6	19,4	10,8	9,4	34,62	120,45	33,17	19,14	104,5	41,0	73,0	18,5	158,0	81,0	3576,376
102	-17,7	4,8	6,8	-8,7	46,5	31,3	19,2	10,6	8,4	27,27	128,57	34,02	18,06	104,5	38,5	70,0	19,0	157,0	83,0	3348,591
109	-18,7	4,8	7,3	-9,7	47,4	31,6	20,0	12,9	10,0	25,86	133,33	40,82	21,09	108,0	42,0	82,0	22,0	156,5	81,5	4271,607
112	-21,1	4,8	8,2	-8,1	47,9	32,3	20,1	13,4	10,8	22,90	98,04	41,50	22,56	97,5	38,0	74,0	18,5	160,0	87,5	4544,848
114	-19,4	5,8	7,1	-8,9	50,6	32,9	20,5	12,7	9,7	30,00	125,00	38,73	19,11	110,0	35,5	70,0	13,5	150,0	81,0	4500,144
123	-18,7	5,5	6,8	-9,0	49,5	32,6	19,9	12,1	10,3	29,31	133,33	37,13	20,85	104,5	39,0	72,0	16,5	153,0	84,5	4106,586
138	-19,7	5,8	7,4	-9,0	51,3	33,9	19,4	12,6	10,6	29,51	121,74	37,14	20,75	103,5	39,0	70,5	17,0	159,5	81,5	4328,435
140	-22,1	5,0	8,4	-7,7	49,2	33,4	19,6	13,7	11,6	22,63	92,31	41,06	23,61	97,5	38,5	73,0	16,0	158,0	80,5	4697,433
143	-19,7	5,3	7,4	-7,7	43,5	29,4	18,1	13,2	10,3	27,05	104,35	45,05	23,70	104,0	36,5	67,0	14,0	159,0	78,0	3679,417
146	-18,2	4,7	6,8	-7,1	40,2	27,4	18,9	11,9	9,4	25,66	104,76	43,53	23,29	97,0	36,5	73,0	19,0	164,0	83,0	3238,603
156	-16,8	5,0	7,7	-7,1	40,8	27,3	18,5	11,3	8,4	29,81	91,67	41,42	20,55	98,0	36,0	71,0	22,0	165,0	81,0	2981,067
157	-19,2	5,2	7,3	-6,0	41,1	27,7	18,1	11,3	8,7	26,89	82,22	40,70	21,18	93,5	31,0	69,0	14,0	163,0	85,0	2968,386
172	-21,3	5,5	8,7	-8,1	46,5	31,9	22,0	13,9	11,6	25,76	92,59	43,43	25,00	93,5	36,5	68,0	18,0	160,0	81,0	5102,718
177	-18,2	5,0	7,1	-7,7	47,1	30,6	18,7	10,8	8,9	27,43	109,09	35,26	18,84	109,0	36,5	74,0	19,0	161,0	87,5	3233,869
202	-20,8	5,2	7,6	-7,4	49,7	32,3	20,2	12,1	9,8	24,81	97,87	37,50	19,81	99,5	33,5	74,0	15,5	156,5	83,5	4127,222
204	-21,9	5,0	8,5	-7,4	51,0	33,7	20,4	13,2	10,8	22,79	86,79	39,23	21,20	96,5	37,5	73,5	15,0	160,0	81,5	4750,505
207	-17,9	5,8	6,9	-8,9	48,7	31,6	19,5	11,6	8,7	32,43	127,91	36,73	17,88	106,5	38,5	71,0	23,0	165,0	76,5	3748,335
250	-18,1	4,5	7,7	-6,6	41,0	27,3	17,8	10,6	7,1	25,00	85,42	39,05	17,32	95,5	29,0	67,0	18,5	163,0	78,0	2704,369
276	-21,6	5,2	8,4	-6,9	49,5	33,2	18,8	12,3	10,3	23,88	82,69	36,89	20,85	101,0	35,0	75,5	16,0	165,0	80,5	4009,165
279	-21,9	5,3	8,4	-6,8	48,4	32,3	20,0	11,9	9,0	24,26	80,77	37,00	18,67	105,0	32,5	78,0	13,5	158,5	83,0	4031,874

Tableau 28

T_6 ♂	p.v.	r.v.	h.s.v.	h.h.v.	Rh-Op	Na-Op	l.	h.	f.	100 r.v./p.v.	100 h.h.v./h.s.v.	100 h./Na-Op	100 f./Rh-Op	A. foraminien	A. palatin	A. tentorial	A. ext. de la base	A. occipito-sphénoïdal	A. A.i.-Cond.-Go.	Capacités
563	-17,1	4,4	7,1	-6,0	40,2	26,3	15,7	8,9	6,3	25,47	84,09	33,74	15,66	93,5	32,5	63,0	19,5	168,0	88,0	1911,084
564	-16,5	4,7	6,8	-6,8	41,0	27,1	16,0	9,4	6,8	28,43	100,00	34,52	16,54	91,0	34,0	69,0	19,5	168,0	78,0	2123,599
566	-14,7	4,7	6,3	-7,6	41,0	26,8	15,9	9,0	6,3	31,87	120,51	33,73	15,35	99,0	36,5	71,0	21,5	166,5	75,5	2006,969
580	-17,9	4,8	7,1	-6,0	41,3	27,7	16,3	8,7	5,6	27,03	84,09	31,40	13,67	98,0	28,0	70,0	16,0	162,5	84,0	2062,173
581	-16,5	5,3	6,8	-6,6	43,2	29,0	16,1	9,2	6,8	32,35	97,62	31,67	15,67	96,5	34,5	70,0	18,0	168,0	77,0	2250,031
585	-16,3	4,5	7,4	-7,1	43,2	29,0	15,9	9,4	6,1	27,72	95,65	32,22	14,18	99,5	36,5	74,0	19,0	165,0	81,5	2261,064
587	-14,8	4,8	6,8	-8,2	43,9	27,9	16,5	9,4	6,3	32,61	121,43	33,53	14,34	95,5	36,5	73,0	26,0	169,0	80,0	2255,139
588	-16,1	5,2	6,5	-7,1	43,2	28,4	15,9	9,4	6,3	32,00	110,00	32,95	14,55	97,0	32,5	76,0	20,0	172,0	82,0	2203,866
594	-16,1	5,5	6,8	-7,7	47,6	30,0	16,5	9,4	6,6	34,00	114,29	31,18	13,90	102,5	32,0	70,0	21,0	163,5	81,0	2424,600
595	-16,5	5,5	6,6	-7,3	46,3	30,2	15,7	9,4	6,6	33,33	109,76	31,02	14,29	102,0	31,5	69,0	18,0	164,0	85,5	2319,447
596	-14,8	5,5	6,8	-7,7	46,3	29,8	15,7	9,0	7,1	36,96	114,29	30,27	15,33	97,5	37,0	73,5	26,5	175,0	83,0	2215,515
597	-15,6	4,7	7,3	-8,1	46,0	30,2	15,6	9,0	6,9	29,90	111,11	29,95	15,09	101,0	39,5	74,0	25,5	174,0	86,0	2225,202
604	-16,6	5,2	6,5	-8,1	47,1	31,3	16,0	9,0	6,9	31,07	125,00	28,87	14,73	102,0	33,5	71,5	17,0	160,0	81,0	2367,691
608	-15,8	5,2	6,8	-8,1	47,7	31,0	16,8	8,9	6,8	32,65	119,05	28,65	14,19	98,0	35,0	75,0	20,5	168,5	81,0	2416,509
622	-16,0	5,3	6,8	-8,1	47,7	31,9	16,7	9,2	6,5	33,33	119,05	28,79	13,51	98,5	33,0	78,0	21,0	167,5	80,0	2567,271
623	-16,8	5,2	6,9	-7,9	47,7	31,5	16,7	9,4	6,9	30,77	113,95	29,74	14,53	107,5	35,0	71,5	20,0	165,0	83,0	2572,731
625	-17,7	5,2	7,1	-7,6	50,2	33,4	16,3	9,5	6,9	29,09	106,82	28,50	13,83	106,5	34,5	73,0	20,0	165,0	84,0	2711,597
632	-17,7	4,8	6,8	-7,7	49,0	33,1	16,6	9,5	6,9	27,27	114,29	28,78	14,14	106,5	34,0	76,5	18,0	161,5	86,0	2734,823
634	-16,6	5,0	7,1	-8,1	48,4	31,8	16,3	9,2	6,9	30,10	113,64	28,93	14,33	105,0	38,0	72,5	20,0	161,0	81,0	2493,124
635	-15,8	5,3	7,1	-8,2	47,9	31,9	16,4	9,4	6,8	33,67	115,91	29,29	14,14	107,0	37,0	81,5	17,5	157,0	76,5	2565,383
636	-15,5	5,2	7,1	-8,9	50,0	33,1	16,4	9,4	7,1	33,33	125,00	28,29	14,19	103,0	36,5	74,0	21,5	164,0	89,0	2656,079
637	-16,3	5,0	7,3	-8,5	49,2	32,6	16,4	9,4	6,8	30,69	117,78	28,71	13,77	105,0	36,0	74,5	24,0	167,5	91,5	2617,209
643	-15,6	5,3	6,6	-7,9	48,7	31,6	16,4	9,0	6,6	34,02	119,51	28,57	13,58	104,0	36,0	83,0	20,0	167,0	77,5	2451,902
644	-16,8	5,2	6,9	-7,9	48,9	32,7	16,4	9,7	7,3	30,77	113,95	29,56	14,85	105,0	37,0	76,5	17,0	159,0	80,5	2720,861
649	-16,8	5,5	7,1	-8,4	50,2	32,6	16,9	9,7	7,1	32,69	118,18	29,70	14,15	107,0	34,0	76,5	19,5	162,0	85,0	2790,002
651	-14,2	5,2	6,5	-9,4	49,0	33,1	16,3	9,0	6,9	36,36	145,00	27,32	14,14	101,0	40,0	80,0	24,0	164,0	82,5	2548,853
652	-14,7	5,5	6,5	-8,5	48,7	31,9	15,7	8,7	6,6	37,36	132,50	27,27	13,58	105,0	34,5	70,5	18,5	160,5	79,0	2286,514
653	-15,8	5,2	6,9	-8,5	50,0	32,9	16,5	9,4	7,1	32,65	123,26	28,43	14,19	107,5	38,0	82,0	20,0	161,0	91,0	2659,239
654	-14,8	5,5	6,5	-8,7	49,4	32,6	16,1	9,4	7,3	36,96	135,00	28,71	14,71	104,5	38,0	91,0	19,5	160,5	84,0	2569,334
655	-16,3	5,0	7,1	-8,7	49,8	32,1	16,4	8,7	6,8	30,69	122,73	27,14	13,59	109,5	36,5	81,0	22,5	165,5	82,5	2400,523
659	-18,9	4,8	6,8	-7,4	50,2	33,2	16,6	10,0	7,9	25,64	109,52	30,10	15,76	109,0	39,0	89,0	20,0	165,5	83,5	2887,901
660	-17,3	5,2	6,6	-8,1	49,7	33,1	16,7	10,0	8,1	29,91	121,95	30,24	16,23	112,0	38,5	82,0	18,5	158,5	83,5	2891,194
661	-17,4	4,7	7,3	-8,5	51,0	32,9	16,7	9,7	8,2	26,85	117,78	29,41	16,14	99,5	40,0	73,0	22,5	166,5	81,5	2784,281
662	-16,5	5,3	7,1	-7,7	49,7	32,9	16,4	9,4	7,1	32,35	109,09	28,43	14,29	101,0	36,5	79,5	17,5	159,0	84,5	2643,122
663	-16,9	5,5	7,1	-7,7	50,3	32,7	16,9	9,5	7,4	32,38	109,09	29,06	14,74	99,0	33,5	66,0	21,0	166,5	83,5	2757,084
664	-15,6	5,6	6,5	-8,2	49,2	32,6	16,2	9,2	7,3	36,08	127,50	28,22	14,75	99,5	37,5	81,5	21,0	165,0	80,0	2540,718

Tableau 28 bis

H_6 ♀	p.v.	r.v.	h.s.v.	h.h.v.	Rh-Op	Na-Op	l.	h.	f.	100 r.v./p.v.	100 h.h.v./h.s.v.	100 h./Na-Op	100 f./Rh-Op	A. foraminien	A. palatin	A. tentorial	A. ext. de la base	A. occipito-sphénoïdal	A. A.i.-Cond.-Go.	Capacités
17	-20,3	4,5	9,0	-7,4	42,6	29,4	18,4	13,5	10,5	22,22	82,14	46,15	24,62	87,0	31,5	68,0	19,0	166,0	81,5	3831,632
24	-18,9	5,3	7,4	-6,8	44,0	29,0	18,6	11,8	8,7	28,21	91,30	40,56	19,78	92,5	33,0	67,0	16,5	164,0	84,0	3329,075
46	-19,4	4,7	8,7	-7,9	44,4	29,4	19,1	13,4	10,3	24,17	90,74	45,60	23,27	102,5	37,5	80,0	22,0	163,5	79,0	3930,050
49	-18,9	5,8	7,1	-7,7	44,5	29,7	17,6	12,1	9,4	30,77	109,09	40,76	21,01	106,0	35,0	74,5	16,0	160,5	80,0	3308,316
55	-19,8	6,1	8,4	-7,3	43,2	28,5	19,9	13,7	10,2	30,89	86,54	48,02	23,51	92,0	31,0	68,0	18,0	163,0	82,5	4078,125
64	-17,9	4,5	6,8	-6,8	40,6	26,8	17,6	10,6	7,4	25,23	100,00	39,76	18,25	100,0	31,0	67,0	20,0	160,0	83,5	2626,515
65	-20,3	4,8	7,6	-6,1	43,2	29,0	18,1	11,3	8,4	23,81	80,85	38,89	19,40	94,0	31,0	63,5	14,0	164,5	79,0	3106,450
71	-16,0	5,2	6,5	-8,7	45,0	30,3	17,4	9,5	9,0	32,32	135,00	31,38	20,07	95,0	45,5	73,0	23,5	166,0	85,5	2628,902
73	-17,7	4,7	7,1	-8,2	46,8	31,0	18,0	10,2	9,5	26,36	115,91	32,81	20,34	91,0	40,5	70,0	22,5	167,0	78,5	2965,716
77	-18,5	4,7	6,5	-6,9	44,8	30,0	16,4	10,3	8,1	25,22	107,50	34,41	17,99	96,0	34,5	69,5	16,5	166,5	80,0	2659,206
78	-17,4	5,5	7,1	-7,9	45,0	30,2	19,1	11,8	9,7	31,48	111,36	39,04	21,51	97,0	39,0	67,5	19,0	162,5	80,5	3551,510
80	-20,6	4,5	7,9	-7,7	45,0	30,6	19,7	12,3	10,2	21,88	97,96	40,00	22,58	88,5	36,0	70,0	16,5	160,5	78,5	3874,794
85	-18,4	5,6	6,9	-6,9	44,4	29,0	18,1	11,0	9,2	30,70	100,00	37,78	20,73	94,5	36,0	62,0	16,5	167,5	81,0	3017,694
86	-18,4	5,8	7,7	-8,7	47,7	32,3	20,4	12,6	11,0	31,58	112,50	39,00	22,97	90,0	42,0	71,0	18,0	162,0	78,0	4334,809
88	-16,9	5,5	7,9	-8,9	46,8	31,3	17,8	11,9	10,2	32,38	112,24	38,14	21,72	96,0	43,5	72,0	21,0	159,5	76,0	3480,717
90	-21,3	4,2	7,7	-6,5	42,3	28,7	19,9	12,7	9,7	19,70	83,33	44,38	22,90	85,0	29,0	66,0	13,5	156,5	84,5	3811,671
92	-19,4	5,2	7,4	-7,3	46,5	31,0	18,8	11,1	9,7	26,67	97,83	35,94	20,83	102,0	37,0	68,5	14,5	153,5	79,5	3392,528
95	-20,0	4,8	7,1	-6,0	45,8	30,3	17,2	10,2	8,1	24,19	84,09	33,51	17,61	92,5	31,0	64,0	11,0	159,0	82,5	2774,866
118	-19,4	4,5	7,1	-7,4	44,8	29,7	18,3	11,6	8,7	23,33	104,55	39,13	19,42	100,0	34,0	69,0	18,0	160,0		3302,301
125	-16,9	5,2	7,9	-7,6	43,7	29,0	17,5	11,6	9,2	30,48	95,92	40,00	21,03	99,0	37,5	77,0	15,0	152,0	84,5	3089,287
126	-18,1	4,5	7,6	-8,5	42,9	29,0	18,5	12,9	9,4	25,00	112,77	44,44	21,80	103,5	40,0	82,0	22,0	154,5	72,0	3628,687
127	-16,6	5,5	7,1	-8,1	46,1	30,2	17,9	11,0	8,5	33,01	113,64	36,36	18,53	97,0	38,0	74,0	19,0	160,5	83,0	3100,408
130	-16,5	5,2	7,4	-9,2	44,5	30,2	18,2	11,0	9,7	31,37	123,91	36,36	21,74	96,0	42,5	71,0	24,0	159,0	76,5	3152,370
136	-20,8	4,2	7,9	-7,9	45,5	31,0	19,7	12,3	10,6	20,16	100,00	39,58	23,40	91,0	39,5	68,0	12,0	153,0	83,0	3915,582
137	-20,8	4,7	7,4	-7,3	44,4	30,3	18,6	12,7	10,2	22,48	97,83	42,02	22,91	92,5	34,5	71,0	12,5	155,0	80,0	3762,817
139	-20,8	5,2	8,1	-7,9	45,8	31,3	20,0	14,2	12,4	24,81	98,00	45,36	27,11	86,0	39,0	69,0	13,0	155,5	79,0	4650,821
149	-16,8	5,5	6,6	-8,9	40,6	27,7	19,3	12,3	9,5	32,69	134,15	44,19	23,41	95,0	38,0	74,0	23,5	165,5	84,5	3436,486
205	-16,8	4,5	6,5	-9,0	44,2	28,7	18,3	11,6	9,2	26,92	140,00	40,45	20,80	109,0	43,0	77,0	24,0	159,0	80,5	3194,617
216	-22,3	4,8	9,0	-6,9	47,7	31,9	19,9	13,5	10,5	21,74	76,79	42,42	21,96	84,0	30,5	68,5	13,5	159,0	80,0	4496,972
218	-22,4	4,2	8,4	-6,9	47,1	31,6	19,3	12,6	10,5	18,71	82,69	39,80	22,26	95,0	35,0	65,0	22,5	170,5	79,5	4019,048
269	-18,2	5,5	6,9	-7,6	44,4	30,0	17,3	11,3	9,0	30,09	109,30	37,63	20,36	87,0	32,5	78,0	17,0	168,0	79,5	3068,120
284	-18,2	4,8	7,3	-7,6	46,3	30,6	17,1	10,3	7,4	26,55	104,44	33,68	16,03	100,5	35,0	66,5	20,0	167,0	82,0	2832,337

Tableau 29

T_6 ♀	p.v.	r.v.	h.s.v.	h.h.v.	Rh-Op	Na-Op	l.	h.	f.	100 r.v./p.v.	100 h.h.v./h.s.v.	100 h./Na-Op	100 f./Rh-Op	A. foraminien	A. palatin	A. tentorial	A. ext. de la base	A. occipito-sphénoïdal	A. A.i.-Cond.-Go.	Capacités
578	-16,1	4,7	6,6	-6,8	41,5	27,7	16,2	8,9	6,3	29,00	102,44	31,98	15,18	97,0	33,0	71,0	20,0	168,0	84,0	2087,476
593	-15,3	4,8	6,8	-7,4	42,1	27,1	15,9	9,7	6,5	31,58	109,52	35,71	15,33	101,5	33,0	74,0	25,0	170,0	80,5	2176,231
599	-16,6	5,0	6,9	-6,8	44,8	29,2	15,7	9,4	6,5	30,10	97,67	32,04	14,39	102,0	32,5	69,0	19,0	167,0	80,0	2245,026
601	-17,4	4,8	7,1	-6,8	44,2	28,7	15,6	9,0	6,3	27,78	95,45	31,46	14,23	97,5	27,5	69,0	16,0	161,0	82,5	2118,107
605	-15,5	5,2	6,6	-7,4	42,9	28,4	15,8	9,2	6,5	33,33	112,20	32,39	15,04	95,0	35,0	76,5	21,5	164,0	85,5	2152,203
606	-15,8	4,7	6,8	-7,4	43,9	28,5	15,9	9,0	6,3	29,59	109,52	31,64	14,34	100,5	33,0	76,5	21,0	167,0	87,0	2146,711
607	-14,2	4,8	6,5	-7,7	42,3	28,1	15,5	9,2	6,3	34,09	120,00	32,76	14,89	101,5	36,0	76,0	21,0	163,5	81,5	2093,973
612	-14,8	5,2	6,5	-7,9	44,8	29,2	15,8	8,7	6,5	34,78	122,50	29,83	14,39	98,0	35,0	71,0	22,0	168,0	87,0	2103,510
614	-16,5	4,7	6,8	-7,1	45,2	29,4	15,5	9,4	6,8	28,43	104,76	31,87	15,00	92,5	33,5	76,0	19,5	166,0	84,0	2228,673
615	-14,5	4,8	6,5	-8,1	44,5	30,0	15,8	8,7	6,3	33,33	125,00	29,03	14,13	94,5	34,5	74,0	21,0	167,0	87,0	2161,618
616	-17,1	5,2	6,8	-6,8	44,4	29,7	16,2	9,5	7,1	30,19	100,00	32,07	16,00	93,5	33,0	71,0	18,0	165,0	90,0	2395,522
618	-15,3	5,2	6,5	-7,6	43,4	28,9	15,5	8,9	6,1	33,68	117,50	30,73	14,13	99,0	33,0	80,0	21,0	167,0	86,0	2078,560
619	-15,5	4,5	6,8	-7,7	43,9	29,2	15,2	9,0	5,5	29,17	114,29	30,94	12,50	101,5	33,0	80,0	21,5	167,0	84,5	2098,580
627	-15,2	4,8	6,6	-7,9	45,2	30,0	15,6	8,9	6,1	31,91	119,51	29,57	13,57	100,0	33,5	78,5	21,0	164,5	86,0	2173,779
628	-15,8	5,3	6,5	-7,6	45,6	30,0	15,4	9,4	6,1	33,67	117,50	31,18	13,43	105,0	33,5	77,0	18,5	161,0	84,0	2262,960
629	-14,2	4,8	6,5	-8,7	42,9	29,0	15,5	9,4	6,5	34,09	135,00	32,22	15,04	106,0	37,5	81,5	24,0	166,0	84,0	2204,182
630	-15,6	5,8	6,1	-7,1	44,5	30,0	15,7	8,7	6,1	37,11	115,79	29,03	13,77	97,0	31,5	71,5	16,0	164,0	83,5	2147,937
631	-16,3	5,0	6,5	-7,1	43,9	29,8	15,5	9,0	6,3	30,69	110,00	30,27	14,34	99,5	32,0	74,5	18,0	166,0		2187,292
639	-16,1	4,7	6,9	-8,2	46,3	30,6	16,5	9,2	6,5	29,00	118,60	30,00	13,94	103,5	36,5	74,0	20,0	162,0	85,0	2434,040
641	-13,7	4,4	6,5	-9,0	43,9	29,4	15,6	8,5	6,5	31,76	140,00	29,12	14,71	99,0	41,5	79,0	25,0	166,5	83,5	2049,685
642	-13,5	4,5	6,1	-8,9	44,7	29,8	15,8	8,9	6,5	33,33	144,74	29,73	14,44	96,5	39,0	81,5	26,5	166,0	83,5	2189,812
645	-15,0	5,0	5,8	-7,3	43,5	30,0	15,3	8,4	6,1	33,33	125,00	27,96	14,07	97,5	34,0	73,0	16,5	161,5	85,0	2015,686
647	-15,5	4,5	6,5	-7,7	43,5	29,7	15,2	8,9	6,6	29,17	120,00	29,89	15,19	96,5	35,5	80,5	22,0	168,5	82,5	2095,267
648	-14,2	5,3	6,1	-8,1	44,4	29,7	15,6	8,7	6,5	37,50	131,58	29,35	14,55	101,5	37,0	82,0	21,5	165,0	85,0	2111,307
656	-15,3	4,7	6,5	-8,2	43,5	30,3	15,9	9,0	6,3	30,53	127,50	29,79	14,44	97,5	36,0	79,5	22,0	165,0	83,0	2280,123
657	-15,5	5,2	6,5	-8,1	46,6	31,0	16,2	9,2	7,1	33,33	125,00	29,6[illegible]	15,22	99,5	38,0	73,5	19,5	162,0	79,5	2414,940
658	-16,6	4,4	7,1	-7,1	44,8	30,0	15,5	9,4	6,6	26,21	100,00	31,18	14,75	98,5	36,0	74,5	17,0	159,0	82,5	2277,655
665	-16,1	5,2	7,1	-7,3	45,6	29,7	16,0	9,4	6,6	32,00	102,27	31,52	14,49	97,5	35,0	81,5	16,5	160,5	83,0	2325,846
666	-16,1	4,5	6,3	-8,1	45,5	30,3	16,2	9,4	6,9	28,00	128,21	30,85	15,25	101,0	35,0	78,5	21,0	165,0	86,5	2406,113
667	-16,5	4,8	6,8	-7,9	45,8	30,2	15,5	9,5	7,4	29,41	116,67	31,55	16,20	101,5	39,5	79,0	18,0	161,0	81,5	2329,381
668	-15,3	4,7	7,1	-8,4	46,8	30,8	16,2	9,4	6,8	30,53	118,18	30,37	14,48	102,5	37,5	84,0	21,5	163,0	81,5	2444,509
669	-16,9	4,8	6,8	-7,6	46,8	31,0	16,2	9,2	7,1	28,57	111,90	29,69	15,17	92,5	34,0	79,0	18,5	166,0	81,0	2414,940

Tableau 29 bis

RESULTATS STATISTIQUES

Les multiples interventions mathématiques menant aux résultats qui sont proposés au lecteur dans les tableaux suivants, ont été réalisées sur un ordinateur (Monroe 1665-W_1) programmé par cartes perforées. Pour toute valeur devant intervenir à nouveau dans la suite des calculs, nous avons ménagé quatre décimales; par contre dans les autres cas, deux décimales ou parfois même une seule, apportent une précision largement suffisante eu égard aux méthodes et techniques utilisées.

Pour s'assurer d'une plus grande rigueur, la programmation de l'ordinateur prévoyait la réduction (de 3,1 ou 5,8) des valeurs linéaires introduites, ce qui permettait l'utilisation des chiffres directement relevés sur calques.

C'est ainsi que pour les coordonnées vestibulaires des points (**Tableaux 30A à 38E**), et pour les longueurs, indices, angles et capacités (**Tableaux 39 à 47B**), on a calculé et présenté successivement pour les hydrocéphales, et les témoins de chaque classe, les valeurs statistiques suivantes :

- La moyenne (M).
- L'écart-type (σ) qui est la racine carrée de la variance.
- L'effectif (n).
- L'étalement de la base de la courbe gaussienne ($M \pm 2,6\ \sigma$).

En regard de ces deux dernières valeurs, on trouvera les extrêmes supérieur et inférieur de chaque paramètre de la classe correspondante.

- L'intervalle de confiance de la moyenne ($M \pm T_{SM}$) où T est lu dans la table de Student, pour les petits effectifs et rendu égal à 2,6 pour les grands effectifs (sécurité : 99 %) comme pour tous les calculs proposés dans cette thèse).

- Le coefficient de corrélation (r) entre les abscisses et les ordonnées d'un point mis en nuage (les unités étant évidemment égales sur les axes). Les valeurs limites de signification (* pour 95 % de sécurité et ** pour 99 %) sont lues sur les tables en tenant compte du nombre de degrés de liberté (fonction de l'effectif).

- Les pentes ($\alpha°$ et $\beta°$) exprimées en degrés, des deux droites de régression (de X en Y et Y en X) (*figure B1*). Rappelons que les origines des angles $\alpha°$ et $\beta°$ sont respectivement sur les parallèles à l'axe horizontal et à l'axe vertical, menées par le point moyen du nuage. Leur signe (identique à celui de r) est positif lorsque les droites de régression se situent dans le quadrant supéro-postérieur du nuage de points (et le quadrant inféro-antérieur de celui-ci) si non les angles $\alpha°$ et $\beta°$ sont négatifs.

- A titre de vérification, il est également utile de rechercher les tangentes à l'ellipse équiprobable en calculant $M \pm \lambda\sigma$ à la fois pour l'abscisse et l'ordonnée de chaque point, en choisissant λ en fonction de la sécurité adoptée (99 %). Les points de tangence de ces droites, à l'ellipse, correspondant à leur intersection avec les deux droites de régression.

La construction des ellipses équiprobables, d'après les travaux de Defrise-Gussenhoven (1955), nous a fait calculer pour chacune d'elle, les éléments suivants :

- m et m' qui sont les pentes des deux axes de l'ellipse, estimées par rapport à la direction des axes de référence vestibulaires.

Dans les tableaux, m et m' sont explicités par leur valeur en degrés (m° et m'°). D'autre part, étant donné l'utilisation de ce paramètre dans les calculs ultérieurs, nous avons jugé utile de préciser la pente du grand axe exprimée, cette fois, en tangente. (En fait, la calculatrice donne deux pentes ; la pente du grand axe est celle possédant le même signe que le coefficient de corrélation).

Quant à la représentation graphique de m et m' en degrés (*Figure B2*), conventionnellement et afin d'en faciliter l'interprétation, m'° est rendu toujours positif. Il a son origine sur la partie droite d'une horizontale passant par le centre du nuage (c'est-à-dire vers l'arrière-crâne) et il est compté vers le bas. Par contre m° qui possède la même demi-droite origine, peut être positif (vers le haut) ou négatif (vers le bas). De la sorte, la somme algébrique de m° et m'° est toujours égale à 90°.

Au lieu de passer par la traduction en degrés, si l'on souhaite utiliser directement les pentes exprimées en tangentes, l'origine de m et de m' est toujours celle de la *Figure B2* et les signes sont positifs au-dessus et négatifs au-dessous de cette origine tant pour m que pour m' (comme cela se fait classiquement en trigonométrie).

- La suite des calculs nous a amené à rechercher l'abscisse et l'ordonnée des quatre points : e, e', E, E', extrémités des axes de l'ellipse, afin de pouvoir tracer celle-ci à l'aide de l'ellipsographe de Riefler.

- Le lecteur trouvera également dans les tableaux, la longueur du grand axe (A), celle du petit axe (a), le rapport A/a ainsi que la surface de l'ellipse.

- Dans la colonne voisine de celle du coefficient de corrélation (r), on a disposé le coefficient r' établi et proposé afin d'exprimer non plus une notion de corrélation (exprimée par r) mais la forme intrinséque du nuage de points, indépendamment de sa situation dans les axes vestibulaires. Il fournit le degré d'allongement de l'ellipse ; ses valeurs sont toujours positives, supérieures ou égales à r et comprises entre 0 et 1. Les limites de signification sont les mêmes que celles de r.

La dernière série de résultats statistiques rapportés dans ce document met en évidence, à partir du **Tableau 48** :

- Les différences expérimentales entre témoins et hydrocéphales et les différences sexuelles.

C'est ainsi que tenant compte des effectifs, ont été calculés pour les différents paramètres retenus :

- Le "t" de Student qui compare les moyennes.

Si l'effectif dépasse 33, les valeurs de "t" doivent être supérieures à 2 et 2,6 pour que la différence soit significative avec une sécurité respectivement de 95 % et de 99 %. Si l'effectif est inférieur à 33, les valeurs limites doivent être lues dans la table de "t".

- Le test "F" qui permet la comparaison des variances. La lecture des tables de Snédécor indique les valeurs limites de la signification avec 95 % et 99 % de sécurité.

- La comparaison des coefficients de corrélation (r) afin de savoir s'ils sont différents ou non. Le calcul donne un chiffre qu'on compare à 2 et 2,6.

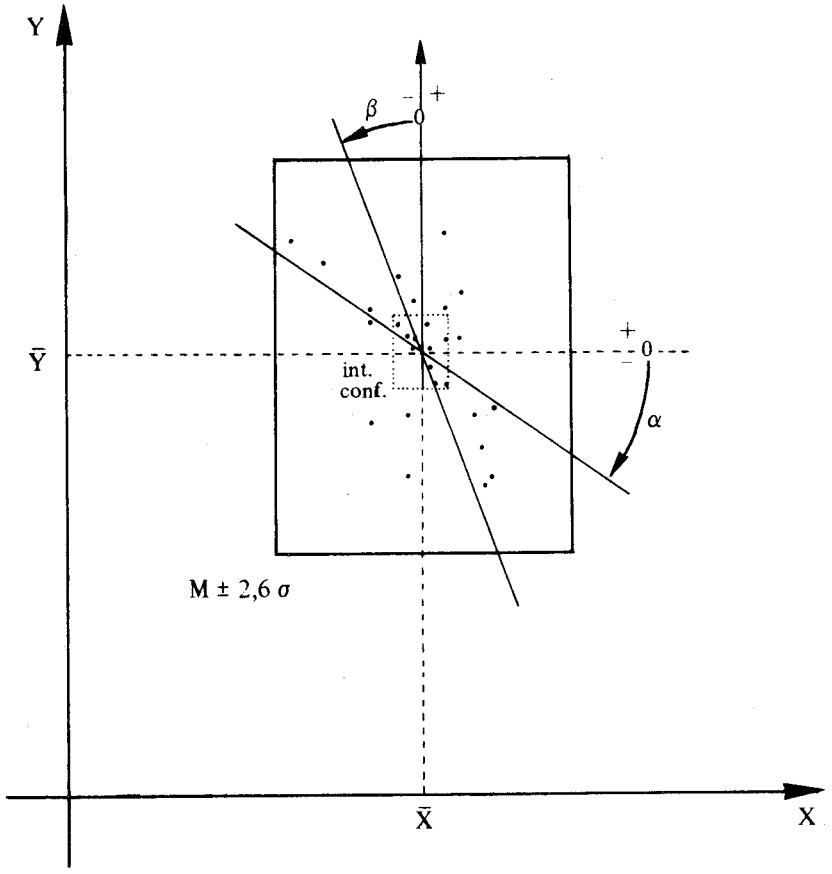

Figure B1

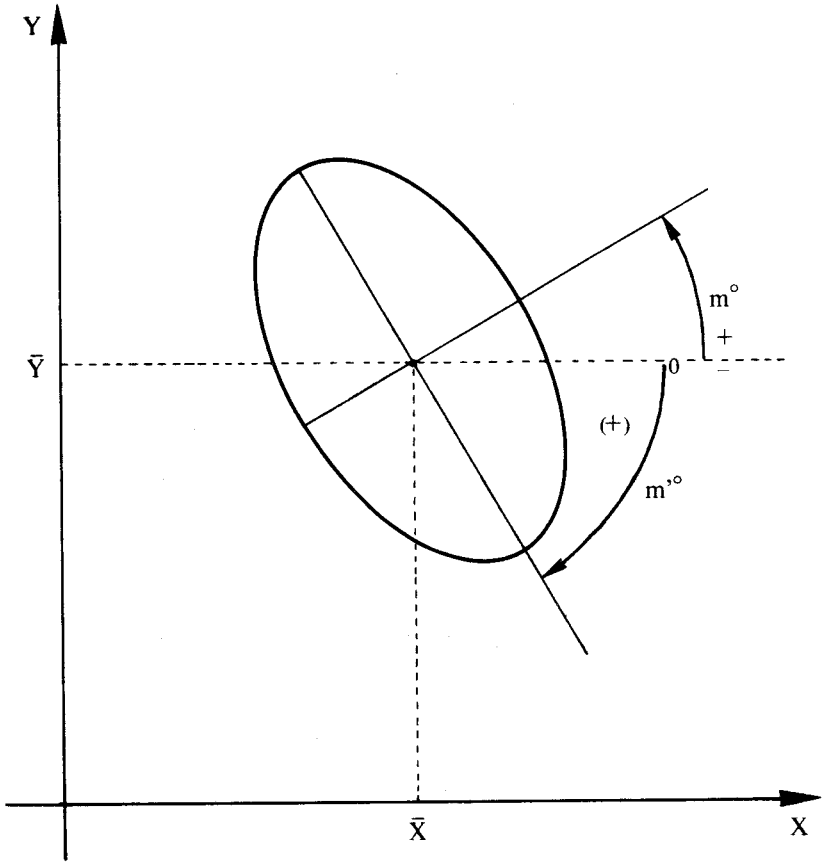

Figure B2

Tableaux 30A à 38E

•
• •

COORDONNEES VESTIBULAIRES

RESULTATS STATISTIQUES

• •
•

T_o		M	σ	n	M - 2,6 σ	M + 2,6 σ	Ext. inf.	Ext. sup.
Pr	A	-10,8286	0,7896	14	-12,88	-8,78	-12,2	-9,5
	O	-7,4143	0,5974	14	-8,97	-5,86	-8,4	-6,5
Rh	A	-12,6571	0,8330	14	-14,82	-10,49	-14,0	-11,2
	O	-5,9857	0,5829	14	-7,50	-4,47	-6,9	-5,2
Na	A	-10,2786	0,8046	14	-12,37	-8,19	-11,6	-8,7
	O	-1,4857	0,4015	14	-2,53	-0,44	-2,4	-0,9
Br	A	-6,5429	0,5081	14	-7,86	-5,22	-7,2	-5,5
	O	2,8286	0,4096	14	1,76	3,89	2,2	3,6
L	A	-2,8929	0,4891	14	-4,16	-1,62	-3,8	-2,1
	O	4,1000	0,4440	14	2,95	5,25	3,4	5,0
Op	A	2,0357	0,2767	14	1,32	2,76	1,4	2,6
	O	2,3500	0,3311	14	1,49	3,21	1,6	2,7
Ba	A	2,0214	0,2651	14	1,33	2,71	1,6	2,5
	O	-0,9000	0,2070	14	-1,44	-0,36	-1,3	-0,5
O.S.	A	-0,9786	0,3931	14	-2,00	0,04	-1,5	-0,3
	O	-1,9643	0,1986	14	-2,48	-1,45	-2,2	-1,6
S	A	-2,4357	0,3957	14	-3,46	-1,41	-2,9	-1,7
	O	-1,7571	0,1635	14	-2,18	-1,33	-2,1	-1,5
Opt	A	-5,9286	0,5077	14	-7,25	-4,61	-6,6	-5,1
	O	-2,4429	0,2352	14	-3,05	-1,83	-2,9	-2,2
S.i.	A	-5,6571	0,6079	14	-7,24	-4,08	-6,7	-4,3
	O	-7,7571	0,5901	14	-9,29	-6,22	-8,9	-6,9
A.i.	A	-9,1143	0,6243	14	-10,74	-7,49	-10,2	-7,7
	O	-7,8143	0,6255	14	-9,44	-6,19	-9,0	-6,8
M	A	-6,9643	0,6640	14	-8,69	-5,24	-8,5	-5,7
	O	-5,6143	0,5423	14	-7,02	-4,20	-6,6	-4,7
Cond	A	-3,0429	0,3580	14	-3,97	-2,11	-3,8	-2,4
	O	-1,0643	0,1630	14	-1,49	-0,64	-1,5	-0,9
Go	A	-1,4571	0,3479	14	-2,36	-0,55	-2,2	-0,9
	O	-2,8857	0,2559	14	-3,55	-2,22	-3,4	-2,6

Tableau 30A

BUS LILLE

T_o		M - T_{SM} (T = 3,01)	M+ T_{SM} (T = 3,01)	r	r'	α^o	β^o	M - $\lambda\sigma$	M+ $\lambda\sigma$	Pente grand axe
Pr	A	-11,49	-10,17	*0,6336	**0,6676	25,61	39,94	-13,22	-8,43	0,6490
	O	-7,91	-6,92					-9,23	-5,60	
Rh	A	-13,35	-11,96	*0,5680	*0,6342	21,68	39,07	-15,19	-10,13	0,5463
	O	-6,47	-5,50					-7,75	-4,22	
Na	A	-10,95	-9,61	*0,5363	**0,7383	14,98	47,06	-12,72	-7,84	0,3199
	O	-1,82	-1,15					-2,70	-0,27	
Br	A	-6,97	-6,12	-0,1417	0,2534	-6,52	-9,97	-8,08	-5,00	-0,2974
	O	2,49	3,17					1,59	4,07	
L	A	-3,30	-2,48	-0,5065	0,5133	-24,69	-29,16	-4,38	-1,41	-0,8268
	O	3,73	4,47					2,75	5,45	
Op	A	1,80	2,27	-0,1832	0,2531	-12,36	-8,70	1,20	2,88	-2,3886
	O	2,07	2,63					1,35	3,35	
Ba	A	1,80	2,24	0,3645	0,4288	15,89	25,02	1,22	2,83	0,5268
	O	-1,07	-0,73					-1,53	-0,27	
O.S.	A	-1,31	-0,65	0,3470	*0,6558	9,94	34,49	-2,17	0,21	0,2236
	O	-2,13	-1;80					-2,57	-1,36	
S.	A	-2,77	-2,11	0,4653	**0,7807	10,88	48,39	-3,64	-1,23	0,2206
	O	-1,89	-1,62					-2,25	-1,26	
Opt.	A	-6,35	-5,50	0,4683	**0,7387	12,24	45,32	-7,47	-4,39	0,2579
	O	-2,64	-2,25					-3,16	-1,73	
S.i.	A	-6,16	-5,15	0,5206	0,5212	26,81	28,21	-7,50	-3,81	0,9445
	O	-8,25	-7,26					-9,55	-5,97	
A.i.	A	-9,64	-8,59	0,4897	0,4916	26,13	26,05	-11,01	-7,22	1,0039
	O	-8,34	-7,29					-9,71	-5,92	
M.	A	-7,52	-6,41	**0,6660	**0,6825	28,54	39,19	-8,98	-4,95	0,7397
	O	-6,07	-5,16					-7,26	-3,97	
Cond.	A	-3,34	-2,74	0,4056	**0,7244	10,47	41,69	-4,13	-1,96	0,2215
	O	-1,20	-0,93					-1,56	-0,57	
Go.	A	-1,75	-1,17	0,4905	*0,5549	19,84	33,69	-2,51	-0,40	0,5491
	O	-3,10	-2,67					-3,66	-2,11	

N.B. : Valeurs limites de r et r' : 0,53 pour 95 % et 0,66 pour 99 %

Tableau 30B

BUS LILLE

T_o	m^o	m'^o	X_e	$X_{e'}$	Y_e	$Y_{e'}$	X_E	$X_{E'}$	Y_E	$Y_{E'}$	A	a	A/a	S
Pr	32,98	57,02	-8,53	-13,13	-5,92	-8,91	-10,16	-11,50	-8,44	-6,39	5,49	2,45	2,24	10,56
Rh	28,65	61,35	-10,21	-15,10	-4,65	-7,32	-12,02	-13,29	-7,14	-4,83	5,58	2,64	2,11	11,56
Na	17,74	72,26	-7,86	-12,70	-0,71	-2,26	-9,98	-10,58	-2,43	-0,55	5,09	1,97	2,58	7,89
Br	-16,56	106,56	-5,04	-8,05	2,38	3,28	-6,20	-6,89	3,99	1,67	3,14	2,42	1,30	5,96
L	-39,59	129,59	-1,55	-4,24	2,99	5,21	-2,26	-3,52	4,86	3,34	3,49	1,98	1,76	5,42
Op	22,72	67,28	2,77	1,30	2,66	2,04	2,44	1,64	1,39	3,31	2,07	1,60	1,30	2,61
Ba	27,78	62,22	2,78	1,26	-0,50	-1,30	2,28	1,77	-1,38	-0,42	1,73	1,09	1,58	1,48
O.S.	12,61	77,39	0,21	-2,17	-1,70	-2,23	-0,86	-1,10	-2,51	-1,42	2,43	1,11	2,19	2,12
S.	12,44	77,56	-1,24	-3,63	-1,49	-2,02	-2,34	-2,53	-2,18	-1,34	2,45	0,86	2,85	1,66
Opt.	14,46	75,54	-4,40	-7,46	-2,05	-2,84	-5,78	-6,08	-3,04	-1,85	3,17	1,23	2,58	3,05
S.i.	43,37	46,63	-4,03	-7,29	-6,22	-9,30	-4,79	-6,52	-8,67	-6,84	4,48	2,52	1,78	8,86
A.i.	-44,89	134,89	-8,15	-10,07	-8,77	-6,86	-7,48	-10,75	-6,17	-9,45	4,63	2,71	1,71	9,85
M.	36,49	53,51	-5,05	-8,88	-4,20	-7,03	-6,35	-7,58	-6,45	-4,78	4,77	2,07	2,30	7,77
Cond	12,49	77,51	-1,96	-4,13	-0,82	-1,30	-2,95	-3,14	-1,50	-0,63	2,22	0,89	2,50	1,54
Go.	28,77	61,23	-0,44	-2,47	-2,33	-3,44	-1,16	-1,75	-3,43	-2,34	2,31	1,24	1,87	2,24

Tableau 30C

BUS LILLE

H_1		M	σ	n	M - 2,6 σ	M + 2,6 σ	Ext. inf.	Ext. sup.
Pr	A	-17,7915	2,2638	13	-23,68	-11,91	-20,8	-13,7
	O	-14,1811	1,3187	13	-17,61	-10,75	-16,5	-11,6
Rh	A	-21,1289	2,5812	13	-27,84	-14,42	-24,7	-16,8
	O	-11,0421	0,9777	13	-13,58	-8,50	-12,6	-9,2
Na	A	-16,8486	1,3983	13	-20,48	-13,21	-18,7	-14,2
	O	-3,8957	0,6721	13	-5,64	-2,15	-5,2	-2,6
Br	A	-11,4639	1,0276	13	-14,14	-8,79	-12,6	-9,0
	O	4,8138	0,7456	13	2,88	6,75	3,5	6,1
L	A	-4,5160	0,6394	13	-6,18	-2,85	-5,6	-3,5
	O	7,7667	0,9164	13	5,38	10,15	6,3	8,9
Op	A	2,7667	0,2745	13	2,05	3,48	2,3	3,2
	O	3,2505	0,4646	13	2,04	4,46	2,6	4,2
Ba	A	1,7989	0,4044	13	0,75	2,85	1,1	2,4
	O	-1,4515	0,3351	13	-2,32	-0,58	-2,3	-1,0
O.S.	A	-1,6252	0,4451	13	-2,78	-0,47	-2,7	-1,0
	O	-3,5483	0,3742	13	-4,52	-2,58	-4,5	-2,9
S.	A	-3,9701	0,4322	13	-5,09	-2,85	-4,8	-2,9
	O	-3,6723	0,3813	13	-4,66	-2,68	-4,5	-3,1
Opt	A	-9,0073	1,0322	13	-11,69	-6,32	-10,5	-7,1
	O	-5,0619	0,6059	13	-6,64	-3,49	-5,8	-4,2
S.i.	A	-8,3374	1,2011	13	-11,46	-5,21	-10,0	-6,3
	O	-13,0768	1,3343	13	-16,55	-9,61	-15,2	-10,3
A.i.	A	-12,9900	1,6842	13	-17,37	-8,61	-15,2	-10,0
	O	-13,2753	1,1885	13	-16,37	-10,19	-14,8	-11,0
M	A	-10,4838	1,1836	13	-13,56	-7,41	-11,9	-8,4
	O	-9,6029	0,9485	13	-12,07	-7,14	-10,8	-7,4
Cond	A	-3,9825	0,4451	13	-5,14	-2,83	-4,7	-3,1
	O	-1,6500	0,3174	13	-2,48	-0,82	-2,1	-0,8
Go	A	-1,2654	0,4093	13	-2,33	-0,20	-1,8	-0,6
	O	-5,2977	0,6446	13	-6,97	-3,62	-6,3	-3,9

BUS LILLE

Tableau 31A

H_1		$M - T_{SM}$ (T = 3,05)	$M + T_{SM}$ (T = 3,05)	r	r'	$\alpha°$	$\beta°$	$M - \lambda\sigma$	$M + \lambda\sigma$	Pente grand axe
Pr	A	-19,78	-15,80	*0,6710	**0,7642	21,35	49,04	-24,66	-10,92	0,4642
	O	-15,34	-13,02					-18,18	-10,18	
Rh	A	-23,40	-18,86	*0,5658	**0,8377	12,10	56,20	-28,96	-13,30	0,2362
	O	-11,90	-10,18					-14,01	-8,08	
Na	A	-18,08	-15,62	-0,3324	*0,6764	-9,07	-34,67	-21,09	-12,61	-0,1995
	O	-4,49	-3,30					-5,94	-1,86	
Br	A	-12,37	-10,56	-0,4726	0,5460	-18,93	-33,08	-14,58	-8,35	-0,5247
	O	4,16	5,47					2,55	7,08	
L	A	-5,08	-3,95	*-0,6407	**0,6934	-42,56	-24,08	-6,46	-2,58	-1,7270
	O	6,96	8,57					4,99	10,55	
Op	A	2,53	3,01	-0,2360	0,5249	-21,79	-7,94	1,93	3,60	-4,8733
	O	2,84	3,66					1,84	4,66	
Ba	A	1,44	2,15	-0,0760	0,2002	-3,60	-5,25	0,57	3,03	-0,1934
	O	-1,75	-1,16					-2,47	-0,43	
O.S.	A	-2,02	-1,23	-0,0804	0,1892	-3,87	-5,47	-2,98	-0,27	-0,2194
	O	-3,88	-3,22					-4,68	-2,41	
S.	A	-4,35	-3,59	-0,1408	0,1872	-7,08	-9,07	-5,28	-2,66	-0,4479
	O	-4,01	-3,34					-4,83	-2,52	
Opt.	A	-9,92	-8,10	0,2774	0,5444	9,25	25,30	-12,14	-5,87	0,2347
	O	-5,60	-4,53					-6,90	-3,22	
S.i.	A	-9,39	-7,28	*0,6707	*0,6752	36,69	31,12	-11,98	-4,69	1,1694
	O	-14,25	-11,90					-17,13	-9,03	
A.i.	A	-14,47	-11,51	**0,6879	**0,7296	25,89	44,27	-18,10	-7,88	0,6087
	O	-14,32	-12,23					-16,88	-9,67	
M.	A	-11,53	-9,44	**0,7178	**0,7337	29,91	41,85	-14,08	-6,89	0,7362
	O	-10,44	-8,77					-12,48	-6,72	
Cond.	A	-4,37	-3,59	-0,3215	0,4456	-12,90	-24,27	-5,33	-2,63	-0,3940
	O	-1,93	-1,37					-2,61	-0,69	
Go.	A	-1,63	-0,91	-0,0454	0,4273	-4,10	-1,65	-2,51	-0,02	-20,7512
	O	-5,87	-4,73					-7,25	-3,34	

N.B. : Valeurs limites de r et r' : 0,55 pour 95 % et 0,68 pour 99 %

Tableau 31B

BUS LILLE

T_1		M	σ	n	M - 2,6 σ	M + 2,6 σ	Ext. inf.	Ext. sup.
Pr	A	-17,9131	1,3937	13	-21,54	-14,29	-20,5	-16,3
	O	-13,3200	1,6335	13	-17,57	-9,07	-15,8	-11,3
Rh	A	-21,2629	1,7383	13	-25,78	-16,74	-24,2	-19,4
	O	-10,2853	1,5040	13	-14,20	-6,37	-12,6	-8,1
Na	A	-16,8610	0,9225	13	-19,26	-14,46	-18,2	-15,8
	O	-3,8337	0,5105	13	-5,16	-2,51	-4,7	-3,1
Br	A	-10,9007	0,7587	13	-12,87	-8,93	-12,4	-10,0
	O	3,1140	0,4451	13	1,96	4,27	2,3	3,9
L	A	-4,4912	0,6165	13	-6,09	-2,89	-5,6	-3,5
	O	5,9056	0,2584	13	5,23	6,58	5,5	6,3
Op	A	2,0594	0,1813	13	1,59	2,53	1,8	2,4
	O	3,4615	0,4364	13	2,33	4,60	2,7	4,2
Ba	A	1,4217	0,3293	13	0,57	2,28	0,8	1,9
	O	-1,2530	0,2463	13	-1,89	-0,61	-1,8	-1,0
O.S.	A	-2,1091	0,3128	13	-2,92	-1,30	-2,6	-1,6
	O	-2,9155	0,4270	13	-4,03	-1,81	-3,9	-2,3
S.	A	-4,4788	0,3915	13	-5,50	-3,46	-5,3	-3,9
	O	-2,9279	0,4560	13	-4,11	-1,74	-3,7	-2,3
Opt	A	-9,5483	0,5816	13	-11,06	-8,04	-11,0	-9,0
	O	-4,1562	0,6939	13	-5,96	-2,35	-5,5	-3,2
S.i.	A	-9,4664	0,9731	13	-12,00	-6,94	-11,0	-7,7
	O	-12,1339	1,4151	13	-15,81	-8,45	-15,2	-10,0
A.i.	A	-13,7716	1,0583	13	-16,52	-11,02	-16,3	-12,1
	O	-12,1215	1,5728	13	-16,21	-8,03	-14,8	-10,0
M.	A	-11,4019	0,6500	13	-13,09	-9,71	-12,4	-10,5
	O	-9,0570	1,0141	13	-11,69	-6,42	-10,6	-7,6
Cond	A	-4,6277	0,4582	13	-5,82	-3,44	-5,3	-3,7
	O	-1,1413	0,4879	13	-2,41	0,13	-1,9	-0,6
Go	A	-1,7617	0,7227	13	-3,64	0,12	-2,9	0,0
	O	-5,2108	0,5572	13	-6,66	-3,76	-6,1	-4,5

Tableau 31C

T_1		M - T_{SM} (T = 3,05)	M+ T_{SM} (T = 3,05)	r	r'	$\alpha°$	$\beta°$	M - $\lambda\sigma$	M+ $\lambda\sigma$	Pente grand axe
Pr	A	-19,14	-16,69	**0,8141	**0,8193	43,66	34,78	-22,14	-13,68	1,2148
	O	-14,76	-11,88					-18,28	-8,36	
Rh	A	-22,79	-19,73	**0,8357	**0,8394	35,87	44,01	-26,54	-15,99	0,8412
	O	-11,61	-8,96					-14,85	-5,72	
Na	A	-17,67	-16,05	*0,5909	**0,7299	18,11	46,88	-19,66	-14,06	0,3970
	O	-4,28	-3,38					-5,38	-2,28	
Br	A	-11,57	-10,23	**0,7031	**0,7841	22,41	50,15	-13,20	-8,60	0,4825
	O	2,72	3,51					1,76	4,46	
L	A	-5,03	-3,95	-0,1858	**0,7135	-4,45	-23,93	-6,36	-2,62	-0,0936
	O	5,68	6,13					5,12	6,69	
Op	A	1,90	2,22	-0,2857	**0,7341	-34,57	-6,76	1,51	2,61	-7,1116
	O	3,08	3,85					2,14	4,79	
Ba	A	1,13	1,71	0,3242	0,4202	13,64	23,46	0,42	2,42	0,4426
	O	-1,47	-1,04					-2,00	-0,51	
O.S.	A	-2,38	-1,83	*0,6471	**0,6867	41,46	25,36	-3,06	-1,16	1,6018
	O	-3,29	-2,54					-4,21	-1,62	
S	A	-4,82	-4,13	0,5484	*0,5628	32,58	25,21	-5,67	-3,29	1,3174
	O	-3,33	-2,53					-4,31	-1,54	
Opt.	A	-10,06	-9,04	0,4669	0,4918	29,12	21,37	-11,31	-7,78	1,4499
	O	-4,77	-3,55					-6,26	-2,05	
S.i.	A	-10,32	-8,61	0,3487	0,4838	26,89	13,48	-12,42	-6,51	2,5852
	O	-13,38	-10,89					-16,43	-7,84	
A.i.	A	-14,70	-12,84	**0,6931	**0,7444	45,85	25,00	-16,98	-10,56	1,7461
	O	-13,51	-10,74					-16,89	-7,35	
M.	A	-11,97	-10,83	*0,6144	**0,6972	43,79	21,49	-13,37	-9,43	1,9969
	O	-9,95	-8,16					-12,13	-5,98	
Cond.	A	-5,03	-4,22	0,0331	0,0709	2,02	1,78	-6,02	-3,24	4,0446
	O	-1,57	-0,71					-2,62	0,34	
Go.	A	-2,40	-1,13	0,2069	0,3236	9,06	15,02	-3,95	0,43	0,3462
	O	-5,70	-4,72					-6,90	-3,52	

N.B. : Valeurs limites de r et r' : 0,55 pour 95 % et 0,68 pour 99 %

Tableau 31D

BUS LILLE

	m°	m'°	X_e	$X_{e'}$	Y_e	$Y_{e'}$	X_E	$X_{E'}$	Y_E	$Y_{E'}$	A	a	A/a	S
H_1														
Pr	24,90	65,10	-11,02	-24,56	-11,04	-17,33	-16,64	-18,94	-16,66	-11,70	14,93	5,46	2,74	64,04
Rh	13,29	76,71	-13,31	-28,94	-9,20	-12,89	-20,58	-21,68	-13,36	-8,72	16,06	4,77	3,36	60,21
Na	-11,28	101,28	-12,62	-21,08	-4,74	-3,05	-16,48	-17,22	-2,04	-5,75	8,62	3,79	2,28	25,65
Br	-27,69	117,69	-8,46	-14,46	3,24	6,39	-10,61	-12,32	6,44	3,19	6,78	3,67	1,85	19,54
L	30,07	59,93	-3,37	-5,67	8,43	7,10	-2,95	-6,08	5,07	10,47	6,24	2,66	2,35	13,02
Op	11,60	78,40	3,55	1,98	3,41	3,09	3,05	2,48	1,85	4,65	2,86	1,60	1,79	3,59
Ba	-10,95	100,95	3,01	0,59	-1,69	-1,22	1,99	1,61	-0,46	-2,44	2,47	2,02	1,23	3,91
O.S.	-12,38	102,38	-0,30	-2,95	-3,84	-3,26	-1,38	-1,87	-2,45	-4,65	2,72	2,25	1,21	4,80
S.	-24,13	114,13	-2,74	-5,20	-4,22	-3,12	-3,51	-4,43	-2,65	-4,69	2,70	2,23	1,21	4,72
Opt.	13,21	76,79	-5,90	-12,11	-4,33	-5,79	-8,61	-9,40	-6,75	-3,37	6,38	3,47	1,84	17,39
S.i.	-40,54	130,54	-6,67	-10,01	-14,50	-11,65	-5,10	-11,58	-9,29	-16,87	9,97	4,39	2,27	34,39
A.i.	31,33	58,67	-8,02	-17,96	-10,25	-16,30	-11,79	-14,19	-15,24	-11,31	11,64	4,60	2,53	42,04
M.	36,36	53,64	-7,03	-13,93	-7,06	-12,14	-9,49	-11,48	-10,96	-8,25	8,57	3,36	2,55	22,62
Cond.	-21,51	111,51	-2,67	-5,29	-2,17	-1,13	-3,66	-4,30	-0,84	-2,46	2,82	1,75	1,61	3,87
Go.	2,76	87,24	-0,03	-2,50	-5,24	-5,36	-1,17	-1,36	-7,25	-3,34	3,92	2,48	1,58	7,63
T_1														
Pr	-39,46	129,46	-16,40	-19,43	-14,57	-12,07	-13,96	-21,86	-8,52	-18,12	12,43	3,92	3,17	38,25
Rh	40,07	49,93	-16,14	-26,38	-5,98	-14,59	-19,99	-22,54	-11,80	-8,77	13,38	3,95	3,38	41,54
Na	21,65	68,35	-14,10	-19,63	-2,74	-4,93	-16,43	-17,29	-4,93	-2,74	5,95	2,35	2,53	10,99
Br	25,76	64,24	-8,63	-13,17	4,21	2,02	-10,52	-11,28	2,32	3,90	5,04	1,75	2,87	6,95
L.	-5,35	95,35	-2,62	-6,36	5,73	6,08	-4,42	-4,56	6,67	5,14	3,76	1,54	2,45	4,53
Op.	8,00	82,00	2,58	1,54	3,53	3,39	2,25	1,87	2,14	4,78	2,67	1,05	2,55	2,19
Ba	23,87	66,13	2,38	0,46	-0,83	-1,68	1,69	1,15	-1,87	-0,64	2,10	1,34	1,56	2,22
O.S.	-31,98	121,98	-1,57	-2,65	-3,25	-2,58	-1,33	-2,89	-1,66	-4,17	2,95	1,27	2,32	2,95
S.	-37,20	127,20	-3,80	-5,16	-3,44	-2,41	-3,50	-5,45	-1,64	-4,21	3,22	1,71	1,89	4,32
Opt.	-34,59	124,59	-8,41	-10,69	-4,94	-3,37	-8,20	-10,90	-2,20	-6,11	4,75	2,77	1,71	10,33
S.i.	-21,15	111,15	-7,00	-11,94	-13,09	-11,18	-7,85	-11,09	-7,95	-16,32	8,98	5,30	1,70	37,34
A.i.	-29,80	119,80	-11,99	-15,56	-13,14	-11,10	-11,10	-16,44	-7,46	-16,78	10,75	4,11	2,61	34,72
M.	-26,60	116,60	-10,13	-12,67	-9,69	-8,42	-9,89	-12,91	-6,05	-12,07	6,73	2,84	2,37	15,05
Cond.	-13,89	103,89	-3,28	-5,97	-1,47	-0,81	-4,27	-4,98	0,30	-2,58	2,97	2,77	1,07	6,46
Go	19,10	70,90	0,37	-3,89	-4,47	-5,95	-1,23	-2,29	-6,73	-3,69	4,51	3,22	1,40	11,40

Tableau 31E

BUS LILLE

H_2		M	σ	n	M - 2,6 σ	M + 2,6 σ	Ext. inf.	Ext. sup.
Pr	A	-18,1540	1,3592	18	-21,69	-14,62	-20,6	-16,1
	O	-18,1271	1,5796	18	-22,23	-14,02	-22,3	-16,0
Rh	A	-22,6074	1,4510	18	-26,38	-18,83	-25,3	-20,0
	O	-15,5017	1,7939	18	-20,17	-10,84	-19,8	-12,1
Na	A	-19,3368	1,1208	18	-22,25	-16,42	-22,7	-18,1
	O	-6,4336	1,7095	18	-10,88	-1,99	-10,3	-3,5
Br	A	-15,0985	1,0178	18	-17,74	-12,45	-17,6	-13,5
	O	5,8422	1,2513	18	2,59	9,10	2,6	8,1
L	A	-6,2992	1,2325	18	-9,50	-3,09	-9,0	-4,8
	O	10,1970	1,1303	18	7,26	13,14	8,4	13,4
Op	A	2,8762	0,4997	18	1,58	4,18	2,1	3,7
	O	3,6468	0,3580	18	2,72	4,58	3,1	4,4
Ba	A	1,9623	0,3494	18	1,05	2,87	1,3	2,6
	O	-1,5770	0,3667	18	-2,53	-0,62	-2,1	-0,8
O.S.	A	-1,5770	0,4319	18	-2,70	-0,45	-2,3	-0,8
	O	-4,3727	0,3522	18	-5,29	-3,46	-5,0	-3,7
S.	A	-4,0770	0,4327	18	-5,20	-2,95	-5,0	-3,4
	O	-4,8476	0,4610	18	-6,05	-3,65	-5,8	-4,2
Opt	A	-10,1343	0,7385	18	-12,05	-8,21	-11,6	-8,7
	O	-7,0429	0,8773	18	-9,32	-4,76	-8,9	-5,8
S.i.	A	-7,9838	1,2001	18	-11,10	-4,86	-10,2	-5,6
	O	-15,4031	1,0741	18	-18,20	-12,61	-17,9	-13,4
A.i.	A	-13,1899	0,9864	18	-15,75	-10,63	-15,2	-11,1
	O	-16,1917	1,4216	18	-19,89	-12,50	-19,7	-14,4
M	A	-10,9139	0,9681	18	-13,43	-8,40	-12,9	-9,7
	O	-11,9712	1,1045	18	-14,84	-9,10	-14,5	-10,2
Cond	A	-4,1307	0,5139	18	-5,47	-2,79	-5,0	-3,1
	O	-2,1236	0,5436	18	-3,54	-0,71	-3,1	-1,0
Go	A	-0,5107	0,6676	18	-2,25	1,23	-2,1	0,6
	O	-5,9945	0,5365	18	-7,39	-4,60	-6,6	-4,7

Tableau 32A

BUS LILLE

H_2		M - T_{SM} (T = 2,90)	M+ T_{SM} (T = 2,90)	r	r'	$\alpha°$	$\beta°$	M - $\lambda\sigma$	M+ $\lambda\sigma$	Pente grand axe
Pr	A	-19,11	-17,20	-0,4480	*0,4674	-27,50	-21,08	-22,28	-14,03	-1,3919
	O	-19,24	-17,02					-22,92	-13,33	
Rh	A	-23,63	-21,59	*-0,4861	*0,5193	-31,00	-21,46	-27,01	-18,20	-1,5321
	O	-16,76	-14,24					-20,95	-10,06	
Na	A	-20,13	-18,55	*-0,5728	**0,6595	-41,15	-20,58	-22,74	-15,94	-2,0146
	O	-7,64	-5,23					-11,62	-1,25	
Br	A	-15,81	-14,38	0,1624	0,2584	11,29	7,53	-18,19	-12,01	2,9058
	O	4,96	6,72					2,04	9,64	
L	A	-7,17	-5,43	-0,2115	0,2277	-10,98	-12,99	-10,04	-2,56	-0,6709
	O	9,40	10,99					6,77	13,63	
Op	A	2,52	3,23	-0,3109	0,4360	-12,55	-23,46	1,36	4,39	-0,3885
	O	3,40	3,90					2,56	4,73	
Ba	A	1,72	2,21	-0,2341	0,2388	-13,81	-12,58	0,90	3,02	-1,2276
	O	-1,83	-1,32					-2,69	-0,46	
O.S.	A	-1,88	-1,27	-0,1163	0,2312	-5,42	-8,12	-2,89	-0,27	-0,2634
	O	-4,62	-4,13					-5,44	-3,30	
S.	A	-4,38	-3,77	-0,1730	0,1839	-10,44	-9,22	-5,39	-2,76	-1,4315
	O	-5,17	-4,52					-6,25	-3,45	
Opt.	A	-10,65	-9,62	*-0,4722	*0,4956	-29,29	-21,67	-12,38	-7,89	-1,4316
	O	-7,66	-6,43					-9,71	-4,38	
S.i.	A	-8,83	-7,14	-0,3431	0,3584	-17,07	-20,98	-11,63	-4,34	-0,7272
	O	-16,16	-14,65					-18,66	-12,14	
A.i.	A	-13,88	-12,50	**-0,6268	**0,6835	-42,09	-23,50	-16,18	-10,20	-1,7604
	O	-17,19	-15,19					-20,51	-11,88	
M.	A	-11,59	-10,23	-0,3717	0,3911	-22,98	-18,05	-13,85	-7,98	-1,4170
	O	-12,75	-11,19					-15,32	-8,62	
Cond.	A	-4,49	-3,77	*0,5198	*0,5220	28,81	26,16	-5,69	-2,57	1,1140
	O	-2,51	-1,74					-3,77	-0,47	
Go.	A	-0,98	-0,04	0,0513	0,2210	2,36	3,66	-2,54	1,52	0,1149
	O	-6,37	-5,62					-7,62	-4,37	

N.B. : Valeurs limites de r et r' : 0,46 pour 95 % et 0,58 pour 99 %

Tableau 32B

BUS LILLE

T_2		M	σ	n	M - 2,6 σ	M + 2,6 σ	Ext. inf.	Ext. sup.
Pr	A	-20,5698	0,6159	18	-22,17	-18,97	-22,1	-19,5
	O	-16,0465	0,7246	18	-17,93	-14,16	-17,4	-14,7
Rh	A	-24,6935	0,6097	18	-26,28	-23,11	-26,0	-23,4
	O	-12,3691	0,6696	18	-14,11	-10,63	-13,7	-11,1
Na	A	-18,4390	0,3445	18	-19,33	-1754	-19,3	-17,7
	O	-4,2150	0,6018	18	-5,78	-2,65	-5,2	-2,8
Br	A	-11,6218	0,4475	18	-12,79	-10,46	-12,4	-10,8
	O	2,5537	0,4376	18	1,42	3,69	1,9	3,7
L	A	-5,1558	0,3251	18	-6,00	-4,31	-5,8	-4,5
	O	5,8279	0,3790	18	4,84	6,81	5,3	7,0
Op	A	1,9210	0,2410	18	1,29	2,55	1,5	2,3
	O	3,8511	0,2910	18	3,09	4,61	3,4	4,5
Ba	A	1,5609	0,1974	18	1,05	2,07	1,1	1,8
	O	-1,4300	0,2507	18	-2,08	-0,78	-1,9	-1,1
O.S.	A	-2,1827	0,3278	18	-3,03	-1,33	-3,0	-1,6
	O	-3,6809	0,3083	18	-4,48	-2,88	-4,2	-3,2
S.	A	-4,7885	0,3590	18	-5,72	-3,86	-5,9	-4,2
	O	-3,7508	0,3080	18	-4,55	-2,95	-4,2	-3,2
Opt	A	-10,3691	0,6382	18	-12,03	-8,71	-11,7	-8,7
	O	-5,3440	0,4388	18	-6,48	-4,20	-6,3	-4,4
S.i.	A	-9,7401	0,7737	18	-11,75	-7,73	-11,6	-7,7
	O	-14,7221	0,6165	18	-16,33	-13,12	-15,8	-13,4
A.i.	A	-15,6003	0,8044	18	-17,69	-13,51	-17,3	-13,7
	O	-14,9730	0,7468	18	-16,91	-13,03	-16,1	-13,5
M	A	-12,3744	0,4185	18	-13,46	-11,29	-13,4	-11,5
	O	-10,6988	0,4514	18	-11,87	-9,53	-11,6	-9,8
Cond	A	-4,8655	0,3623	18	-5,81	-3,92	-5,5	-4,4
	O	-1,3798	0,3888	18	-2,39	-0,37	-1,9	-0,5
Go	A	-1,3261	0,5115	18	-2,66	0,00	-2,1	0,0
	O	-5,7795	0,4633	18	-6,98	-4,58	-6,8	-5,0

Tableau 32C

T_2		M - T_{SM} (T = 2,90)	M+ T_{SM} (T = 2,90)	r	r'	$\alpha°$	$\beta°$	M - $\lambda\sigma$	M+ $\lambda\sigma$	Pente grand axe
Pr	A	-21,00	-20,14	-0,2216	0,2716	-14,61	-10,66	-22,44	-18,70	-1,9788
	O	-16,56	-15,54					-18,25	-13,85	
Rh	A	-25,12	-24,26	-0,2219	0,2399	-13,70	-11,42	-26,54	-22,84	-1,5087
	O	-12,84	-11,90					-14,40	-10,34	
Na	A	-18,68	-18,20	*-0,5069	**0,6689	-41,54	-16,18	-19,48	-17,39	-2,6888
	O	-4,64	-3,79					-6,04	-2,39	
Br	A	-11,94	-11,31	-0,2007	0,2019	-11,11	-11,60	-12,98	-10,26	-0,8947
	O	2,25	2,86					1,23	3,88	
L.	A	-5,38	-4,93	-0,3344	0,3639	-21,31	-16,01	-6,14	-4,17	-1,5615
	O	5,56	6,09					4,68	6,98	
Op.	A	1,75	2,09	-0,1241	0,2227	-8,53	-5,87	1,19	2,65	-3,3544
	O	3,65	4,06					2,97	4,73	
Ba	A	1,42	1,70	*-0,4716	*0,5150	-30,92	-20,35	0,96	2,16	-1,6350
	O	-1,61	-1,25					-2,19	-0,67	
O.S.	A	-2,41	-1,95	-0,3405	0,3453	-17,76	-19,91	-3,18	-1,19	-0,8359
	O	-3,90	-3,46					-4,62	-2,75	
S.	A	-5,04	-4,54	-0,1900	0,2416	-9,26	-12,49	-5,88	-3,70	-0,4770
	O	-3,97	-3,53					-4,69	-2,82	
Opt.	A	-10,82	-9,92	-0,0946	0,3687	-3,72	-7,83	-12,31	-8,43	-0,1215
	O	-5,65	-5,04					-6,68	-4,01	
S.i.	A	-10,28	-9,20	0,0341	0,2258	1,56	2,45	-12,09	-7,39	0,0740
	O	-15,16	-14,29					-16,59	-12,85	
A.i.	A	-16,17	-15,03	-0,2139	0,2258	-11,23	-12,97	-18,04	-13,16	-0,7110
	O	-15,50	-14,45					-17,24	-12,71	
M.	A	-12,67	-12,08	-0,3070	0,3153	-18,32	-15,89	-13,64	-11,10	-1,2767
	O	-11,02	-10,38					-12,07	-9,33	
Cond.	A	-5,12	-4,61	-0,0220	0,0738	-1,35	-1,17	-5,96	-3,77	-6,5749
	O	-1,65	-1,11					-2,56	-0,20	
Go.	A	-1,69	-0,97	**0,6099	**0,6149	28,91	33,95	-2,88	0,23	0,8506
	O	-6,11	-5,45					-7,19	-4,37	

N.B. : Valeurs limites de r et r ' : 0,46 pour 95 % et 0,58 pour 99 %

Tableau 32D

BUS LILLE

	m°	m'°	X_e	$X_{e'}$	Y_e	$Y_{e'}$	X_E	$X_{E'}$	Y_E	$Y_{E'}$	A	a	A/a	S
H_2														
Pr	35,70	54,30	-15,50	-20,80	-16,22	-20,03	-14,99	-21,31	-22,53	-13,73	10,83	6,53	1,66	55,54
Rh	33,13	56,87	-19,73	-25,48	-13,63	-17,38	-19,27	-25,94	-20,61	-10,39	12,21	6,87	1,78	65,82
Na	26,40	63,60	-17,04	-21,63	-5,30	-7,57	-16,82	-21,85	-11,50	-1,37	11,30	5,12	2,21	45,44
Br	-18,99	108,99	-12,28	-17,92	4,87	6,81	-13,84	-16,36	9,51	2,17	7,77	5,96	1,30	36,36
L.	-33,86	123,86	-3,00	-9,60	7,98	12,41	-4,54	-8,06	12,82	7,58	7,95	6,31	1,26	39,40
Op	-21,23	111,23	4,35	1,40	3,07	4,22	3,23	2,52	4,57	2,72	3,16	1,98	1,60	4,92
Ba	39,17	50,83	2,70	1,23	-0,98	-2,18	2,73	1,20	-2,51	-0,64	2,42	1,90	1,28	3,60
O.S.	-14,76	104,76	-0,29	-2,86	-4,71	-4,03	-1,31	-1,84	-3,36	-5,39	2,65	2,10	1,27	4,37
S.	34,94	55,06	-3,07	-5,08	-4,15	-5,55	-3,23	-4,92	-6,06	-3,64	2,95	2,45	1,20	5,68
Opt.	34,94	55,06	-8,70	-11,57	-6,04	-8,04	-8,41	-11,86	-9,51	-4,58	6,02	3,50	1,72	16,52
S.i.	-36,02	126,02	-4,73	-11,24	-17,77	-13,03	-6,36	-9,61	-13,16	-17,64	8,06	5,54	1,46	35,03
A.i.	29,60	60,40	-11,37	-15,01	-15,16	-17,22	-10,81	-15,57	-20,38	-12,00	9,64	4,18	2,31	31,61
M.	35,21	54,79	-8,90	-12,92	-10,55	-13,39	-8,77	-13,06	-15,01	-8,93	7,43	4,92	1,51	28,72
Cond.	-41,91	131,91	-3,30	-4,96	-2,86	-1,38	-2,81	-5,45	-0,65	-3,60	3,96	2,22	1,78	6,91
Go	6,55	83,45	1,51	-2,53	-5,76	-6,23	-0,33	-0,70	-7,61	-4,38	4,06	3,24	1,25	10,35
T_2														
Pr	26,81	63,19	-19,02	-22,12	-15,26	-16,83	-19,53	-21,61	-18,10	-13,99	4,60	3,48	1,32	12,59
Rh	33,54	56,46	-23,28	-26,11	-11,43	-13,31	-23,50	-25,89	-14,17	-10,57	4,33	3,39	1,28	11,52
Na	20,40	69,60	-17,64	-19,24	-3,92	-4,51	-17,77	-19,11	-6,02	-2,41	3,84	1,71	2,25	5,17
Br	-41,82	131,82	-10,52	-12,72	1,57	3,54	-10,82	-12,42	3,45	1,66	2,94	2,40	1,23	5,55
L.	32,64	57,36	-4,44	-5,88	6,29	5,37	-4,48	-5,83	4,77	6,88	2,50	1,71	1,46	3,36
Op.	16,60	73,40	2,61	1,24	4,06	3,65	2,18	1,66	2,99	4,71	1,79	1,43	1,25	2,01
Ba	31,45	58,55	1,97	1,15	-1,18	-1,68	2,00	1,12	-2,15	-0,71	1,69	0,95	1,77	1,26
O.S.	-39,89	129,89	-1,32	-3,04	-4,40	-2,96	-1,68	-2,68	-3,08	-4,28	2,24	1,56	1,43	2,75
S.	-25,50	115,50	-3,77	-5,81	-4,24	-3,26	-4,41	-5,17	-2,95	-4,55	2,26	1,77	1,28	3,14
Opt.	-6,93	96,93	-8,44	-12,30	-5,58	-5,11	-10,21	-10,53	-4,03	-6,65	3,89	2,64	1,47	8,07
S.i.	4,23	85,77	-7,40	-12,08	-14,55	-14,90	-9,60	-9,88	-16,58	-12,86	4,70	3,74	1,26	13,79
A.i.	-35,41	125,41	-13,47	-17,73	-16,48	-13,46	-14,40	-16,80	-13,28	-16,66	5,22	4,14	1,26	16,98
M.	38,07	51,93	-11,51	-13,23	-10,02	-11,37	-11,44	-13,31	-11,89	-9,51	3,03	2,19	1,39	5,20
Cond.	8,65	81,35	-3,78	-5,95	-1,21	-1,54	-4,69	-5,04	-2,55	-0,21	2,36	2,20	1,08	4,07
Go	40,38	49,62	0,11	-2,76	-4,56	-7,00	-0,73	-1,92	-6,48	-5,08	3,76	1,84	2,05	5,43

Tableau 32E

BUS LILLE

H_3		M	σ	n	M - 2,6 σ	M + 2,6 σ	Ext. inf.	Ext. sup.
Pr	A	-20,1914	0,8966	16	-22,52	-17,86	-22,1	-18,7
	O	-19,1632	1,3433	16	-22,66	-15,67	-21,5	-16,6
Rh	A	-24,9293	0,8250	16	-27,07	-22,78	-26,1	-23,4
	O	-15,6551	1,3843	16	-19,25	-12,06	-17,7	-12,6
Na	A	-20,3427	0,8281	16	-22,50	-18,19	-22,1	-19,0
	O	-5,8467	1,0492	16	-8,57	-3,12	-7,7	-3,9
Br	A	-15,0806	1,3016	16	-18,46	-11,70	-17,6	-12,3
	O	6,6128	1,1045	16	3,74	9,48	4,4	9,0
L	A	-6,0281	0,9595	16	-8,52	-3,53	-7,7	-3,9
	O	10,6148	1,2092	16	7,47	13,76	8,7	12,9
Op	A	3,0241	0,5859	16	1,50	4,55	1,8	3,9
	O	3,6995	0,4436	16	2,55	4,85	2,9	4,5
Ba	A	2,1068	0,3844	16	1,11	3,11	1,5	2,9
	O	-1,8245	0,3212	16	-2,66	-0,99	-2,4	-1,1
O.S.	A	-1,6935	0,4266	16	-2,80	-0,58	-2,4	-1,0
	O	-4,7277	0,2849	16	-5,47	-3,99	-5,3	-4,2
S.	A	-4,2943	0,3556	16	-5,22	-3,37	-4,8	-3,7
	O	-5,0705	0,3226	16	-5,91	-4,23	-5,6	-4,5
Opt	A	-10,4334	0,5726	16	-11,92	-8,94	-11,6	-9,4
	O	-7,1773	0,6729	16	-8,93	-5,43	-8,5	-6,1
S.i.	A	-8,9717	0,7608	16	-10,95	-6,99	-10,2	-7,4
	O	-16,3406	0,8969	16	-18,67	-14,01	-18,4	-15,0
A.i.	A	-14,6269	0,7657	16	-16,62	-12,64	-15,6	-12,6
	O	-16,8749	0,8912	16	-19,19	-14,56	-18,9	-15,2
M	A	-11,9152	0,6016	16	-13,48	-10,35	-12,7	-10,3
	O	-12,4293	0,7800	16	-14,46	-10,40	-14,0	-11,0
Cond.	A	-4,0624	0,4203	16	-5,16	-2,97	-4,8	-2,9
	O	-2,2580	0,4380	16	-3,40	-1,12	-3,1	-1,3
Go	A	-0,5947	0,6618	16	-2,32	1,13	-1,8	1,0
	O	-6,1390	0,5218	16	-7,50	-4,78	-7,1	-5,2

Tableau 33A

H_3		M - T_{SM} (T = 2,95)	M+ T_{SM} (T = 2,95)	r	r'	$\alpha°$	$\beta°$	M - $\lambda\sigma$	M+ $\lambda\sigma$	Pente grand axe
Pr	A	-20,87	-19,51	-0,0655	0,3883	-5,60	-2,50	-22,91	-17,47	-12,7616
	O	-20,19	-18,14					-23,24	-15,09	
Rh	A	-25,56	-24,30	0,0368	0,4769	3,54	1,25	-27,43	-22,43	29,4353
	O	-16,71	-14,60					-19,86	-11,45	
Na	A	-20,97	-19,71	0,2593	0,3429	18,19	11,56	-22,86	-17,83	2,2808
	O	-6,65	-5,05					-9,03	-2,66	
Br	A	-16,07	-14,09	-0,1403	0,2137	-6,79	-9,39	-19,03	-11,13	-0,3678
	O	5,77	7,45					3,26	9,96	
L.	A	-6,76	-5,30	*-0,5288	*0,5629	-33,68	-22,76	-8,94	-3,12	-1,5344
	O	9,69	11,54					6,95	14,28	
Op	A	2,58	3,47	*-0,5305	*0,5782	-21,89	-35,03	1,25	4,80	-0,6011
	O	3,36	4,04					2,35	5,05	
Ba	A	1,81	2,40	0,1985	0,2641	9,41	13,37	0,94	3,27	0,4422
	O	-2,07	-1,58					-2,80	-0,85	
O.S.	A	-2,02	-1,37	-0,1094	0,3962	-4,18	-9,31	-2,99	-0,40	-0,1297
	O	-4,94	-4,51					-5,59	-3,86	
S.	A	-4,57	-4,02	0,0130	0,0979	0,68	0,83	-5,37	-3,22	0,0663
	O	-5,32	-4,82					-6,05	-4,09	
Opt.	A	-10,87	-10,00	-0,1113	0,1941	-7,45	-5,41	-12,17	-8,70	-3,2233
	O	-7,69	-6,66					-9,22	-5,14	
S.i.	A	-9,55	-8,39	-0,4018	0,4287	-25,35	-18,82	-11,28	-6,66	-1,4928
	O	-17,02	-15,66					-19,06	-13,62	
A.i.	A	-15,21	-14,04	-0,2424	0,2830	-15,75	-11,76	-16,95	-12,30	-1,8097
	O	-17,55	-16,20					-19,58	-14,17	
M.	A	-12,37	-11,46	0,0002	0,2540	0,01	0,01	-13,74	-10,09	2626,3035
	O	-13,02	-11,84					-14,80	-10,06	
Cond.	A	-4,38	-3,74	-0,1119	0,1192	-6,65	-6,13	-5,34	-2,79	-1,4346
	O	-2,59	-1,92					-3,59	-0,93	
Go.	A	-1,10	-0,09	-0,1760	0,2894	-7,90	-12,59	-2,60	1,41	-0,3275
	O	-6,54	-5,74					-7,72	-4,56	

N.B. : Valeurs limites de r et r' : 0,50 pour 95 % et 0,62 pour 99 %

Tableau 33B

BIBS LILLE

T_3		M	σ	n	M - 2,6 σ	M + 2,6 σ	Ext. inf.	Ext. sup.
Pr	A	-23,0745	0,8815	16	-25,37	-20,78	-24,7	-21,0
	O	-18,3366	0,8654	16	-20,59	-16,09	-20,6	-16,5
Rh	A	-27,2479	0,7096	16	-29,09	-25,40	-28,5	-25,5
	O	-14,0422	1,0718	16	-16,83	-11,26	-17,1	-12,7
Na	A	-20,0503	0,3679	16	-21,01	-19,09	-20,8	-19,4
	O	-5,1914	0,6587	16	-6,90	-3,48	-7,1	-4,4
Br	A	-12,2781	0,3883	16	-13,29	-11,27	-12,9	-11,5
	O	1,9656	0,3752	16	0,99	2,94	1,3	3,1
L	A	-5,4233	0,2670	16	-6,12	-4,73	-5,8	-4,8
	O	5,7559	0,2677	16	5,06	6,45	5,5	6,3
Op	A	1,9656	0,2978	16	1,19	2,74	1,1	2,4
	O	3,9616	0,3327	16	3,10	4,83	3,4	4,5
Ba	A	1,9555	0,2130	16	1,40	2,51	1,6	2,6
	O	-1,5019	0,2037	16	-2,03	-0,97	-1,8	-1,0
O.S.	A	-2,3487	0,2964	16	-3,12	-1,58	-2,9	-1,5
	O	-4,1229	0,1805	16	-4,59	-3,65	-4,4	-3,7
S.	A	-5,2317	0,2690	16	-5,93	-4,53	-5,6	-4,8
	O	-4,3144	0,2594	16	-4,99	-3,64	-4,7	-3,7
Opt	A	-11,2398	0,5795	16	-12,75	-9,73	-12,6	-10,0
	O	-6,1592	0,4678	16	-7,38	-4,94	-7,4	-5,2
S.i.	A	-10,2418	0,5996	16	-11,80	-8,68	-11,1	-9,0
	O	-16,7237	0,6299	16	-18,36	-15,09	-17,9	-15,8
A.i.	A	-16,4213	0,6738	16	-18,17	-14,67	-17,6	-14,8
	O	-17,0059	0,6599	16	-18,72	-15,29	-18,7	-15,8
M	A	-13,3366	0,5100	16	-14,66	-12,01	-14,0	-12,1
	O	-12,2983	0,4725	16	-13,53	-11,07	-13,5	-11,3
Cond	A	-5,1108	0,3508	16	-6,02	-4,20	-5,8	-4,5
	O	-1,7136	0,1500	16	-2,10	-1,32	-2,1	1,5
Go	A	-1,0080	0,4753	16	-2,24	0,23	-1,8	-0,2
	O	-6,5422	0,3797	16	-7,53	-5,56	-7,1	-6,0

SDS LILLE

Tableau 33C

T_3		M - T_{SM} (T = 2,95)	M+ T_{SM} (T = 2,95)	r	r'	$\alpha°$	$\beta°$	M - $\lambda\sigma$	M+ $\lambda\sigma$	Pente grand axe
Pr	A	-23,75	-22,40	-0,3095	0,3100	-16,90	-17,49	-25,75	-20,40	-0,9422
	O	-19,00	-17,68					-20,96	-15,71	
Rh	A	-27,79	-26,71	-0,0660	0,3952	-5,69	-2,50	-29,40	-25,09	-12,9313
	O	-14,86	-13,23					-17,29	-10,79	
Na	A	-20,33	-19,77	-0,1609	*0,5420	-16,08	-5,14	-21,17	-18,93	-7,7848
	O	-5,69	-4,69					-7,19	-3,19	
Br	A	-12,57	-11,98	*0,5054	*0,5063	25,79	27,61	-13,46	-11,10	0,9344
	O	1,68	2,25					0,83	3,10	
L.	A	-5,63	-5,22	0,3417	0,3417	18,91	18,81	-6,23	-4,61	1,0077
	O	5,55	5,96					4,94	6,57	
Op	A	1,74	2,19	*-0,5626	*0,5700	-32,15	-26,73	1,06	2,87	-1,2167
	O	3,71	4,22					2,95	4,97	
Ba	A	1,79	2,12	0,0115	0,0461	0,63	0,69	1,31	2,60	0,1267
	O	-1,66	-1,35					-2,12	-0,88	
O.S.	A	-2,57	-2,12	-0,2336	*0,5037	-8,10	-21,04	-3,25	-1,45	-0,2156
	O	-4,26	-3,99					-4,67	-3,58	
S.	A	-5,44	-5,03	0,0114	0,0381	0,63	0,68	-6,05	-4,42	0,1531
	O	-4,51	-4,12					-5,10	-3,53	
Opt.	A	-11,68	-10,80	-0,0605	0,2190	-2,79	-4,28	-13,00	-9,48	-0,1375
	O	-6,52	-5,80					-7,58	-4,74	
S.i.	A	-10,70	-9,79	0,1700	0,1768	10,12	9,19	-12,06	-8,42	1,3313
	O	-17,20	-16,24					-18,64	-14,81	
A.i.	A	-16,93	-15,91	-0,2429	0,2437	-13,38	-13,93	-18,47	-14,38	-0,9179
	O	-17,51	-16,50					-19,01	-15,00	
M.	A	-13,73	-12,95	-0,2855	0,2947	-14,82	-17,13	-14,88	-11,79	-0,7675
	O	-12,66	-11,94					-13,73	-10,86	
Cond.	A	-5,38	-4,84	0,4182	**0,7542	10,14	44,35	-6,18	-4,05	0,2092
	O	-1,83	-1,60					-2,17	-1,26	
Go.	A	-1,37	-0,65	-0,0620	0,2290	-2,83	-4,44	-2,45	0,43	-0,1344
	O	-6,83	-6,25					-7,69	-5,39	

N.B. : Valeurs limites de r et r' : 0,50 pour 95 % et 0,62 pour 99%

Tableau 33D

	m°	m'°	X_e	X_e'	Y_e	Y_e'	X_E	X_E'	Y_E	Y_E'	A	a	A/a	S
H_3														
Pr	4,48	85,52	-17,49	-22,89	-18,95	-19,37	-19,87	-20,51	-23,23	-15,09	8,17	5,42	1,51	34,77
Rh	-1,95	91,95	-22,43	-27,43	-15,74	-15,57	-24,79	-25,07	-11,45	-19,86	8,41	5,00	1,68	33,02
Na	-23,67	113,67	-18,21	-22,47	-6,78	-4,91	-19,01	-21,68	-2,80	-8,89	6,65	4,65	1,43	24,28
Br	-20,19	110,19	-11,29	-18,87	5,22	8,01	-13,96	-16,20	9,66	3,56	8,07	6,50	1,24	41,18
L.	33,09	56,91	-4,19	-7,86	11,81	9,42	-3,77	-8,29	7,15	14,08	8,28	4,38	1,89	28,49
Op.	-31,01	121,01	4,72	1,33	2,68	4,72	3,55	2,50	4,58	2,82	3,96	2,05	1,93	6,37
Ba	23,85	66,15	3,21	1,00	-1,34	-2,31	2,48	1,73	-2,67	-0,98	2,42	1,84	1,31	3,50
O.S.	-7,39	97,39	-0.40	-2,98	-4,89	-4,56	-1,58	-1,80	-3,88	-5,58	2,60	1,71	1,52	3,50
S.	3,80	86,20	-3,22	-5,37	-5,00	-5,14	-4,23	-4,36	-6,05	-4,09	2,16	1,96	1,10	3,32
Opt.	17,24	72,76	-8,81	-12,06	-6,67	-7,68	-9,82	-11,05	-9,16	-5,20	4,14	3,40	1,22	11,08
S.i.	33,82	56,18	-7,39	-10,56	-15,28	-17,40	-7,29	-10,65	-18,85	-13,83	6,03	3,82	1,58	18,08
A.i.	28,92	61,08	-12,76	-16,50	-15,84	-17,91	-13,25	-16,01	-19,37	-14,38	5,71	4,27	1,34	19,16
M.	-0,02	90,02	-10,09	-13,74	-12,43	-12,43	-11,91	-11,92	-10,06	-14,80	4,73	3,65	1,30	13,58
Cond.	34,88	55,12	-3,06	-5,07	-1,56	-2,96	-3,27	-4,85	-3,39	-1,13	2,76	2,45	1,13	5,29
Go	-18,13	108,13	1,36	-2,55	-6,78	-5,50	-0,12	-1,07	-4,69	-7,59	4,11	3,05	1,35	9,84
T_3														
Pr	-43,30	133,30	-20,87	-25,28	-20,42	-16,26	-21,56	-24,58	-16,73	-19,94	6,07	4,40	1,38	20,99
Rh	4,42	85,58	-25,11	-29,39	-13,88	-14,21	-27,00	-27,50	-17,29	-10,79	6,52	4,29	1,52	21,96
Na	7,32	82,68	-18,96	-21,14	-5,05	-5,33	-19,79	-20,31	-7,19	-3,20	4,02	2,19	1,84	6,92
Br	43,06	46,94	-11,24	-13,32	2,94	0,99	-11,72	-12,83	1,37	2,56	2,84	1,63	1,75	3,64
L.	-44,78	134,78	-4,96	-5,89	5,29	6,22	-4,76	-6,09	6,42	5,09	1,88	1,32	1,43	1,94
Op.	39,42	50,58	2,45	1,48	4,36	3,56	2,73	1,20	3,03	4,89	2,40	1,26	1,91	2,37
Ba.	7,22	82,78	2,60	1,31	-1,42	-1,58	2,03	1,88	-2,11	-0,89	1,29	1,24	1,05	1,26
O.S.	-12,17	102,17	-1,46	-3,24	-4,32	-3,93	-2,24	-2,46	-3,61	-4,64	1,83	1,05	1,74	1,51
S.	8,71	81,29	-4,42	-6,04	-4,19	-4,44	-5,11	-5,35	-5,09	-3,54	1,63	1,57	1,04	2,02
Opt.	-7,83	97,83	-9,49	-12,99	-6,40	-5,92	-11,05	-11,43	-4,76	-7,56	3,53	2,82	1,25	7,83
S.i.	-36,91	126,91	-8,89	-11,60	-17,74	-15,71	-9,03	-11,46	-15,11	-18,34	4,05	3,39	1,20	10,77
A.i.	-42,55	132,55	-14,76	-18,08	-18,53	-15,48	-15,23	-17,61	-15,71	-18,30	4,51	3,52	1,28	12,48
M.	-37,50	127,50	-11,99	-14,68	-13,33	-11,26	-12,57	-14,10	-11,30	-13,29	3,40	2,51	1,35	6,68
Cond.	11,82	78,18	-4,05	-6,17	-1,49	-1,94	-5,03	-5,19	-2,11	-1,32	2,17	0,81	2,67	1,38
Go.	-7,66	97,66	0,43	-2,44	-6,74	-6,35	-0,86	-1,16	-5,41	-7,68	2,89	2,29	1,26	5,21

BUS LILLE

Tableau 33E

H_4		M	σ	n	M - 2,6 σ	M + 2,6 σ	Ext. inf.	Ext. sup.
Pr	A	-23,9515	1,4092	4	-27,62	-20,29	-25,5	-21,8
	O	-20,3225	0,6849	4	-22,10	-18,54	-21,3	-19,4
Rh	A	-28,8709	1,2751	4	-32,19	-25,56	-30,6	-27,1
	O	-18,2660	1,0914	4	-21,10	-15,43	-19,2	-16,5
Na	A	-22,0160	0,2963	4	-22,79	-21,25	-22,4	-21,6
	O	-5,6451	0,9474	4	-8,11	-3,18	-6,9	-4,5
Br	A	-15,0402	1,1263	4	-17,97	-12,11	-16,9	-14,2
	O	6,3709	1,0851	4	3,55	9,19	5,5	8,2
L	A	-6,4112	0,7426	4	-8,34	-4,48	-7,1	-5,3
	O	11,0080	1,5735	4	6,92	15,10	9,4	13,5
Op	A	3,5886	0,4757	4	2,35	4,83	2,9	4,0
	O	3,8305	0,3309	4	2,97	4,69	3,5	4,4
Ba	A	2,7015	0,3850	4	1,70	3,70	2,3	3,2
	O	-1,7741	0,3608	4	-2,71	-0,84	-2,3	-1,3
O.S.	A	-1,7338	0,5273	4	-3,10	-0,36	-2,4	-1,0
	O	-4,7580	0,2683	4	-5,46	-4,06	-5,0	-4,4
S.	A	-4,7983	0,5632	4	-6,26	-3,33	-5,3	-3,9
	O	-4,9596	0,3498	4	-5,87	-4,05	-5,5	-4,5
Opt	A	-11,7741	0,3622	4	-12,72	-10,83	-12,3	-11,3
	O	-6,8548	0,6298	4	-8,49	-5,22	-7,9	-6,3
S.i.	A	-10,6854	1,4170	4	-14,37	-7,00	-11,9	-8,4
	O	-18,1047	0,3709	4	-19,07	-17,14	-18,5	-17,7
A.i.	A	-16,8145	1,2616	4	-20,09	-13,53	-18,1	-14,8
	O	-18,0644	0,3817	4	-19,06	-17,07	-18,4	-17,4
M	A	-13,7902	0,9027	4	-16,14	-11,44	-14,7	-12,4
	O	-12,9435	0,4615	4	-14,14	-11,74	-13,5	-12,3
Cond	A	-4,9193	0,4031	4	-5,97	-3,87	-5,3	-4,5
	O	-1,3709	0,5410	4	-2,78	0,04	-2,1	-0,6
Go	A	-0,1613	0,4969	4	-1,45	1,13	-0,6	0,5
	O	-6,9757	0,3108	4	-7,78	-6,17	-7,4	-6,6

Tableau34A

H_4		M - T_{SM} (T = 5,84)	M+ T_{SM} (T = 5,84)	r	r'	$\alpha°$	$\beta°$	M - $\lambda\sigma$	M+ $\lambda\sigma$	Pente grand axe
Pr	A	-28,70	-19,20	-0,9254	*0,9546	-24,21	-62,30	-28,23	-19,68	-0,4628
	O	-22,63	-18,01					-22,40	-18,24	
Rh.	A	-33,17	-24,57	0,3680	0,3950	17,48	23,27	-32,74	-25,00	0,6619
	O	-21,95	-14,59					-21,58	-14,95	
Na	A	-23,02	-21,02	-0,5717	0,8839	-61,35	-10,14	-22,92	-21,12	-5,2368
	O	-8,84	-2,45					-8,52	-2,77	
Br	A	-18,84	-11,24	*-0,9885	*0,9885	-43,60	-45,74	-18,46	-11,62	-0,9630
	O	2,71	10,03					3,08	9,66	
L.	A	-8,92	-3,91	-0,6650	0,8170	-54,64	-17,42	-8,66	-4,16	-2,8300
	O	5,70	16,31					6,23	15,78	
Op.	A	1,98	5,19	0,2223	0,4055	8,79	17,74	2,14	5,03	0,2767
	O	2,71	4,95					2,83	4,83	
Ba	A	1,40	4,00	-0,2368	0,2450	-12,51	-14,19	1,53	3,87	-0,7626
	O	-2,99	-0,56					-2,87	-0,68	
O.S.	A	-3,51	0,04	-0,7093	0,8218	-19,83	-54,36	-3,33	-0,13	-0,4065
	O	-5,66	-3,85					-5,57	-3,94	
S.	A	-6,70	-2,90	-0,8954	0,9169	-29,08	-55,26	-6,51	-3,09	-0,5901
	O	-6,14	-3,78					-6,02	-3,90	
Opt.	A	-13,00	-10,55	-0,8505	0,8907	-55,95	-26,06	-12,87	-10,67	-1,8958
	O	-8,98	-4,73					-8,77	-4,94	
S.i.	A	-15,46	-5,91	0,4728	0,9020	7,05	61,04	-14,99	-6,39	0,1306
	O	-19,36	-16,85					-19,23	-16,98	
A.i.	A	-21,07	-12,56	-0,4004	0,8614	-6,90	-52,94	-20,64	-12,99	-0,1311
	O	-19,35	-16,78					-19,22	-16,91	
M.	A	-16,83	-10,75	-0,8924	0,9307	-24,52	-60,20	-16,53	-11,05	-0,4771
	O	-14,50	-11,39					-14,34	-11,54	
Cond.	A	-6,28	-3,56	0,0018	0,2860	0,14	0,07	-6,14	-3,70	331,6681
	O	-3,20	0,45					-3,01	0,27	
Go.	A	-1,84	1,51	0,0841	0,4441	3,01	7,67	-1,67	1,35	0,0858
	O	-8,02	-5,93					-7,92	-6,03	

N.B. : Valeurs limites de r et r' : 0,95 pour 95 % et 0,99 pour 99 %

Tableau 34B

BUS LILLE

T_4		M	σ	n	M - 2,6 σ	M + 2,6 σ	Ext. inf.	Ext. sup.
Pr	A	-24,4354	0,5432	4	-25,85	-23,02	-25,0	-23,5
	O	-18,4273	0,7949	4	-20,49	-16,36	-19,7	-17.7
Rh	A	-28,7096	0,4984	4	-30,01	-27,41	-29,2	-27,9
	O	-13,9919	0,6783	4	-15,76	-12,23	-15,0	-13,2
Na	A	-20,4838	0,2280	4	-21,08	-19,89	-20,8	-20,2
	O	-4,5160	0,6941	4	-6,32	-2,71	-5,6	-3,9
Br	A	-12,4193	0,3605	4	-13,36	-11,48	-12,9	-11,9
	O	2,2983	0,4616	4	1,10	3,50	1,8	2,9
L	A	-5,2822	0,3096	4	-6,09	-4,48	-5,6	-4,8
	O	5,9677	0,4417	4	4,82	7,12	5,3	6,5
Op	A	2,0967	0,2549	4	1,43	2,76	1,8	2,4
	O	4,0322	0,1612	4	3,61	4,45	3,9	4,2
Ba	A	2,1370	0,1341	4	1,79	2,49	1,9	2,3
	O	-1,5725	0,1760	4	-2,03	-1,11	-1,8	-1,3
O.S.	A	-2,2580	0,2280	4	-2,85	-1,67	-2,6	-1,9
	O	-4,2338	0,2389	4	-4,85	-3,61	-4,5	-3,9
S.	A	-5,3225	0,2796	4	-6,05	-4,60	-5,5	-4,8
	O	-4,3951	0,3100	4	-5,20	-3,59	-4,7	-3,9
Opt	A	-11,4918	0,2908	4	-12,25	-10,74	-11,8	-11,1
	O	-6,0886	0,5153	4	-7,43	-4,75	-6,8	-5,3
S.i.	A	-10,6854	0,4620	4	-11,89	-9,48	-11,3	-10,2
	O	-17,0967	0,5108	4	-18,42	-15,77	-17,7	-16,5
A.i.	A	-17,2983	0,6089	4	-18,88	-15,72	-18,2	-16,6
	O	-17,0967	0,4426	4	-18,25	-15,95	-17,6	-16,5
M	A	-13,9515	0,2700	4	-14,65	-13,25	-14,2	-13,5
	O	-12,6209	0,3681	4	-13,58	-11,66	-13,2	-12,3
Cond	A	-5,1209	0,3672	4	-6,08	-4,17	-5,5	-4,5
	O	-1,7338	0,2095	4	-2,28	-1,19	-1,9	-1,5
Go	A	-0,8870	0,4343	4	-2,02	0,24	-1,5	-0,3
	O	-6,8951	0,3095	4	-7,70	-6,09	-7,3	-6,5

BUS LILLE

Tableau 34C

T_4		M - T_{SM} (T = 5,84)	M+ T_{SM} (T = 5,84)	r	r'	$\alpha°$	$\beta°$	M - $\lambda\sigma$	M+ $\lambda\sigma$	Pente grand axe
Pr	A	-26,27	-22,60	-0,9462	*0,9535	-54,16	-32,88	-26,08	-22,79	-1,4938
	O	-21,11	-15,75					-20,84	-16,02	
Rh	A	-30,39	-27,03	-0,7056	0,7367	-43,83	-27,40	-30,22	-27,20	-1,5377
	O	-16,28	-11,70					-16,05	-11,93	
Na	A	-21,25	-19,72	-0,0632	0,8060	-10,90	-1,19	-21,18	-19,79	-42,9950
	O	-6,86	-2,18					-6,62	-2,41	
Br	A	-13,63	-11,20	0,5006	0,5428	32,67	21,36	-13,51	-11,33	1,6164
	O	0,74	3,85					0,90	3,70	
L.	A	-6,33	-4,24	0,7088	0,7486	45,32	26,42	-6,22	-4,34	1,6354
	O	4,48	7,46					4,63	7,31	
Op	A	1,24	2,96	*0,9609	*0,9682	31,26	56,68	1,32	2,87	0,6215
	O	3,49	4,58					3,54	4,52	
Ba	A	1,68	2,59	0,7415	0,7626	44,35	29,52	1,73	2,54	1,4379
	O	-2,17	-0,98					-2,11	-1,04	
O.S.	A	-3,03	-1,49	0,4852	0,4869	26,96	24,85	-2,95	-1,57	1,1009
	O	-5,04	-3,43					-4,96	-3,51	
S.	A	-6,27	-4,38	-0,5184	0,5258	-29,89	-25,04	-6,17	-4,47	-1,2191
	O	-5,44	-3,35					-5,34	-3,45	
Opt	A	-12,47	-10,51	-0,7563	0,8285	-53,28	-23,11	-12,37	-10,61	-2,0780
	O	-7,83	-4,35					-7,65	-4,52	
S.i.	A	-12,24	-9,13	-0,0453	0,1098	-2,87	-2,35	-12,09	-9,28	-4,6555
	O	-18,82	-15,37					-18,65	-15,55	
A.i.	A	-19,35	-15,25	0,1547	0,3419	6,41	12,02	-19,15	-15,45	0,2262
	O	-18,59	-15,60					-18,44	-15,75	
M.	A	-14,86	-13,04	-0,7945	0,8152	-47,26	-30,23	-14,77	-13,13	-1,4721
	O	-13,86	-11,38					-13,74	-11,50	
Cond.	A	-6,36	-3,88	0,5760	0,7105	18,19	45,32	-6,24	-4,01	0,4067
	O	-2,44	-1,03					-2,37	-1,10	
Go.	A	-2,35	0,58	0,7068	0,7436	26,73	44,79	-2,20	0,43	0,6244
	O	-7,94	-5,85					-7,83	-5,96	

N.B. : Valeurs limites de r et r' : 0,95 pour 95 % et 0,99 pour 99 %

Tableau 34D

BUS LILLE

	m°	m'°	X_e	$X_{e'}$	Y_e	$Y_{e'}$	X_E	$X_{E'}$	Y_E	$Y_{E'}$	A	a	A/a	S
H_4														
Pr	-24,83	114,83	-19,69	-28,22	-22,30	-18,35	-23,65	-24,25	-19,67	-20,97	9,40	1,43	6,56	10,58
Rh	33,50	56,50	-25,32	-32,42	-15,92	-20,61	-27,32	-30,42	-20,60	-15,93	8,51	5,60	1,52	37,44
Na	10,81	79,19	-21,30	-22,73	-5,51	-5,78	-21,47	-22,56	-8,52	-2,77	5,85	1,45	4,03	6,66
Br	-43,92	133,92	-11,63	-18,45	3,09	9,65	-14,79	-15,29	6,63	6,11	9,47	0,72	13,16	5,35
L.	19,46	70,54	-4,91	-7,92	11,54	10,48	-4,73	-8,09	6,26	15,75	10,07	3,19	3,15	25,25
Op.	15,47	74,53	5,01	2,17	4,22	3,44	3,84	3,33	2,91	4,75	2,95	1,92	1,54	4,44
Ba	-37,33	127,33	3,71	1,70	-2,54	-1,01	3,30	2,10	-0,99	-2,56	2,53	1,97	1,28	3,90
O.S.	-22,12	112,12	-0,15	-3,32	-5,40	-4,11	-1,53	-1,94	-4,26	-5,25	3,43	1,07	3,20	2,89
S.	-30,55	120,55	-3,10	-6,49	-5,96	-3,96	-4,59	-5,01	-4,61	-5,31	3,94	0,82	4,80	2,54
Opt.	27,81	62,19	-11,32	-12,23	-6,61	-7,10	-10,77	-12,77	-8,75	-4,96	4,29	1,03	4,16	3,47
S.i.	7,44	82,56	-6,39	-14,98	-17,54	-18,67	-10,56	-10,81	-19,08	-17,13	8,67	1,97	4,41	13,40
A.i.	-7,47	97,47	-12,99	-20,64	-18,57	-17,56	-16,68	-16,95	-17,02	-19,11	7,72	2,11	3,66	12,77
M.	-25,51	115,51	-11,06	-16,52	-14,25	-11,64	-13,54	-14,04	-12,43	-13,46	6,05	1,15	5,28	5,44
Cond.	-0,17	90,17	-3,70	-6,14	-1,37	-1,37	-4,91	-4,92	0,27	-3,01	3,28	2,45	1,34	6,31
Go.	4,90	85,10	1,34	-1,67	-6,85	-7,10	-0,08	-0,24	-7,91	-6,04	3,02	1,88	1,61	4,45
T_4														
Pr	33,80	56,20	-24,07	-24,81	-18,18	-18,68	-22,83	-26,04	-20,83	-16,03	5,78	0,89	6,48	4,04
Rh.	33,04	56,96	-27,93	-29,49	-13,49	-14,50	-27,41	-30,01	-15,99	-12,00	4,76	1,85	2,57	6,93
Na	1,33	88,67	-19,79	-21,17	-4,50	-4,53	-20,43	-20,53	-6,62	-2,41	4,21	1,38	3,05	4,57
Br	-31,74	121,74	-11,70	-13,14	1,85	2,75	-11,60	-13,24	3,63	0,97	3,12	1,70	1,84	4,17
L	-31,44	121,44	-4,79	-5,78	5,66	6,27	-4,48	-6,08	7,27	4,66	3,06	1,16	2,64	2,79
Op.	31,86	58,14	2,87	1,33	4,51	3,55	2,16	2,04	3,93	4,13	1,82	0,23	7,87	0,33
Ba	-34,82	124,82	2,33	1,95	-1,70	-1,44	2,50	1,78	-1,05	-2,09	1,26	0,46	2,72	0,46
O.S.	-42,25	132,25	-1,88	-2,63	-4,58	-3,89	-1,68	-2,84	-3,59	-4,87	1,73	1,02	1,70	1,38
S.	39,36	50,64	-4,85	-5,80	-4,00	-4,79	-4,62	-6,02	-5,25	-3,54	2,21	1,23	1,79	2,14
Opt	25,70	64,30	-11,02	-11,97	-5,86	-6,32	-10,75	-12,24	-7,64	-4,54	3,43	1,05	3,26	2,84
S.i.	12,12	77,88	-9,32	-12,05	-16,80	-17,39	-10,36	-11,01	-18,62	-15,57	3,11	2,79	1,12	6,82
A.i.	12,75	77,25	-15,47	-19,12	-16,68	-17,51	-17,01	-17,59	-18,37	-15,82	3,74	2,62	1,43	7,70
M.	34,19	55,81	-13,60	-14,30	-12,38	-12,86	-13,21	-14,69	-13,71	-11,53	2,64	0,84	3,13	1,75
Cond.	22,13	67,87	-4,02	-6,22	-1,29	-2,18	-4,94	-5,30	-2,19	-1,28	2,37	0,98	2,43	1,82
Go.	31,98	58,02	0,39	-2,17	-6,09	-7,70	-0,58	-1,19	-7,39	-6,40	3,02	1,16	2,61	2,75

Tableau 34E

$H_2 + H_3 + H_4$		M	σ	n	M - 2,6 σ	M + 2,6 σ	Ext. inf.	Ext. sup.
Pr	A	-19,6221	2,1339	38	-25,17	-14,07	-25,5	-16,1
	O	-18,7945	1,5821	38	-22,91	-14,68	-22,3	-16
Rh	A	-24,2444	2,2744	38	-30,16	-18,33	-30,6	-20
	O	-15,8573	1,7730	38	-20,47	-11,25	-19,8	-12,1
Na	A	-20,0423	1,2567	38	-23,31	-16,77	-22,7	-18,1
	O	-6,1035	1,4295	38	-9,82	-2,39	-10,3	-3,5
Br	A	-15,0848	1,1570	38	-18,09	-12,08	-17,6	-12,3
	O	6,2223	1,2306	38	3,02	9,42	2,6	9
L	A	-6,1968	1,0898	38	-9,03	-3,36	-9	-3,9
	O	10,4583	1,2472	38	7,22	13,70	8,4	13,5
Op	A	3,0135	0,5747	38	1,52	4,51	1,8	4
	O	3,6883	0,3978	38	2,65	4,72	2,9	4,5
Ba	A	2,1009	0,4277	38	0,99	3,21	1,3	3,2
	O	-1,7019	0,3679	38	-2,66	-0,75	-2,4	-0,8
O. S.	A	-1,6425	0,4455	38	-2,80	-0,48	-2,4	-0,8
	O	-4,5627	0,3652	38	-5,51	-3,61	-5,3	-3,7
S	A	-4,2444	0,4713	38	-5,47	-3,02	-5,3	-3,4
	O	-4,9532	0,4110	38	-6,02	-3,88	-5,8	-4,2
Opt	A	-10,4328	0,8017	38	-12,52	-8,35	-12,3	-8,7
	O	-7,0797	0,7789	38	-9,10	-5,05	-8,9	-5,8
S. i.	A	-8,6841	1,3515	38	-12,20	-5,17	-11,9	-5,6
	O	-16,0822	1,2559	38	-19,35	-12,82	-18,5	-13,4
A. i.	A	-14,1765	1,4676	38	-17,99	-10,36	-18,1	-11,1
	O	-16,6765	1,2796	38	-20	-13,35	-19,7	-14,4
M	A	-11,6383	1,2040	38	-14,77	-8,51	-14,7	-9,7
	O	-12,2664	0,9787	38	-14,81	-9,72	-14,5	-10,2
Cond	A	-4,1850	0,5298	38	-5,56	-2,81	-5,3	-2,9
	O	-2,1009	0,5644	38	-3,57	-0,63	-3,1	-0,6
Go	A	-0,5093	0,6613	38	-2,23	1,21	-2,1	1
	O	-6,1587	0,5860	38	-7,68	-4,64	-7,4	-4,7

BUS LILLE

Tableau 35A

$H_2 + H_3 + H_4$		M - T_{SM} (T = 2,60)	M+ T_{SM} (T = 2,60)	r	r'	$\alpha°$	$\beta°$	M - $\lambda\sigma$	M+ $\lambda\sigma$	Pente grand axe
Pr	A	-20,53	-18,71	0,1970	*0,3464	8,31	14,88	-26,10	-13,15	0,2959
	O	-19,47	-18,12					-23,60	-13,99	
Rh	A	-25,22	-23,27	0,2135	*0,3200	9,45	15,32	-31,15	-17,34	0,3671
	O	-16,62	-15,10					-21,24	-10,48	
Na	A	-20,58	-19,51	*-0,3784	*0,3965	-23,29	-18,40	-23,86	-16,23	-1,3981
	O	-6,71	-5,49					-10,44	-1,77	
Br	A	-15,58	-14,59	-0,0776	0,0990	-4,72	-4,18	-18,60	-11,57	-2,0729
	O	5,70	6,75					2,49	9,96	
L.	A	-6,66	-5,73	*-0,3448	*0,3671	-21,53	-16,77	-9,50	-2,89	-1,4667
	O	9,93	10,99					6,67	14,24	
Op	A	2,77	3,26	-0,3035	**0,4524	-11,87	-23,68	1,27	4,76	-0,3530
	O	3,52	3,86					2,48	4,90	
Ba	A	1,92	2,28	-0,1309	0,1977	-6,42	-8,65	0,80	3,40	-0,3728
	O	-1,86	-1,54					-2,82	-0,59	
O.S.	A	-1,83	-1,45	-0,0793	0,2110	-3,72	-5,52	-2,99	-0,29	-0,1910
	O	-4,72	-4,41					-5,67	-3,45	
S.	A	-4,45	-4,04	-0,1171	0,1788	-5,84	-7,65	-5,67	-2,81	-0,3685
	O	-5,13	-4,78					-6,20	-3,71	
Opt.	A	-10,78	-10,09	*-0,3358	*0,3369	-18,07	-19,07	-12,87	-8,00	-0,9178
	O	-7,41	-6,75					-9,44	-4,72	
S.i.	A	-9,26	-8,11	0,2265	0,2375	11,89	13,70	-12,79	-4,58	0,7270
	O	-16,62	-15,55					-19,89	-12,27	
A.i.	A	-14,80	-13,55	0,0760	0,1556	3,79	4,98	-18,63	-9,72	0,2580
	O	-17,22	-16,13					-20,56	-12,79	
M.	A	-12,15	-11,12	0,0392	0,2078	1,82	2,76	-15,29	-7,98	0,0931
	O	-12,68	-11,85					-15,24	-9,30	
Cond.	A	-4,41	-3,96	-0,0160	0,0652	-0,98	-0,86	-5,79	-2,58	-8,0376
	O	-2,34	-1,86					-3,81	-0,39	
Go.	A	-0,79	-0,23	-0,1194	0,1689	-6,04	-7,68	-2,52	1,50	-0,4099
	O	-6,41	-5,91					-7,94	-4,38	

N.B. : Valeurs limites de r et r' : 0,32 pour 95 % et 0,42 pour 99 %

Tableau 35B

$T_2 + T_3 + T_4$		M	σ	n	M - 2,6 σ	M + 2,6 σ	Ext. inf.	Ext. sup.
Pr	A	-22,0313	1,6177	38	-26,24	-17,83	-25	-19,5
	O	-17,2614	1,3993	38	-20,90	-13,62	-20,6	-14,7
Rh	A	-26,1918	1,6167	38	-30,40	-21,99	-29,2	-23,4
	O	-13,2444	1,1974	38	-16,36	-10,13	-17,1	-11,1
Na	A	-19,3327	0,9234	38	-21,73	-16,93	-20,8	-17,7
	O	-4,6578	0,7873	38	-6,70	-2,61	-7,1	-2,8
Br	A	-11,9821	0,5387	38	-13,38	-10,58	-12,9	-10,8
	O	2,2792	0,4994	38	0,98	3,58	1,3	3,7
L	A	-5,2817	0,3263	38	-6,13	-4,43	-5,8	-4,5
	O	5,8123	0,3504	38	4,90	6,72	5,3	7
Op	A	1,9583	0,2725	38	1,25	2,67	1,1	2,4
	O	3,9167	0,3059	38	3,12	4,71	3,4	4,5
Ba	A	1,7877	0,2974	38	1,01	2,56	1,1	2,6
	O	-1,4753	0,2295	38	-2,07	-0,88	-1,9	-1
O. S.	A	-2,2605	0,3155	38	-3,08	-1,44	-3	-1,5
	O	-3,9252	0,3458	38	-4,82	-3,03	-4,5	-3,2
S.	A	-5,0313	0,3921	38	-6,05	-4,01	-5,9	-4,2
	O	-4,0559	0,4097	38	-5,12	-2,99	-4,7	-3,2
Opt	A	-10,8539	0,7482	38	-12,80	-8,91	-12,6	-8,7
	O	-5,7656	0,6099	38	-7,35	-4,18	-7,4	-4,4
S. i.	A	-10,0508	0,7495	38	-12,0	-8,10	-11,6	-7,7
	O	-15,8148	1,2092	38	-18,96	-12,67	-17,9	-13,4
A. i.	A	-16,1247	0,9218	38	-18,52	-13,73	-18,2	-13,7
	O	-16,0525	1,2320	38	-19,26	-12,85	-18,7	-13,5
M	A	-12,9456	0,7240	38	-14,83	-11,06	-14,2	-11,5
	O	-11,5746	0,9507	38	-14,05	-9,10	-13,5	-9,8
Cond	A	-4,9957	0,3782	38	-5,98	-4,01	-5,8	-4,4
	O	-1,5576	0,3379	38	-2,44	-0,68	-2,1	-0,5
Go	A	-1,1459	0,5192	38	-2,50	0,20	-2,1	0
	O	-6,2181	0,5964	38	-7,77	-4,67	-7,3	-5

BUS LILLE

Tableau 35C

$T_2+T_3+T_4$		M - T_{SM} (T = 2,60)	M+ T_{SM} (T = 2,60)	r	r'	$\alpha°$	$\beta°$	M - $\lambda\sigma$	M+ $\lambda\sigma$	Pente grand axe
Pr	A	-22,72	-21,34	**0,6266	**0,6366	28,46	35,92	-26,94	-17,12	0,7943
	O	-17,86	-16,66					-21,51	-13,01	
Rh	A	-26,88	-25,50	**0,5600	**0,6099	22,53	37,10	-31,10	-21,29	0,5943
	O	-13,76	-12,73					-16,88	-9,61	
Na	A	-19,73	-18,94	*0,3633	*0,3920	17,21	23,08	-22,13	-16,53	0,6521
	O	-4,99	-4,32					-7,05	-2,27	
Br	A	-12,21	-11,75	*0,3951	*0,4012	20,12	23,08	-13,62	-10,35	0,8263
	O	2,07	2,49					0,76	3,79	
L.	A	-5,42	-5,14	0,0446	0,0839	2,74	2,38	-6,27	-4,29	3,4851
	O	5,66	5,96					4,75	6,88	
Op	A	1,84	2,07	-0,2460	0,2701	-15,44	-12,36	1,13	2,79	-1,5764
	O	3,79	4,05					2,99	4,85	
Ba	A	1,66	1,91	-0,2815	*0,3721	-12,25	-20,05	0,89	2,69	-0,4353
	O	-1,57	-1,38					-2,17	-0,78	
O.S.	A	-2,40	-2,13	-0,0220	0,0940	-1,38	-1,15	-3,22	-1,30	-8,4663
	O	-4,07	-3,78					-4,97	-2,88	
S.	A	-5,20	-4,86	*0,3306	*0,3332	19,05	17,56	-6,22	-3,84	1,1416
	O	-4,23	-3,88					-5,30	-2,81	
Opt	A	-11,17	-10,53	*0,3313	*0,3820	15,11	22,12	-13,12	-8,58	0,5560
	O	-6,03	-5,51					-7,62	-3,91	
S.i.	A	-10,37	-9,73	*0,3909	**0,5661	32,24	13,62	-12,33	-7,78	2,8879
	O	-16,33	-15,30					-19,48	-12,15	
A.i.	A	-16,52	-15,73	*0,3650	**0,4497	26,01	15,27	-18,92	-13,33	2,0902
	O	-16,58	-15,53					-19,79	-12,31	
M.	A	-13,26	-12,64	**0,5833	**0,6220	37,45	23,95	-15,14	-10,75	1,5789
	O	-11,98	-11,17					-14,46	-8,69	
Cond.	A	-5,16	-4,83	0,2599	0,2816	13,07	16,22	-6,14	-3,85	0,6559
	O	-1,70	-1,41					-2,58	-0,53	
Go.	A	-1,37	-0,92	-0,0022	0,1378	-0,14	-0,11	-2,72	0,43	-126,4323
	O	-6,47	-5,96					-8,03	-4,41	

N.B. : Valeurs limites de r et r' : 0,32 pour 95 % et 0,42 pour 99%

Tableau 35D

BUS LILLE

	m°	m'°	X_e	$X_{e'}$	Y_e	$Y_{e'}$	X_E	$X_{E'}$	Y_E	$Y_{E'}$	A	a	A/a	S
H_2 - H_3 - H_4														
Pr	16,49	73,51	-13,28	-25,96	-16,92	-20,67	-18,31	-20,93	-23,21	-14,38	13,23	9,22	1,44	95,77
Rh	20,16	69,84	-17,57	-30,92	-13,41	-18,31	-22,49	-26,00	-20,65	-11,07	14,22	10,21	1,39	113,99
Na	35,57	54,43	-17,46	-22,62	-4,26	-7,95	-17,23	-22,85	-10,03	-2,18	9,65	6,35	1,52	48,11
Br	25,75	64,25	-11,99	-18,18	7,72	4,73	-13,43	-16,74	2,80	9,64	7,60	6,88	1,10	41,07
L.	34,29	55,71	-3,86	-8,53	12,05	8,87	-3,86	-8,54	7,02	13,89	8,31	5,66	1,47	36,92
Op	-19,45	109,45	4,72	1,31	3,09	4,29	3,38	2,64	4,73	2,64	3,62	2,22	1,63	6,30
Ba	-20,44	110,44	3,34	0,86	-2,16	-1,24	2,48	1,72	-0,69	-2,72	2,65	2,17	1,22	4,51
O.S.	-10,81	100,81	-0,31	-2,98	-4,82	-4,31	-1,44	-1,85	-3,48	-5,64	2,72	2,20	1,24	4,69
S.	-20,23	110,23	-2,88	-5,61	-5,46	-4,45	-3,82	-4,66	-3,81	-6,09	2,91	2,43	1,20	5,57
Opt.	-42,54	132,54	-8,39	-12,48	-8,95	-5,20	-9,11	-11,75	-5,64	-8,52	5,55	3,91	1,42	17,02
S.i.	36,02	53,98	-5,12	-12,25	-13,49	-18,67	-6,65	-10,72	-18,88	-13,29	8,81	6,91	1,27	47,83
A.i.	14,46	75,54	-9,83	-18,53	-15,55	-17,80	-13,22	-15,14	-20,39	-12,96	8,98	7,68	1,17	54,18
M.	5,32	84,68	-7,99	-15,28	-11,93	-12,61	-11,36	-11,91	-15,22	-9,32	7,32	5,93	1,23	34,07
Cond.	7,09	82,91	-2,59	-5,78	-1,90	-2,30	-3,97	-4,40	-3,80	-0,40	3,43	3,21	1,07	8,65
Go	-22,29	112,29	1,39	-2,41	-6,94	-5,38	0,15	-1,16	-4,56	-7,76	4,10	3,46	1,19	11,13
T_2 - T_3 - T_4														
Pr	38,46	51,54	-17,43	-26,63	-13,61	-20,91	-20,31	-23,75	-19,43	-15,09	11,74	5,53	2,12	51,04
Rh	30,72	59,28	-21,48	-30,90	-10,45	-16,04	-24,81	-27,57	-16,56	-10,93	10,96	5,39	2,03	46,41
Na	33,11	56,89	-16,76	-21,91	-2,98	-6,34	-18,22	-20,44	-6,36	-2,96	6,14	4,06	1,51	19,60
Br	39,57	50,43	-10,54	-13,42	3,47	1,09	-11,21	-12,76	1,34	3,22	3,73	2,44	1,53	7,15
L.	-16,01	106,01	-4,34	-6,23	5,54	6,08	-4,99	-5,58	6,84	4,78	2,14	1,97	1,09	3,30
Op	32,39	57,61	2,59	1,32	4,32	3,51	2,49	1,43	3,08	4,75	1,98	1,50	1,32	2,34
Ba.	-23,52	113,52	2,65	0,92	-1,85	-1,10	2,04	1,53	-0,89	-2,06	1,89	1,28	1,48	1,89
O.S.	6,74	83,26	-1,31	-3,21	-3,81	-4,04	-2,14	-2,38	-4,97	-2,88	2,10	1,91	1,10	3,16
S.	-41,22	131,22	-4,28	-5,78	-4,71	-3,40	-4,11	-5,96	-3,00	-5,11	2,81	1,99	1,41	4,39
Opt.	29,08	60,92	-8,73	-12,98	-4,58	-6,95	-10,06	-11,65	-7,19	-4,34	4,87	3,26	1,50	12,46
S.i.	-19,10	109,10	-8,15	-11,95	-16,47	-15,16	-8,80	-11,30	-12,20	-19,43	7,64	4,02	1,90	24,14
A.i.	-25,57	115,57	-13,92	-18,33	-17,11	-15,00	-14,41	-17,84	-12,47	-19,64	7,95	4,90	1,62	30,59
M.	-32,35	122,35	-11,61	-14,28	-12,42	-10,73	-11,20	-14,69	-8,82	-14,33	6,53	3,15	2,07	16,18
Cond.	33,26	56,74	-3,97	-6,03	-0,88	-2,23	-4,49	-5,50	-2,33	-0,79	2,46	1,84	1,34	3,57
Go	0,45	89,55	0,43	-2,72	-6,21	-6,23	-1,13	-1,16	-8,03	-4,41	3,62	3,15	1,15	8,96

Tableau 35E

H_5		M	σ	n	M - 2,6 σ	M + 2,6 σ	Ext. inf.	Ext. sup.
Pr	A	-23,6917	1,7611	27	-28,27	-19,11	-26,5	-20,6
	O	-20,0178	1,4154	27	-23,70	-16,34	-23,2	-16,5
Rh	A	-28,2556	1,7766	27	-32,87	-23,64	-31,0	-25,0
	O	-15,8243	1,4636	27	-19,63	-12,02	-19,0	-12,9
Na	A	-20,7884	0,9837	27	-23,35	-18,23	-22,1	-18,9
	O	-5,3882	1,0702	27	-8,17	-2,61	-7,6	-3,4
Br	A	-12,8494	0,7604	27	-14,83	-10,87	-14,2	-11,1
	O	3,9246	0,5991	27	2,37	5,48	2,9	5,3
L	A	-5,4061	0,5900	27	-6,94	-3,87	-6,6	-4,0
	O	7,1803	0,6124	27	5,59	8,77	5,5	8,7
Op	A	2,5268	0,3700	27	1,56	3,49	1,6	3,5
	O	4,0560	0,3402	27	3,17	4,94	3,4	5,0
Ba	A	2,7239	0,5731	27	1,23	4,21	1,8	4,0
	O	-1,2066	0,3631	27	-2,15	-0,26	-1,8	-0,5
O.S.	A	-1,7920	0,6025	27	-3,36	-0,23	-2,9	-0,6
	O	-4,2950	0,3836	27	-5,29	-3,30	-5,2	-3,7
S.	A	-4,9342	0,6734	27	-6,69	-3,18	-6,1	-3,7
	O	-4,4862	0,5395	27	-5,89	-3,08	-5,5	-3,5
Opt	A	-11,4575	0,8907	27	-13,77	-9,14	-12,7	-9,7
	O	-6,4814	0,7939	27	-8,55	-4,42	-7,9	-4,8
S.i.	A	-9,8625	1,3359	27	-13,34	-6,39	-11,9	-7,7
	O	-18,3452	1,0968	27	-21,20	-15,49	-20,6	-16,8
A.i.	A	-16,1289	1,3883	27	-19,74	-12,52	-18,4	-13,5
	O	-18,2078	1,1388	27	-21,17	-15,25	-21,0	-16,5
M	A	-13,2556	1,1584	27	-16,27	-10,24	-15,0	-11,3
	O	-13,1660	0,9116	27	-15,54	-10,80	-15,3	-11,3
Cond	A	-4,5758	0,6006	27	-6,14	-3,01	-5,5	-3,5
	O	-1,7741	0,3976	27	-2,81	-0,74	-2,4	-1,0
Go	A	0,3285	0,7493	27	-1,62	2,28	-0,8	1,8
	O	-6,6427	0,3014	27	-7,43	-5,86	-7,4	-6,1

Tableau 36A

BUS LILLE

H_5		M - T_{SM} (T = 2,78)	M+ T_{SM} (T = 2,78)	r	r'	$\alpha°$	$\beta°$	M - $\lambda\sigma$	M+ $\lambda\sigma$	Pente grand axe
Pr	A	-24,65	-22,73	-0,2827	0,3500	-12,80	-19,38	-29,04	-18,35	-0,4885
	O	-20,79	-19,25					-24,31	-15,72	
Rh	A	-29,22	-27,29	0,0350	0,1945	1,65	2,43	-33,65	-22,86	0,0890
	O	-16,62	-15,03					-20,27	-11,38	
Na	A	-21,32	-20,25	-0,3761	*0,3841	-22,25	-19,07	-23,77	-17,80	-1,2492
	O	-5,97	-4,80					-8,64	-2,14	
Br	A	-13,26	-12,43	-0,2770	0,3568	-12,31	-19,37	-15,16	-10,54	-0,4559
	O	3,60	4,25					2,11	5,74	
L.	A	-5,73	-5,08	**-0,5363	**0,5372	-29,10	-27,33	-7,20	-3,62	-1,0719
	O	6,85	7,51					5,32	9,04	
Op	A	2,33	2,73	-0,3362	0,3453	-17,17	-20,08	1,40	3,65	-0,7807
	O	3,87	4,24					3,02	5,09	
Ba	A	2,41	3,04	-0,0687	*0,4316	-2,49	-6,19	0,98	4,46	-0,0723
	O	-1,40	-1,01					-2,31	-0,10	
O.S.	A	-2,12	-1,46	**-0,5759	**0,6718	-20,13	-42,14	-3,62	0,04	-0,4766
	O	-4,50	-4,09					-5,46	-3,13	
S.	A	-5,30	-4,57	**-0,5074	**0,5411	-22,12	-32,35	-6,98	-2,89	-0,6522
	O	-4,78	-4,19					-6,12	-2,85	
Opt	A	-11,94	-10,97	*-0,4736	*0,4842	-22,88	-27,99	-14,16	-8,75	-0,7857
	O	-6,91	-6,05					-8,89	-4,07	
S.i.	A	-10,59	-9,13	-0,2545	0,3166	-11,80	-17,22	-13,92	-5,81	-0,4883
	O	-18,94	-17,75					-21,67	-15,02	
A.i.	A	-16,89	-15,37	-0,3150	0,3656	-14,49	-21,01	-20,34	-11,92	-0,5505
	O	-18,83	-17,59					-21,66	-14,75	
M.	A	-13,89	-12,62	-0,2884	0,3659	-12,79	-20,13	-16,77	-9,74	-0,4664
	O	-13,66	-12,67					-15,93	-10,40	
Cond	A	-4,90	-4,25	*-0,3812	**0,5250	-14,15	-29,94	-6,40	-2,75	-0,3832
	O	-1,99	-1,56					-2,98	-0,57	
Go.	A	-0,08	0,74	-0,3206	**0,7549	-7,34	-38,57	-1,95	2,60	-0,1504
	O	-6,81	-6,48					-7,56	-5,73	

N.B. : Valeurs limites de r et r' : 0,38 pour 95 % et 0,49 pour 99 %

Tableau 36B

T_5		M	σ	n	M - 2,6 σ	M + 2,6 σ	Ext. inf.	Ext. sup.
Pr	A	-24,4384	1,5777	27	-28,54	-20,34	-27,7	-21,0
	O	-19,7251	1,7880	27	-24,37	-15,08	-23,2	-16,5
Rh	A	-28,9127	1,8207	27	-33,65	-24,18	-32,9	-25,5
	O	-15,3464	1,6715	27	-19,69	-11,00	-18,5	-12,7
Na	A	-20,9617	0,9365	27	-23,40	-18,53	-22,9	-19,4
	O	-5,3762	0,8707	27	-7,64	-3,11	-7,1	-3,9
Br	A	-12,5447	0,4166	27	-13,63	-11,46	-13,1	-11,5
	O	1,8816	0,5571	27	0,43	3,33	0,6	3,1
L	A	-5,4957	0,4216	27	-6,59	-4,40	-6,6	-4,8
	O	5,8840	0,3033	27	5,10	6,67	5,5	6,5
Op	A	2,1146	0,2891	27	1,36	2,87	1,1	2,4
	O	4,0501	0,2754	27	3,33	4,77	3,4	4,7
Ba	A	2,3296	0,4878	27	1,06	3,60	1,6	3,2
	O	-1,2663	0,3667	27	-2,22	-0,31	-1,8	-0,3
O.S.	A	-2,2042	0,3198	27	-3,04	-1,37	-2,6	-1,5
	O	-4,1696	0,2310	27	-4,77	-3,57	-4,7	-3,7
S.	A	-5,3942	0,3548	27	-6,32	-4,47	-6,0	-4,5
	O	-4,3667	0,3229	27	-5,21	-3,53	-4,7	-3,7
Opt	A	-11,6964	0,7284	27	-13,59	-9,80	-13,2	-10,0
	O	-6,4037	0,5608	27	-7,86	-4,95	-7,4	-5,2
S.i.	A	-10,3643	0,8318	27	-12,53	-8,20	-12,3	-9,0
	O	-18,0405	1,5754	27	-22,14	-13,94	-20,6	-15,8
A.i.	A	-16,7442	0,9139	27	-19,12	-14,37	-18,9	-14,8
	O	-18,2078	1,4808	27	-22,06	-14,36	-21,0	-15,8
M	A	-13,9485	0,8002	27	-16,03	-11,87	-15,6	-12,1
	O	-13,1480	1,0338	27	-15,84	-10,46	-15,2	-11,3
Cond	A	-5,0955	0,3786	27	-6,08	-4,11	-5,8	-4,5
	O	-1,6367	0,2698	27	-2,34	-0,94	-2,1	-1,1
Go	A	-0,6092	0,6959	27	-2,42	1,20	-1,8	0,5
	O	-6,7801	0,5332	27	-8,17	-5,39	-8,4	-6,0

Tableau 36C

BUS LILLE

T_5		M - T_{SM} (T = 2,78)	M+ T_{SM} (T = 2,78)	r	r'	$\alpha°$	$\beta°$	M - $\lambda\sigma$	M+ $\lambda\sigma$	Pente grand axe
Pr	A	-25,30	-23,58	*0,4478	*0,4614	26,90	21,56	-29,23	-19,65	1,3187
	O	-20,70	-18,75					-25,15	-14,30	
Rh	A	-29,91	-27,92	**0,5291	**0,5340	25,91	29,96	-34,44	-23,39	0,8512
	O	-16,26	-14,44					-20,42	-10,27	
Na	A	-21,47	-20,45	0,1452	0,1621	7,69	8,87	-23,80	-18,12	0,6168
	O	-5,85	-4,90					-8,02	-2,73	
Br	A	-12,77	-12,32	*0,3913	*0,4699	27,62	16,31	-13,81	-11,28	2,0051
	O	1,58	2,19					0,19	3,57	
L	A	-5,73	-5,27	*0,4640	**0,5428	18,45	32,83	-6,78	-4,22	0,5111
	O	5,72	6,05					4,96	6,80	
Op	A	1,96	2,27	-0,1658	0,1726	-8,98	-9,88	1,24	2,99	-0,7491
	O	3,90	4,20					3,21	4,89	
Ba	A	2,06	2,60	**0,7253	**0,7501	28,59	43,98	0,85	3,81	0,6778
	O	-1,47	-1,07					-2,38	-0,15	
O.S.	A	-2,38	-2,03	-0,0745	0,3221	-3,08	-5,89	-3,17	-1,23	-0,1111
	O	-4,30	-4,04					-4,87	-3,47	
S.	A	-5,59	-5,20	0,1755	0,1984	9,07	10,91	-6,47	-4,32	0,5977
	O	-4,54	-4,19					-5,35	-3,39	
Opt	A	-12,09	-11,30	0,1356	0,2873	5,96	9,99	-13,91	-9,49	0,2414
	O	-6,71	-6,10					-8,11	-4,70	
S.i.	A	-10,82	-9,91	0,1883	**0,5850	19,63	5,68	-12,89	-7,84	7,3896
	O	-18,90	-17,18					-22,82	-13,26	
A.i.	A	-17,24	-16,25	0,2543	**0,5027	22,40	8,92	-19,52	-13,97	4,1837
	O	-19,02	-17,40					-22,70	-13,71	
M.	A	-14,38	-13,51	0,2948	0,3798	20,85	12,85	-16,38	-11,52	2,2094
	O	-13,71	-12,58					-16,29	-10,01	
Cond.	A	-5,30	-4,89	0,2752	*0,4174	11,09	21,13	-6,24	-3,95	0,3497
	O	-1,78	-1,49					-2,46	-0,82	
Go	A	-0,99	-0,23	-0,1814	0,3136	-7,91	-13,32	-2,72	1,50	-0,3052
	O	-7,07	-6,49					-8,40	-5,16	

N.B. : Valeurs limites de r et r' : 0,38 pour 95 % et 0,49 pour 99%

Tableau 36D

	m°	m'°	X_e	$X_{e'}$	Y_e	$Y_{e'}$	X_E	$X_{E'}$	Y_E	$Y_{E'}$	A	a	A/a	S
H_5														
Pr	-26,04	116,04	-18,63	-28,75	-22,49	-17,54	-21,98	-25,41	-16,51	-23,53	11,27	7,82	1,44	69,18
Rh	5,09	84,91	-22,88	-33,63	-15,35	-16,30	-27,86	-28,65	-20,24	-11,41	10,80	8,87	1,22	75,19
Na	38,68	51,32	-18,88	-22,70	-3,86	-6,92	-18,49	-23,08	-8,25	-2,52	7,34	4,90	1,50	28,22
Br	-24,51	114,51	-10,65	-15,05	2,92	4,93	-12,16	-13,54	5,44	2,41	4,84	3,33	1,45	12,67
L.	43,01	46,99	-4,50	-6,31	8,03	6,33	-3,86	-6,95	5,53	8,83	4,53	2,48	1,82	8,82
Op	-37,98	127,98	3,51	1,54	3,29	4,83	3,06	1,99	4,74	3,37	2,50	1,75	1,43	3,43
Ba	-4,14	94,14	4,46	0,99	-1,33	-1,08	2,80	2,64	-0,11	-2,30	3,48	2,20	1,59	6,01
O.S.	-25,48	115,48	0,00	-3,58	-5,15	-3,44	-1,41	-2,17	-3,50	-5,09	3,96	1,76	2,26	5,47
S.	-33,11	123,11	-3,01	-6,86	-5,74	-3,23	-4,25	-5,62	-3,44	-5,54	4,60	2,51	1,83	9,06
Opt	-38,16	128,16	-9,00	-13,91	-8,41	-4,55	-10,32	-12,59	-5,04	-7,93	6,24	3,68	1,70	18,02
S.i.	-26,02	116,02	-6,04	-13,69	-20,21	-16,48	-8,52	-11,21	-15,59	-21,10	8,51	6,13	1,39	41,00
A.i.	-28,83	118,83	-12,18	-20,07	-20,38	-16,04	-14,65	-17,61	-15,52	-20,90	9,01	6,14	1,47	43,42
M.	-25,01	115,01	-9,91	-16,61	-14,73	-11,60	-12,19	-14,32	-10,88	-15,45	7,39	5,04	1,47	29,26
Cond.	-20,97	110,97	-2,79	-6,36	-2,46	-1,09	-4,19	-4,96	-0,78	-2,77	3,82	2,13	1,79	6,39
Go.	-8,55	98,55	2,60	-1,94	-6,98	-6,30	0,46	0,20	-5,79	-7,49	4,59	1,72	2,68	6,19
T_5														
Pr	-37,17	127,17	-21,45	-27,43	-21,99	-17,46	-20,70	-28,18	-14,80	-24,65	12,37	7,51	1,65	72,98
Rh	40,40	49,60	-23,91	-33,92	-11,09	-19,60	-26,57	-31,26	-18,10	-12,59	13,14	7,24	1,81	74,72
Na	31,67	58,33	-18,44	-23,48	-3,82	-6,93	-19,64	-22,28	-7,51	-3,24	5,92	5,02	1,18	23,34
Br	-26,51	116,51	-11,57	-13,52	1,40	2,37	-11,74	-13,35	3,50	0,26	3,62	2,17	1,67	6,18
L.	27,07	62,93	-4,26	-6,73	6,51	5,25	-5,15	-5,84	5,21	6,56	2,77	1,51	1,84	3,28
Op	-36,84	126,84	2,86	1,37	3,49	4,61	2,58	1,65	4,67	3,43	1,86	1,56	1,19	2,27
Ba	34,13	55,87	3,76	0,90	-0,29	-2,24	2,70	1,96	-1,81	-0,72	3,46	1,31	2,65	3,56
O.S.	-6,34	96,34	-1,24	-3,17	-4,28	-4,06	-2,13	-2,28	-3,48	-4,86	1,95	1,39	1,40	2,13
S.	30,87	59,13	-4,43	-6,36	-3,79	-4,94	-4,92	-5,87	-5,16	-3,58	2,25	1,84	1,22	3,26
Opt.	13,57	76,43	-9,52	-13,87	-5,88	-6,93	-11,31	-12,09	-8,02	-4,78	4,48	3,33	1,34	11,71
S.i.	-7,71	97,71	-7,92	-12,80	-18,37	-17,71	-9,72	-11,01	-13,27	-22,81	9,63	4,93	1,95	37,24
A.i.	-13,44	103,44	-14,18	-19,31	-18,82	-17,60	-15,68	-17,81	-13,76	-22,66	9,15	5,27	1,74	37,87
M.	-24,35	114,35	-11,94	-15,96	-14,06	-12,24	-12,59	-15,31	-10,15	-16,15	6,59	4,42	1,49	22,87
Cond.	19,28	70,72	-3,97	-6,22	-1,24	-2,03	-4,84	-5,35	-2,36	-0,92	2,38	1,52	1,56	2,84
Go.	-16,97	106,97	1,45	-2,67	-7,41	-6,15	-0,15	-1,06	-5,29	-8,27	4,31	3,12	1,38	10,56

Tableau 36E

BUS LILLE

H_6 ♂		M	σ	n	M - 2,6 σ	M + 2,6 σ	Ext. inf.	Ext. sup.
Pr	A	-29,1128	2,3151	36	-35,13	-23,09	-33,5	-24,4
	O	-26,9219	2,7437	36	-34,06	-19,79	-31,81	-20,6
Rh	A	-35,4479	2,6116	36	-42,24	-28,66	-39,8	-30
	O	-22,0698	2,6999	36	-29,09	-15,05	-26,6	-16,1
Na	A	-25,7257	1,7112	36	-30,17	-21,28	-28,7	-21,9
	O	-7,1728	1,3840	36	-10,77	-3,57	-9,8	-4,2
Br	A	-14,9237	0,8103	36	-17,03	-12,82	-16,8	-13,1
	O	3,8216	0,9942	36	1,24	6,41	1,8	5,6
L	A	-6,1782	0,5831	36	-7,69	-4,66	-7,4	-5,2
	O	7,8942	0,8294	36	5,74	10,05	6,5	9,4
I	A	-0,6630	0,8309	36	-2,82	1,50	-2,3	1,6
	O	8,8485	0,7247	36	6,96	10,73	7,6	10
Op	A	3,1988	0,6019	36	1,63	4,76	1,9	4,2
	O	4,3548	0,4401	36	3,21	5,50	3,2	5,2
Ba	A	4,1531	0,7059	36	2,32	5,99	2,6	5,6
	O	-0,6182	0,4224	36	-1,72	0,48	-1,6	0
O. S.	A	-1,6442	0,7963	36	-3,71	0,43	-3,7	0
	O	-5,3628	0,5425	36	-6,77	-3,95	-6,8	-4,4
S	A	-5,9408	0,9040	36	-8,29	-3,59	-7,7	-3,5
	O	-5,4748	0,5259	36	-6,84	-4,11	-6,5	-4,4
Opt	A	-14,0546	1,1976	36	-17,17	-10,94	-16,1	-11,5
	O	-8,0868	0,9509	36	-10,56	-5,61	-10,2	-6
S. i.	A	-9,9417	1,5945	36	-14,09	-5,80	-12,9	-6,5
	O	-23,9246	1,9338	36	-28,95	-18,90	-26,9	-19,2
A. i.	A	-18,3288	1,7264	36	-22,82	-13,84	-21,5	-14,5
	O	-24,4040	2,2031	36	-30,13	-18,68	-28,1	-19,2
M	A	-15,4927	1,3689	36	-19,05	-11,93	-18,4	-12,9
	O	-16,8951	1,4677	36	-20,71	-13,08	-19,4	-13,2
Cond	A	-5,6675	0,8477	36	-7,87	-3,46	-7,4	-3,9
	O	-1,6442	0,5333	36	-3,03	-0,26	-2,6	-0,5
Go	A	2,0743	0,9827	36	-0,48	4,63	0	3,7
	O	-7,3520	0,6971	36	-9,16	-5,54	-9	-6

Tableau 37A

H_6 ♂		M - T_{SM} (T = 2,60)	M+ T_{SM} (T = 2,60)	r	r'	α°	β°	M - λσ	M+ λσ	Pente grand axe
Pr	A	-30,13	-28,10	0,1000	0,1950	6,76	4,82	-36,14	-22,09	3,6848
	O	-28,13	-25,72					-35,25	-18,60	
Rh	A	-36,60	-34,30	*0,3361	*0,3376	19,16	18,01	-43,37	-27,52	1,1038
	O	-23,26	-20,88					-30,26	-13,88	
Na	A	-26,48	-24,97	0,0238	0,2104	1,11	1,69	-30,92	-20,53	0,0555
	O	-7,78	-6,56					-11,37	-2,97	
Br	A	-15,28	-14,57	-0,2907	*0,3490	-19,63	-13,33	-17,38	-12,46	1,9341
	O	3,38	4,26					0,80	6,84	
L	A	-6,43	-5,92	-0,2739	*0,4254	-21,29	-10,90	-7,95	-4,41	-2,9638
	O	7,53	8,26					5,38	10,41	
I.	A	-1,03	-0,30	-0,3246	*0,3491	-15,81	-20,42	-3,18	1,86	-0,6630
	O	8,53	9,17					6,65	11,05	
Op	A	2,93	3,46	-0,2484	*0,3847	-10,29	-18,77	1,37	5,03	-0,3441
	O	4,16	4,55					3,02	5,69	
Ba	A	3,84	4,46	-0,0580	**0,4754	-1,99	-5,53	2,01	6,30	-0,0539
	O	-0,80	-0,43					-1,90	0,66	
O.S.	A	-1,99	-1,29	-0,3246	**0,4746	-12,47	-25,47	-4,06	0,77	-0,3594
	O	-5,60	-5,12					-7,01	-3,72	
S.	A	-6,34	-5,54	-0,2932	**0,5561	-9,68	-26,75	-8,68	-3,20	-0,2426
	O	-5,71	-5,24					-7,07	-3,88	
Opt	A	-14,58	-13,53	-0,2282	0,3175	-10,27	-16,03	-17,69	-10,42	-0,4085
	O	-8,50	-7,67					-10,97	-5,20	
S.i.	A	-10,64	-9,24	-0,0873	0,2090	-6,05	-4,12	-14,78	-5,10	-4,6618
	O	-24,77	-23,07					-29,79	-18,06	
A.i.	A	-19,09	-17,57	0,0180	0,2397	1,31	0,81	-23,57	-13,09	27,3976
	O	-25,37	-23,44					-31,09	-17,72	
M.	A	-16,09	-14,89	-0,1374	0,1537	-8,38	-7,30	-19,65	-11,34	-1,6291
	O	-17,54	-16,25					-21,35	-12,44	
Cond.	A	-6,04	-5,30	-0,2338	**0,4815	-8,37	-20,39	-8,24	-3,09	-0,2305
	O	-1,88	-1,41					-3,26	-0,03	
Go	A	1,64	2,51	-0,1128	*0,3472	-4,57	-9,03	-0,91	5,06	-0,1571
	O	-7,66	-7,05					-9,47	-5,24	

N.B. : Valeurs limites de r et r' : 0,33 pour 95 % et 0,43 pour 99 %

Tableau 37B

$T_6^{♂}$		M	σ	n	M - 2,6 σ	M + 2,6 σ	Ext. inf.	Ext. sup.
Pr	A	-30,5017	1,9934	36	-35,68	-25,32	-34,4	-26
	O	-26,8413	2,4789	36	-33,29	-20,40	-30,6	-20,5
Rh	A	-36,7427	2,2455	36	-42,58	-30,90	-40,6	-31,8
	O	-21,6083	2,5133	36	-28,14	-15,07	-25,5	-14,8
Na	A	-26,1379	1,8150	36	-30,86	-21,42	-29	-22,3
	O	-7,0922	1,1352	36	-10,04	-4,14	-10,2	-4,2
Br	A	-14,4040	0,7644	36	-16,39	-12,42	-16,1	-13,1
	O	1,3171	0,5860	36	-0,21	2,84	0	2,7
L	A	-6,7696	0,6071	36	-8,35	-5,19	-8,2	-5,6
	O	5,9766	0,4341	36	4,85	7,11	4,8	6,8
I	A	-1,7786	0,6709	36	-3,52	-0,03	-2,9	-0,5
	O	8,3377	0,48	36	7,09	9,59	7,1	9,4
Op	A	2,6612	0,4053	36	1,61	3,71	1,9	3,5
	O	4,2562	0,4084	36	3,19	5,32	2,6	5
Ba	A	3,7409	0,4944	36	2,46	5,03	2,6	4,5
	O	-0,5062	0,3487	36	-1,41	0,40	-1,3	0
O. S.	A	-1,9667	0,3857	36	-2,97	-0,96	-2,6	-1
	O	-4,8073	0,4313	36	-5,93	-3,69	-5,5	-3,5
S	A	-6,4336	0,5510	36	-7,87	-5	-7,7	-5,5
	O	-5,1477	0,4670	36	-6,36	-3,93	-6	-3,7
Opt	A	-14,2696	0,9508	36	-16,74	-11,80	-15,8	-11,8
	O	-7,8628	0,7341	36	-9,77	-5,95	-9,4	-6
S. i.	A	-10,9094	0,8825	36	-13,20	-8,61	-12,9	-8,2
	O	-24,2831	2,0236	36	-29,54	-19,02	-26,8	-19,4
A.i.	A	-19,3189	1,0661	36	-22,09	-16,55	-21,5	-16,9
	O	-24,6818	2,3159	36	-30,70	-18,66	-27,6	-19
M	A	-16,3888	0,8587	36	-18,62	-14,16	-18,2	-14,7
	O	-17,1280	1,4018	36	-20,77	-13,48	-19,2	-13,7
Cond	A	-6,1737	0,4357	36	-7,31	-5,04	-7,3	-5,2
	O	-1,6531	0,3029	36	-2,44	-0,87	-2,3	-1
Go	A	1,7114	0,7156	36	-0,15	3,57	0	3,2
	O	-7,6209	0,6423	36	-9,29	-5,95	-9,5	-6,1

BUS LILLE

Tableau 37C

$T_6^{♂}$		M - T_{SM} (T = 2,60)	M+ T_{SM} (T = 2,60)	r	r'	$\alpha°$	$\beta°$	M - $\lambda\sigma$	M+ $\lambda\sigma$	Pente grand axe
Pr	A	-31,38	-29,63	**0,6074	**0,6309	37,07	26,03	-36,55	-24,45	1,4251
	O	-27,93	-25,75					-34,36	-19,32	
Rh	A	-37,73	-35,76	**0,6420	**0,6477	35,70	29,83	-43,56	-29,93	1,1912
	O	-22,71	-20,50					-29,24	-13,98	
Na	A	-26,94	-25,34	**0,6345	**0,7190	21,64	45,41	-31,65	-20,63	0,4933
	O	-7,59	-6,59					-10,54	-3,65	
Br	A	-14,74	-14,07	0,2911	*0,3827	12,58	20,80	-16,72	-12,08	0,4376
	O	1,06	1,57					-0,46	3,10	
L.	A	-7,04	-6,50	-0,0436	0,3260	-1,79	-3,49	-8,61	-4,93	-0,0635
	O	5,79	6,17					4,66	7,29	
I	A	-2,07	-1,48	**-0,6201	**0,6698	-23,92	-40,92	-3,81	0,26	-0,5912
	O	8,13	8,55					6,88	9,79	
Op	A	2,48	2,84	*-0,4060	*0,4061	-22,25	-21,95	1,43	3,89	-1,0189
	O	4,08	4,44					3,02	5,50	
Ba	A	3,52	3,96	*0,3331	**0,4594	13,21	25,29	2,24	5,24	0,3947
	O	-0,66	-0,35					-1,56	0,55	
O.S.	A	-2,14	-1,80	*-0,3631	*0,3776	-22,10	-17,99	-3,14	-0,80	-1,3549
	O	-5,00	-4,62					-6,12	-3,50	
S.	A	-6,68	-6,19	*0,3921	*0,4201	18,38	24,83	-8,11	-4,76	0,6623
	O	-5,35	-4,94					-6,56	-3,73	
Opt	A	-14,69	-13,85	**0,5068	**0,5518	21,37	33,28	-17,15	-11,38	0,6092
	O	-8,19	-7,54					-10,09	-5,64	
S.i.	A	-11,30	-10,52	-0,2543	**0,7054	-30,25	-6,33	-13,59	-8,23	-7,4366
	O	-25,17	-23,39					-30,42	-18,14	
A.i.	A	-19,79	-18,85	*0,3395	**0,6996	36,41	8,88	-22,55	-16,08	5,2337
	O	-25,70	-23,66					-31,71	-17,65	
M	A	-16,77	-16,01	*0,3967	**0,5756	32,93	13,66	-18,99	-13,78	2,9141
	O	-17,74	-16,51					-21,38	-12,87	
Cond.	A	-6,37	-5,98	-0,1099	*0,3633	-4,36	-8,98	-7,50	-4,86	-0,1448
	O	-1,79	-1,52					-2,57	-0,73	
Go	A	1,40	2,03	0,2053	0,2308	10,44	12,89	-0,46	3,88	0,6032
	O	-7,90	-7,34					-9,57	-5,67	

N.B. : Valeurs limites de r et r' : 0,33 pour 95 % et 0,43 pour 99 %

Tableau 37D

BDS LILLE

	m°	m'°	X_e	$X_{e'}$	Y_e	$Y_{e'}$	X_E	$X_{E'}$	Y_E	$Y_{E'}$	A	a	A/a	S
H_6 ♂														
Pr	-15,18	105,18	-22,44	-35,78	-28,73	-25,11	-26,91	-31,32	-18,79	-35,05	16,84	13,82	1,22	182,87
Rh	-42,17	132,17	-30,59	-40,31	-26,47	-17,66	-29,19	-41,71	-15,16	-28,98	18,65	13,12	1,42	192,15
Na	3,18	86,82	-20,54	-30,91	-6,88	-7,46	-25,49	-25,96	-11,36	-2,98	10,39	8,39	1,24	68,51
Br	27,34	62,66	-12,95	-16,90	4,84	2,80	-13,46	-16,39	0,98	6,66	6,39	4,44	1,44	22,30
L.	18,64	71,36	-4,62	-7,74	8,42	7,37	-5,35	-7,01	5,43	10,36	5,20	3,30	1,58	13,46
I.	-33,55	123,55	1,63	-2,95	7,33	10,37	0,39	-1,72	10,44	7,26	5,50	3,82	1,44	16,48
Op.	-18,99	108,99	4,98	1,42	3,74	4,97	3,61	2,79	5,54	3,17	3,77	2,51	1,50	7,42
Ba	-3,09	93,09	6,29	2,01	-0,73	-0,50	4,22	4,08	0,66	-1,89	4,29	2,56	1,68	8,61
O.S.	-19,77	109,77	0,72	-4,01	-6,21	-4,51	-1,14	-2,15	-3,95	-6,77	5,02	3,00	1,68	11,82
S.	-13,64	103,64	-3,22	-8,66	-6,13	-4,81	-5,59	-6,29	-4,02	-6,93	5,60	2,99	1,87	13,15
Opt.	-22,22	112,22	-10,57	-17,54	-9,51	-6,66	-13,03	-15,08	-5,58	-10,60	7,53	5,42	1,39	32,08
S.i.	12,11	77,89	-5,26	-14,62	-22,92	-24,93	-8,70	-11,18	-29,71	-18,14	11,83	9,57	1,24	88,88
A.i.	-2,09	92,09	-13,10	-23,56	-24,60	-24,21	-18,08	-18,57	-17,72	-31,09	13,38	10,47	1,28	110,03
M.	31,54	58,46	-12,12	-18,87	-14,82	-18,97	-13,07	-17,91	-20,84	-12,95	9,25	7,92	1,17	57,58
Cond.	-12,98	102,98	-3,12	-8,22	-2,23	-1,06	-5,32	-6,02	-0,14	-3,15	5,23	3,10	1,69	12,72
Go.	-8,93	98,93	5,04	-0,89	-7,82	-6,89	2,40	1,75	-5,29	-9,42	6,00	4,18	1,44	19,69
T_6 ♂														
Pr	-35,06	125,06	-27,11	-33,90	-29,22	-24,46	-25,49	-35,51	-19,71	-33,98	17,43	8,29	2,10	113,58
Rh	-40,01	130,01	-33,46	-40,03	-24,37	-18,85	-30,77	-42,71	-14,50	-28,72	18,57	8,59	2,16	125,20
Na	26,26	63,74	-20,74	-31,54	-4,43	-9,76	-25,06	-27,22	-9,28	-4,91	12,05	4,87	2,47	46,08
Br	23,63	66,37	-12,18	-16,63	2,29	0,34	-13,75	-15,06	-0,17	2,80	4,86	3,25	1,50	12,40
L.	-3,64	93,64	-4,93	-8,61	5,86	6,09	-6,69	-6,85	7,29	4,66	3,69	2,63	1,40	7,62
I.	-30,59	120,59	0,19	-3,75	7,17	9,50	-1,26	-2,30	9,21	7,46	4,58	2,03	2,25	7,31
Op.	44,46	45,54	3,34	1,98	4,92	3,59	3,69	1,64	3,21	5,30	2,93	1,90	1,54	4,38
Ba	21,54	68,46	5,20	2,28	0,07	-1,08	4,09	3,39	-1,39	0,38	3,14	1,91	1,64	4,70
O.S.	36,43	53,57	-1,18	-2,75	-4,23	-5,39	-1,10	-2,83	-5,98	-3,63	2,91	1,96	1,49	4,48
S.	33,52	56,48	-4,89	-7,97	-4,13	-6,17	-5,78	-7,09	-6,13	-4,16	3,69	2,36	1,56	6,85
Opt.	31,35	58,65	-11,53	-17,01	-6,19	-9,53	-13,37	-15,17	-9,34	-6,39	6,42	3,45	1,86	17,41
S.i.	7,66	82,34	-8,36	-13,46	-23,94	-24,63	-10,08	-11,73	-30,41	-18,15	12,37	5,14	2,41	49,97
A.i.	-10,82	100,82	-16,37	-22,26	-25,24	-24,12	-17,98	-20,66	-17,68	-31,69	14,26	6,00	2,38	67,19
M.	-18,94	108,94	-14,21	-18,56	-17,87	-16,38	-14,95	-17,83	-12,94	-21,32	8,86	4,60	1,93	31,97
Cond.	-8,24	98,24	-4,86	-7,49	-1,84	-1,46	-6,04	-6,30	-0,75	-2,55	2,66	1,82	1,46	3,80
Go.	31,10	58,90	3,67	-0,25	-6,44	-8,80	2,65	0,78	-9,17	-6,07	4,58	3,62	1,26	13,02

Tableau 37E

BUS LILLE

H_6 ♀		M	σ	n	M - 2,6 σ	M + 2,6 σ	Ext. inf.	Ext. sup.
Pr	A	-28,0090	1,9948	32	-33,20	-22,82	-31,8	-24,5
	O	-25,3275	2,2275	32	-31,12	-19,54	-29,8	-21,3
Rh	A	-34,0423	1,9592	32	-39,14	-28,95	-38,2	-29,8
	O	-20,4535	2,6750	32	-27,41	-13,50	-25,5	-15,5
Na	A	-24,7227	1,2271	32	-27,91	-21,53	-27,6	-22,3
	O	-6,5422	1,6687	32	-10,88	-2,20	-9,7	-3,9
Br	A	-14,4404	0,9424	32	-16,89	-11,99	-16,5	-12,9
	O	3,9969	1,1664	32	0,96	7,03	1,8	6,5
L	A	-5,9878	0,7567	32	-7,96	-4,02	-7,6	-4,5
	O	7,6007	0,9484	32	5,13	10,07	6	9,5
I	A	-0,6451	0,8429	32	-2,84	1,55	-2,1	1,1
	O	8,4828	0,5870	32	6,96	10,01	7,3	9,7
Op	A	3,0846	0,5937	32	1,54	4,63	1,9	4,5
	O	4,1178	0,4497	32	2,95	5,29	3,1	5,2
Ba	A	3,5382	0,5426	32	2,13	4,95	2,3	4,8
	O	-0,9424	0,4973	32	-2,24	0,35	-1,9	0
O.S.	A	-1,8900	0,6654	32	-3,62	-0,16	-2,9	-0,6
	O	-5,1360	0,4017	32	-6,18	-4,09	-6,1	-4,4
S.	A	-5,9273	0,7537	32	-7,89	-3,97	-7,1	-4,4
	O	-5,3275	0,4189	32	-6,42	-4,24	-6,3	-4,5
Opt.	A	-13,6491	1,0679	32	-16,43	-10,87	-15,8	-11,5
	O	-7,6410	0,8268	32	-9,79	-5,49	-9,2	-6
S. i.	A	-9,5733	2,0226	31	-14,83	-4,31	-13,9	-6,5
	O	-22,3672	1,1481	31	-25,35	-19,38	-25	-20
A. i.	A	-17,6482	2,0542	31	-22,99	-12,31	-22,1	-14,2
	O	-22,8511	1,6548	31	-27,15	-18,55	-26,1	-20
M	A	-15,1664	1,4790	31	-19,01	-11,32	-18,1	-12,1
	O	-15,9989	1,0337	31	-18,69	-13,31	-18,2	-14,2
Cond.	A	-5,7075	0,7024	31	-7,53	-3,88	-7,1	-4,7
	O	-1,2642	0,5436	31	-2,68	0,15	-3,2	-0,5
Go	A	1,6857	1,0092	31	-0,94	4,31	0	3,2
	O	-7,0707	0,7203	31	-8,94	-5,20	-8,1	-5,6

BUS LILLE

Tableau 38A

H_6 ♀		M - T_{SM} (T = 2,60) (☆T = 2,75)	M+ T_{SM} (T = 2,60) (☆T = 2,75)	r	r'	α°	β°	M - λσ	M+ λσ	Pente grand axe
Pr	A	-28,94	-27,08	**+0,5002	**0,5092	-29,19	-24,13	-34,06	-21,96	-1,2452
	O	-26,37	-24,29					-32,09	-18,57	
Rh	A	-34,96	-33,13	*-0,4205	**0,5017	-29,86	-17,12	-39,99	-28,10	-2,0042
	O	-21,70	-19,20					-28,57	-12,34	
Na	A	-25,30	-24,15	-0,2188	*0,3639	-16,57	-9,14	-28,45	-21,00	-3,1697
	O	-7,32	-5,76					-11,61	-1,48	
Br	A	-14,88	-11,00	-0,0736	0,2221	-5,21	-3,41	-17,30	-11,58	-6,0053
	O	3,45	4,54					0,46	7,54	
L.	A	-6,34	-5,63	-0,1407	0,2610	-10,00	-6,40	-8,28	-3,69	-3,5211
	O	7,16	8,04					4,72	10,48	
l	A	-1,04	-0,25	-0,0848	*0,3558	-3,38	-6,95	-3,20	1,91	-0,1132
	O	8,21	8,76					6,70	10,26	
Op	A	2,81	3,36	-0,3019	*0,3973	-12,88	-21,73	1,28	4,89	-0,4350
	O	3,91	4,33					2,75	5,48	
Ba	A	3,28	3,79	0,1519	0,1745	7,92	9,41	1,89	5,18	0,5787
	O	-1,17	-0,71					-2,45	0,57	
O.S.	A	-2,20	-1,58	-0,0681	**0,4697	-2,35	-6,44	-3,91	0,13	-0,0644
	O	-5,32	-4,95					-6,36	-3,92	
S.	A	-6,28	-5,58	*-0,4273	**0,6407	-13,36	-37,56	-8,21	-3,64	-0,3105
	O	-5,52	-5,13					-6,60	-4,06	
Opt	A	-14,15	-13,15	**-0,4634	**0,5138	-19,74	-30,90	-16,89	-10,41	-0,5870
	O	-8,03	-7,26					-10,15	-5,13	
S.i.	A	☆-10,59	☆-8,56	-0,3181	**0,5809	-10,23	-29,27	-15,71	-3,44	-0,2498
	O	☆-22,94	☆-21,79					-25,85	-18,88	
A.i.	A	☆-18,68	☆-16,62	**-0,5864	**0,6112	-25,29	-36,05	-23,88	-11,41	-0,6952
	O	☆-23,68	☆-22,02					-27,87	-17,83	
M	A	☆-15,91	☆-14,42	**-0,5551	**0,6244	-21,20	-38,46	-19,65	-10,68	-0,5385
	O	☆-16,52	☆-15,48					-19,14	-12,86	
Cond	A	☆-6,06	☆-5,35	-0,2818	*0,3706	-12,30	-20,01	-7,84	-3,58	-0,4390
	O	☆-1,54	☆-0,99					-2,91	0,39	
Go	A	☆ 1,18	☆ 2,19	**0,4666	**0,5481	18,42	33,18	-1,38	4,75	0,5054
	O	☆-7,43	☆-6,71					-9,26	-4,88	

N.B. : Valeurs limites de r et r' : 0,35 pour 95 % et 0,45 pour 99 % ; (dans le cas de la mandibule : 0,36 pour 95 % et 0,46 pour 99 %).

Tableau 38B

T_6 ♀		M	σ	n	M - 2,6 σ	M + 2,6 σ	Ext. inf.	Ext. sup.
Pr	A	-29,1582	1,3746	32	-32,73	-25,58	-31,3	-26,1
	O	-25,1561	1,5019	32	-29,06	-21,25	-28,1	-21,9
Rh	A	-34,5614	1,3238	32	-38,00	-31,12	-36,6	-31,9
	O	-19,9848	1,5612	32	-24,04	-15,93	-23,5	-17,3
Na	A	-24,6975	0,8408	32	-26,88	-22,51	-26,1	-22,7
	O	-6,7943	0,9590	32	-9,29	-4,30	-9,5	-4,8
Br	A	-13,7096	0,5043	32	-15,02	-12,40	-14,7	-12,9
	O	1,2953	0,5737	32	-0,20	2,79	0	2,6
L	A	-6,5019	-0,4322	32	-7,63	-5,38	-7,4	-5,6
	O	5,5947	0,4198	32	4,50	6,69	4,7	6,3
I	A	-1,5775	0,4936	32	-2,86	-0,29	-2,7	-0,5
	O	7,8880	0,3043	32	7,10	8,68	7,3	8,5
Op	A	2,5856	0,3573	32	1,66	3,51	1,9	3,4
	O	4,1682	0,2753	32	3,45	4,88	3,5	4,8
Ba	A	3,3820	0,3082	32	2,58	4,18	2,7	4
	O	-0,7207	0,2349	32	-1,33	-0,11	-1,3	-0,3
O.S.	A	-1,9807	0,2594	32	-2,66	-1,31	-2,6	-1,3
	O	-4,7277	0,2641	32	-5,41	-4,04	-5,3	-4,2
S.	A	-6,0987	0,3170	32	-6,92	-5,27	-6,8	-5,3
	O	-5,1158	0,2924	32	-5,88	-4,36	-5,6	-4,5
Opt.	A	-13,4928	0,6088	32	-15,08	-11,91	-14,5	-12,3
	O	-7,6763	0,5973	32	-9,23	-6,12	-9	-6,8
S. i.	A	-10,1976	1,0749	31	-12,99	-7,40	-11,9	-8,1
	O	-22,9760	0,9541	31	-25,46	-20,50	-24,7	-20,2
A. i.	A	-18,3714	1,0120	31	-21,00	-15,74	-20,2	-16
	O	-23,3506	1,1927	31	-26,45	-20,25	-25,5	-20,5
M	A	-15,7023	0,7344	31	-17,61	-13,79	-16,9	-14,2
	O	-16,4203	0,8429	31	-18,61	-14,23	-17,7	-14,4
Cond.	A	-6,0509	0,4221	31	-7,15	-4,95	-7,1	-5,3
	O	-1,7689	0,3652	31	-2,72	-0,82	-2,4	-1,1
Go	A	1,6596	0,6324	31	0,02	3,30	0,2	2,9
	O	-7,2944	0,5908	31	-8,83	-5,76	-8,2	-5,8

BUS LILLE

Tableau 38C

T_6 ♀		M - T_{SM} (T =2,60) (☆T = 2,75)	M+ T_{SM} (T =2,60) (☆T = 2,75)	r	r'	α°	β°	M - λσ	M+ λσ	Pente grand axe
Pr	A	-29,80	-28,52	-0,2802	0,2927	-17,02	-14,39	-33,33	-24,99	-1,3654
	O	-25,86	-24,45					-29,71	-20,60	
Rh	A	-35,18	-33,94	-0,1528	0,2224	-10,22	-7,38	-38,58	-30,54	-2,5595
	O	-20,71	-19,26					-24,72	-15,25	
Na	A	-25,09	-24,31	0,0290	0,1339	1,90	1,45	-27,25	-22,15	9,2063
	O	-7,24	-6,35					-9,70	-3,88	
Br	A	-13,95	-13,47	0,1959	0,2328	12,57	9,77	-15,24	-12,18	1,8582
	O	1,03	1,56					-0,45	3,04	
L	A	-6,70	-6,30	0,1411	0,1440	7,81	8,26	-7,81	-5,19	0,8147
	O	5,40	5,79					4,32	6,87	
I	A	-1,81	-1,35	-0,2143	**0,4883	-7,53	-19,19	-3,08	-0,08	-0,2042
	O	7,75	8,03					6,96	8,81	
Op	A	2,42	2,75	**-0,5940	**0,6284	-24,59	-37,65	1,50	3,67	-0,6502
	O	4,04	4,30					3,33	5,00	
Ba	A	3,24	3,53	0,0248	0,2662	1,08	1,87	2,45	4,32	0,0450
	O	-0,83	-0,61					-1,43	-0,01	
O.S.	A	-2,10	-1,86	-0,0423	0,0459	-2,47	-2,38	-2,77	-1,19	-1,5109
	O	-4,85	-4,60					-5,53	-3,93	
S.	A	-6,25	-5,95	0,0593	0,1000	3,13	3,68	-7,06	-5,14	0,3274
	O	-5,25	-4,98					-6,00	-4,23	
Opt	A	-13,78	-13,21	-0,1322	0,1335	-7,39	-7,68	-15,34	-11,65	-0,8661
	O	-7,96	-7,40					-9,49	-5,86	
S.i.	A	☆-10,74	☆-9,66	-0,2800	0,3023	-13,96	-17,51	-13,46	-6,94	-0,6605
	O	☆-23,45	☆-22,50					-25,87	-20,08	
A.i.	A	☆-18.88	☆-17,86	*-0,3813	*0,4099	-24,20	-17,93	-21,44	-15,30	-1,5225
	O	☆-23,95	☆-22,75					-26,97	-19,73	
M	A	☆-16,07	☆-15,33	*-0,3676	*0,3890	-22,88	-17,76	-17,93	-13,47	-1,4444
	O	☆-16,84	☆-16,00					-18,98	-13,86	
Cond	A	☆-6,26	☆-5,84	0,1810	0,2297	8,90	11,82	-7,33	-4,77	0,4796
	O	☆-1,95	☆-1,59					-2,88	-0,66	
Go	A	☆ 1,34	☆ 1,98	0,0262	0,0728	1,40	1,60	-0,26	3,58	0,1857
	O	☆-7,59	☆-7,00					-9,09	-5,50	

N.B. : Valeurs limites de r et r' : 0,35 pour 95 % et 0,45 pour 99 % ; (dans le cas de la mandibule : 0,36 pour 95 % et 0,46 pour 99%).

BUS LILLE

Tableau 38D

	m°	m'°	X_e	$X_{e'}$	Y_e	$Y_{e'}$	X_E	$X_{E'}$	Y_E	$Y_{E'}$	A	a	A/a	S.
H_6 ♀														
Pr	38,77	51,23	-24,50	-31,51	-22,51	-28,14	-23,07	-32,94	-31,47	-19,18	15,77	8,99	1,75	111,33
Rh	26,52	63,48	-29,55	-38,54	-18,21	-22,70	-30,15	-37,94	-28,26	-12,65	17,44	10,04	1,74	137,58
Na	17,51	72,49	-21,34	-28,10	-5,48	-7,61	-23,16	-26,28	-11,49	-1,59	10,38	7,09	1,46	57,81
Br	9,45	80,55	-11,64	-17,24	4,46	3,53	-13,86	-15,02	0,49	7,51	7,11	5,68	1,25	31,72
L.	15,85	74,15	-3,83	-8,14	8,21	6,99	-5,19	-6,79	4,79	10,41	5,85	4,48	1,31	20,56
I	-6,46	96,46	1,91	-3,20	8,19	8,77	-0,45	-0,84	10,24	6,72	5,13	3,54	1,45	14,26
Op.	-23,51	113,51	4,82	1,35	3,36	4,87	3,58	2,59	5,26	2,98	3,78	2,48	1,52	7,36
Ba	30,06	59,94	5,02	2,06	-0,09	-1,80	4,26	2,82	-2,18	0,30	3,42	2,87	1,19	7,72
O.S.	-3,69	93,69	0,13	-3,91	-5,27	-5,01	-1,81	-1,97	-3,92	-6,35	4,04	2,43	1,66	7,72
S.	-17,25	107,25	-3,66	-8,19	-6,03	-4,62	-5,60	-6,26	-4,27	-6,39	4,74	2,22	2,14	8,26
Opt	-30,41	120,41	-10,57	-16,72	-9,45	-5,84	-12,63	-14,67	-5,90	-9,38	7,13	4,04	1,76	22,64
S.i.	-14,02	104,02	-3,49	-15,66	-23,89	-20,85	-8,79	-10,36	-19,23	-25,50	12,55	6,46	1,94	63,70
A.i.	-34,81	124,81	-11,75	-23,55	-26,95	-18,75	-15,63	-19,66	-19,95	-25,75	14,37	7,06	2,04	79,67
M.	-28,30	118,30	-10,82	-19,51	-18,34	-13,66	-14,04	-16,29	-13,91	-18,09	9,87	4,75	2,08	36,79
Cond.	-23,70	113,70	-3,66	-7,75	-2,16	-0,37	-5,10	-6,32	0,12	-2,65	4,46	3,02	1,48	10,60
Go	26,81	63,19	4,64	-1,27	-5,58	-8,56	2,49	0,88	-8,67	-5,47	6,62	3,58	1,85	18,60
T_6 ♀														
Pr	36,22	53,78	-26,19	-32,12	-22,99	-27,33	-26,22	-32,09	-29,16	-21,15	9,94	7,35	1,35	57,34
Rh	21,34	68,66	-30,95	-38,17	-18,58	-21,39	-32,79	-36,33	-24,51	-15,46	9,71	7,75	1,25	59,10
Na	-6,20	96,20	-22,17	-27,23	-7,07	-6,52	-24,38	-25,01	-3,90	-9,69	5,83	5,09	1,14	23,32
Br.	-28,29	118,29	-12,45	-14,97	0,61	1,98	-12,85	-14,57	2,90	-0,31	3,64	2,87	1,27	8,21
L.	39,17	50,83	-5,43	-7,57	6,47	4,72	-5,75	-7,26	4,67	6,52	2,77	2,39	1,16	5,20
I.	-11,54	101,54	-0,09	-3,06	7,58	8,19	-1,40	-1,76	8,76	7,02	3,04	1,78	1,71	4,25
Op.	-33,03	123,03	3,62	1,55	3,49	4,84	2,91	2,26	4,66	3,67	2,47	1,18	2,09	2,29
Ba	2,58	87,42	4,32	2,45	-0,68	-0,76	3,41	3,35	-1,43	-0,01	1,87	1,42	1,31	2,09
O.S.	33,50	56,50	-1,33	-2,63	-4,30	-5,16	-1,53	-2,43	-5,41	-4,05	1,62	1,55	1,05	1,98
S.	18,13	71,87	-5,18	-7,02	-4,81	-5,42	-5,83	-6,37	-5,95	-4,28	1,94	1,76	1,11	2,68
Opt.	-40,90	130,90	-12,02	-14,97	-8,95	-6,40	-12,38	-14,61	-6,39	-8,96	3,90	3,41	1,14	10,43
S.i.	-33,44	123,44	-7,26	-13,13	-24,92	-21,04	-8,78	-11,62	-20,83	-25,13	7,04	5,15	1,37	28,49
A.i.	33,30	56,70	-16,22	-20,53	-21,94	-24,77	-16,18	-20,56	-26,68	-20,02	7,97	5,16	1,55	32,29
M.	34,70	55,30	-14,16	-17,24	-15,35	-17,49	-14,09	-17,31	-18,74	-14,10	5,65	3,75	1,51	16,66
Cond.	25,62	64,38	-4,85	-7,25	-1,19	-2,34	-5,60	-6,51	-2,72	-0,82	2,66	2,10	1,26	4,39
Go.	10,52	79,48	3,55	-0,23	-6,94	-7,65	1,99	1,33	-9,05	-5,54	3,85	3,58	1,08	10,81

Tableau 38E

BUS LILLE

Tableaux 39 à 47B

•
• •

LONGUEURS, INDICES, ANGLES, CAPACITES

RESULTATS STATISTIQUES

• •
•

T_o	M	σ	n	M - 2,6 σ	M + 2,6 σ	Ext. inf.	Ext. sup.	S_M	M - T_{SM} (T = 3,01)	M + T_{SM} (T = 3,01)
p.v.	-9,2857	0,6022	14	-10,85	-7,72	-10,3	-7,9	0,1670	-9,79	-8,78
r.v.	2,7929	0,2631	14	2,11	3,48	2,2	3,2	0,0730	2,57	3,01
h.s.v.	3,8643	0,4514	14	2,69	5,04	3,1	4,6	0,1252	3,49	4,24
h.h.v.	-2,4429	0,2352	14	-3,05	-1,83	-2,9	-2,2	0,0652	-2,64	-2,25
Rh - Op	16,9000	0,9087	14	14,54	19,26	15,2	18,3	0,2520	16,14	17,66
Na - Op	12,9357	0,8005	14	10,85	15,02	11,2	14,1	0,2220	12,27	13,60
l.	8,7071	0,5161	14	7,37	10,05	8,0	9,5	0,1431	8,28	9,14
h.	5,5143	0,4518	14	4,34	6,69	4,7	6,2	0,1253	5,14	5,89
f.	4,6071	0,3035	14	3,82	5,40	4,1	5,2	0,0842	4,35	4,86
100 r.v./p.v.	30,1286	3,7999	14	20,25	40,01	22,0	36,6	1,0539	26,96	33,30
100 h.h.v./h.s.v.	64,4071	10,6665	14	36,67	92,14	47,2	81,0	2,9584	55,50	73,31
100 h./Na - Op	42,5714	2,9050	14	35,02	50,12	38,3	49,3	0,8057	40,15	45,00
100 f./Rh - Op	27,2500	1,7759	14	22,63	31,87	24,9	30,7	0,4925	25,77	28,73
A. foraminien	89,3214	3,4775	14	80,28	98,36	85,0	96,0	0,9645	86,42	92,22
A. palatin	30,8571	3,6909	14	21,26	40,45	25,0	38,5	1,0237	27,78	33,94
A. tentorial	84,8929	4,1883	14	74,00	95,78	75,0	91,5	1,1616	81,40	88,39
A. ext. de la base	13,4286	2,0947	14	7,98	18,87	10,5	18,0	0,5810	11,68	15,18
A. occipito-sphénoïdal	175,5357	3,7534	14	165,78	185,29	168,0	180,0	1,0410	172,40	178,67
A. A.i. - Cond - Go	82,2500	7,3576	14	63,12	101,38	67,0	93,0	2,0406	76,11	88,39
Capacités	328,271	58,997	14	174,879	481,663	226,010	434,844	16,363	279,019	377,523

Tableau 39

H_1	M	σ	n	M - 2,6 σ	M + 2,6 σ	Ext. inf.	Ext. sup.	S_M	M - T_{SM} (T = 3,05)	M + T_{SM} (T = 3,05)
p.v.	-15,0371	1,4436	13	-18,79	-11,28	-17,10	-12,10	0,4167	-16,31	-13,77
r.v.	3,4987	0,6646	13	1,77	5,23	2,70	5,50	0,1918	2,91	4,08
h.s.v.	7,3944	0,9214	13	5,00	9,79	5,80	8,70	0,2659	6,58	8,21
h.h.v.	-5,0619	0,6059	13	-6,64	-3,49	-5,80	-4,20	0,1749	-5,60	-4,53
Rh - Op	27,7791	2,7235	13	20,70	34,86	22,60	31,10	0,7862	25,38	30,18
Na - Op	20,8436	1,4623	13	17,04	24,65	18,20	22,60	0,4221	19,56	22,13
l.	15,8230	1,3971	13	12,19	19,46	13,70	17,70	0,4033	14,59	17,05
h.	11,1538	1,1696	13	8,11	14,19	9,20	13,70	0,3376	10,12	12,18
f.	8,8088	0,8270	13	6,66	10,96	7,60	10,50	0,2387	8,08	9,54
100 r.v./p.v.	23,3569	3,9838	13	13,00	33,71	16,35	32,08	1,1500	19,85	26,86
100 h.h.v./h.s.v.	69,5607	12,4775	13	37,12	102,00	53,85	97,22	3,6019	58,58	80,55
100 h./Na - Op	53,5046	3,9591	13	43,21	63,80	47,83	60,71	1,1428	50,02	56,99
100 f./Rh - Op	31,9692	3,8009	13	22,09	41,85	24,48	37,14	1,0972	28,62	35,32
A. foraminien	78,2692	6,1040	13	62,40	94,14	68,00	90,00	1,7620	72,90	83,64
A. palatin	34,7307	2,9531	13	27,05	42,41	31,00	40,00	0,8524	32,13	37,33
A. tentorial	72,9615	3,9448	13	62,71	83,22	67,00	79,00	1,1387	69,49	76,43
A. ext. de la base	19,0769	5,0682	13	5,90	32,25	13,00	29,50	1,4630	14,61	23,54
A. occipito-sphénoïdal	169,1923	5,1835	13	155,72	182,67	164,00	180,00	1,4963	164,63	173,76
A. A.i. - Cond. - Go.	73,8076	4,6114	13	61,82	85,80	65,00	81,00	1,3311	69,75	77,87
Capacités	1958,572	449,255	13	790,510	3126,634	1233,868	2739,359	129,689	1563,048	2354,095

Tableau 40A

T_1	M	σ	n	M - 2,6 σ	M + 2,6 σ	Ext. inf.	Ext. sup.	S_M	M - T_{SM} (T = 3,05)	M + T_{SM} (T = 3,05)
p.v.	-13,8212	0,5293	13	-15,20	-12,45	-14,80	-13,10	0,1527	-14,29	-13,36
r.v.	3,0644	0,4104	13	2,00	4,13	2,30	3,70	0,1184	2,70	3,43
h.s.v.	5,6823	0,3645	13	4,73	6,63	5,20	6,50	0,1052	5,36	6,00
h.h.v.	-4,1562	0,6939	13	-5,96	-2,35	-5,50	-3,20	0,2003	-4,77	-3,55
Rh - Op	27,0098	2,3119	13	21,00	33,02	24,20	31,00	0,6673	24,97	29,05
Na - Op	20,1860	1,0384	13	17,49	22,89	19,00	21,90	0,2997	19,27	21,10
l.	13,3269	0,4682	13	12,11	14,54	12,60	14,30	0,1351	12,91	13,74
h.	8,1637	0,4548	13	6,98	9,35	7,70	9,00	0,1312	7,76	8,56
f.	6,3399	0,3545	13	5,42	7,26	5,30	6,80	0,1023	6,03	6,65
100 r.v./p.v.	22,1761	2,8520	13	14,76	29,59	16,28	26,44	0,8233	19,67	24,69
100 h.h.v./h.s.v.	73,0992	10,7293	13	45,20	101,00	57,14	89,47	3,0972	63,65	82,55
100 h./Na - Op	40,4615	1,4617	13	36,66	44,26	37,59	42,52	0,4219	39,17	41,75
100 f./Rh - Op	23,6507	2,3896	13	17,44	29,86	17,46	26,00	0,6898	21,55	25,75
A. foraminien	81,8846	3,5906	13	72,55	91,22	77,00	88,00	1,0365	78,72	85,05
A. palatin	35,7692	2,0444	13	30,45	41,08	32,50	39,00	0,5901	33,97	37,57
A. tentorial	70,0384	3,6038	13	60,67	79,41	66,50	78,00	1,0403	66,87	73,21
A. ext. de la base	18,5384	2,5908	13	11,80	25,27	14,00	23,50	0,7478	16,26	20,82
A. occipito-sphénoïdal	174,3846	3,0463	13	166,46	182,30	169,00	180,00	0,8793	171,70	177,07
A. A.i.- Cond - Go	74,4615	6,9934	13	56,28	92,64	61,50	91,00	2,0188	68,30	80,62
Capacités	1156,250	158,190	13	744,956	1567,545	972,096	1483,468	45,666	1016,980	1295,521

Tableau 40B

H_2	M	σ	n	M - 2,6 σ	M + 2,6 σ	Ext. inf.	Ext. sup.	S_M	M - T_{SM} (T = 2,90)	M + T_{SM} (T = 2,90)
p.v.	-18,2526	1,1207	18	-21,17	-15,34	-21,90	-17,10	0,2718	-19,04	-17,46
r.v.	3,6648	0,4619	18	2,46	4,87	2,60	4,40	0,1120	3,34	3,99
h.s.v.	9,9103	1,0760	18	7,11	12,71	8,40	13,10	0,2609	9,15	10,67
h.h.v.	-7,0429	0,8773	18	-9,32	-4,76	-8,90	-5,80	0,2127	-7,66	-6,43
Rh - Op	31,9802	0,9875	18	29,41	34,55	29,80	33,50	0,2395	31,29	32,67
Na - Op	24,4264	0,8727	18	22,16	26,70	23,10	26,80	0,2116	23,81	25,04
l.	21,1666	1,4416	18	17,42	24,91	19,80	25,90	0,3496	20,15	22,18
h.	15,1254	0,9818	18	12,57	17,68	13,70	18,10	0,2381	14,44	15,82
f.	12,9300	1,2092	18	9,79	16,07	11,00	16,60	0,2932	12,08	13,78
100 r.v./p.v.	20,1561	2,8651	18	12,71	27,61	14,71	25,47	0,6948	18,14	22,17
100 h.h.v./h.s.v.	72,2983	14,6197	18	34,29	110,31	51,85	101,92	3,5458	62,02	82,58
100 h./Na - Op	61,8961	2,7500	18	54,75	69,05	58,44	67,57	0,6669	59,96	63,83
100 f./Rh - Op	40,4755	4,0617	18	29,92	51,04	35,00	51,50	0,9851	37,62	43,33
A. foraminien	80,0555	5,1213	18	66,74	93,37	67,00	89,00	1,2420	76,45	83,66
A. palatin	41,6111	4,2998	18	30,43	52,79	34,00	51,50	1,0428	38,59	44,64
A. tentorial	75,7777	6,0153	18	60,14	91,42	65,50	89,00	1,4589	71,55	80,01
A. ext. de la base	25,7500	5,2711	18	12,05	39,45	16,00	34,00	1,2784	22,04	29,46
A. occipito-sphénoïdal	168,4166	4,3303	18	157,16	179,68	160,00	176,00	1,0502	165,37	171,46
A. A.i.-Cond.-Go	75,6388	3,6715	18	66,09	85,18	67,50	80,50	0,8904	73,06	78,22
Capacités	4126,739	711,729	18	2276,242	5977,236	3294,756	6559,053	172,620	3626,180	4627,298

Tableau 41A

T_2	M	σ	n	M - 2,6 σ	M + 2,6 σ	Ext. inf.	Ext. sup.	S_M	M - T_{SM} (T = 2,90)	M + T_{SM} (T = 2,90)
p.v.	-14,4444	0,6501	18	-16,13	-12,75	-16,50	-13,50	0,1576	-14,90	-13,99
r.v.	3,4497	0,2535	18	2,79	4,11	2,90	3,70	0,0614	3,27	3,63
h.s.v.	6,0304	0,3144	18	5,21	6,85	5,60	6,80	0,0762	5,81	6,25
h.h.v.	-5,3494	0,4276	18	-6,46	-4,24	-6,30	-4,50	0,1037	-5,65	-5,05
Rh - Op	31,2544	0,4938	18	29,97	32,54	30,30	32,30	0,1197	30,91	31,60
Na - Op	21,9981	0,2833	18	21,26	22,73	21,50	22,40	0,0687	21,80	22,20
l.	14,1638	0,2114	18	13,61	14,71	13,75	14,50	0,0512	14,02	14,31
h.	8,6379	0,2912	18	7,88	9,40	7,90	9,00	0,0706	8,43	8,84
f.	6,0465	0,3484	18	5,14	6,95	5,30	6,60	0,0844	5,80	6,29
100 r.v./p.v.	23,9461	2,2085	18	18,20	29,69	19,61	26,74	0,5356	22,39	25,50
100 h.h.v./h.s.v.	89,1477	10,1665	18	62,71	115,58	66,67	108,33	2,4657	82,00	96,30
100 h./Na - Op	39,2705	1,3009	18	35,89	42,65	36,30	41,79	0,3155	38,36	40,19
100 f./Rh - Op	19,3488	1,1264	18	16,42	22,28	17,37	21,24	0,2731	18,56	20,14
A. foraminien	85,7222	2,6633	18	78,80	92,65	80,50	89,50	0,6459	83,85	87,60
A. palatin	34,3611	1,5530	18	30,32	38,40	32,00	37,50	0,3766	33,27	35,45
A. tentorial	69,6111	3,2344	18	61,20	78,02	63,50	77,00	0,7844	67,34	71,89
A. ext de la base	19,9166	1,7586	18	15,34	24,49	16,50	23,00	0,4265	18,68	21,15
A. occipito sphénoïdal	170,5277	2,7102	18	163,48	177,57	164,00	175,00	0,6573	168,62	172,43
A. A.i. - Cond - Go	76,7222	5,8839	18	61,42	92,02	68,00	91,00	1,4270	72,58	80,86
Capacités	1409,730	65,855	18	1238,507	1580,953	1252,448	1537,397	15,972	1363,414	1456,046

Tableau 41B

H_3	M	σ	n	M - 2,6 σ	M + 2,6 σ	Ext. inf.	Ext. sup.	S_M	M - T_{SM} (T = 2,95)	M + T_{SM} (T = 2,95)
p.v.	-18,9112	1,2660	16	-22,20	-15,62	-21,90	-17,10	0,3268	-19,88	-17,95
r.v.	4,0422	0,4178	16	2,96	5,13	3,20	5,00	0,1078	3,72	4,36
h.s.v.	10,2318	1,1894	16	7,14	13,32	8,40	12,40	0,3071	9,33	11,14
h.h.v.	-7,1773	0,6729	16	-8,93	-5,43	-8,50	-6,10	0,1737	-7,69	-6,66
Rh - Op	34,0725	0,9631	16	31,57	36,58	32,90	36,10	0,2486	33,34	34,81
Na - Op	25,4838	1,2641	16	22,20	28,77	24,00	28,50	0,3263	24,52	26,45
l.	21,9000	2,0654	16	16,53	27,27	19,20	26,30	0,5332	20,33	23,47
h.	15,7963	1,4298	16	12,08	19,51	13,70	18,70	0,3691	14,71	16,89
f.	13,1753	1,6300	16	8,94	17,41	10,30	16,50	0,4208	11,93	14,42
100 r.v./p.v.	21,5087	2,9087	16	13,95	29,07	16,67	26,27	0,7510	19,29	23,72
100 h.h.v./h.s.v.	71,0281	10,2808	16	44,30	97,76	57,14	94,55	2,6545	63,20	78,86
100 h./Na - Op	61,9350	3,9010	16	51,79	72,08	57,05	68,24	1,0072	58,96	64,91
100 f./Rh - Op	38,6756	4,7274	16	26,38	50,97	31,22	48,11	1,2206	35,07	42,28
A. foraminien	80,6562	6,1364	16	64,70	96,61	71,00	91,50	1,5844	75,98	85,33
A. palatin	38,5937	2,7003	16	31,57	45,61	31,00	42,00	0,6972	36,54	40,65
A. tentorial	72,9375	3,0663	16	64,97	80,91	68,00	79,00	0,7917	70,60	75,27
A. ext. de la base	23,9375	3,7619	16	14,16	33,72	18,00	32,00	0,9713	21,07	26,80
A occipito-sphénoïdal	168,8125	3,5482	16	159,59	178,04	161,00	175,00	0,9161	166,11	171,52
A. A.i. - Cond - Go	77,4062	4,6752	16	65,25	89,56	68,00	85,00	1,2071	73,85	80,97
Capacités	4684,988	1071,173	16	1899,939	7470,038	3312,239	7064,442	276,582	3869,076	5500,900

Tableau 42A

T_3	M	σ	n	M - 2,6 σ	M + 2,6 σ	Ext. inf.	Ext. sup.	S_M	M - T_{SM} (T = 2,95)	M + T_{SM} (T = 2,95)
p.v.	-14,6471	0,4819	16	-15,90	-13,39	-15,30	-13,90	0,1244	-15,01	-14,28
r.v.	3,9717	0,2666	16	3,28	4,66	3,50	4,50	0,0688	3,77	4,17
h.s.v.	6,1290	0,1708	16	5,69	6,57	5,80	6,50	0,0441	6,00	6,26
h.h.v.	-6,1592	0,4678	16	-7,38	-4,94	-7,40	-5,20	0,1207	-6,52	-5,80
Rh - Op	34,3144	0,8979	16	31,98	36,65	32,70	36,00	0,2318	33,63	35,00
Na - Op	23,8406	0,5075	16	22,52	25,16	22,90	25,00	0,1310	23,45	24,23
l.	14,8812	0,2080	16	14,34	15,42	14,40	15,35	0,0537	14,72	15,04
h.	8,8305	0,2345	16	8,22	9,44	8,20	9,20	0,0605	8,65	9,01
f.	5,9374	0,3038	16	5,15	6,73	5,50	6,80	0,0784	5,71	6,17
100 r.v./p.v.	27,1512	2,0928	16	21,71	32,59	23,40	30,23	0,5403	25,56	28,75
100 h.h.v./h.s.v.	100,5725	7,9215	16	79,98	121,17	80,00	117,95	2,0453	94,54	106,61
100 h./Na - Op	37,0556	1,2368	16	33,84	40,27	34,93	39,44	0,3193	36,11	38,00
100 f./Rh - Op	17,3037	0,7986	16	15,23	19,38	16,14	19,53	0,2062	16,70	17,91
A. foraminien	89,9062	3,3331	16	81,24	98,57	84,00	96,00	0,8606	87,37	92,45
A. palatin	34,6250	1,7721	16	30,02	39,23	32,50	38,50	0,4575	33,28	35,97
A. tentorial	67,9687	3,0653	16	60,00	75,94	63,50	73,50	0,7914	65,63	70,30
A. ext. de la base	20,4687	2,3883	16	14,26	26,68	15,50	24,50	0,6166	18,65	22,29
A. occipito-sphénoïdal	170,0312	2,6220	16	163,21	176,85	165,50	175,50	0,6770	168,03	172,03
A. A.i. - Cond - Go	76,4062	4,4281	16	64,89	87,92	69,00	85,00	1,1433	73,03	79,78
Capacités	1640,353	58,554	16	1488,113	1792,593	1511,209	1753,422	15,119	1595,753	1684,954

Tableau 42B

H_4	M	σ	n	M - 2,6 σ	M + 2,6 σ	Ext. inf.	Ext. sup.	S_M	M - T_{SM} (T = 5,84)	M + T_{SM} (T = 5,84)
p.v.	-19,1935	0,8064	4	-21,29	-17,10	-20,30	-18,10	0,4655	-21,91	-16,47
r.v.	4,7580	0,2677	4	4,06	5,45	4,50	5,20	0,1545	3,86	5,66
h.s.v.	10,6048	1,5528	4	6,57	14,64	8,90	13,10	0,8965	5,37	15,84
h.h.v.	-6,8548	0,6298	4	-8,49	-5,22	-7,90	-6,30	0,3636	-8,98	-4,73
Rh - Op	38,3870	0,8480	4	36,18	40,59	37,40	39,70	0,4896	35,53	41,25
Na - Op	27,3386	0,7002	4	25,52	29,16	26,50	28,40	0,4042	24,98	29,70
l.	20,9250	2,3090	4	14,92	26,93	19,30	24,90	1,3331	13,14	28,71
h.	15,5241	2,3105	4	9,52	21,53	13,50	19,40	1,3340	7,73	23,31
f.	12,7822	2,1104	4	7,30	18,27	11,10	16,30	1,2184	5,67	19,90
100 r.v./p.v.	24,8150	1,4630	4	21,01	28,62	23,33	27,12	0,8446	19,88	29,75
100 h.h.v./h.s.v.	65,3475	6,5062	4	48,43	82,26	60,49	76,36	3,7564	43,41	87,29
100 h./Na - Op	56,6350	7,0561	4	38,29	74,98	50,59	68,18	4,0739	32,84	80,43
100 f./Rh - Op	33,3100	5,4892	4	19,04	47,58	28,05	42,26	3,1692	14,80	51,82
A. foraminien	80,6250	2,0425	4	75,31	85,94	78,50	84,00	1,1792	73,74	87,51
A. palatin	36,2500	2,7041	4	29,22	43,28	33,00	40,50	1,5612	27,13	45,37
A. tentorial	71,5000	1,7677	4	66,90	76,10	69,50	73,50	1,0206	65,54	77,46
A. ext. de la base	19,0000	4,7696	4	6,60	31,40	13,50	25,50	2,7538	2,92	35,08
A. occipito-sphénoïdal	165,8750	3,2282	4	157,48	174,27	161,50	170,50	1,8638	154,99	176,76
A. A.i. - Cond - Go	75,6250	3,9745	4	65,29	85,96	69,00	79,50	2,2947	62,22	89,03
Capacités	4751,702	1409,475	4	1087,067	8416,338	3621,560	7163,223	813,785	0	9504,170

Tableau 43A

T_4	M	σ	n	M - 2,6 σ	M + 2,6 σ	Ext. inf.	Ext. sup.	S_M	M - T_{SM} (T = 5,84)	M + T_{SM} (T = 5,84)
p.v.	-15,3628	0,6400	4	-17,03	-13,70	-16,10	-14,40	0,3695	-17,52	-13,20
r.v.	4,1128	0,0830	4	3,90	4,33	4,00	4,20	0,0479	3,83	4,39
h.s.v.	6,2903	0,1974	4	5,78	6,80	6,00	6,50	0,1139	5,62	6,96
h.h.v.	-6,0886	0,5153	4	-7,43	-4,75	-6,80	-5,30	0,2975	-7,83	-4,35
Rh - Op	35,7257	0,4808	4	34,48	36,98	35,20	36,50	0,2775	34,10	37,35
Na - Op	24,1531	0,2459	4	23,51	24,79	23,90	24,50	0,1419	23,32	24,98
l.	15,0125	0,2408	4	14,39	15,64	14,60	15,20	0,1390	14,20	15,82
h.	9,1935	0,1612	4	8,77	9,61	9,00	9,40	0,0930	8,65	9,74
f.	5,9273	0,1783	4	5,46	6,39	5,60	6,10	0,1029	5,33	6,53
100 r.v./p.v.	26,8325	1,5572	4	22,78	30,88	25,00	29,21	0,8990	21,58	32,08
100 h.h.v./h.s.v.	97,0325	10,4144	4	69,96	124,11	84,62	113,51	6,0129	61,92	132,15
100 h ./Na - Op	38,0650	0,7158	4	36,20	39,93	37,33	39,19	0,4132	35,65	40,48
100 f./Rh - Op	16,5925	0,4466	4	15,43	17,75	16,06	17,27	0,2578	15,09	18,10
A. foraminien	90,0000	3,2210	4	81,63	98,37	85,00	93,50	1,8596	79,14	100,86
A. palatin	31,0000	0,9354	4	28,57	33,43	30,00	32,50	0,5400	27,85	34,15
A. tentorial	67,2500	3,3260	4	58,60	75,90	64,00	71,50	1,9203	56,04	78,46
A. ext. de la base	18,7500	2,1360	4	13,20	24,30	16,00	22,00	1,2332	11,55	25,95
A. occipito-sphénoïdal	168,5000	1,6955	4	164,09	172,91	166,50	171,00	0,9789	162,78	174,22
A. A.i. - Cond - Go	77,7500	1,6007	4	73,59	81,91	76,00	80,00	0,9241	72,35	83,15
Capacités	1745,902	59,554	4	1591,063	1900,741	1659,367	1819,280	34,384	1545,100	1946,705

Tableau 433

$H_2 + H_3 + H_4$	M	σ	n	M - 2,6 σ	M + 2,6 σ	Ext. inf.	Ext. sup.	S_M	M - T_{SM} (T = 2,6)	M + T_{SM} (T = 2,6)
p.v.	-18,6289	1,2142	38	-21,79	-15,47	-21,9	-17,1	0,1996	-19,15	-18,11
r.v.	3,9388	0,5410	38	2,53	5,35	2,6	5,2	0,0889	3,71	4,17
h.s.v.	10,1188	1,2034	38	6,99	13,25	8,4	13,1	0,1978	9,60	10,63
h.h.v.	-7,0797	0,7789	38	-9,10	-5,05	-8,9	-5,8	0,1280	-7,41	-6,75
Rh - Op	33,5356	2,1612	38	27,92	39,15	29,8	39,7	0,3553	32,61	34,46
Na - Op	25,1782	1,3718	38	21,61	28,74	23,1	28,5	0,2255	24,59	25,76
l.	21,4500	1,8689	38	16,59	26,31	19,2	26,3	0,3072	20,65	22,25
h.	15,4498	1,4078	38	11,79	19,11	13,5	19,4	0,2314	14,85	16,05
f.	13,0177	1,5168	38	9,07	16,96	10,3	16,6	0,2493	12,37	13,67
100 r.v./p.v.	21,2160	3,0998	38	13,16	29,28	14,7	27,1	0,5096	19,89	22,54
100 h.h.v./h.s.v.	71,0318	12,4244	38	38,73	103,34	51,8	101,9	2,0425	65,72	76,34
100 h/Na - Op	61,3586	4,2268	38	50,37	72,35	50,5	68,2	0,6948	59,55	63,17
100 f./Rh - Op	38,9634	4,9877	38	26,00	51,93	28,0	51,5	0,8199	36,83	41,10
A. foraminien	80,3684	5,3667	38	66,42	94,32	67	91,5	0,8822	78,07	82,66
A. palatin	39,7763	4,0111	38	29,35	50,21	31	51,5	0,6594	38,06	41,49
A. tentorial	74,1315	4,9037	38	61,38	86,88	65,5	89	0,8061	72,04	76,23
A. Ext. de la base	24,2763	5,0520	38	11,14	37,41	13,5	34	0,8305	22,12	26,44
A. occipito-sphénoïdal	168,3157	4,0044	38	157,90	178,73	160	176	0,6583	166,60	170,03
A. A.i. - Cond. - Go.	76,3815	4,2447	38	65,35	87,42	67,5	85	0,6978	74,57	78,20
Capacités	4427,577	1006,983	38	1809,421	7045,733	3294,756	7163,223	165,549	3997,192	4857,961

Tableau 44A

$T_2 + T_3 + T_4$	M	σ	n	M - 2,6σ	M + 2,6σ	Ext. inf.	Ext. sup.	S_M	M - T_{SM} (T = 2,6)	M + T_{SM} (T = 2,6)
p.v.	-14,6264	0,6439	38	-16,30	-12,95	-16,5	-13,5	0,1058	-14,90	-14,35
r.v.	3,7393	0,3718	38	2,77	4,71	2,9	4,5	0,0611	3,58	3,90
h.s.v.	6,0992	0,2657	38	5,41	6,79	5,6	6,8	0,0436	5,99	6,21
h.h.v.	-5,7682	0,6039	38	-7,34	-4,20	-7,4	-4,5	0,0992	-6,03	-5,51
Rh - Op	33,0135	1,8522	38	28,20	37,83	30,3	36,5	0,3045	32,22	33,81
Na - Op	23,0007	1,0331	38	20,31	25,69	21,5	25,0	0,1698	22,56	23,44
l.	14,5552	0,4298	38	13,44	15,67	13,7	15,3	0,0706	14,37	14,74
h.	8,7775	0,3070	38	7,98	9,58	7,9	9,4	0,0504	8,65	8,91
f.	5,9880	0,3209	38	5,15	6,82	5,3	6,8	0,0527	5,85	6,13
100 r.v./p.v.	25,5994	2,6231	38	18,78	32,42	19,6	30,2	0,4312	24,48	26,72
100 h.h.v./h.s.v.	94,7881	10,7930	38	66,73	122,85	66,6	117,9	1,7743	90,18	99,40
100 h./Na - Op	38,2110	1,6115	38	34,02	42,40	34,9	41,7	0,2649	37,52	38,90
100 f./Rh - Op	18,1976	1,4577	38	14,41	21,99	16,0	21,2	0,2396	17,57	18,82
A. foraminien	87,9342	3,6783	38	78,37	97,50	80,5	96	0,6047	86,36	89,51
A. palatin	34,1184	1,9281	38	29,11	39,13	30	38,5	0,3169	33,29	34,94
A. tentorial	68,6710	3,3043	38	60,08	77,26	63,5	77	0,5432	67,26	70,08
A. ext. de la base	20,0263	2,1459	38	14,45	25,61	15,5	24,5	0,3527	19,11	20,94
A. occipito-sphénoïdal	170,1052	2,6526	38	163,21	177,00	164	175,5	0,4360	168,97	171,24
A. A.i. - Cond. - Go.	76,6973	5,0083	38	63,68	89,72	68	91	0,8233	74,56	78,84
Capacités	1542,221	143,554	38	1168,980	1915,462	1252,448	1819,280	23,600	1480,866	1603,576

Tableau 44B

H_5	M	σ	n	M - 2,6 σ	M + 2,6 σ	Ext. inf.	Ext. sup.	S_M	M - T_{SM} (T = 2,78)	M + T_{SM} (T = 2,78)
p.v.	-16,8040	1,0058	27	-19,42	-14,19	-18,40	-14,50	0,1972	-17,35	-16,26
r.v.	4,4981	0,4402	27	3,35	5,64	3,50	5,30	0,0863	4,26	4,74
h.s.v.	7,0250	0,5401	27	5,62	8,43	5,50	8,40	0,1059	6,73	7,32
h.h.v.	-6,4814	0,7939	27	-8,55	-4,42	-7,90	-4,80	0,1556	-6,91	-6,05
Rh - Op	36,6845	1,5140	27	32,75	40,62	33,50	39,80	0,2969	35,86	37,51
Na - Op	25,2030	0,8141	27	23,09	27,32	23,70	27,40	0,1596	24,76	25,65
l.	17,2500	0,7961	27	15,18	19,32	15,75	18,70	0,1561	16,82	17,68
h.	10,9617	0,9057	27	8,61	13,32	9,70	12,70	0,1776	10,47	11,46
f.	8,2914	0,8832	27	6,00	10,59	6,80	10,00	0,1732	7,81	8,77
100 r.v./p.v.	26,9592	3,8360	27	16,99	36,93	19,30	36,67	0,7523	24,87	29,05
100 h.h.v./h.s.v.	93,1200	15,5175	27	52,77	133,47	63,46	129,41	3,0432	84,66	101,58
100 h./Na - Op	43,5177	3,6167	27	34,11	52,92	37,97	51,70	0,7092	41,55	45,49
100 f./Rh - Op	22,6555	2,7436	27	15,52	29,79	18,10	28,37	0,5380	21,16	24,15
A. foraminien	91,4629	4,2197	27	80,49	102,43	81,50	99,00	0,8275	89,16	93,76
A. palatin	34,7407	2,8203	27	27,41	42,07	29,00	40,50	0,5531	33,20	36,28
A. tentorial	69,2777	3,8463	27	59,28	79,28	61,50	78,00	0,7543	67,18	71,37
A. ext. de la base	19,9629	3,4589	27	10,97	28,96	14,00	27,00	0,6783	18,08	21,85
A occipito-sphénoïdal	166,9074	3,1890	27	158,62	175,20	161,00	175,00	0,6254	165,17	168,65
A. A.i. - Cond - Go	80,2777	3,8634	27	70,23	90,32	72,50	88,50	0,7576	78,17	82,38
Capacités	2505,540	340,649	27	1619,852	3391,228	1995,165	3274,495	66,807	2319,818	2691,262

Tableau 45A

T_5	M	σ	n	M - 2,6 σ	M + 2,6 σ	Ext. inf.	Ext. sup.	S_M	M - T_{SM} (T = 2,78)	M + T_{SM} (T = 2,78)
p.v.	-15,0059	0,8198	27	-17,14	-12,87	-16,90	-13,50	0,1607	-15,45	-14,56
r.v.	4,2173	0,3044	27	3,43	5,01	3,50	4,80	0,0596	4,05	4,38
h.s.v.	6,3559	0,2771	27	5,64	7,08	5,80	6,90	0,0543	6,20	6,51
h.h.v.	-6,3978	0,5534	27	-7,84	-4,96	-7,40	-5,20	0,1085	-6,70	-6,10
Rh - Op	36,6068	2,3254	27	30,56	42,65	32,70	41,10	0,4560	35,34	37,87
Na - Op	24,9402	1,1501	27	21,95	27,93	22,90	26,90	0,2255	24,31	25,57
l.	15,0537	0,2920	27	14,29	15,81	14,40	15,60	0,0572	14,89	15,21
h.	8,8649	0,2801	27	8,14	9,59	8,20	9,40	0,0549	8,71	9,02
f.	6,0573	0,2611	27	5,38	6,74	5,50	6,60	0,0512	5,92	6,20
100 r.v./p.v.	28,1866	2,5395	27	21,58	34,79	23,40	32,22	0,4980	26,80	29,57
100 h.h.v./h.s.v.	100,7562	8,7072	27	78,12	123,39	84,62	117,95	1,7076	96,01	105,50
100 h./Na - Op	35,6188	1,9740	27	30,49	40,75	32,50	39,44	0,3871	34,54	36,70
100 f./Rh - Op	16,6092	1,2167	27	13,45	19,77	14,51	19,07	0,2386	15,95	17,27
A. foraminien	92,1851	4,1454	27	81,41	102,96	84,00	100,00	0,8129	89,93	94,45
A. palatin	33,9629	2,4234	27	27,66	40,26	29,00	38,50	0,4752	32,64	35,28
A. tentorial	67,5555	3,1143	27	59,46	75,65	61,50	74,00	0,6107	65,86	69,25
A. ext. de la base	20,2962	3,0625	27	12,33	28,26	15,50	30,00	0,6006	18,63	21,97
A. occipito-sphénoïdal	168,9629	2,3534	27	162,84	175,08	165,50	174,50	0,4615	167,68	170,25
A. A.i. - Cond. - Go	75,9814	4,7709	27	63,58	88,39	65,50	85,00	0,9356	73,38	78,58
Capacités	1743,833	120,672	27	1430,086	2057,581	1511,209	1957,377	23,666	1678,043	1809,623

Tableau 45B

$H_6♂$	M	σ	n	M - 2,6 σ	M + 2,6 σ	Ext. inf.	Ext. sup.	S_M	M - T_{SM} (T = 2,6)	M + T_{SM} (T = 2,6)
p.v.	-19,1710	1,6561	36	-23,48	-14,87	-22,1	-16,1	0,2799	-19,90	-18,44
r.v.	5,2598	0,6511	36	3,57	6,95	3,1	6,8	0,11	4,97	5,55
h.s.v.	7,6881	0,6496	36	6,00	9,38	6,5	8,7	0,1098	7,40	7,97
h.h.v.	-8,0868	0,9509	36	-10,56	-5,61	-10,2	-6,0	0,1607	-8,50	-7,67
Rh - Op	46,8727	3,0380	36	38,97	54,77	40,2	51,8	0,5135	45,54	48,21
Na - Op	31,1917	1,8127	36	26,48	35,90	27,3	34,2	0,3064	30,40	31,99
l.	19,2638	0,9847	36	16,70	21,82	17,4	22	0,1664	18,83	19,70
h.	12,1594	1,0299	36	9,48	14,84	10,6	13,9	0,1740	11,71	12,61
f.	9,7356	0,9739	36	7,20	12,27	7,1	11,6	0,1646	9,31	10,16
100 r.v./p.v.	27,7600	5,0327	36	14,68	40,85	15,0	42,0	0,8506	25,55	29,97
100 h.h.v./h.s.v.	106,1702	17,0108	36	61,94	150,40	80,7	135,0	2,8753	98,70	113,64
100 h./Na - Op	39,0844	3,6815	36	29,51	48,66	31,1	45,0	0,6222	37,47	40,70
100 f./Rh - Op	20,8080	2,0255	36	15,54	26,07	17,3	25,0	0,3423	19,92	21,70
A. foraminien	100,8333	5,0846	36	87,61	114,05	93,5	112,5	0,8594	98,60	103,07
A. palatin	37,4027	3,3566	36	28,68	46,13	29	46	0,5673	35,93	38,88
A. tentorial	71,7638	4,4743	36	60,13	83,40	62,5	82	0,7563	69,80	73,73
A. ext. de la base	18,3888	3,0874	36	10,36	26,42	13,5	25	0,5218	17,03	19,75
A. occipito-sphénoïdal	160,2777	3,8192	36	150,35	170,21	150	166,5	0,6455	158,60	161,96
A. A.i. - Cond. - Go.	82,5833	3,7153	36	72,92	92,24	75	92	0,6280	80,95	84,22
Capacités	3842,063	562,290	36	2380,108	5304,018	2704,369	5102,718	95,046	3594,993	4089,133

Tableau 46A

T_6 ♂	M	σ	n	M - 2,6 σ	M + 2,6 σ	Ext. inf.	Ext. sup.	S_M	M - T_{SM} (T = 2,6)	M + T_{SM} (T = 2,6)
p.v.	-16,2589	1,0059	36	-18,87	-13,64	-18,90	-14,20	0,1700	-16,70	-15,82
r.v.	5,1164	0,3130	36	4,30	5,93	4,40	5,60	0,0529	4,98	5,25
h.s.v.	6,8547	0,2874	36	6,11	7,60	6,30	7,40	0,0485	6,73	6,98
h.h.v.	-7,8628	0,7341	36	-9,77	-5,95	-9,40	-6,00	0,1240	-8,19	-7,54
Rh - Op	47,2983	3,0657	36	39,33	55,27	40,20	51,00	0,5182	45,95	48,65
Na - Op	31,1334	2,0617	36	25,77	36,49	26,30	33,40	0,3484	30,23	32,04
l.	16,2902	0,3686	36	15,33	17,25	15,60	16,90	0,0623	16,13	16,45
h.	9,2786	0,3108	36	8,47	10,09	8,70	10,00	0,0525	9,14	9,42
f.	6,8861	0,5075	36	5,57	8,21	5,60	8,20	0,0857	6,66	7,11
100 r.v./p.v.	31,6208	3,0853	36	23,60	39,64	25,47	37,36	0,5215	30,27	32,98
100 h.h.v./h.s.v.	114,9552	12,1825	36	83,28	146,63	84,09	145,00	2,0592	109,60	120,31
100 h./Na - Op	29,9136	1,9166	36	24,93	34,90	27,14	34,52	0,3239	29,07	30,76
100 f./Rh - Op	14,5730	0,7939	36	12,51	16,64	13,51	16,54	0,1341	14,22	14,92
A. foraminien	102,0972	4,7098	36	89,85	114,34	91,00	112,00	0,7961	100,03	104,17
A. palatin	35,6250	2,5830	36	28,91	42,34	28,00	40,00	0,4366	34,49	36,76
A tentorial	75,3333	5,8906	36	60,02	90,65	63,00	91,00	0,9957	72,75	77,92
A. Ext. de la base	20,3194	2,4896	36	13,85	26,79	16,00	26,50	0,4208	19,23	21,41
A. occipito-sphénoïdal	164,8055	4,1392	36	154,04	175,57	157,00	175,00	0,6996	162,99	166,62
A. A.i. Cond - Go	82,5833	3,6759	36	73,03	92,14	75,50	91,50	0,6213	80,97	84,20
Capacités	2469,240	248,527	36	1823,069	3115,411	1911,084	2891,194	42,009	2360,037	2578,443

Tableau 46B

H_6 ♀	M	σ	n	M - 2,6 σ	M + 2,6 σ	Ext. inf.	Ext. sup.	S_M	M - T_{SM} (☆T = 2,75)	M + T_{SM} (☆T = 2,75)
p.v.	-18,8961	1,7090	32	-23,34	-14,45	-22,40	-16,00	0,3069	-19,69	-18,10
r.v.	4,9898	0,5089	32	3,67	6,31	4,20	6,10	0,0914	4,75	5,23
h.s.v.	7,4999	0,6882	32	5,71	9,29	6,50	9,00	0,1236	7,18	7,82
h.h.v.	-7,6410	0,8268	32	-9,79	-5,49	-9,20	-6,00	0,1484	-8,03	-7,26
Rh - Op	44,7076	1,7416	32	40,18	49,24	40,60	47,70	0,3128	43,89	45,52
Na - Op	29,9293	1,1920	32	26,83	33,03	26,80	32,30	0,2140	29,37	30,49
l.	18,4984	0,9931	32	15,92	21,08	16,40	20,40	0,1783	18,03	18,96
h.	11,8396	1,1509	32	8,85	14,83	9,50	14,20	0,2067	11,30	12,38
f.	9,4959	1,0365	32	6,80	12,19	7,40	12,40	0,1861	9,01	9,98
100 r.v./p.v.	26,7225	4,2238	32	15,74	37,70	18,71	33,01	0,7586	24,75	28,69
100 h.h.v./h.s.v.	102,8865	15,8427	32	61,70	144,08	76,79	140,00	2,8454	95,49	110,28
100 h./Na - Op	39,6109	4,0522	32	29,08	50,15	31,38	48,02	0,7278	37,72	41,50
100 f./Rh - Op	21,2453	2,2148	32	15,49	27,00	16,03	27,11	0,3977	20,21	22,28
A. foraminien	94,9062	6,0208	32	79,25	110,56	84,00	109,00	1,0813	92,10	97,72
A. palatin	36,3437	4,2659	32	25,25	47,44	29,00	45,50	0,7661	34,35	38,34
A. tentorial	70,3593	4,7068	32	58,12	82,60	62,00	82,00	0,8453	68,16	72,56
A. Ext. de la base	17,9375	3,7785	32	8,11	27,76	11,00	24,00	0,6786	16,17	19,70
A. occipito-sphénoïdal	161,2656	4,8015	32	148,78	173,75	152,00	170,50	0,8623	159,02	163,51
A. A.i. - Cond. - Go	80,5806	2,8498	31	73,17	87,99	72,00	85,50	0,5203	☆79,15	☆82,01
Capacités	3448,513	531,826	32	2065,766	4831,261	2626,515	4650,821	95,520	3200,204	3696,823

Tableau 47A

T_6 ♀	M	σ	n	M - 2,6 σ	M + 2,6 σ	Ext. inf.	Ext. sup.	S_M	M - T_{SM} (T = 2,6) ☆(T = 2,75)	M + T_{SM} (T = 2,6) ☆(T = 2,75)
p.v.	-15,5695	0,9500	32	-18,04	-13,10	-17,40	-13,50	0,1706	-16,01	-15,13
r.v.	4,8739	0,3124	32	4,06	5,69	4,40	5,80	0,0561	4,73	5,02
h.s.v.	6,5926	0,3111	32	5,78	7,40	5,80	7,10	0,0558	6,45	6,74
h.h.v.	-7,6763	0,5973	32	-9,23	-6,12	-9,00	-6,80	0,1072	-7,96	-7,40
Rh - Op	44,4253	1,3156	32	41,00	47,85	41,50	46,80	0,2362	43,81	45,04
Na - Op	29,5412	0,8966	32	27,21	31,87	27,10	31,00	0,1610	29,12	29,96
l.	15,7468	0,3278	32	14,89	16,60	15,20	16,50	0,0588	15,59	15,90
h.	9,0876	0,3047	32	8,30	9,88	8,40	9,70	0,0547	8,95	9,23
f.	6,4767	0,3689	32	5,52	7,44	5,50	7,40	0,0662	6,30	6,65
100 r.v./p.v.	31,4121	2,6689	32	24,47	38,35	26,21	37,50	0,4793	30,17	32,66
100 h.h.v./h.s.v.	116,8218	11,9048	32	85,87	147,77	95,45	144,74	2,1381	111,26	122,38
100 h./Na- Op	30,7940	1,4696	32	26,97	34,61	27,96	35,71	0,2639	30,11	31,48
100 f./Rh - Op	14,5812	0,7224	32	12,70	16,46	12,50	16,20	0,1297	14,24	14,92
A. foraminien	98,9531	3,2946	32	90,39	107,52	92,50	106,00	0,5917	97,41	100,49
A. palatin	34,8281	2,6537	32	27,93	41,73	27,50	41,50	0,4766	33,59	36,07
A. tentorial	76,4531	4,0109	32	66,02	86,88	69,00	82,00	0,7203	74,58	78,33
A. ext. de la base	20,2968	2,5982	32	13,54	27,05	16,00	26,50	0,4666	19,08	21,51
A. occipito-sphénoïdal	164,7812	2,6486	32	157,89	171,67	159,00	170,00	0,4757	163,54	166,02
A. A.i. - Cond. - Go	83,8709	2,3302	31	77,81	89,93	79,50	90,00	0,4254	☆82,70	☆85,04
Capacités	2214,114	123,028	32	1894,242	2533,986	2015,686	2444,509	22,097	2156,672	2271,555

Tableau 47B

•
• •

COMPARAISONS

– entre les moyennes (Test "t")
Tableaux 48 et 49

– entre les variances (Test "F")
- Différences expérimentales : Tableaux 50 et 51
- Différences sexuelles : Tableaux 52 et 53

– entre les coefficients de corrélation
Tableau 54

• •
•

		Différences expérimentales								Différences sexuelles	
		$H_1 - T_1$	$H_2 - T_2$	$H_3 - T_3$	$H_4 - T_4$	$H_2 - H_3 - H_4$ / $T_2 - T_3 - T_4$	$H_5 - T_5$	$H_6^{♂} - T_6^{♂}$	$H_6^{♀} - T_6^{♀}$	$H_6^{♂} - H_6^{♀}$	$T_6^{♂} - T_6^{♀}$
Pr	A	0,16	**6,67	**8,88	0,55	**5,55	1,61	**2,73	**2,68	*2,11	**3,27
	O	1,42	**4,94	2,00	*3,13	**4,48	0,65	0,13	0,36	*2,64	**3,43
Rh	A	0,15	**5,46	**8,25	0,20	**4,30	1,32	*2,26	1,24	*2,53	**4,94
	O	1,46	**6,75	**3,57	**5,76	**7,53	1,10	0,75	0,86	*2,48	**3,24
Na	A	0,03	**3,16	1,25	**7,10	**2,81	0,65	0,99	0,10	**2,80	**4,28
	O	0,25	**5,05	*2,05	1,67	**5,47	0,04	0,27	0,74	1,68	1,17
Br	A	1,53	**12,89	**7,99	**3,84	**15,00	1,79	**2,80	**3,87	*2,26	**4,47
	O	**6,78	**10,23	**15,43	**5,98	**18,33	**12,73	**13,04	**11,77	0,66	0,16
L	A	0,10	**3,70	*2,35	2,43	**4,97	0,63	**4,22	**3,35	1,15	*2,12
	O	**6,77	**15,11	**15,19	**5,34	**22,12	**9,67	**12,31	**10,94	1,35	**3,69
I	A							**6,28	**5,40	0,09	1,42
	O							**3,53	**5,12	*2,30	**4,69
Op	A	**7,45	**7,10	**6,24	**4,79	**10,30	**4,48	**4,47	**4,09	0,79	0,83
	O	1,15	1,83	1,83	0,95	**2,83	0,07	0,99	0,54	*2,20	1,06
Ba	A	*2,51	**4,12	1,33	2,40	**3,72	**2,67	**2,88	1,42	**4,06	**3,67
	O	1,65	1,36	**3,28	0,87	**3,27	0,59	1,24	*2,29	**2,89	**3,03
O.S.	A	**3,08	**4,61	**4,89	1,58	**7,00	**3,08	*2,19	0,72	1,39	0,18
	O	**3,86	**6,09	**6,95	*2,53	**7,85	1,43	**4,84	**4,85	1,98	0,94
S.	A	**3,02	**5,22	**8,14	1,44	**7,96	**3,08	**2,80	1,19	0,07	**3,12
	O	**4,34	**8,16	**7,07	2,09	**9,57	0,97	**2,81	*2,37	1,29	0,34
Opt.	A	1,58	0,99	**3,83	1,05	*2,37	1,06	0,84	0,72	1,48	**4,06
	O	**3,41	**7,14	**4,81	1,63	**8,21	0,41	1,12	0,20	*2,07	1,16
S.i.	A	*2,53	**5,07	**5,08	0,00	**5,46	1,63	**3,19	1,52	0,82	**2,94
	O	1,68	*2,27	1,35	*2,77	0,95	0,81	0,77	*2,27	**4,07	**3,46
A.i.	A	1,36	**7,81	**6,81	0,60	**6,94	1,89	**2,93	1,76	1,46	**3,73
	O	2,03	**3,13	0,46	*2,87	*2,17	0,00	0,52	1,36	**3,29	**3,02
M.	A	*2,36	**5,71	**6,98	0,30	**5,75	*2,51	**3,33	1,81	0,93	**3,54
	O	1,36	**4,40	0,56	0,95	**3,13	0,07	0,69	1,76	**2,92	*2,54
Cond.	A	**3,50	**4,82	**7,42	0,64	**7,74	**3,73	**3,20	*2,34	0,21	1,18
	O	**3,03	**4,59	**4,55	1,08	**5,11	1,46	0,09	**4,30	**2,88	1,41
Go.	A	*2,07	**4,00	1,96	1,90	**4,68	**4,68	1,79	0,12	1,59	0,31
	O	0,35	1,25	*2,42	0,32	0,44	1,14	1,71	1,34	1,62	*2,17
Val. lim. de "t"	95%	2,06	2,03	2,04	2,45	1,99	2,01	1,99	2,00	2,00	2,00
	99%	2,80	2,73	2,75	3,71	2,64	2,67	2,65	2,66	2,65	2,65

Tableau 48

Test "t"

BUS LILLE

	Différences expérimentales								Différences sexuelles	
	$H_1 - T_1$	$H_2 - T_2$	$H_3 - T_3$	$H_4 - T_4$	$H_2 - H_3 - H_4$ $T_2 - T_3 - T_4$	$H_5 - T_5$	$H_6^{♂} - T_6^{♂}$	$H_6^{♀} - T_6^{♀}$	$H_6^{♂} - H_6^{♀}$	$T_6^{♂} - T_6^{♀}$
p.v.	*2,74	**12,12	**12,19	**6,44	**17,97	**7,07	**9,02	**9,63	0,67	**2,91
r.v.	1,93	1,68	0,55	**3,99	1,88	**2,68	1,20	1,11	1,92	**3,22
h.s.v.	**5,99	**14,27	**13,22	**4,77	**20,13	**5,62	**7,07	**6,80	1,16	**3,64
h.h.v.	**3,41	**7,15	**4,81	1,63	**8,23	0,44	1,12	0,20	*2,07	1,16
Rh-Op	0,75	*2,71	0,71	**4,73	1,13	0,14	0,59	0,73	**3,65	**5,12
Na-Op	1,27	**10,91	**4,67	**7,43	**7,82	0,95	0,13	1,47	**3,43	**4,21
l.	**5,87	**19,82	**13,10	**4,41	**22,18	**13,21	**17,00	**14,91	**3,19	**6,50
h.	**8,25	**26,12	**18,62	**4,73	**28,59	**11,28	**16,11	**13,09	1,20	*2,58
f.	**9,51	**22,55	**16,91	**5,61	**27,97	**12,37	**15,60	**15,55	0,98	**3,85
(r.v./p.v.)X 100	0,83	**4,32	**6,10	1,64	**6,66	1,36	**3,92	**5,31	0,92	0,30
(h.h.v./h.s.v.)X 100	0,74	**3,90	**8,82	**4,47	**8,90	*2,19	*2,52	**3,98	0,82	0,64
(h./Na-Op)X 100	**10,71	**30,66	**23,55	**4,54	**31,55	**9,78	**13,26	**11,57	0,56	*2,14
(f./Rh-Op)X 100	**6,42	**20,67	**17,26	**5,26	**24,64	**10,27	**17,20	**16,19	0,85	0,04
A. foraminien	1,77	**4,05	**5,13	**4,26	**7,17	0,62	1,09	**3,34	**4,36	**3,22
A. palatin	1,00	**6,54	**4,76	*3,18	**7,84	1,07	*2,52	1,71	1,13	1,25
A. tentorial	1,90	**3,72	**4,44	1,95	**5,69	1,77	**2,90	**5,57	1,26	0,92
A. Ext. de la base	0,33	**4,33	**3,01	0,08	**4,77	0,37	**2,92	**2,91	0,54	0,04
A. occipito-sphénoïdal	**2,99	1,70	1,07	1,25	*2,30	*2,64	**4,82	**3,63	0,93	0,03
A. A.i.-Cond.-Go.	0,27	0,64	0,60	0,86	0,30	**3,57	0,00	**4,98	*2,49	1,74
Capacités	**5,84	**15,67	**10,99	*3,69	**17,49	**10,75	**13,40	**12,79	**2,96	**5,45
Valeurs limites de "t" 95 %	2,06	2,03	2,04	2,45	1,99	2,01	1,99	2,00	2,00	2,00
Valeurs limites de "t" 99 %	2,80	2,73	2,75	3,71	2,64	2,67	2,65	2,66	2,65	2,65

Tableau 49
Test "t"

		Différences expérimentales							
		$H_1 - T_1$	$H_2 - T_2$	$H_3 - T_3$	$H_4 - T_4$	$H_2 - H_3 - H_4$ $T_2 - T_3 - T_4$	$H_5 - T_5$	$H_6^{♂} - T_6^{♂}$	$H_6^{♀} - T_6^{♀}$
Pr	A	2,64	**4,87	1,03	6,73	*1,74	1,25	1,35	*2,11
	O	1,53	**4,75	*2,41	1,35	1,28	1,60	1,23	*2,20
Rh	A	2,20	**5,66	1,35	6,55	*1,98	1,05	1,35	*2,19
	O	2,37	**7,18	1,67	2,59	**2,19	1,30	1,15	**2,94
Na	A	2,30	**10,58	**5,07	1,69	*1,85	1,10	1,12	*2,13
	O	1,73	**8,07	*2,54	1,86	**3,30	1,51	1,49	**3,03
Br	A	1,83	**5,17	**11,24	*9,76	**4,61	**3,33	1,12	**3,49
	O	*2,81	**8,18	**8,67	5,53	**6,07	1,16	**2,88	**4,13
L.	A	1,08	**14,37	**12,91	5,75	**11,16	*1,96	1,08	**3,07
	O	**12,58	**8,89	**20,40	*12,69	**12,68	**4,08	**3,65	**5,10
I.	A							1,53	**2,92
	O							**2,28	**3,72
Op.	A	2,29	**4,30	**3,87	3,48	**4,45	1,64	*2,21	**2,76
	O	1,13	1,51	1,78	4,21	1,69	1,53	1,16	**2,67
Ba.	A	1,51	*3,13	*3,26	8,24	*2,07	1,38	*2,04	**3,10
	O	1,85	2,14	*2,49	4,20	**2,57	1,02	1,47	**4,49
O.S.	A	2,02	1,74	2,07	5,35	*1,99	**3,55	**4,26	**6,59
	O	1,30	1,31	*2,49	1,26	1,12	**2,76	1,58	*2,31
S.	A	1,22	1,45	1,75	4,06	1,45	**3,60	**2,69	**5,66
	O	1,43	2,24	1,55	1,27	1,01	**2,79	1,27	*2,05
Opt.	A	*3,15	1,34	1,02	1,55	1,15	1,50	1,59	**3,08
	O	1,31	**4,00	2,07	1,49	1,63	*2,00	1,68	*1,92
S.i.	A	1,52	*2,41	1,61	*9,41	**3,25	**2,58	**3,26	**3,54 ☆
	O	1,12	*3,04	2,03	1,90	1,08	*2,06	1,09	1,45 ☆
A.i.	A	2,53	1,50	1,29	4,29	**2,53	*2,31	**2,62	**4,12 ☆
	O	1,75	**3,62	1,82	1,34	1,08	1,69	1,11	*1,92 ☆
M.	A	*3,32	**5,35	1,39	*11,18	**2,77	*2,10	**2,54	**4,06 ☆
	O	1,14	**5,99	*2,73	1,57	1,06	1,29	1,10	1,50 ☆
Cond.	A	1,06	2,01	1,44	1,21	*1,96	*2,52	**3,79	**2,77 ☆
	O	2,36	1,95	**8,53	6,67	**2,79	*2,17	**3,10	*2,22 ☆
Go	A	*3,12	1,70	1,94	1,31	1,62	1,16	*1,89	**2,55 ☆
	O	1,34	1,34	1,89	1,01	1,04	**3,13	1,18	1,49 ☆
Valeurs limites de "F"	95 %	2,69	2,27	2,40	9,28	1,74	1,93	1,77	1,83 1,84 si ☆
	99 %	4,16	3,24	3,52	29,50	2,18	2,55	2,24	2,36 2,39 si ☆

BUS DIJON

Tableau 50

Test "F"

	Différences expérimentales							
	$H_1 - T_1$	$H_2 - T_2$	$H_3 - T_3$	$H_4 - T_4$	$H_2 - H_3 - H_4$ $T_2 - T_3 - T_4$	$H_5 - T_5$	$H_6 ♂ - T_6 ♂$	$H_6 ♀ - T_6 ♀$
p.v.	**7,44	*2,97	**6,90	1,59	**3,56	1,51	**2,71	**3,24
r.v.	2,62	**3,32	*2,46	*10,40	*2,12	*2,09	**4,33	**2,66
h.s.v.	**6,39	**11,71	**48,49	**61,88	**20,54	**3,80	**5,11	**4,90
h.h.v.	1,31	**4,21	2,07	1,49	1,66	*2,06	1,68	*1,92
Rh-Op	1,39	**4,00	1,15	3,11	1,36	*2,36	1,02	1,75
Na-Op	1,98	**9,49	**6,20	8,11	*1,76	*2,00	1,29	1,77
l.	**8,90	**46,50	**98,60	**91,95	**18,92	**7,43	**7,14	**9,19
h.	**6,61	**11,37	**37,18	**205,44	**21,04	**10,46	**10,99	**14,27
f.	**5,44	**12,05	**28,79	**140,10	**22,36	**11,44	**3,68	**7,90
(r.v./p.v.) X 100	1,95	1,68	1,93	1,13	1,40	*2,28	**2,66	**2,50
(h.h.v./h.s.v.) X 100	1,35	2,07	1,68	2,56	1,33	**3,18	*1,95	1,77
(h./Na-Op) X 100	**7,34	**4,47	**9,95	**97,17	**6,88	**3,36	**3,69	**7,60
(h./Rh-Op) X 100	2,53	**13,00	**35,04	**151,07	**11,71	**5,08	**6,51	**9,40
A. foraminien	*2,89	**3,70	*3,39	2,49	*2,13	1,04	1,17	**3,34
A. palatin	2,09	**7,67	2,32	8,36	**4,33	1,35	1,69	**2,58
A. tentorial	1,20	**3,46	1,00	3,54	**2,20	1,53	1,73	1,38
A. ext. de la base	*3,83	**8,98	*2,48	4,99	**5,54	1,28	1,54	*2,11
A. occipito-sphénoïdal	*2,90	*2,55	1,83	3,63	**2,28	1,84	1,17	**3,29
A. A.i.-Cond.-Go.	2,30	*2,57	1,11	6,17	1,39	1,52	1,02	1,50☆
Capacités	**8,07	**116,80	**334,66	**560,14	**49,21	**7,97	**5,12	**18,69
Valeur limite de "F" 95 %	2,69	2,27	2,40	9,28	1,74	1,93	1,77	1,83 1,84 si ☆
Valeur limite de "F" 99 %	4,16	3,24	3,52	29,5	2,18	2,55	2,24	2,36 2,39 si ☆

Tableau 51

Test "F"

BUS LILLE

		Différences sexuelles					
		H_6 ♂ - H_6 ♀	Valeur limite de F 95 %	Valeur limite de F 99 %	T_6 ♂ - T_6 ♀	Valeur limite de F 95 %	Valeur limite de F 99 %
Pr	A	1,34	1,81	2,32	*2,10	1,81	2,32
	O	1,51	1,81	2,32	**2,71	1,81	2,32
Rh	A	1,77	1,81	2,32	**2,87	1,81	2,32
	O	1,01	1,81	2,32	**2,58	1,81	2,32
Na	A	*1,94	1,81	2,32	**4,64	1,81	2,32
	O	1,46	1,79	2,27	1,40	1,81	2,32
Br	A	1,36	1,79	2,27	*2,29	1,81	2,32
	O	1,38	1,79	2,27	1,04	1,81	2,32
L.	A	1,69	1,79	2,27	*1,97	1,81	2,32
	O	1,31	1,79	2,27	1,07	1,81	2,32
I.	A	1,03	1,79	2,27	*1,84	1,81	2,32
	O	1,52	1,81	2,32	**2,48	1,81	2,32
Op.	A	1,02	1,81	2,32	1,28	1,81	2,32
	O	1,05	1,79	2,27	*2,19	1,81	2,32
Ba.	A	1,69	1,81	2,32	**2,57	1,81	2,32
	O	1,39	1,79	2,27	*2,20	1,81	2,32
O.S.	A	1,43	1,81	2,32	*2,21	1,81	2,32
	O	*1,82	1,81	2,32	**2,66	1,81	2,32
S.	A	1,43	1,81	2,32	**3,01	1,81	2,32
	O	1,57	1,81	2,32	**2,54	1,81	2,32
Opt.	A	1,25	1,81	2,32	**2,43	1,81	2,32
	O	1,32	1,81	2,32	1,51	1,81	2,32
S.i.	A	1,62	1,79	2,28	1,49	1,79	2,28
	O	**2,82	1,82	2,35	**4,48	1,82	2,35
A.i.	A	1,42	1,79	2,28	1,10	1,82	2,35
	O	1,76	1,82	2,35	**3,75	1,82	2,35
M.	A	1,17	1,79	2,28	1,36	1,82	2,35
	O	*2,01	1,82	2,35	**2,75	1,82	2,35
Cond.	A	1,45	1,82	2,35	1,06	1,82	2,35
	O	1,04	1,79	2,28	1,46	1,79	2,28
Go.	A	1,06	1,79	2,28	1,27	1,82	2,35
	O	1,07	1,79	2,28	1,18	1,82	2,35

Tableau 52

Test "F"

BUS LILLE

	Différences sexuelles					
	$H_6^{♂} - H_6^{♀}$	Valeur limite de F 95 %	Valeur limite de F 99 %	$T_6^{♂} - T_6^{♀}$	Valeur limite de F 95 %	Valeur limite de F 99 %
p.v.	1,07	1,79	2,27	1,12	1,81	2,32
r.v.	1,63	1,81	2,32	1,00	1,81	2,32
h.s.v.	1,13	1,79	2,27	1,18	1,79	2,27
h.h.v.	1,32	1,81	2,32	1,51	1,81	2,32
Rh-Op	**3,03	1,81	2,32	**5,41	1,81	2,32
Na-Op	*2,30	1,81	2,32	**5,27	1,81	2,32
l.	1,02	1,79	2,27	1,26	1,81	2,32
h.	1,25	1,79	2,27	1,04	1,81	2,32
f.	1,14	1,79	2,27	*1,89	1,81	2,32
(r.v./p.v) X 100	1,41	1,81	2,32	1,33	1,81	2,32
(h.h.v./h.s.v) X 100	1,15	1,81	2,32	1,04	1,81	2,32
(h./Na-Op) X 100	1,22	1,79	2,27	1,69	1,81	2,32
(h./Rh-Op) X 100	1,20	1,79	2,27	1,20	1,81	2,32
A. foraminien	1,41	1,79	2,27	*2,04	1,81	2,32
A. palatin	1,62	1,79	2,27	1,06	1,79	2,27
A. tentorial	1,11	1,79	2,27	*2,15	1,81	2,32
A. ext. de la base	1,50	1,79	2,27	1,09	1,79	2,27
A. occipito-sphénoïdal	1,59	1,79	2,27	**2,43	1,81	2,32
A. A.i.-Cond.-Go.	1,69	1,82	2,35	**2,48	1,82	2,35
Capacités	1,11	1,81	2,32	**4,07	1,81	2,32

Tableau 53

Test "F"

BIUS LILLE

	Différences expérimentales								Différences sexuelles	
	$H_1 - T_1$	$H_2 - T_2$	$H_3 - T_3$	$H_4 - T_4$	$H_2 - H_3 - H_4$ $T_2 - T_3 - T_4$	$H_5 - T_5$	$H_6^{♂} - T_6^{♂}$	$H_6^{♀} - T_6^{♀}$	$H_6^{♂} - H_6^{♀}$	$T_6^{♂} - T_6^{♀}$
Pr	0,73	0,70	0,65	0,12	*2,24	**2,68	*2,46	1,00	*2,55	**3,90
Rh	1,26	0,84	0,26	0,89	1,74	1,92	1,67	1,12	**3,14	**3,60
Na	*2,29	0,26	1,09	0,41	**3,26	1,88	**2,95	0,96	0,97	**2,83
Br	**3,10	1,01	1,78	*2,21	*2,07	*2,42	*2,43	1,04	0,89	0,40
L	1,28	0,36	*2,41	1,19	1,69	**3,82	0,96	1,08	0,55	0,73
I							1,58	0,51	0,99	1,99
Op	0,12	0,54	0,12	1,22	0,26	0,63	0,72	1,42	0,23	0,99
Ba	0,92	0,75	0,48	0,85	0,66	**3,42	1,64	0,49	0,83	1,26
O.S.	1,90	0,65	0,33	1,00	0,24	*2,01	0,18	0,10	1,06	1,33
S.	1,69	0,05	0,00	0,62	1,93	*2,55	**2,91	1,96	0,61	1,39
Opt.	0,49	1,14	0,13	0,19	**2,90	*2,26	**3,21	1,40	1,06	**2,72
S.i.	1,00	1,07	1,52	0,40	0,76	1,56	0,70	0,16	0,94	0,11
A.i.	0,02	1,42	0,00	0,41	1,28	*2,03	1,36	1,01	**2,69	**2,94
M.	0,42	0,20	0,75	0,25	**2,63	*2,08	*2,27	0,90	1,90	**3,13
Cond.	0,82	1,64	1,42	0,46	1,18	*2,37	0,52	1,77	0,20	1,14
Go.	0,57	1,80	0,30	0,56	0,49	0,52	1,31	1,79	*2,41	0,71

N.B. : Valeurs limites : 2 pour 95 % et 2,6 pour 99 %

Tableau 54

Comparaison des coefficients de corrélation

BUS LILLE

ICONOGRAPHIE

Les planches suivantes présentent quatre séries de documents, établis à partir des mesures de base et des résultats statistiques qui en découlent.

- Les profils moyens orientés : *Figures C1 à C8*.

- Les ellipses équiprobables : *Figures D1 à D8.*

Seuls le point moyen et le grand axe ont été représentés. Notons que le contour de chaque ellipse englobe (à 1 % près) l'ensemble du nuage de points vestibulaires de la classe correspondante.

- Les intervalles de confiance pour les points crâniométriques : *Figures E1 à E3.*

Les classes retenues, leur regroupement ainsi que les portions de droite les unissant l'un à l'autre préfigurent les trajets ontogéniques représentés par ailleurs dans la thèse.

Les intervalles de confiance des classes adultes ♀ sont représentés en pointillés.

- Enfin, les histogrammes correspondant au détail des longueurs, indices, angles et capacités : *Figures F1 à F21.*

Figures C1 à C8

PROFILS MOYENS ORIENTES

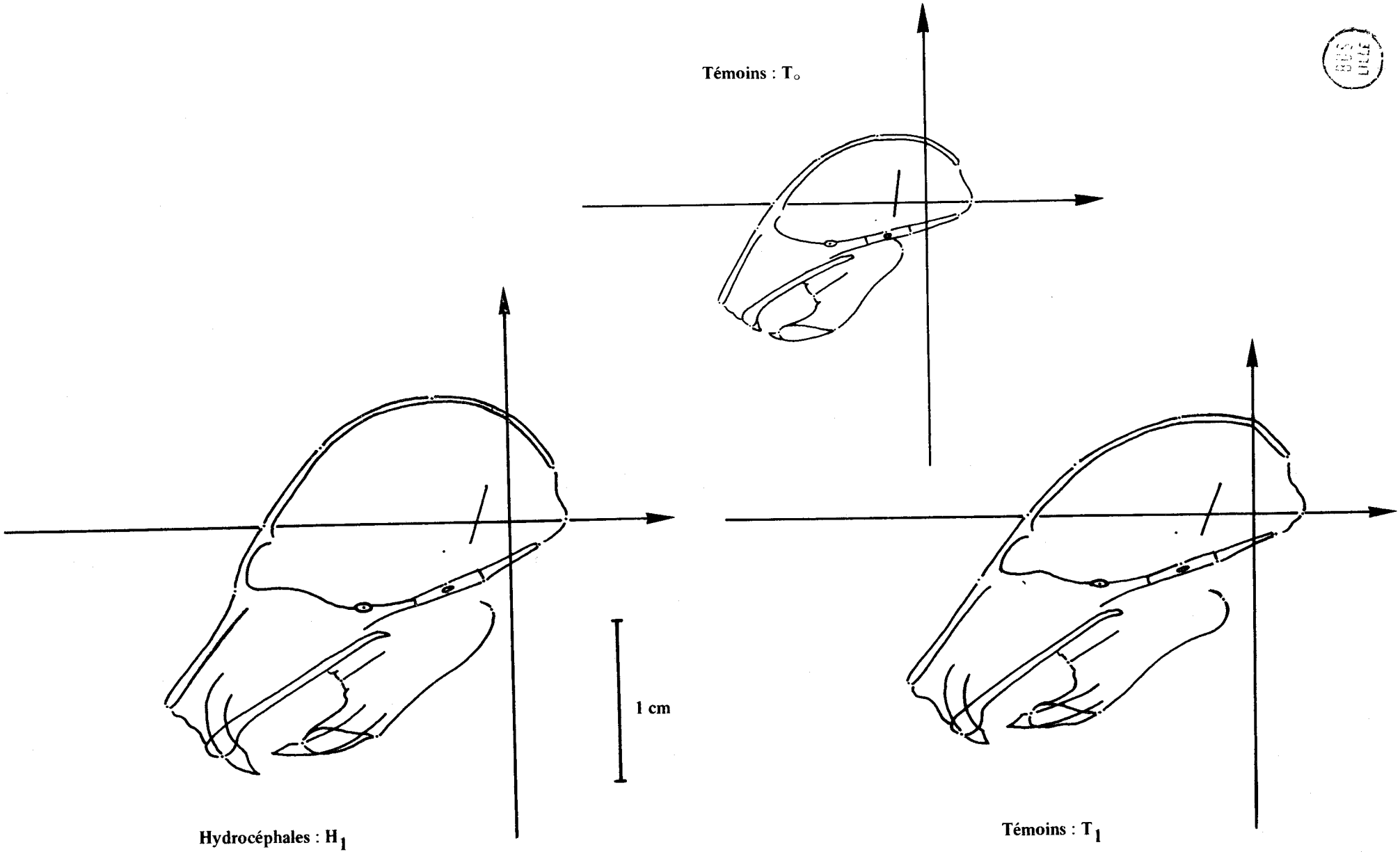

Figure C1

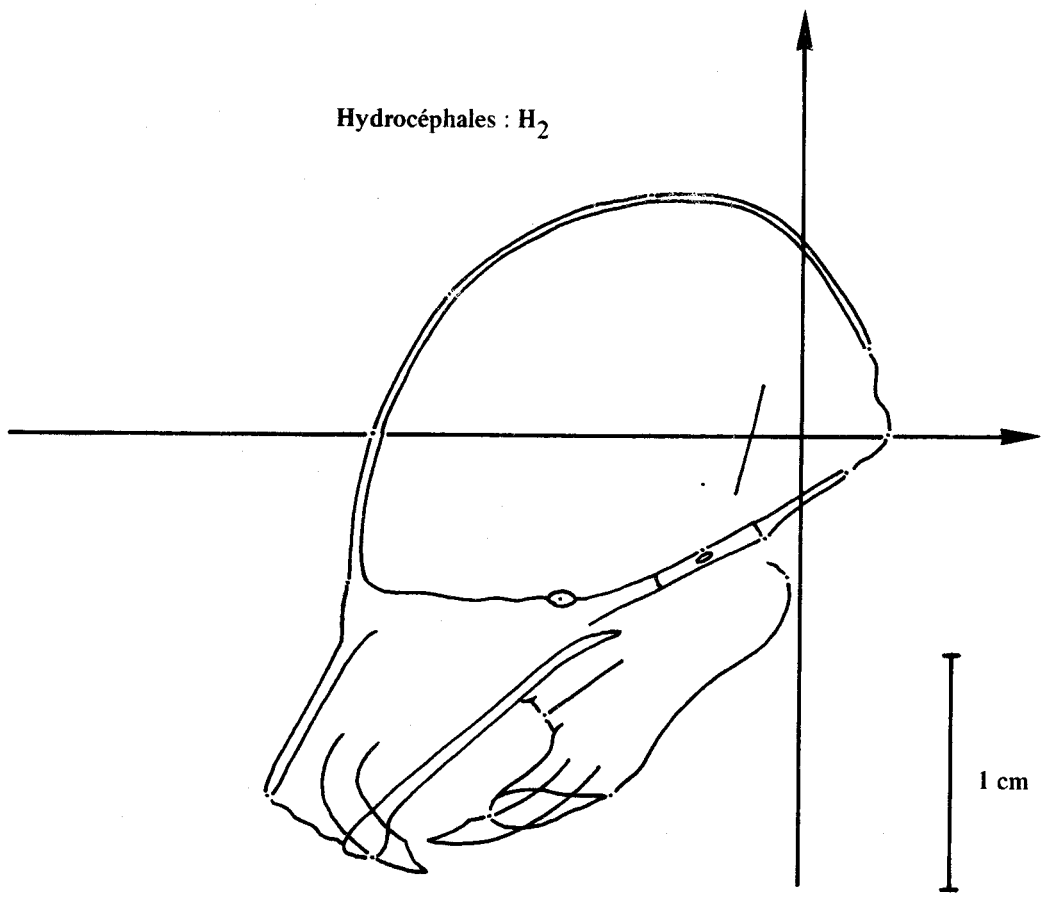

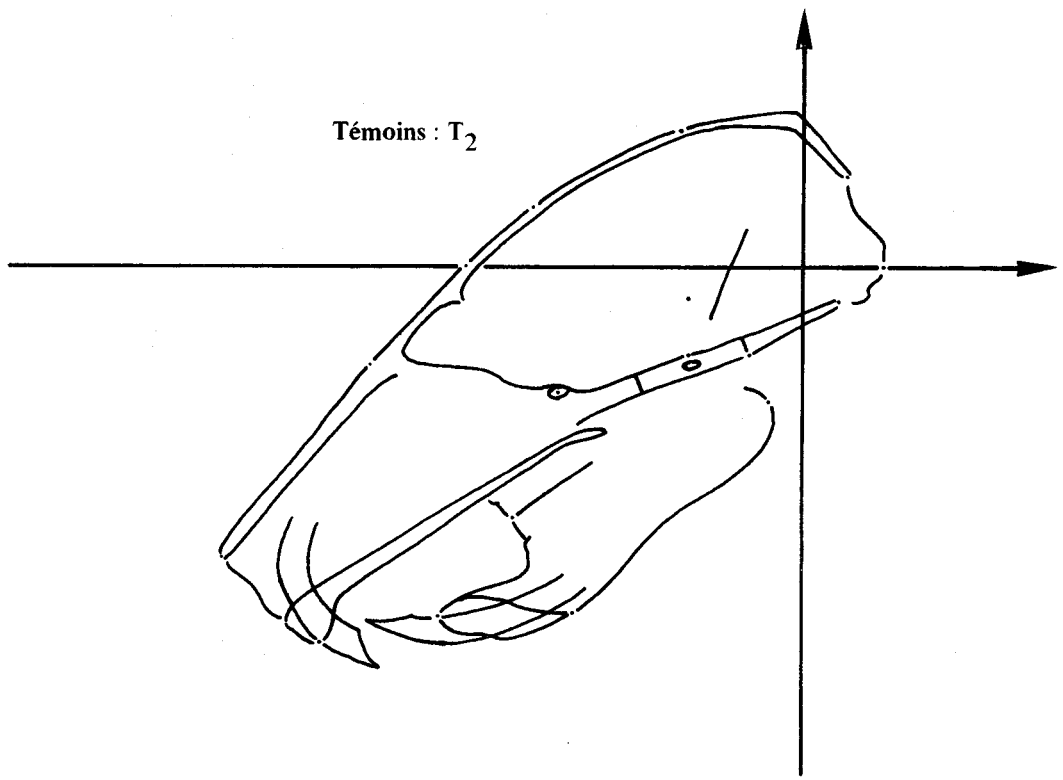

BUS LILLE

Figure C2

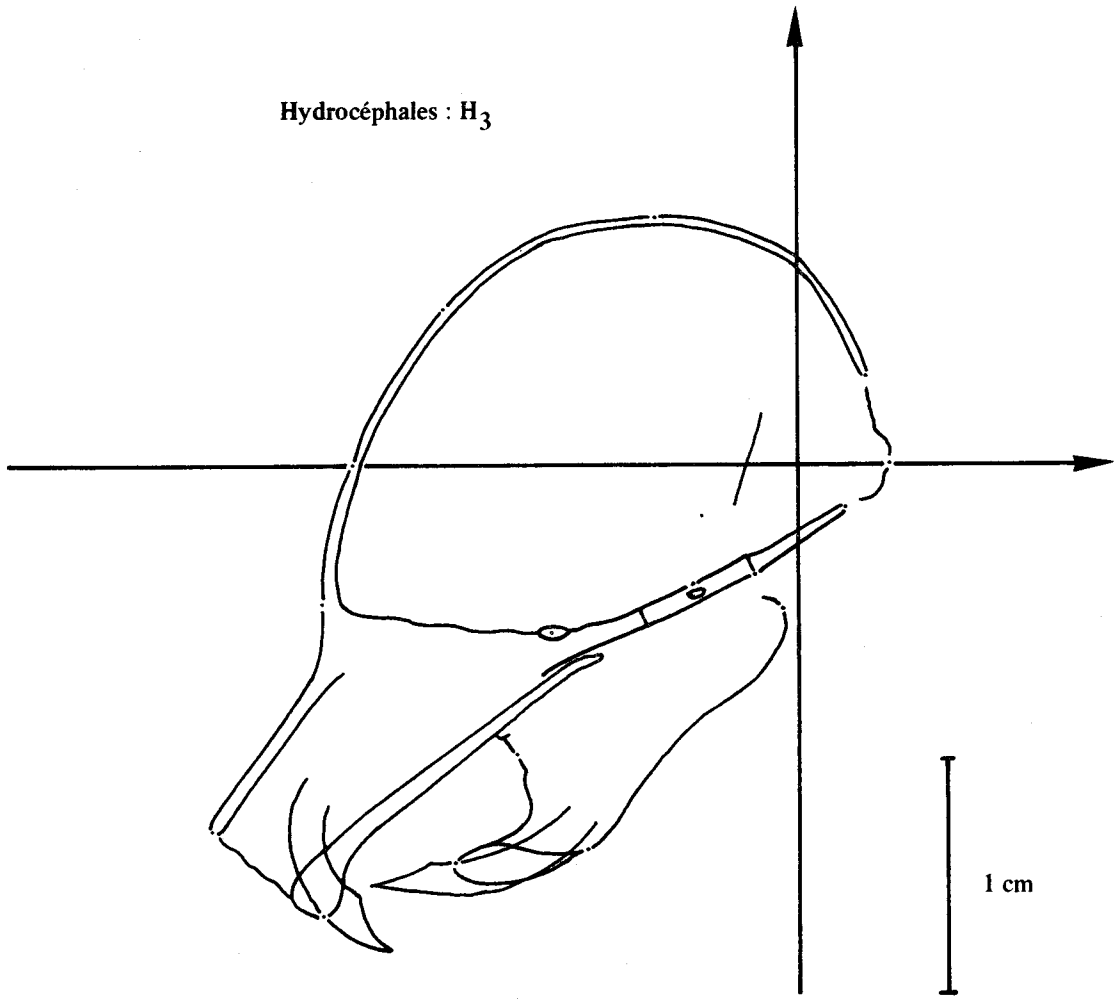

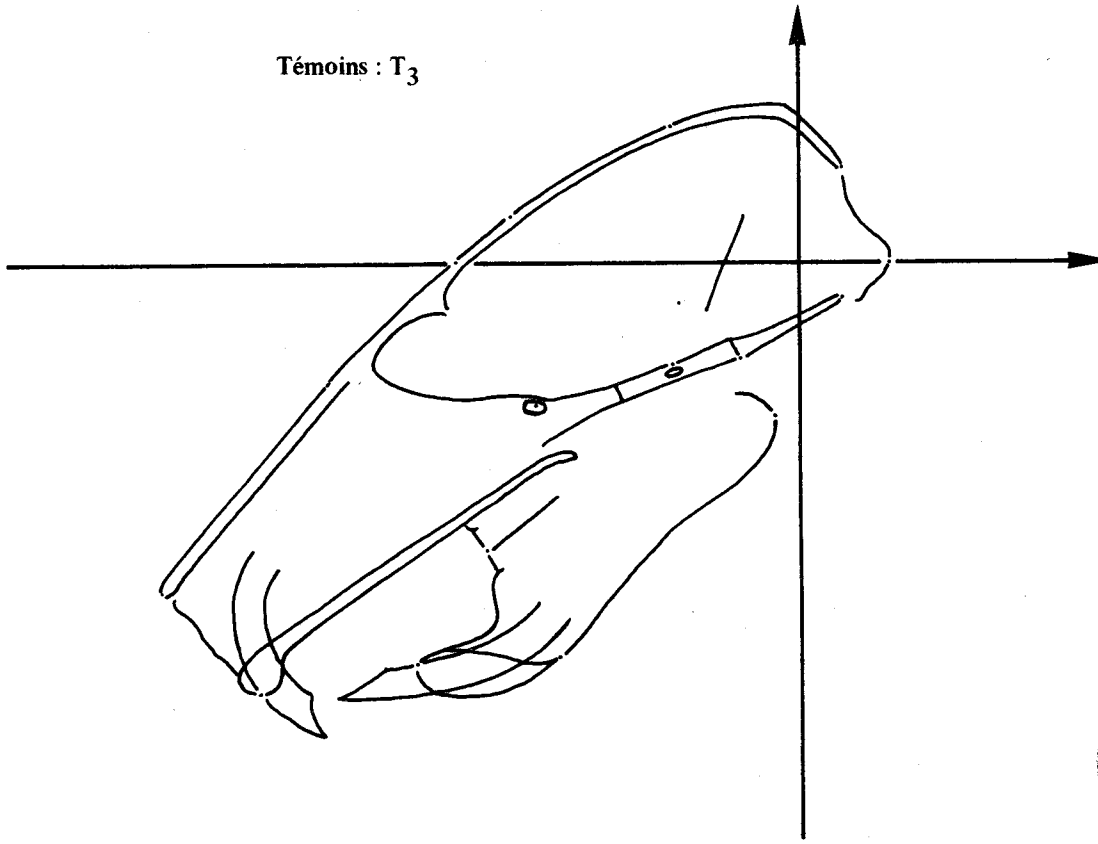

Figure C3

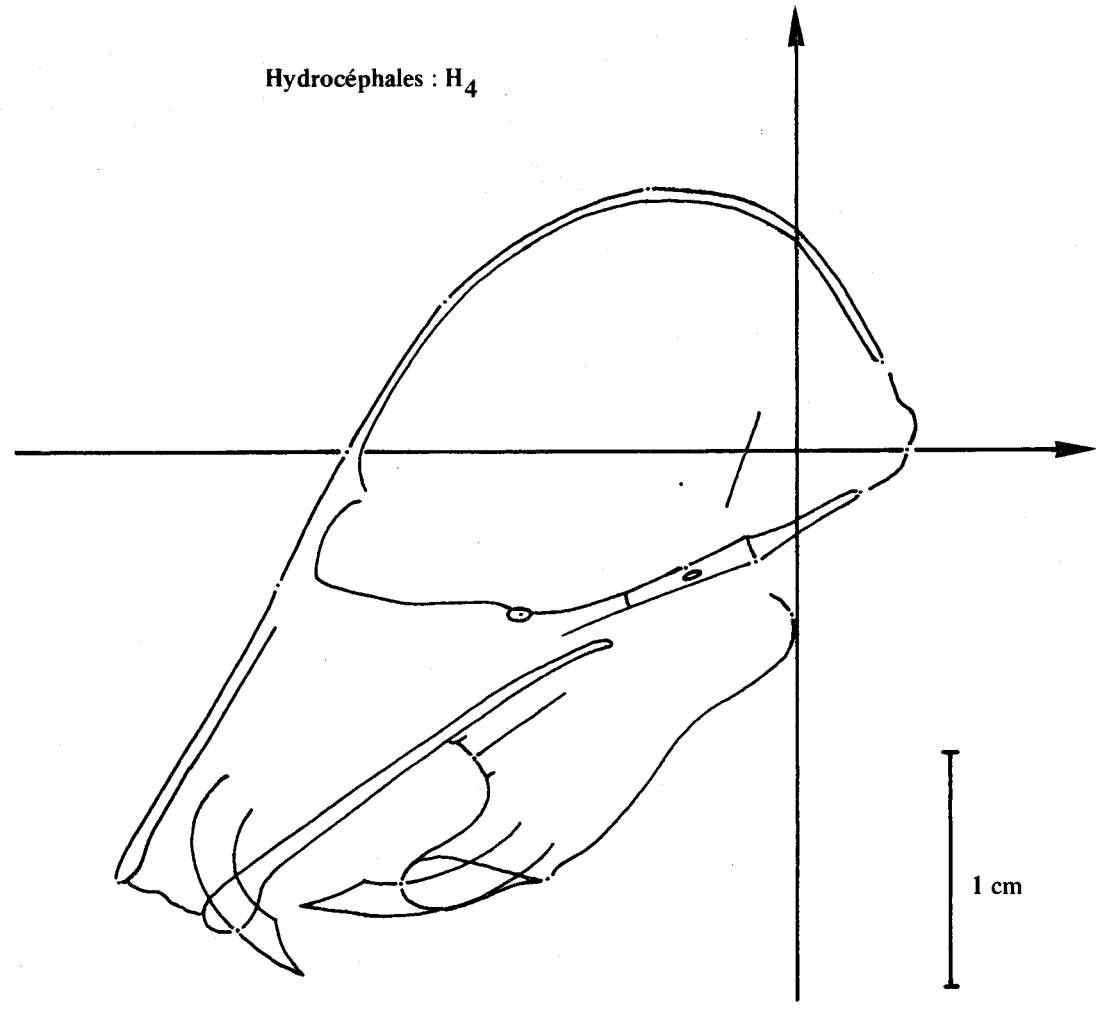

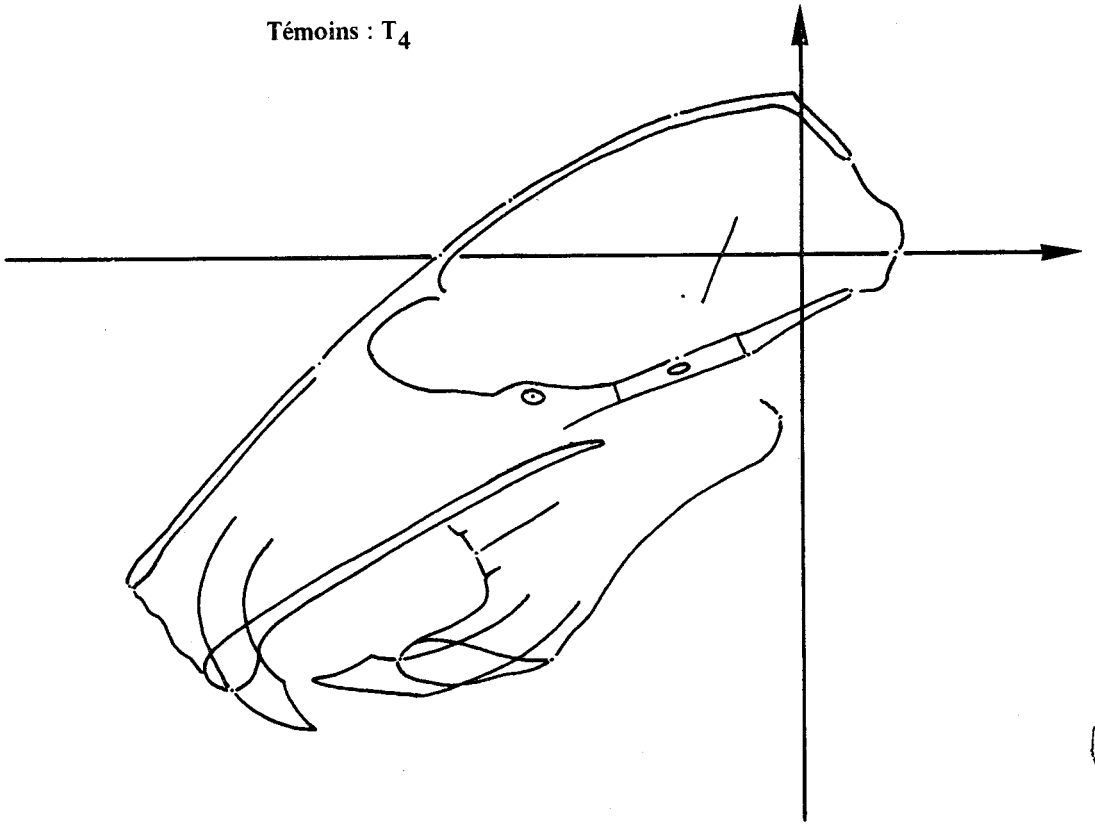

BUS LILLE

Figure C4

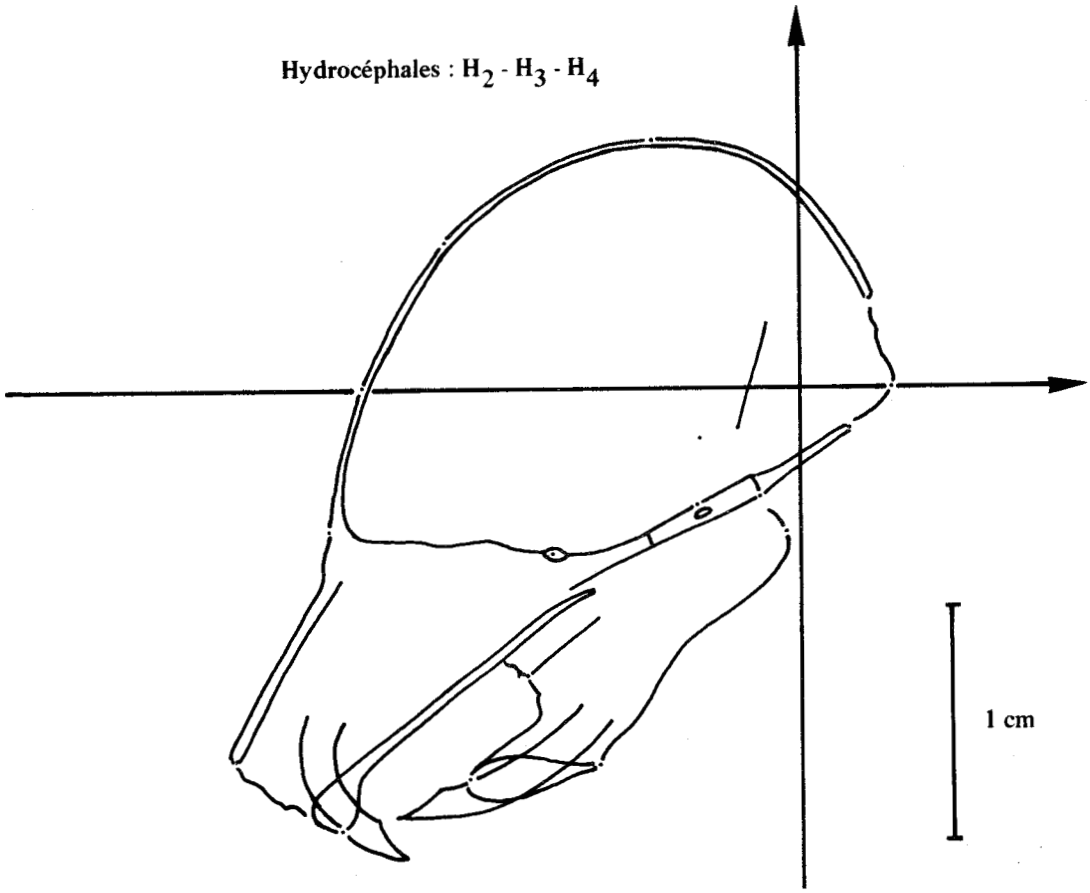

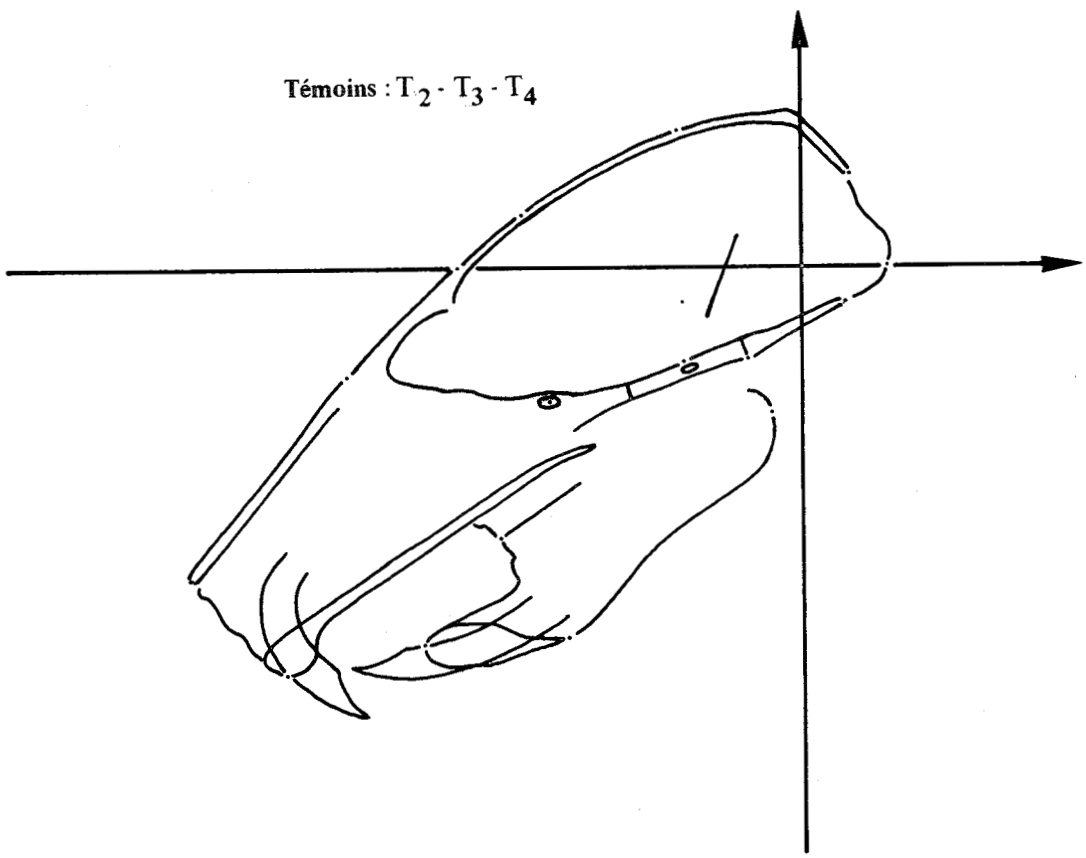

BUS LILLE

Figure C5

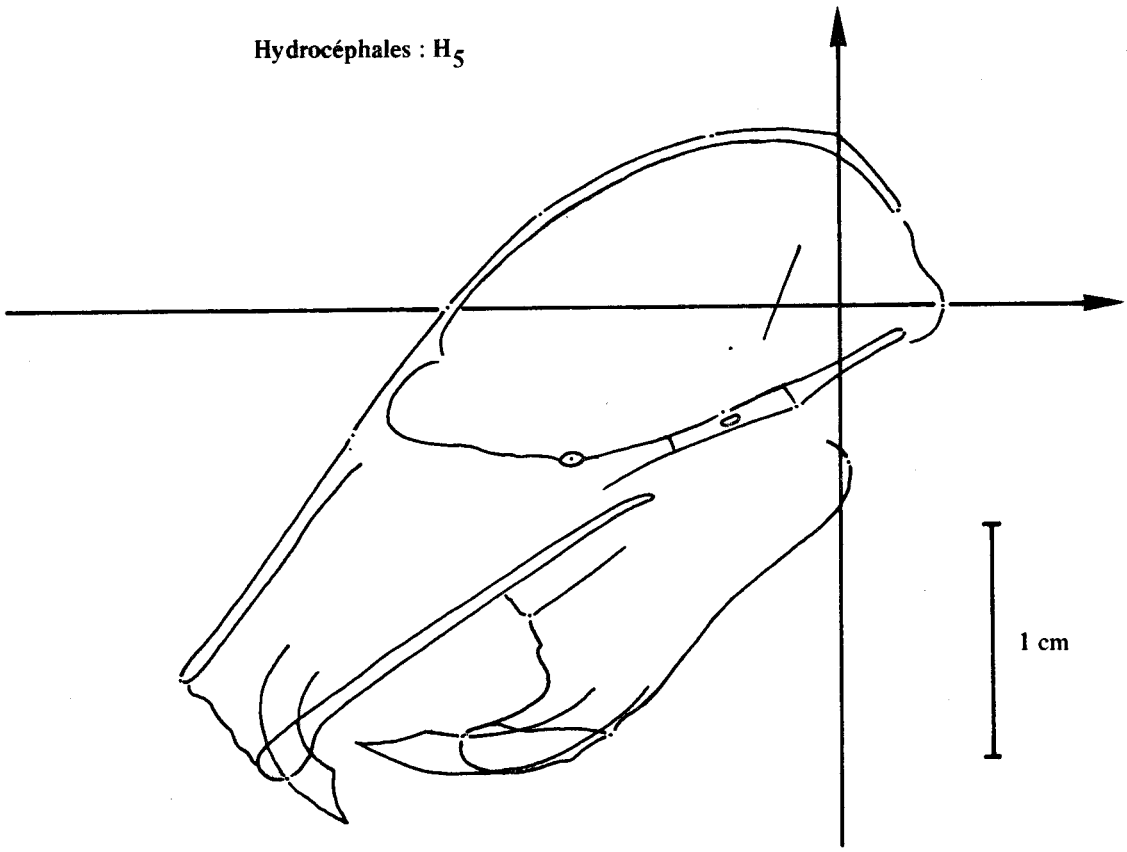

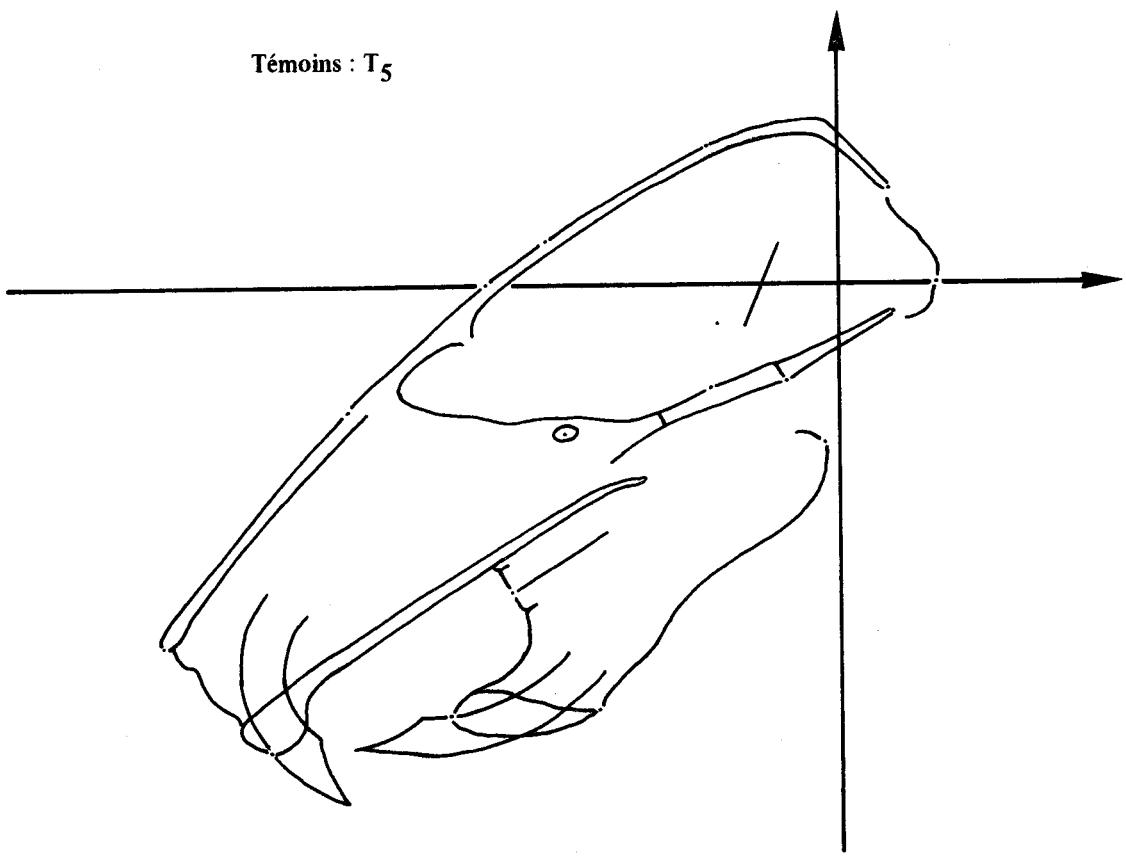

BES LILLE

Figure C6

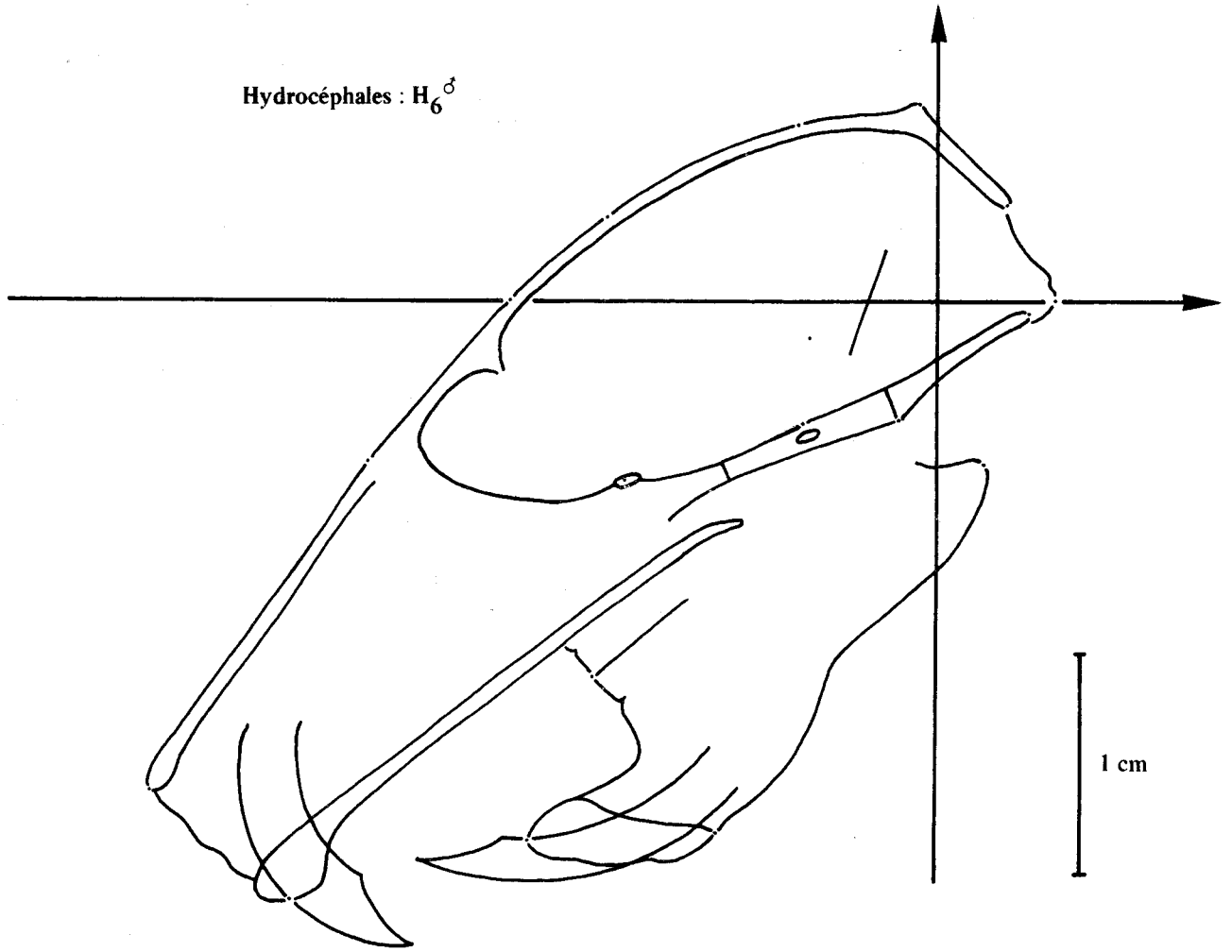

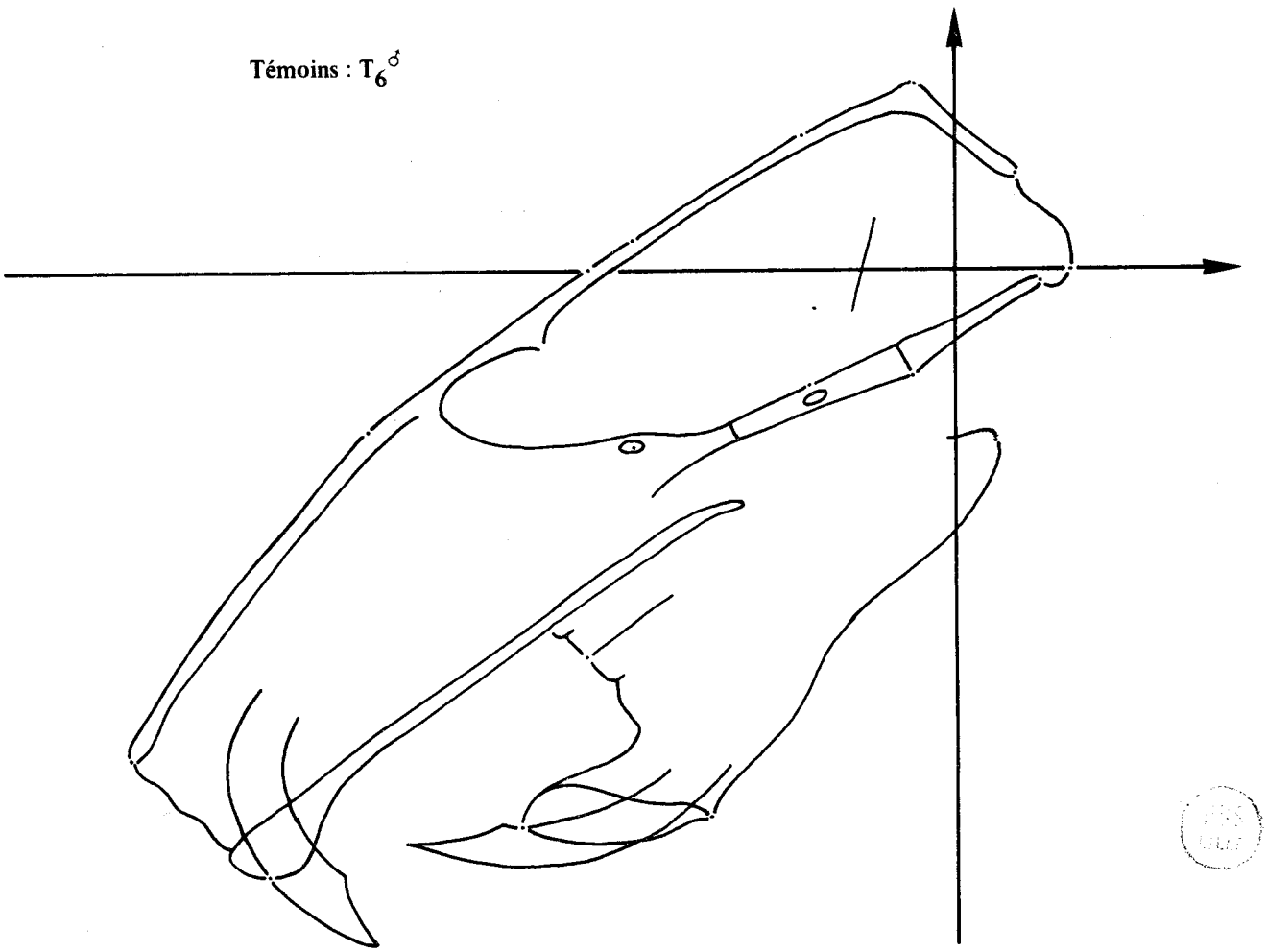

Figure C7

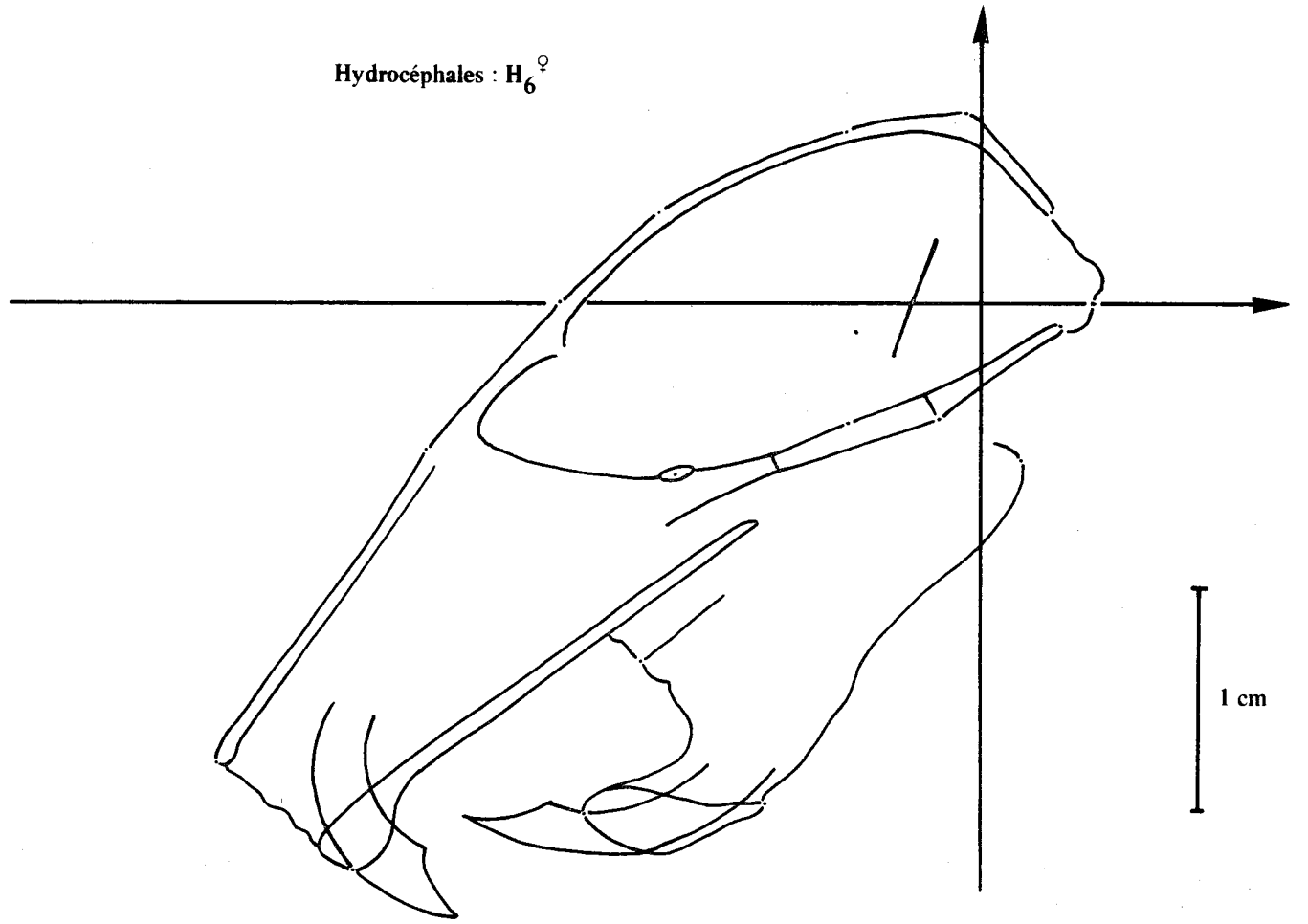

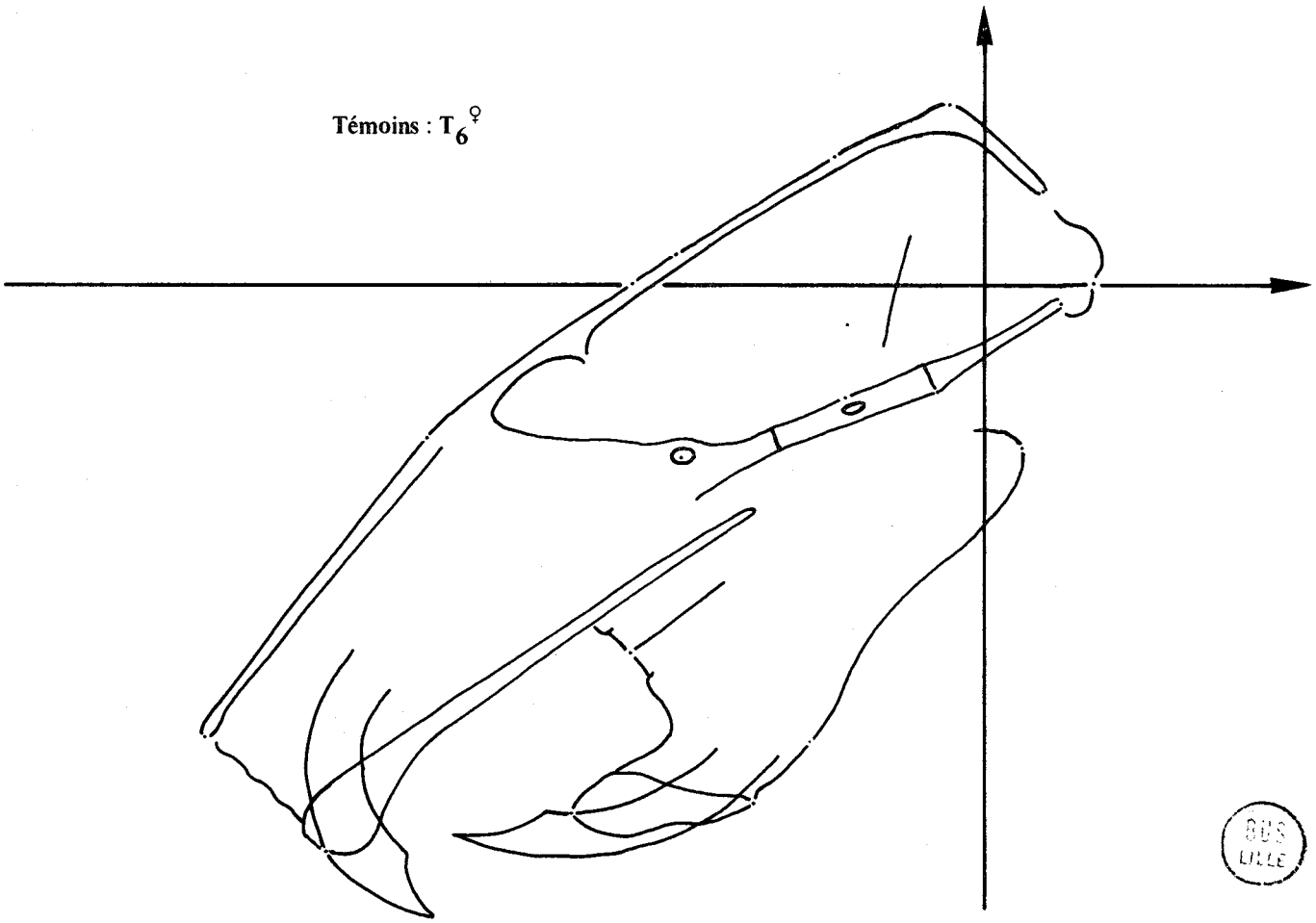

BUS LILLE

Figure C8

Figures D1 à D8

ELLIPSES EQUIPROBABLES

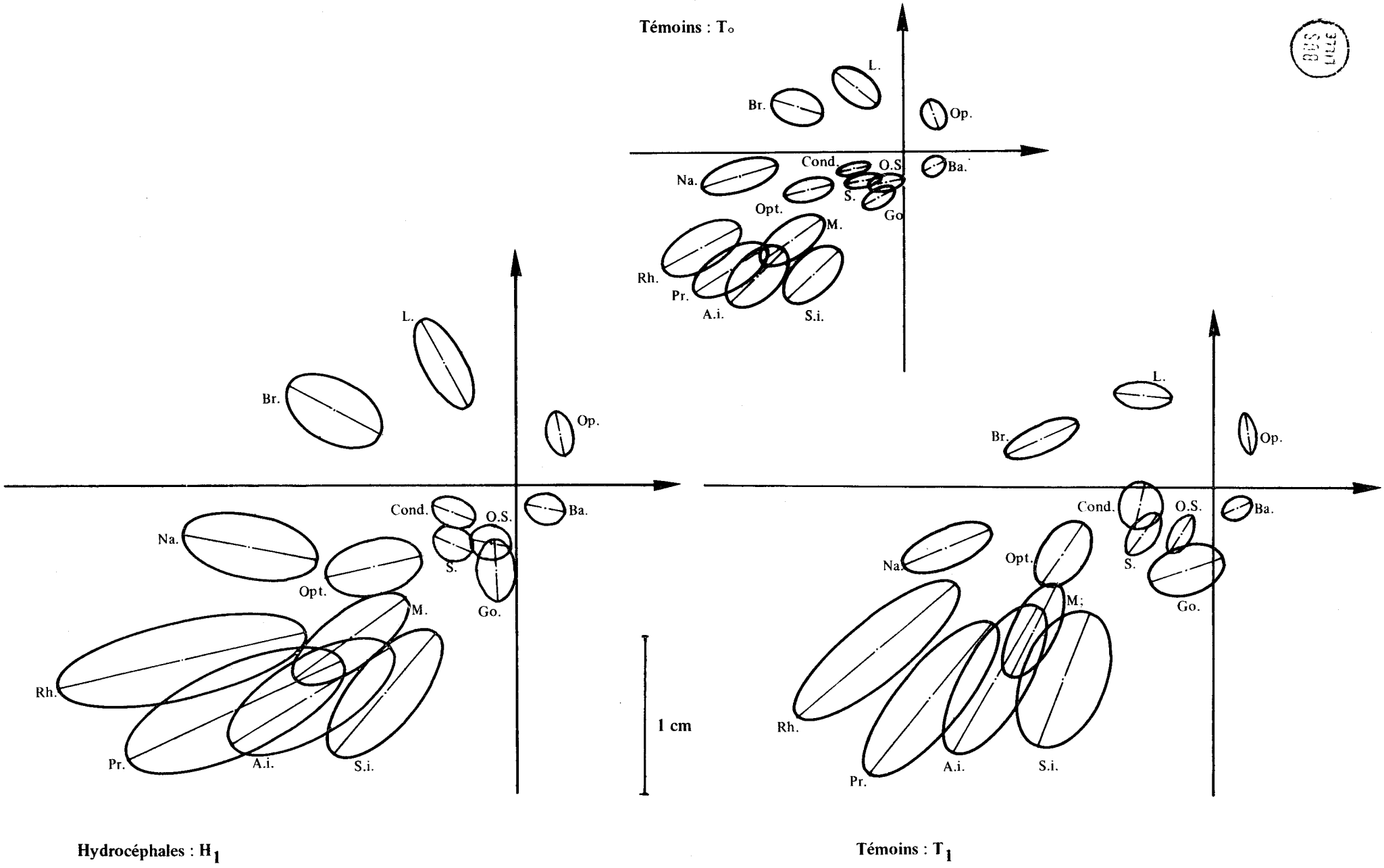
Témoins : T_o
L.
Br.
Op.
Cond.
O.S
Ba.
Na.
S.
Opt.
Go
M.
Rh.
Pr.
A.i.
S.i.
L.
Br.
Op.
Cond.
O.S.
Ba.
Na.
S.
Opt.
M.
Go.
Rh.
Pr.
A.i.
S.i.
1 cm
L.
Br.
Op.
Cond.
O.S.
Ba.
Na.
Opt.
S.
M.
Go.
Rh.
Pr.
A.i.
S.i.
Hydrocéphales : H_1
Témoins : T_1

Figure D1

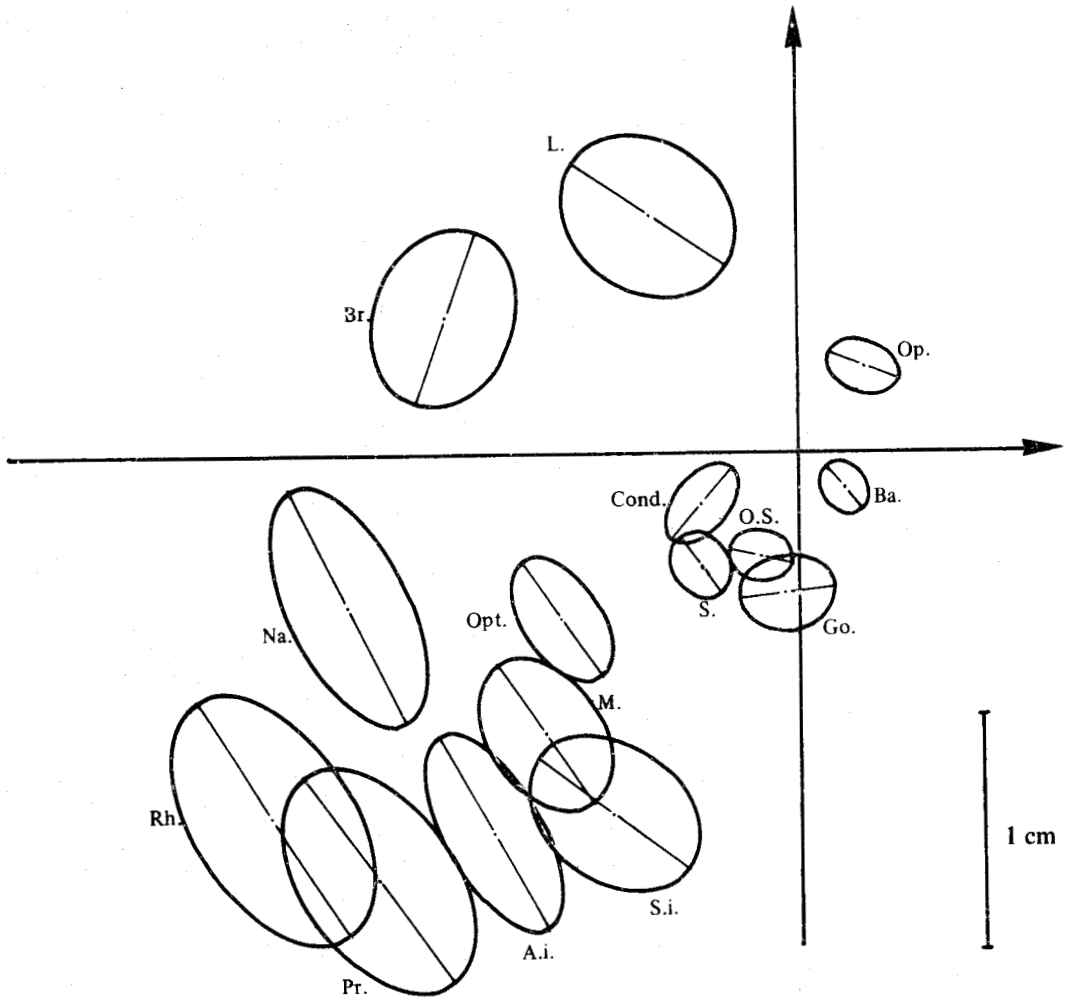

Hydrocéphales : H_2

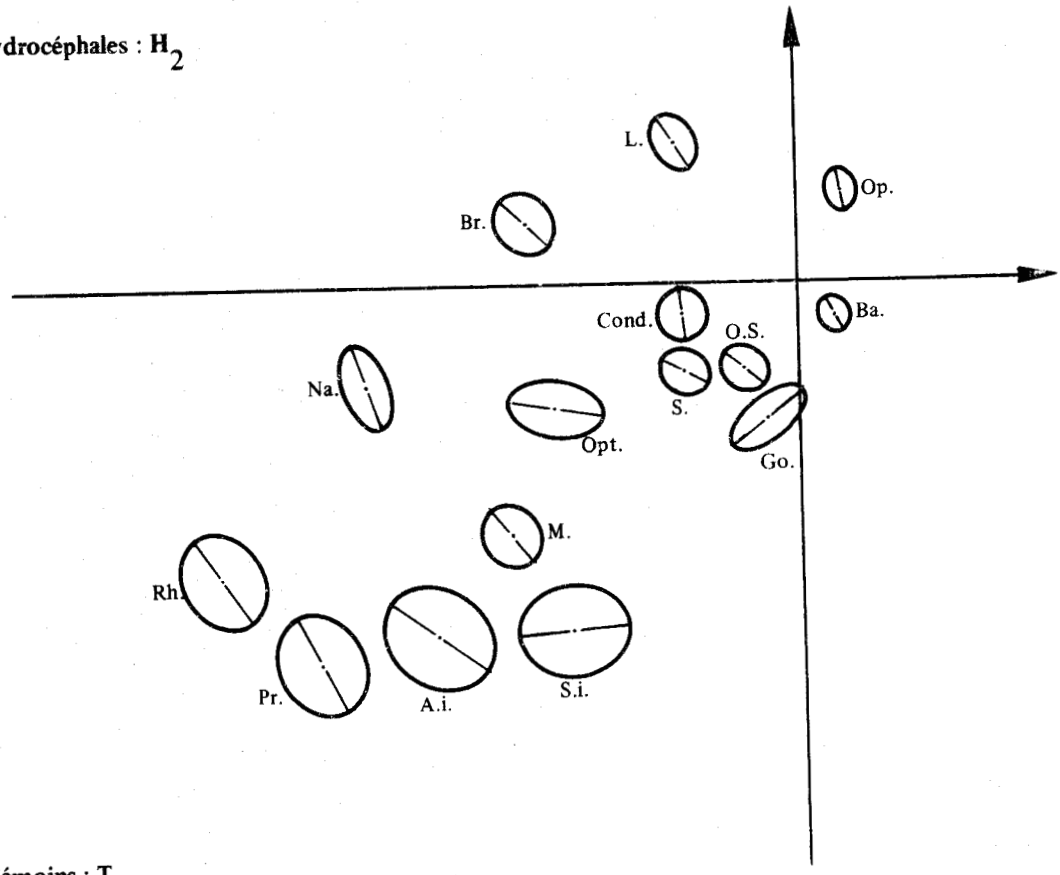

Témoins : T_2

BUS LILLE

Figure D2

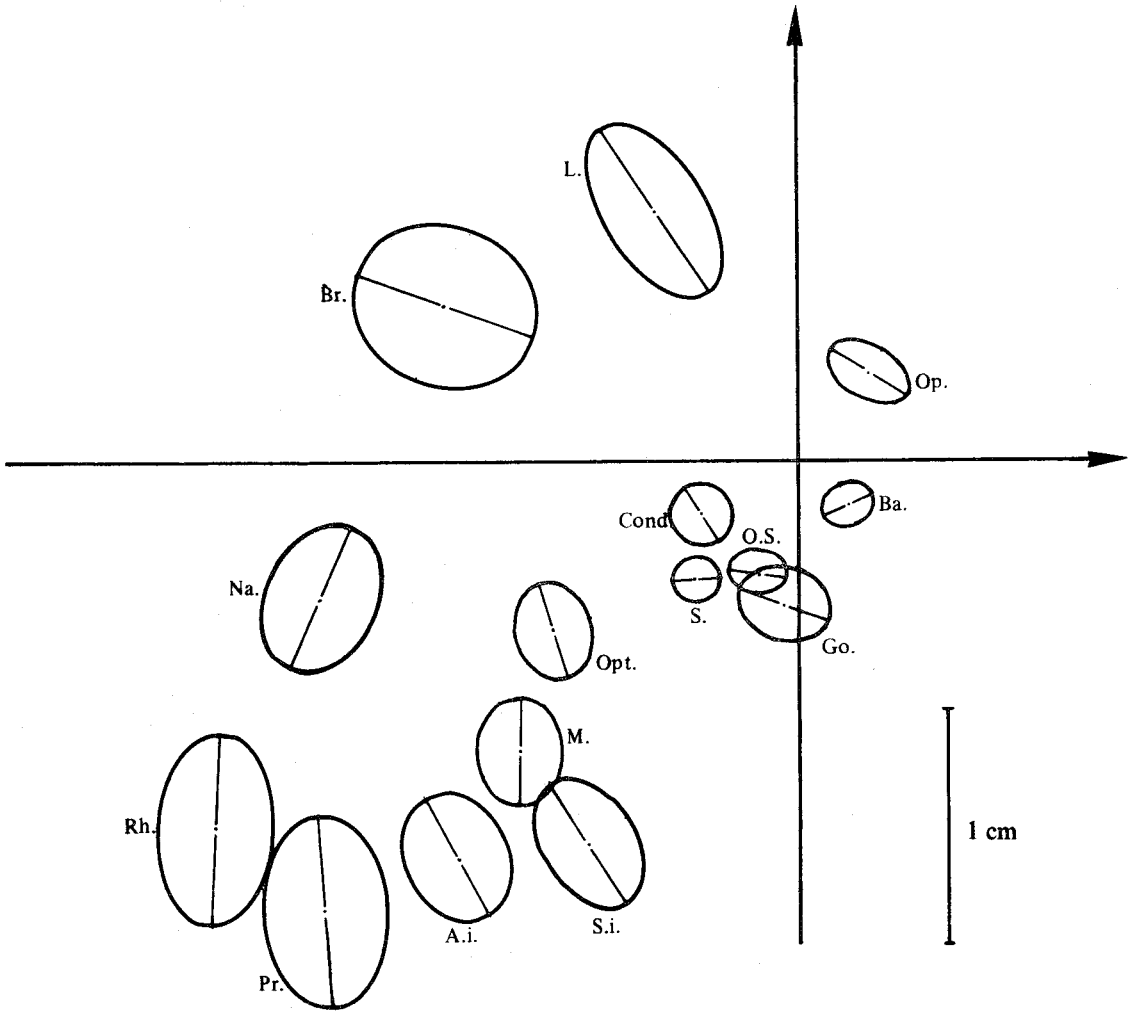

Hydrocéphales : H_3

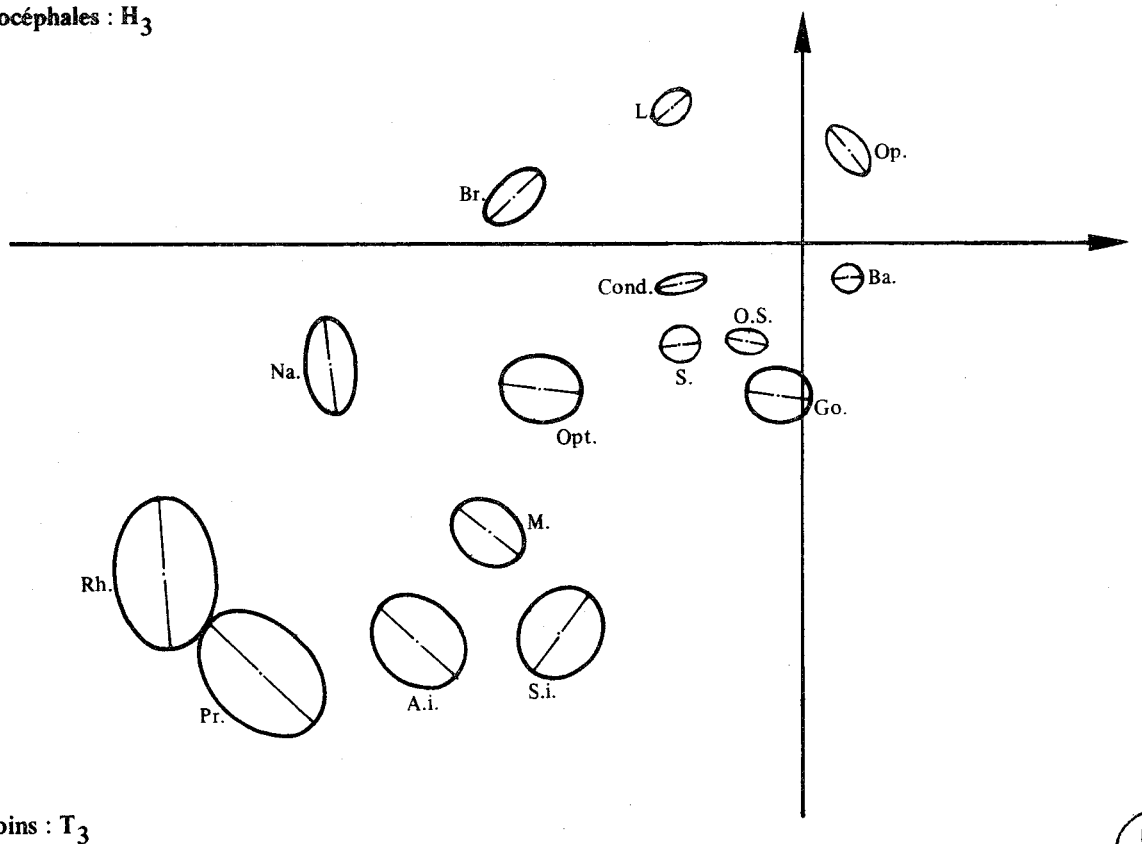

Témoins : T_3

BUS LILLE

Figure D3

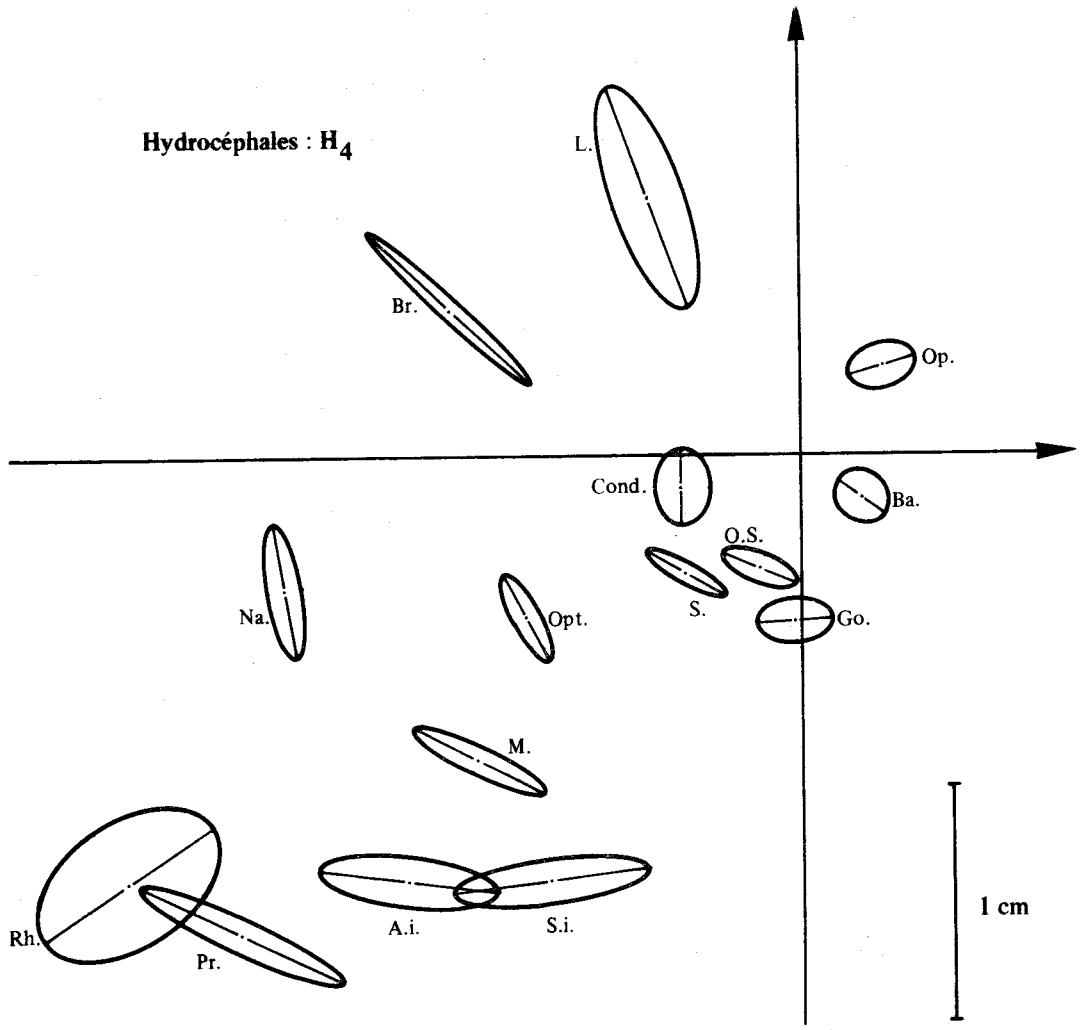

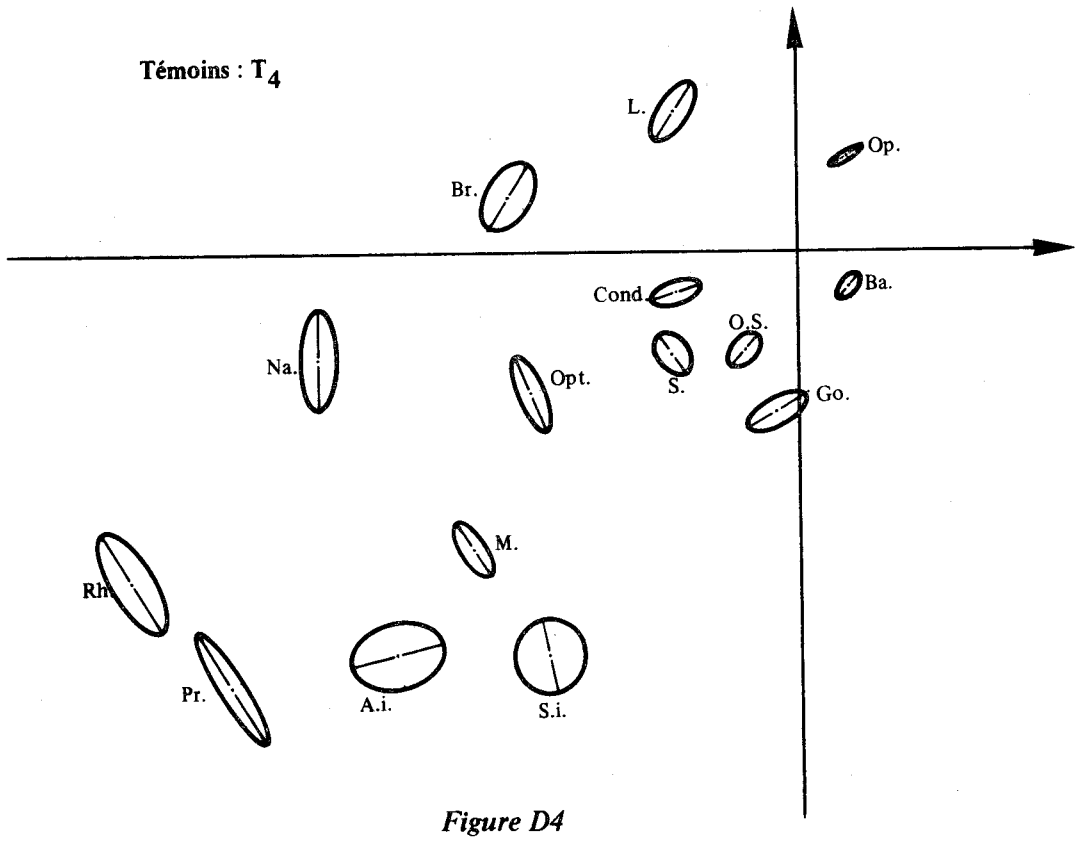

Figure D4

BUS LILLE

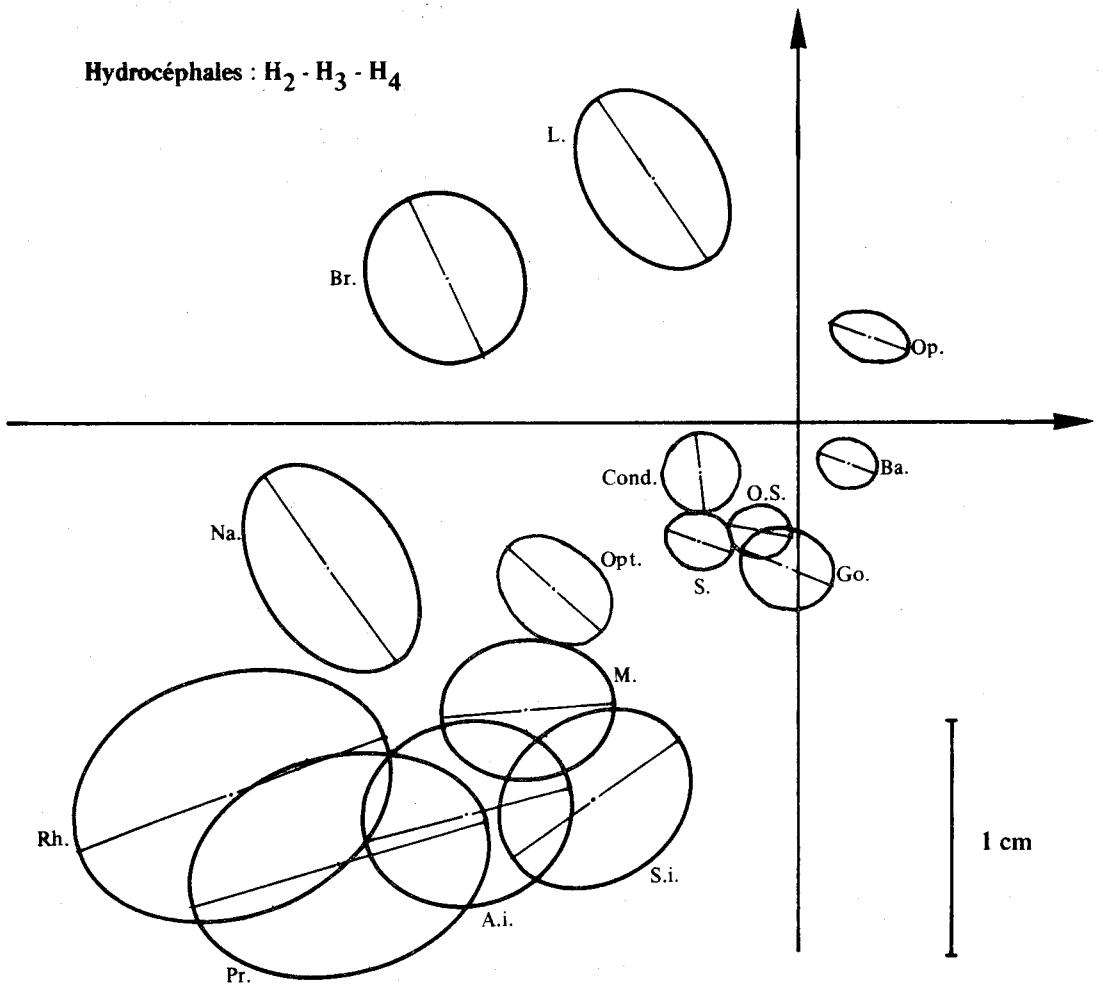

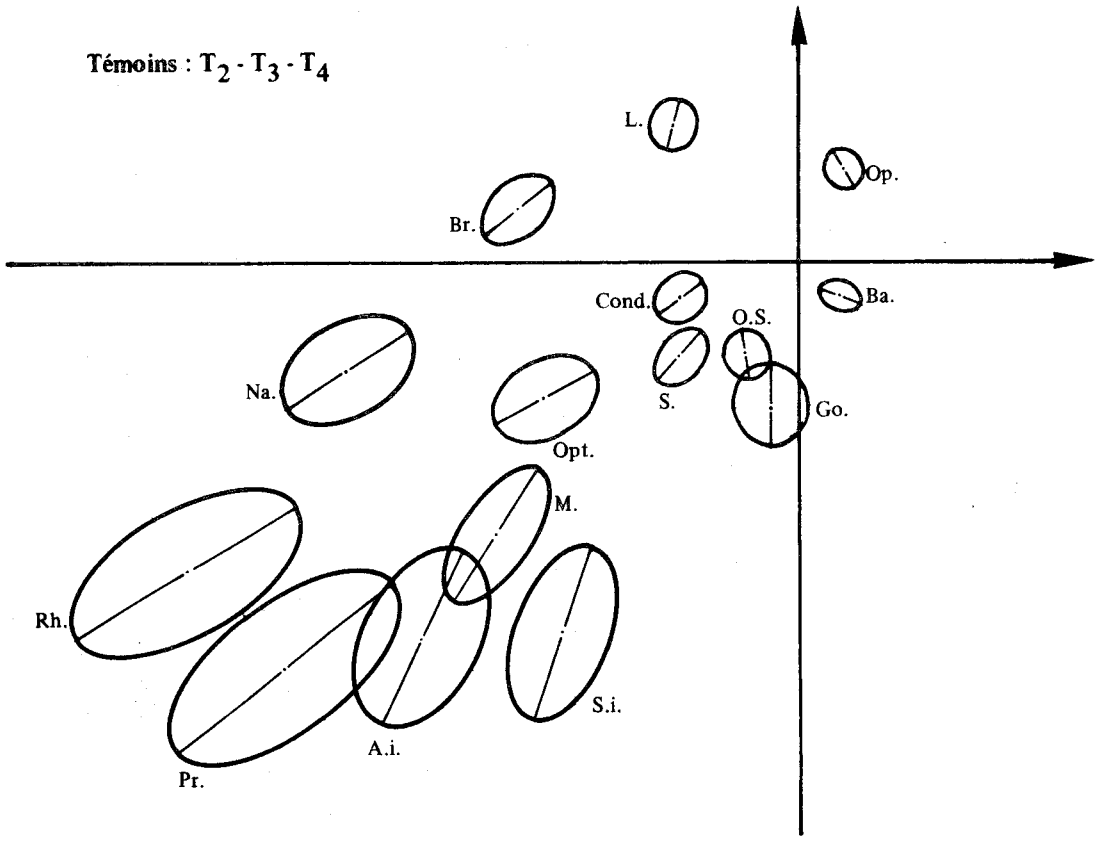

BUS LILLE

Figure D5

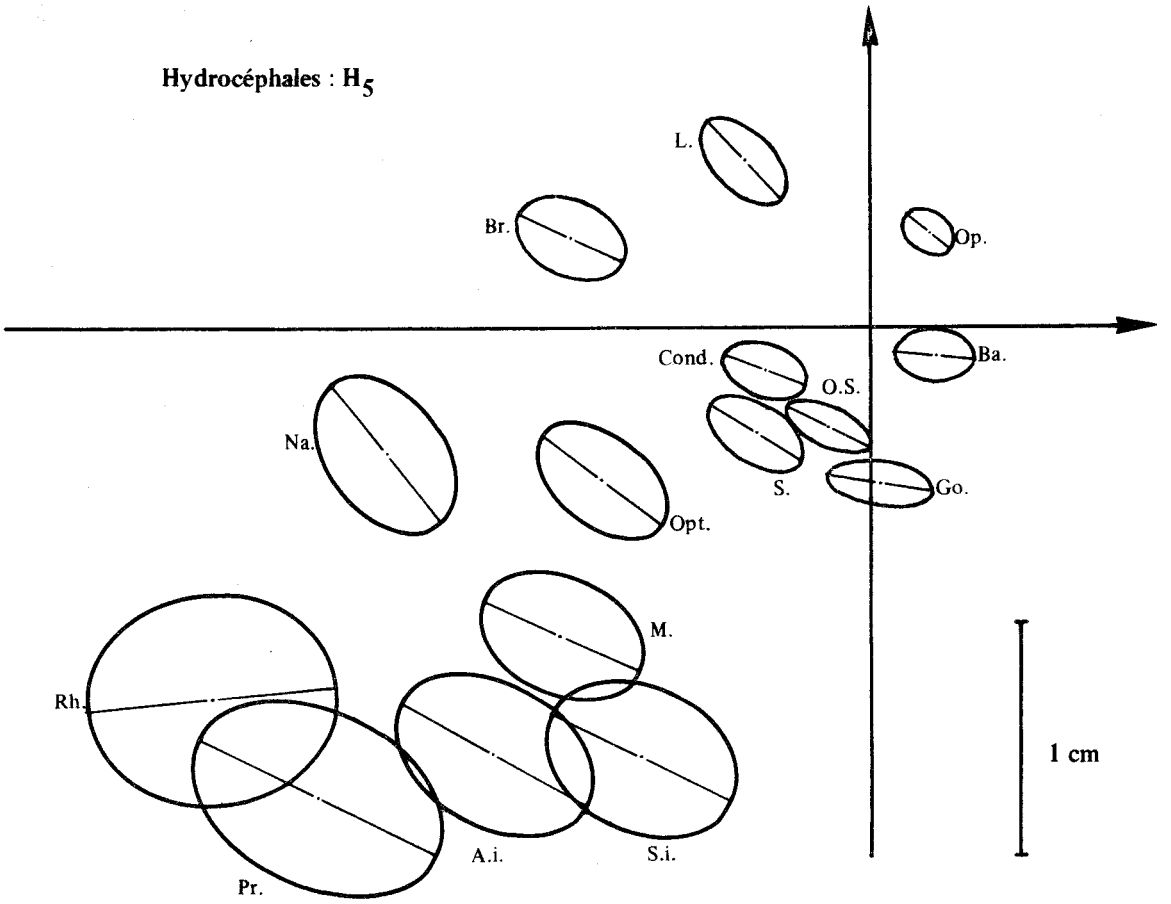

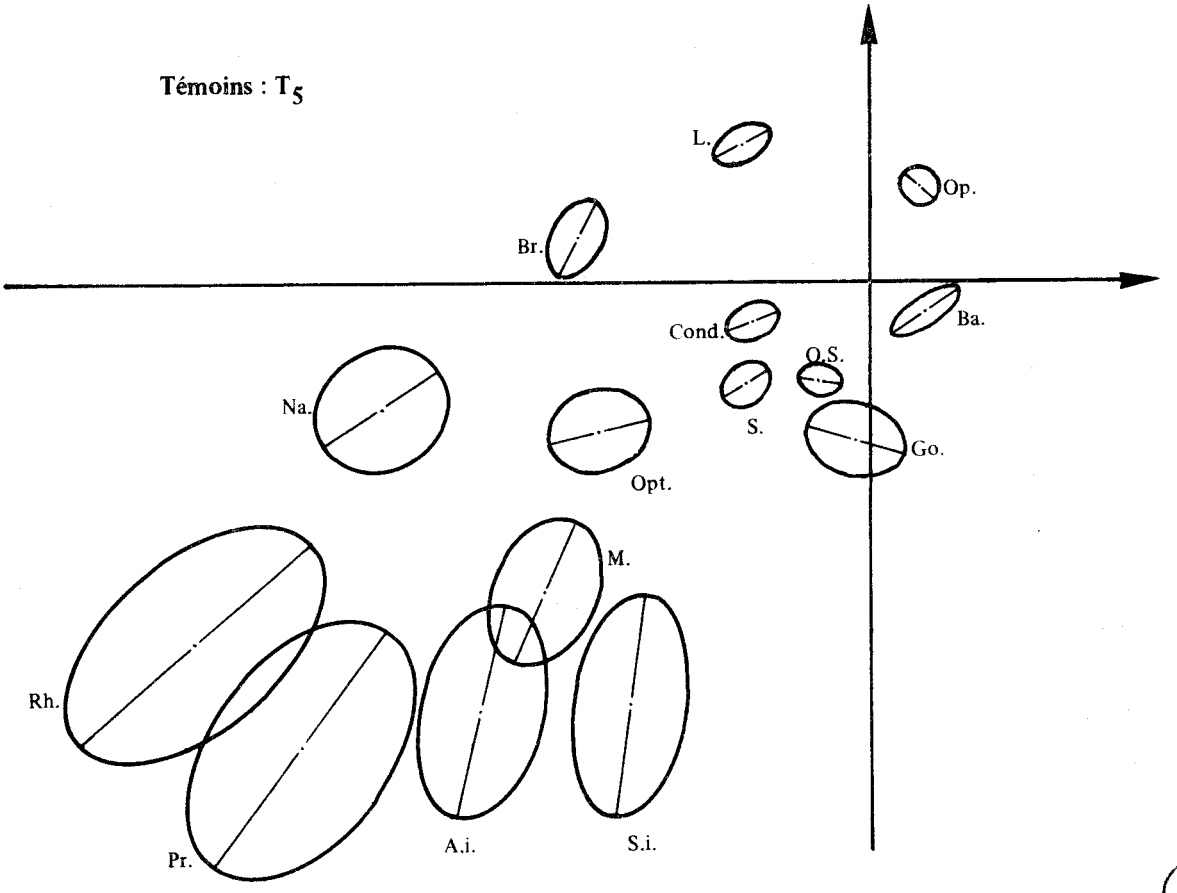

BUS LILLE

Figure D6

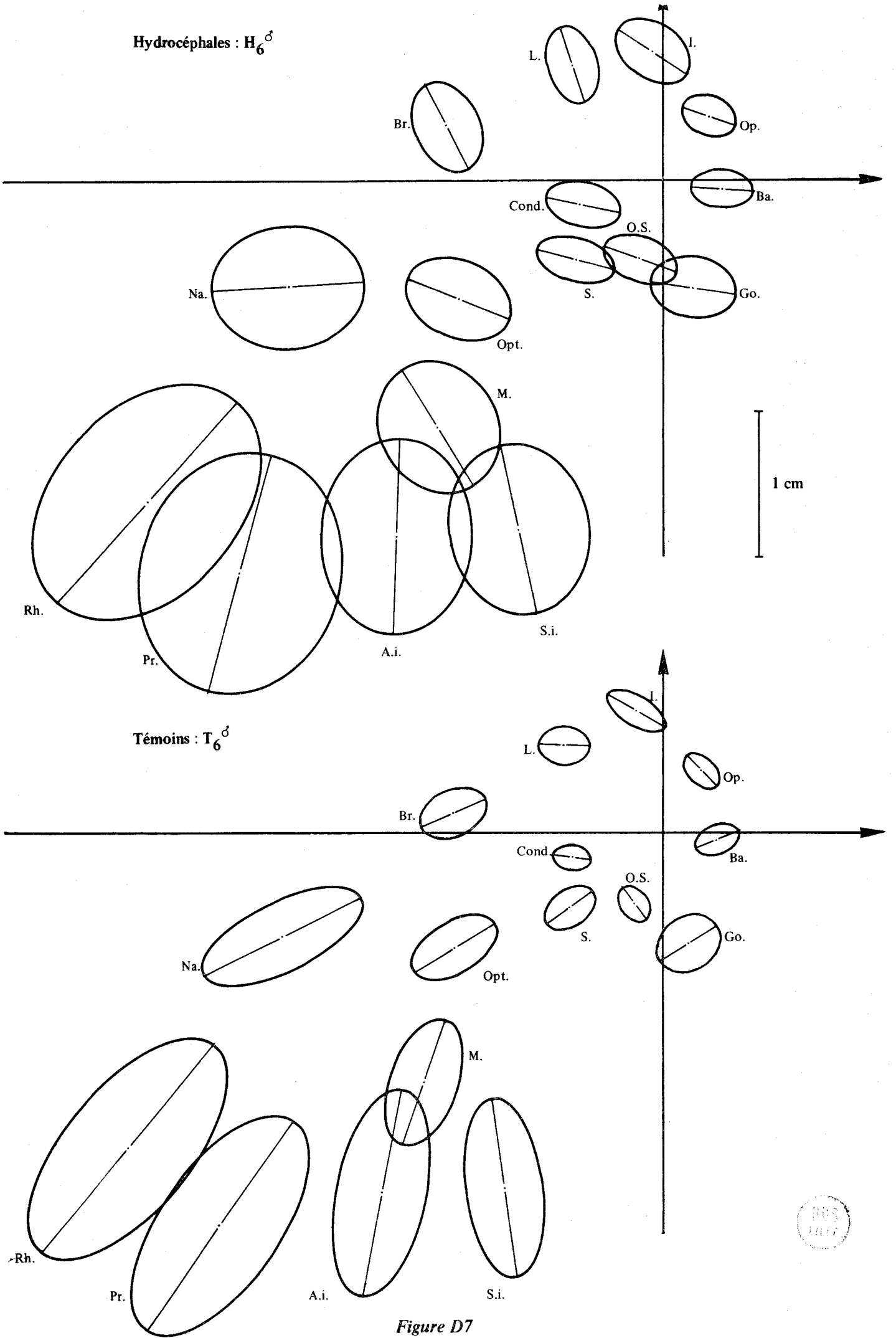
Hydrocéphales : $H_6^{♂}$
L.
I.
Br.
Op.
Ba.
Cond.
O.S.
Na.
S.
Go.
Opt.
M.
1 cm
Rh.
S.i.
Pr.
A.i.
Témoins : $T_6^{♂}$
I.
L.
Op.
Br.
Cond
Ba.
O.S.
S.
Go.
Na.
Opt.
M.
Rh.
Pr.
A.i.
S.i.

Figure D7

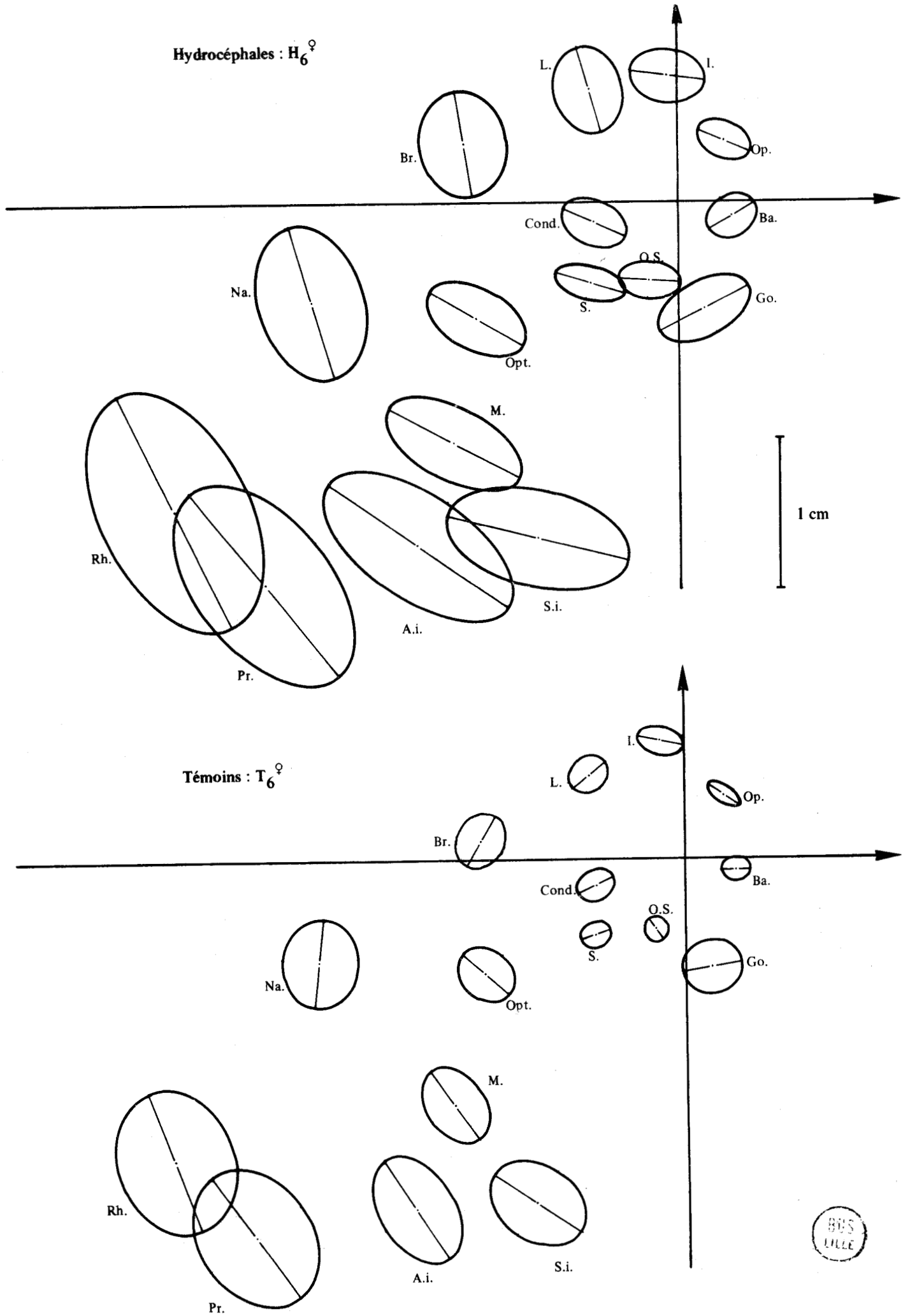
Hydrocéphales : H_6♀
L.
I.
Br.
Op.
Cond.
Ba.
O.S.
Na.
S.
Go.
Opt.
M.
1 cm
Rh.
S.i.
A.i.
Pr.
Témoins : T_6♀
I.
L.
Op.
Br.
Ba.
Cond.
O.S.
S.
Go.
Na.
Opt.
M.
Rh.
A.i.
S.i.
Pr.

Figure D8

Figures E1 à E3

INTERVALLES DE CONFIANCE DES MOYENNES

POUR LES POINTS CRANIOMETRIQUES

Témoins

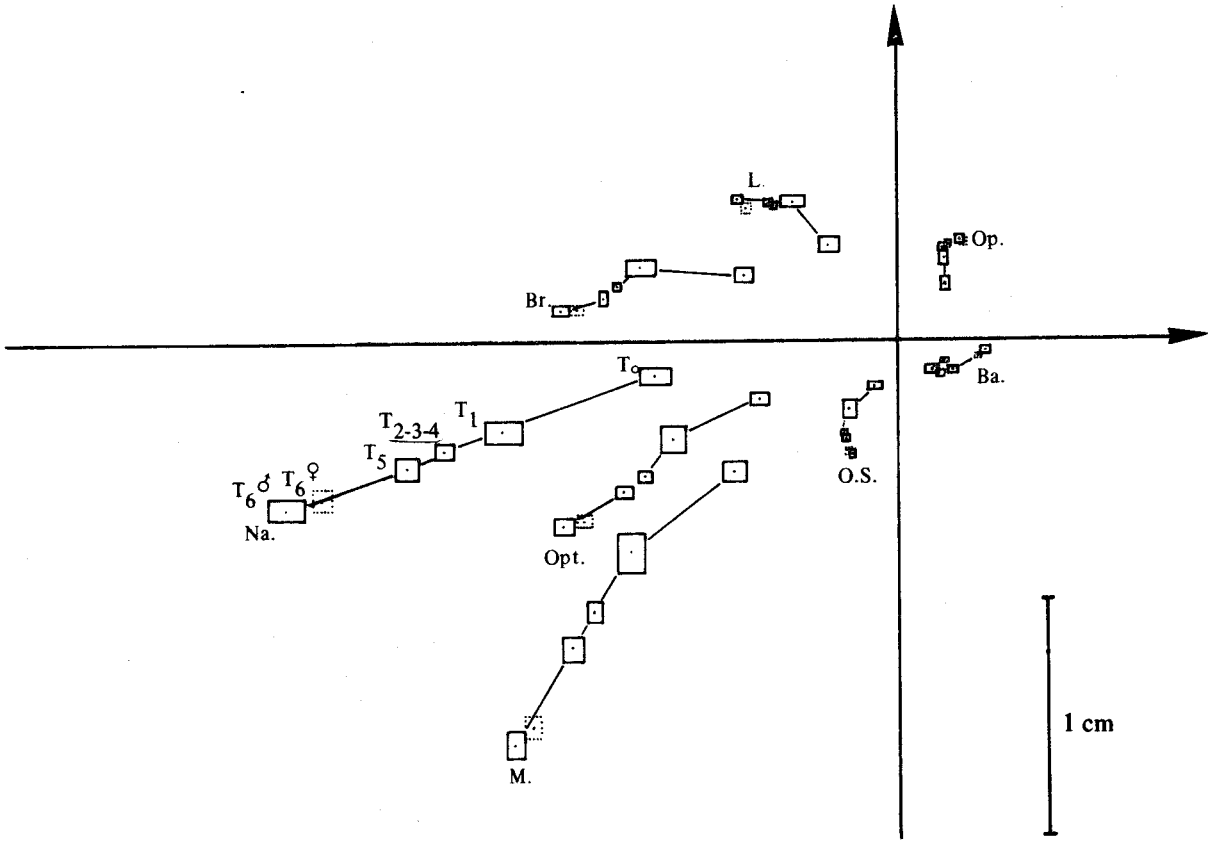

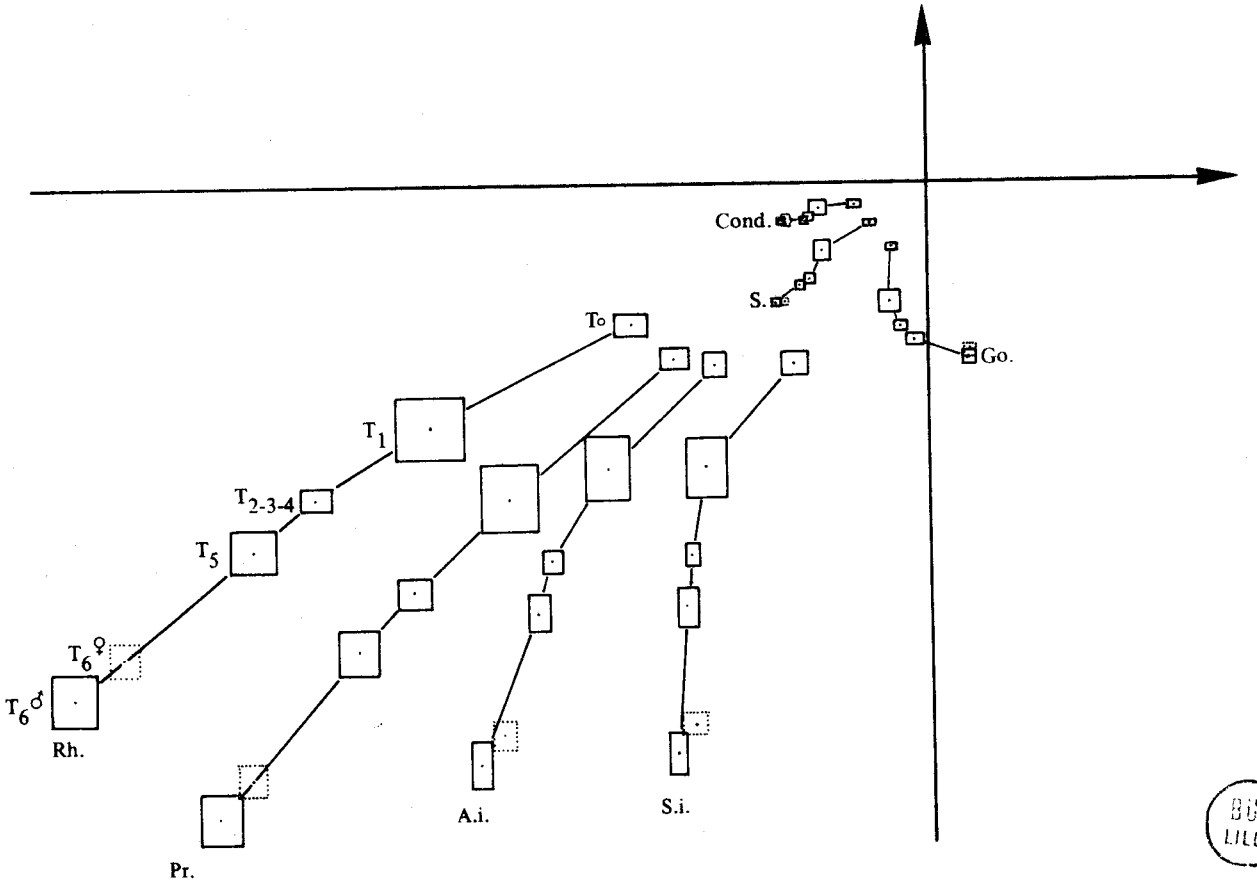

BUS LILLE

Figure E1

Hydrocéphales de type "Rapide"

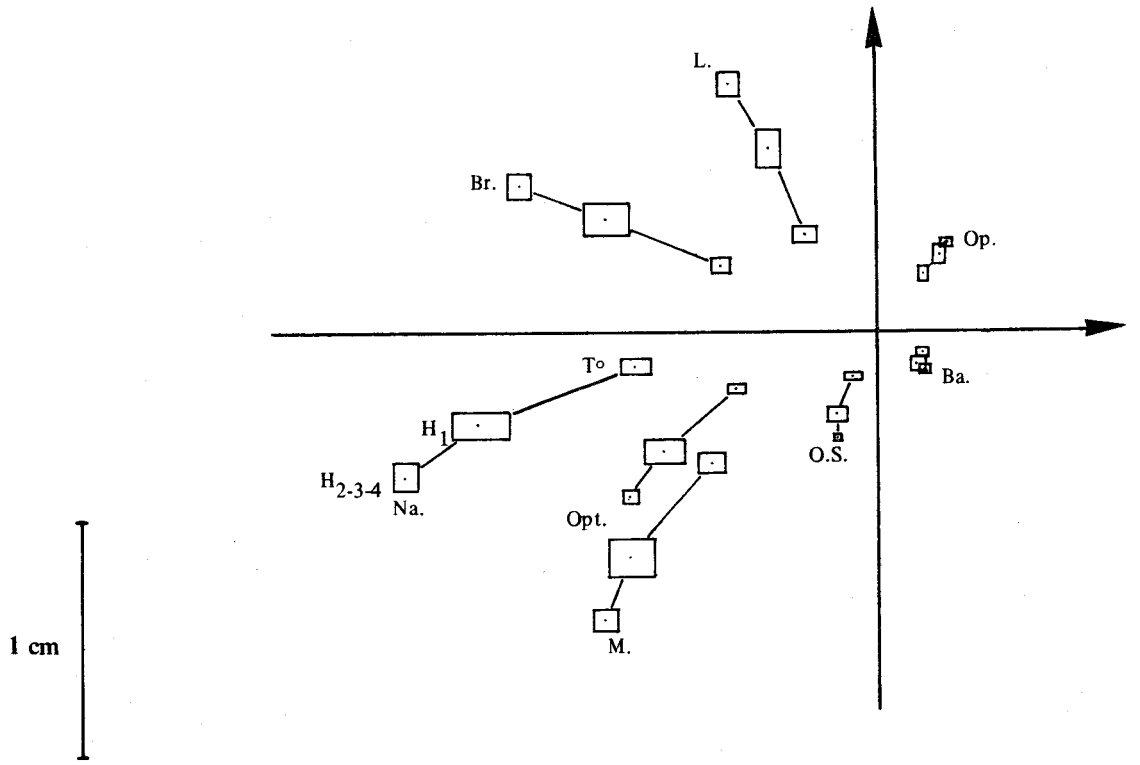

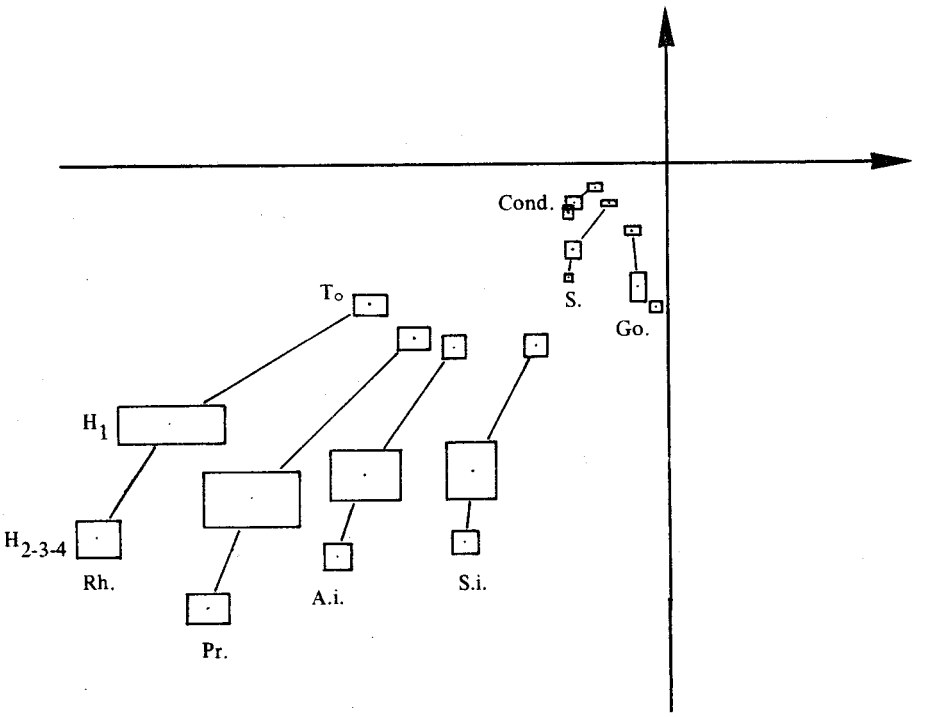

Figure E2

Hydrocéphales de type "Lent"

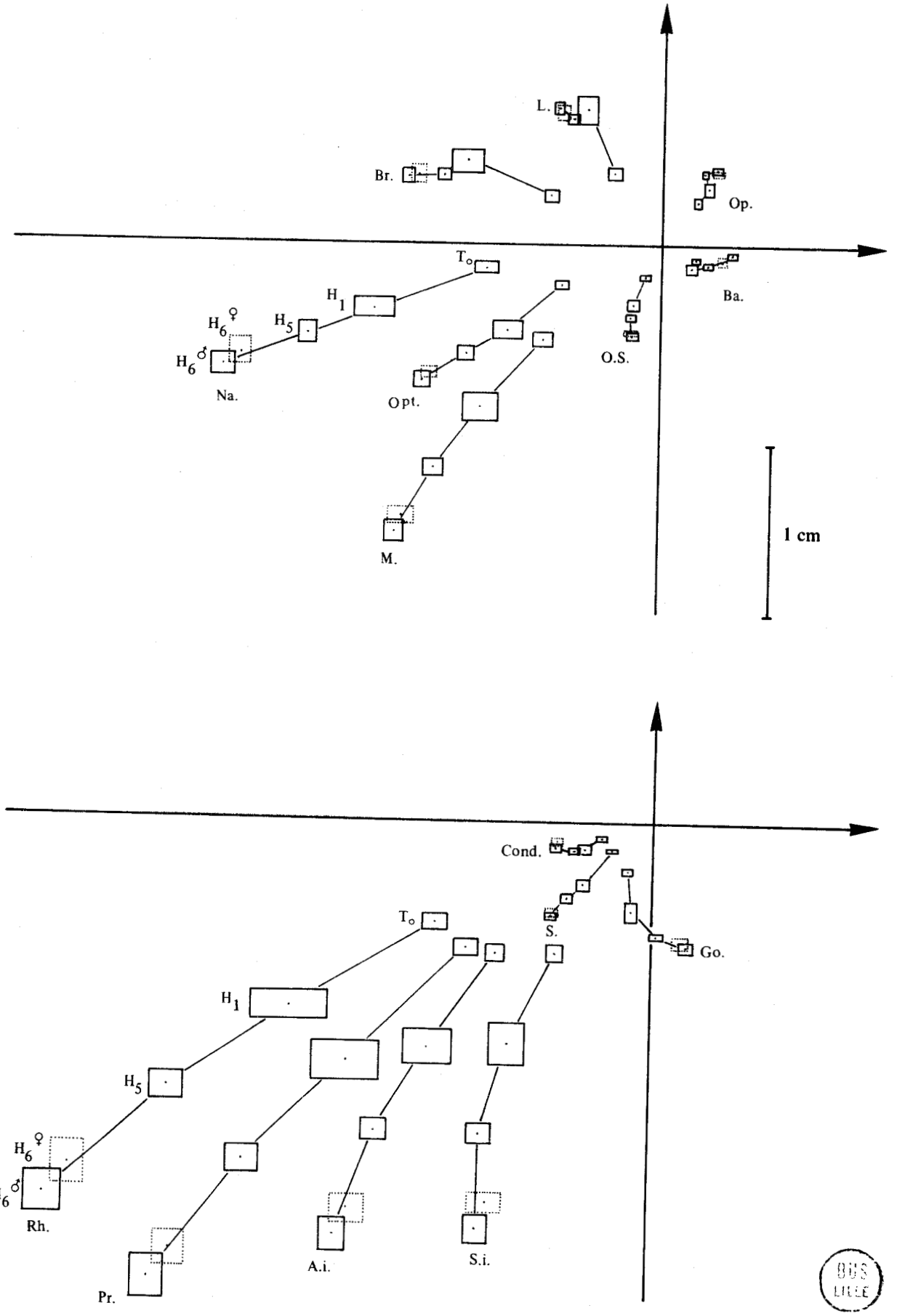

Figure E3

BDS LILLE

Figures F1 à F21

HISTOGRAMMES DES

LONGUEURS, INDICES, ANGLES ET CAPACITES

Figure F1

T_o

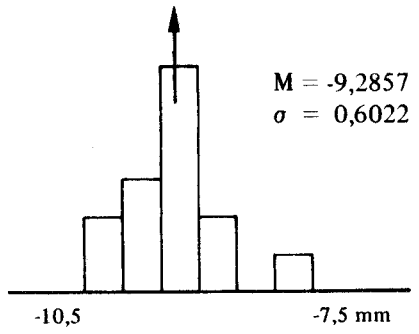

Longueur : p.v.

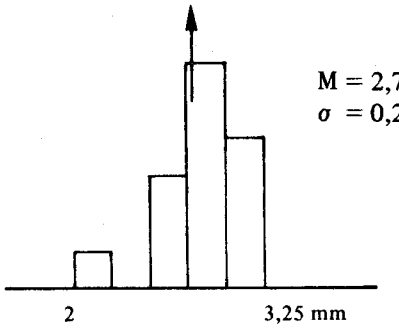

Longueur : r.v.

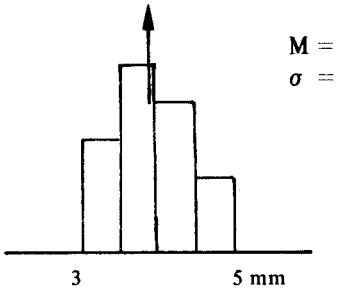

Hauteur h.s.v.

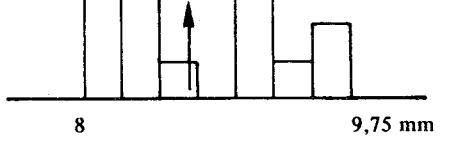

Largeur : l.

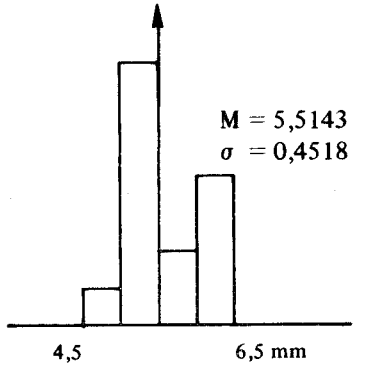

Hauteur : h.

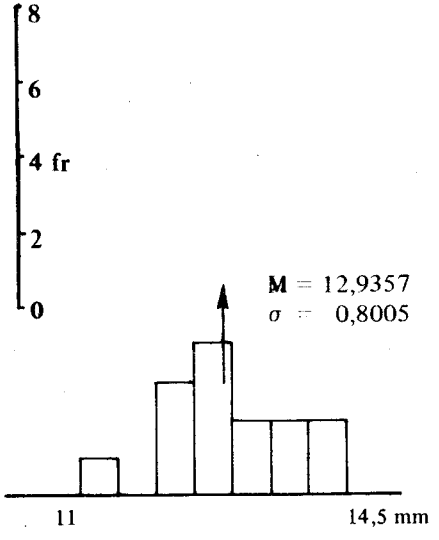

Longueur : Na-Op

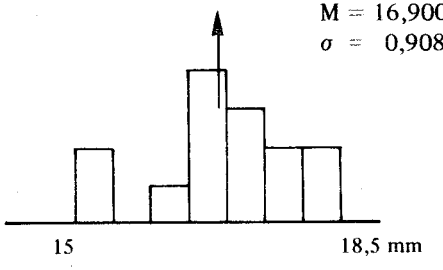

Longueur Rh-Op

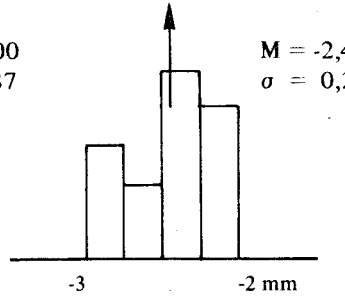

Hauteur h.h.v.

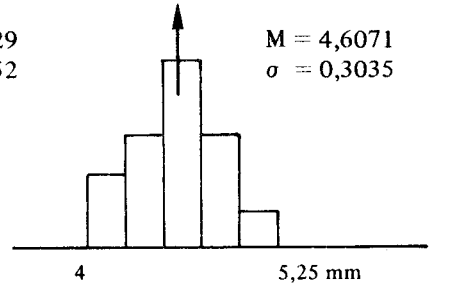

Flèche de courbure : f.

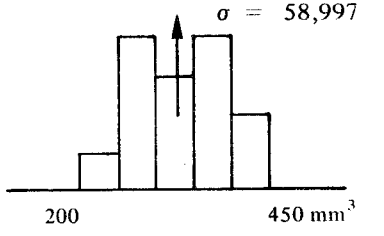

Capacités

Figure F2

T_o

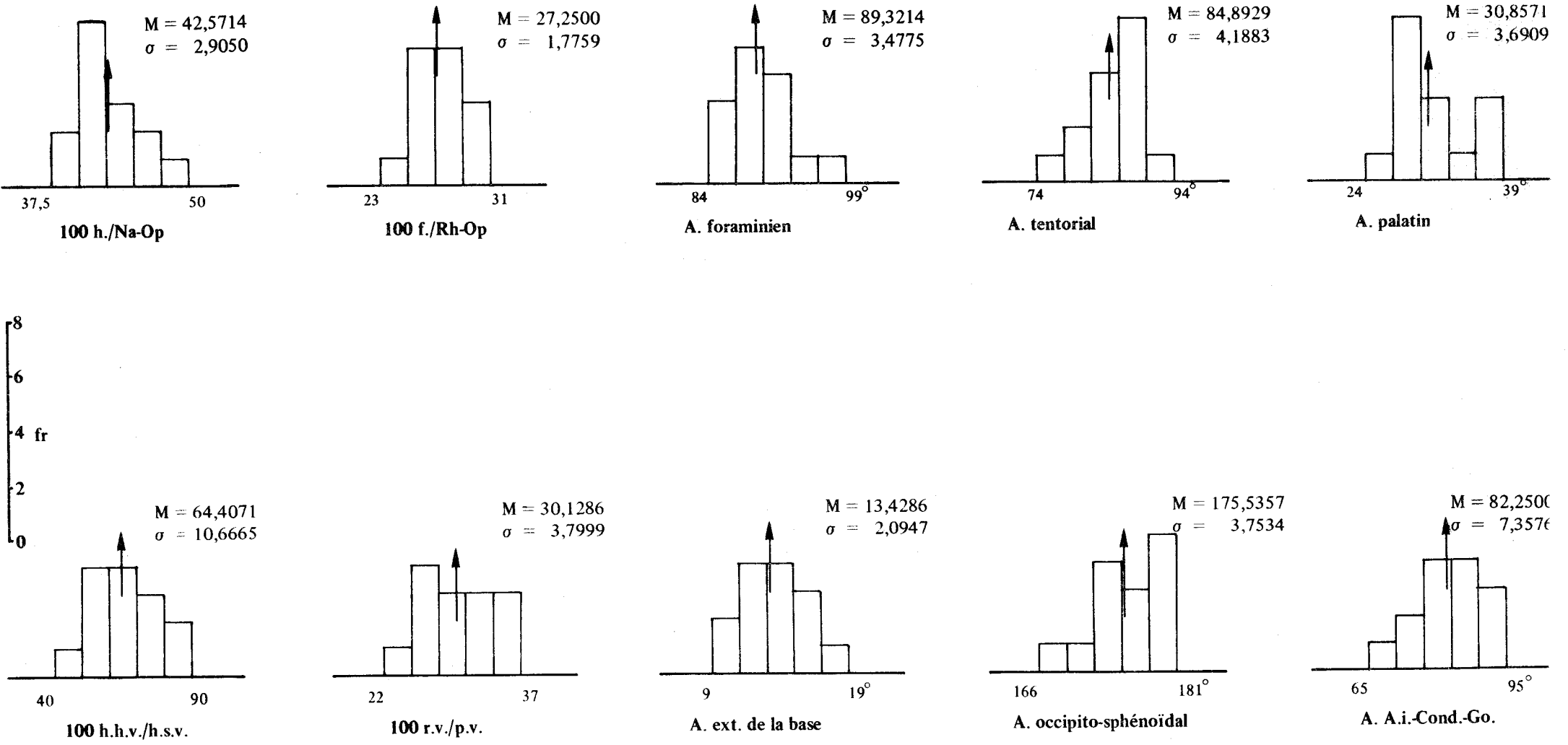
M = 42,5714
σ = 2,9050
37,5
50
100 h./Na-Op
M = 27,2500
σ = 1,7759
23
31
100 f./Rh-Op
M = 89,3214
σ = 3,4775
84
99°
A. foraminien
M = 84,8929
σ = 4,1883
74
94°
A. tentorial
M = 30,8571
σ = 3,6909
24
39°
A. palatin
8
6
4 fr
2
0
M = 64,4071
σ = 10,6665
40
90
100 h.h.v./h.s.v.
M = 30,1286
σ = 3,7999
22
37
100 r.v./p.v.
M = 13,4286
σ = 2,0947
9
19°
A. ext. de la base
M = 175,5357
σ = 3,7534
166
181°
A. occipito-sphénoïdal
M = 82,2500
σ = 7,3576
65
95°
A. A.i.-Cond.-Go.

Figure F3

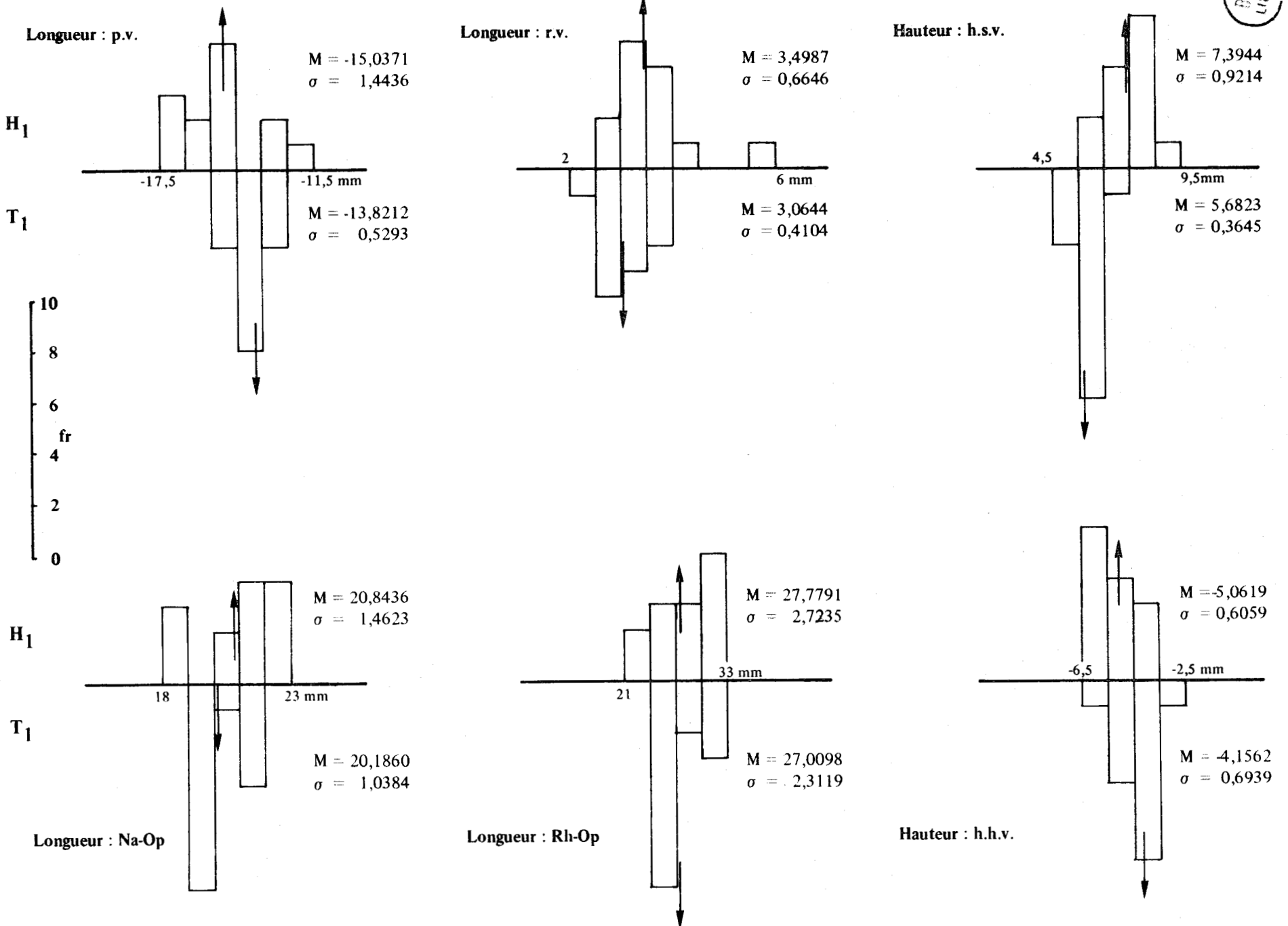
Longueur : p.v.
M = -15,0371
σ = 1,4436
H1
-17,5
-11,5 mm
T1
M = -13,8212
σ = 0,5293
10
8
6
fr
4
2
0
Longueur : r.v.
M = 3,4987
σ = 0,6646
2
6 mm
M = 3,0644
σ = 0,4104
Hauteur : h.s.v.
M = 7,3944
σ = 0,9214
4,5
9,5mm
M = 5,6823
σ = 0,3645
H1
M = 20,8436
σ = 1,4623
18
23 mm
T1
M = 20,1860
σ = 1,0384
Longueur : Na-Op
M = 27,7791
σ = 2,7235
33 mm
21
M = 27,0098
σ = 2,3119
Longueur : Rh-Op
M = -5,0619
σ = 0,6059
-6,5
-2,5 mm
M = -4,1562
σ = 0,6939
Hauteur : h.h.v.

Figure F4

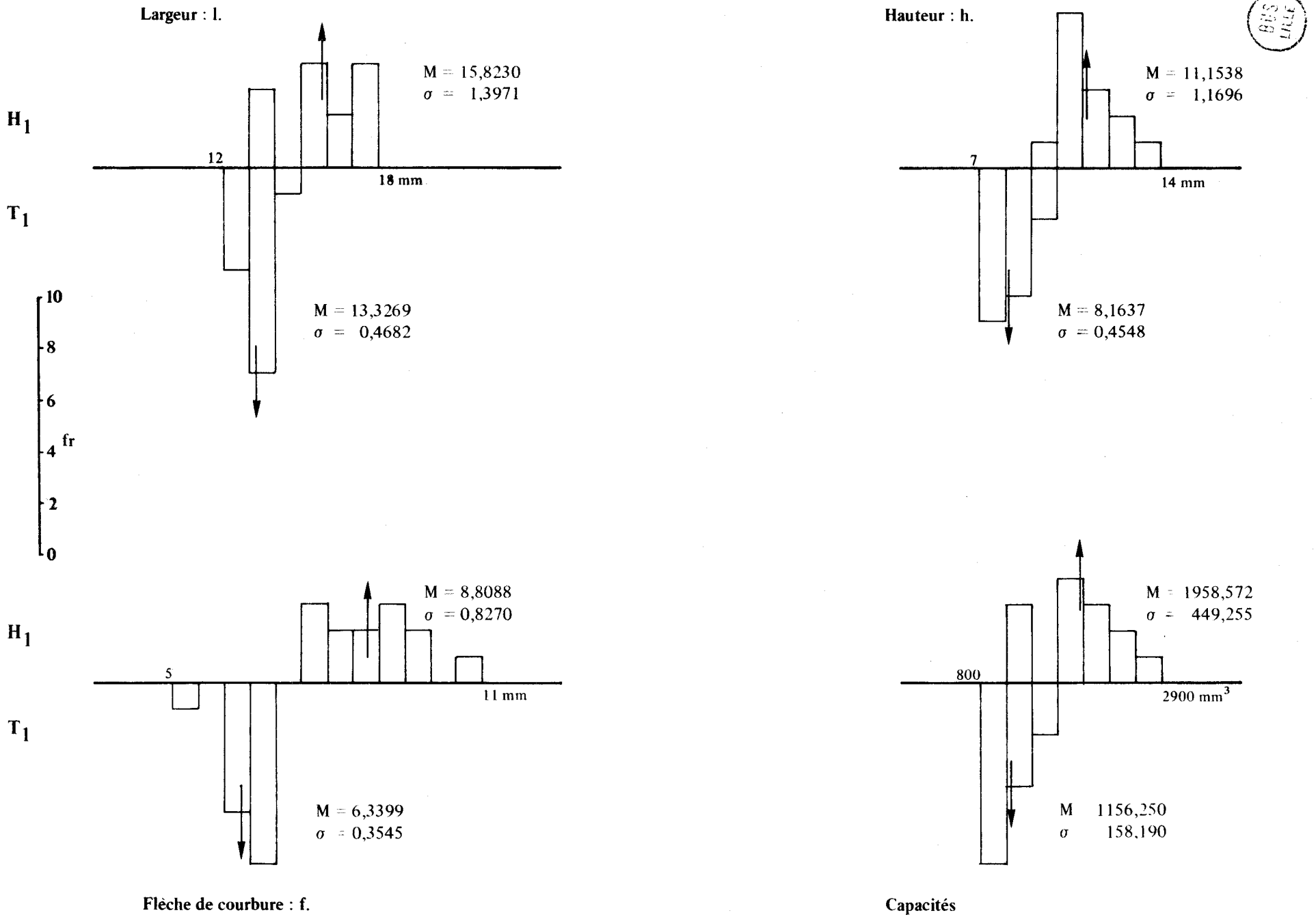

Flèche de courbure : f.

Capacités

Figure F5

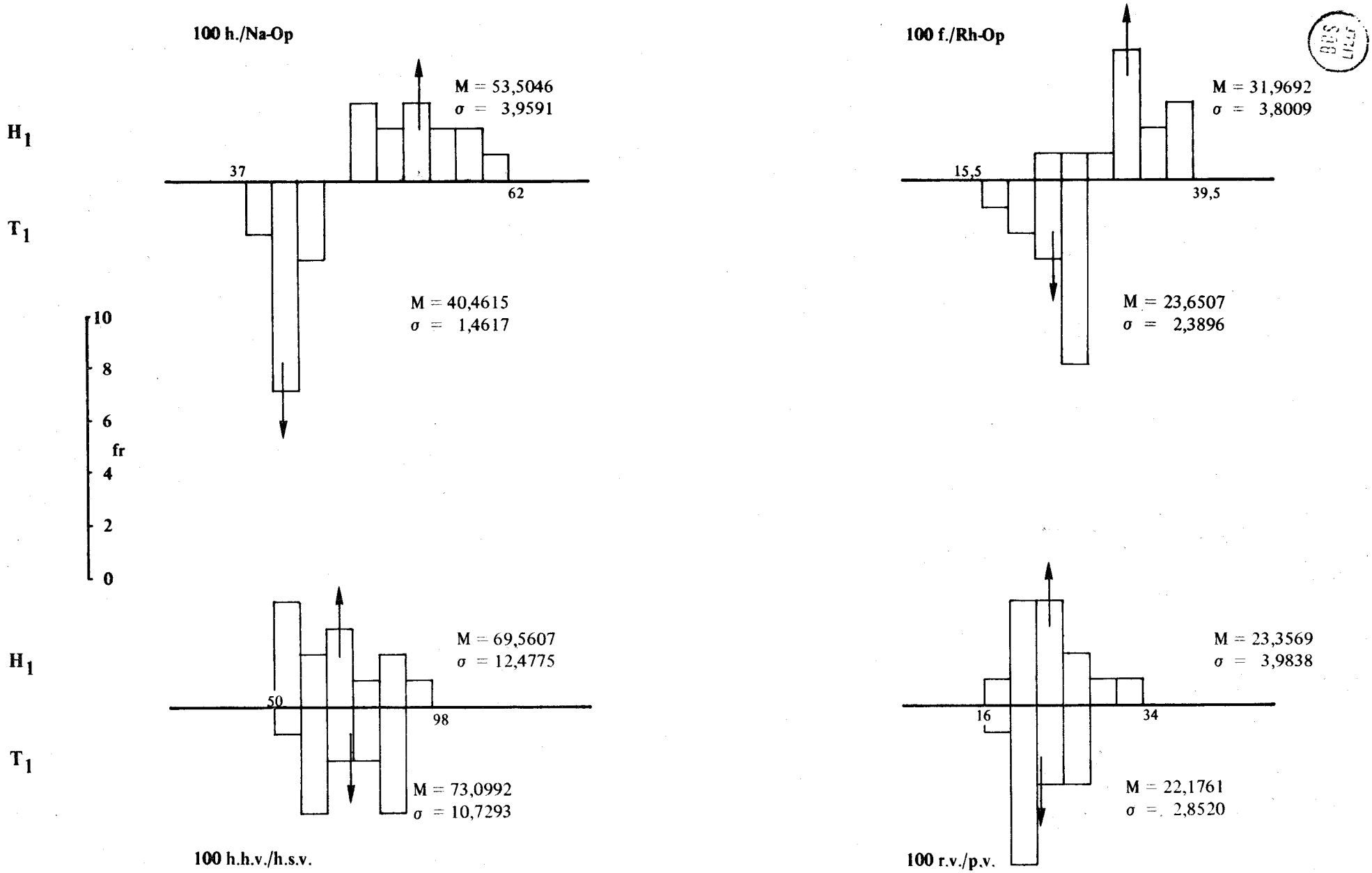
100 h./Na-Op
M = 53,5046
σ = 3,9591
H1
37
62
T1
M = 40,4615
σ = 1,4617
10
8
6
fr
4
2
0
100 f./Rh-Op
M = 31,9692
σ = 3,8009
15,5
39,5
M = 23,6507
σ = 2,3896
H1
M = 69,5607
σ = 12,4775
50
98
T1
M = 73,0992
σ = 10,7293
100 h.h.v./h.s.v.
M = 23,3569
σ = 3,9838
16
34
M = 22,1761
σ = 2,8520
100 r.v./p.v.

Figure F6

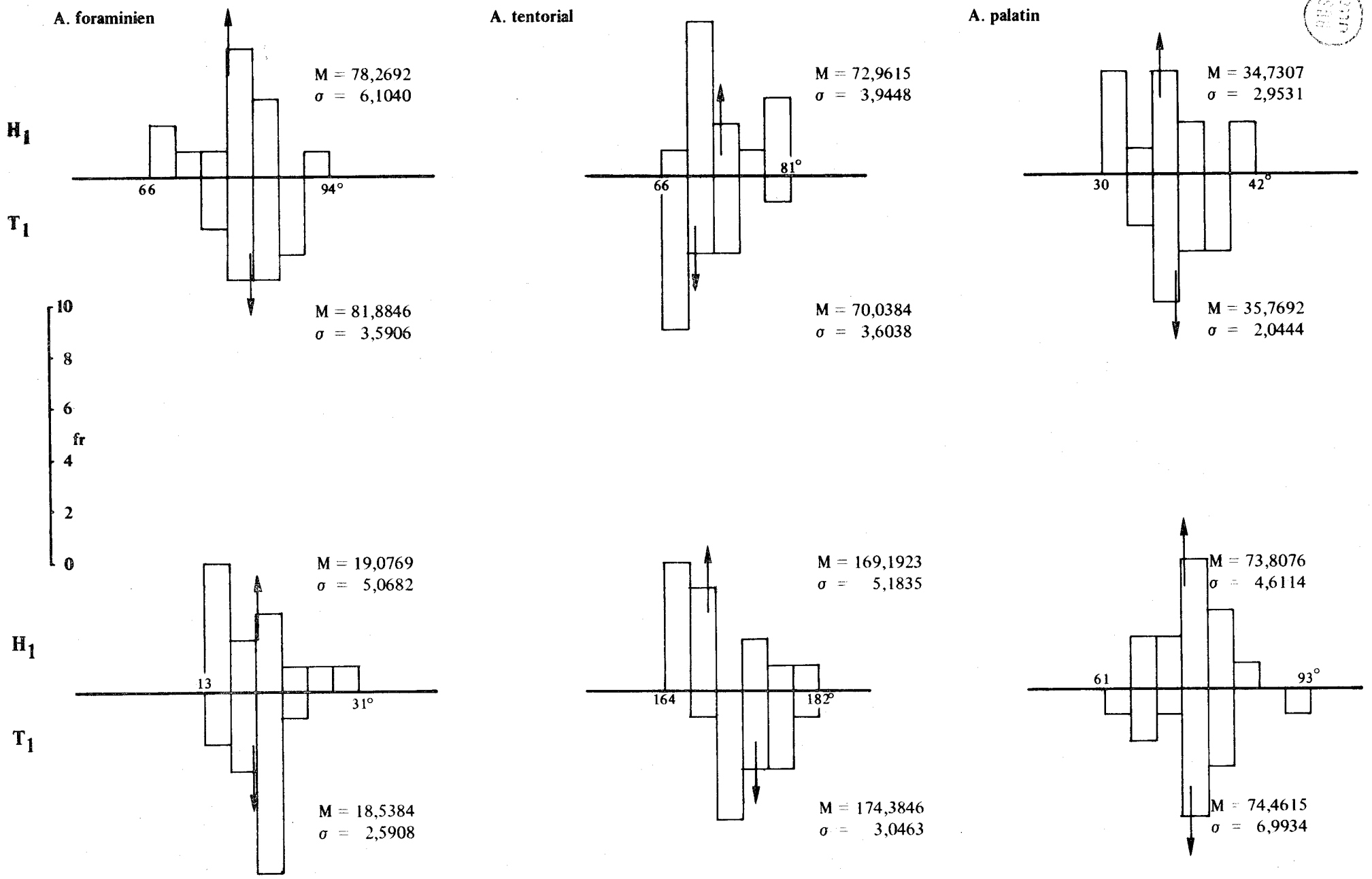
A. foraminien
M = 78,2692
σ = 6,1040
H1
T1
66
94°
M = 81,8846
σ = 3,5906
10
8
6
fr
4
2
0
A. tentorial
M = 72,9615
σ = 3,9448
81°
66
M = 70,0384
σ = 3,6038
A. palatin
M = 34,7307
σ = 2,9531
30
42°
M = 35,7692
σ = 2,0444
M = 19,0769
σ = 5,0682
H1
T1
13
31°
M = 18,5384
σ = 2,5908
A. ext. de la base
M = 169,1923
σ = 5,1835
164
182°
M = 174,3846
σ = 3,0463
A. occipito-sphénoïdal
M = 73,8076
σ = 4,6114
61
93°
M = 74,4615
σ = 6,9934
A. A.i.-Cond.-Go.

Figure F7

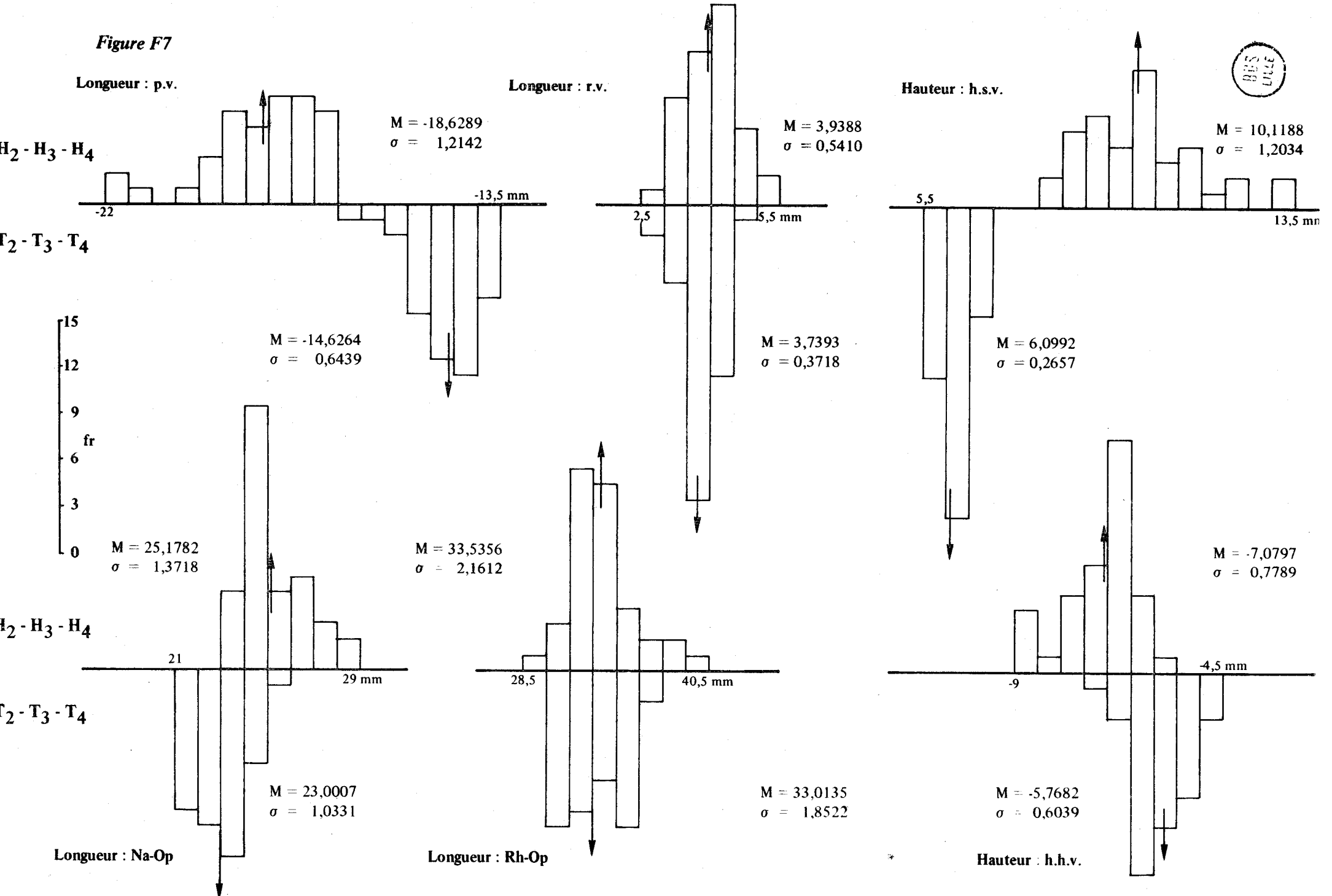
Longueur : p.v.
M = -18,6289
σ = 1,2142
-22
-13,5 mm
Longueur : r.v.
M = 3,9388
σ = 0,5410
2,5
5,5 mm
Hauteur : h.s.v.
M = 10,1188
σ = 1,2034
5,5
13,5 mm
H2 - H3 - H4
T2 - T3 - T4
M = -14,6264
σ = 0,6439
M = 3,7393
σ = 0,3718
M = 6,0992
σ = 0,2657
15
12
9
fr
6
3
0
M = 25,1782
σ = 1,3718
M = 33,5356
σ = 2,1612
M = -7,0797
σ = 0,7789
H2 - H3 - H4
21
29 mm
28,5
40,5 mm
-4,5 mm
-9
T2 - T3 - T4
M = 23,0007
σ = 1,0331
M = 33,0135
σ = 1,8522
M = -5,7682
σ = 0,6039
Longueur : Na-Op
Longueur : Rh-Op
Hauteur : h.h.v.

Figure F8

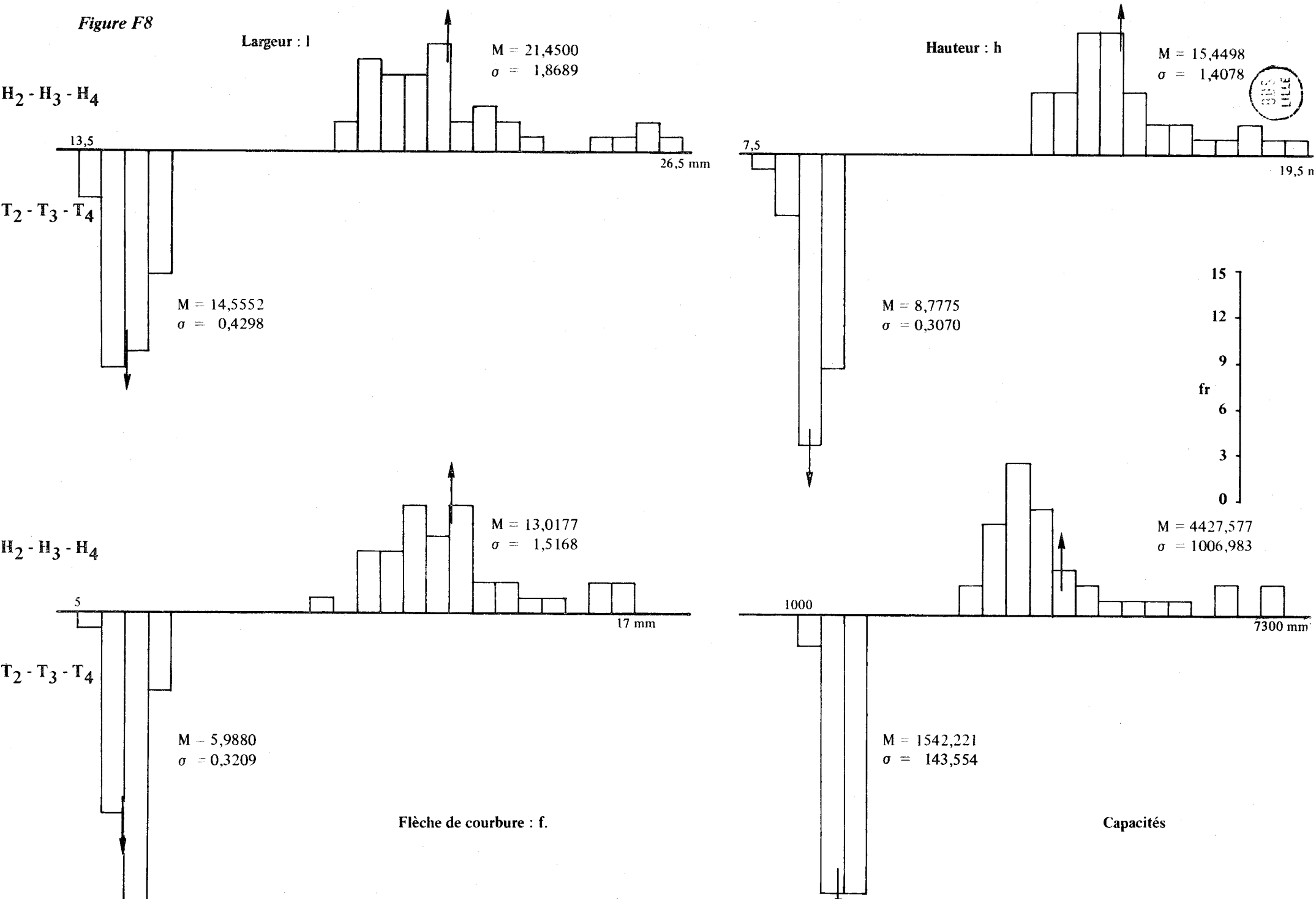
Largeur : l
M = 21,4500
σ = 1,8689
H2 - H3 - H4
13,5
26,5 mm
T2 - T3 - T4
M = 14,5552
σ = 0,4298
Hauteur : h
M = 15,4498
σ = 1,4078
7,5
19,5 n
M = 8,7775
σ = 0,3070
15
12
9
fr
6
3
0
M = 13,0177
σ = 1,5168
H2 - H3 - H4
5
17 mm
T2 - T3 - T4
M = 5,9880
σ = 0,3209
Flèche de courbure : f.
M = 4427,577
σ = 1006,983
1000
7300 mm
M = 1542,221
σ = 143,554
Capacités

Figure F9

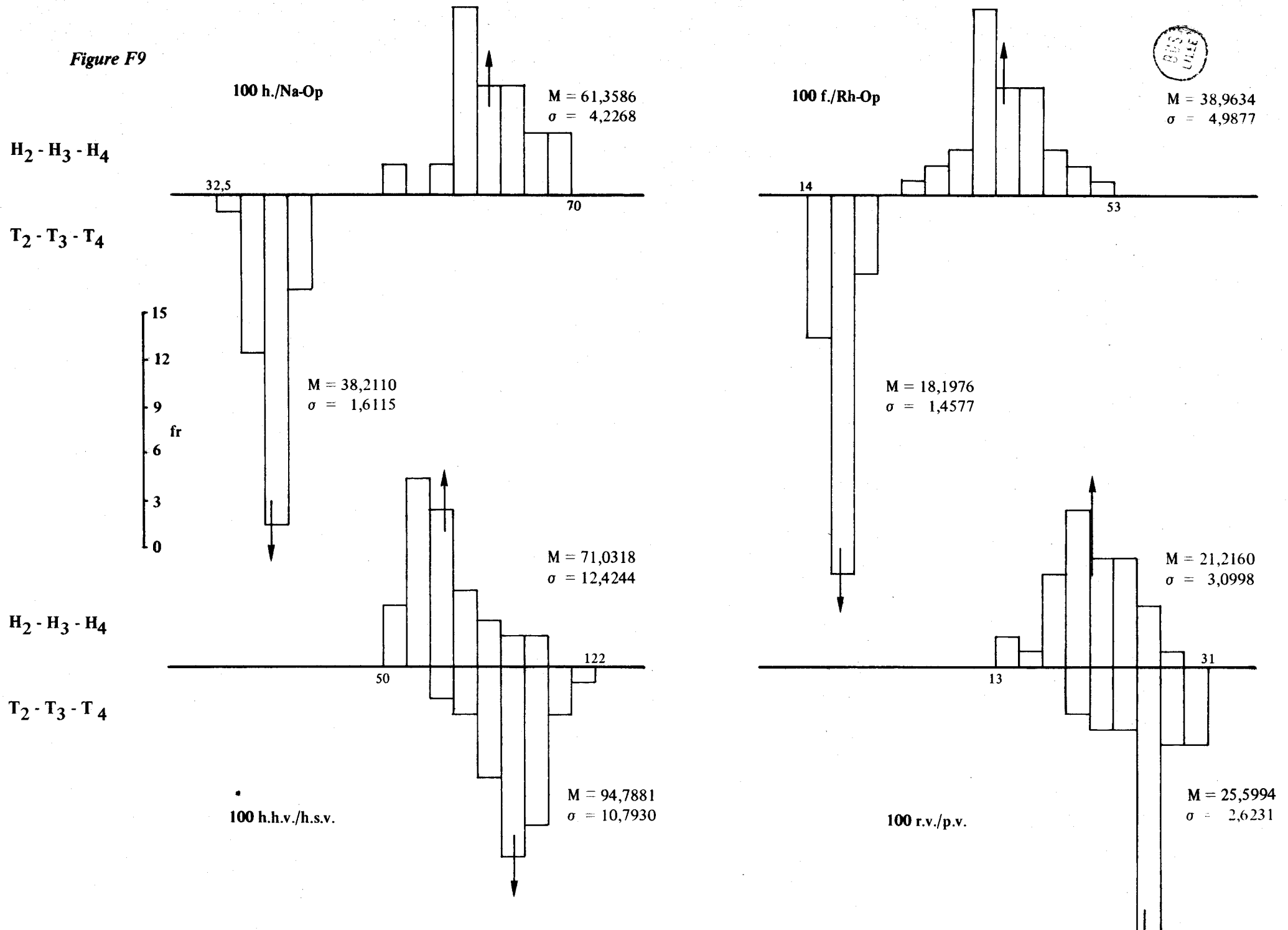
100 h./Na-Op
M = 61,3586
σ = 4,2268
H2 - H3 - H4
32,5
70
T2 - T3 - T4
15
12
9
6
3
0
fr
M = 38,2110
σ = 1,6115
100 f./Rh-Op
M = 38,9634
σ = 4,9877
14
53
M = 18,1976
σ = 1,4577
M = 71,0318
σ = 12,4244
H2 - H3 - H4
50
122
T2 - T3 - T4
M = 94,7881
σ = 10,7930
100 h.h.v./h.s.v.
M = 21,2160
σ = 3,0998
13
31
M = 25,5994
σ = 2,6231
100 r.v./p.v.

Figure F10

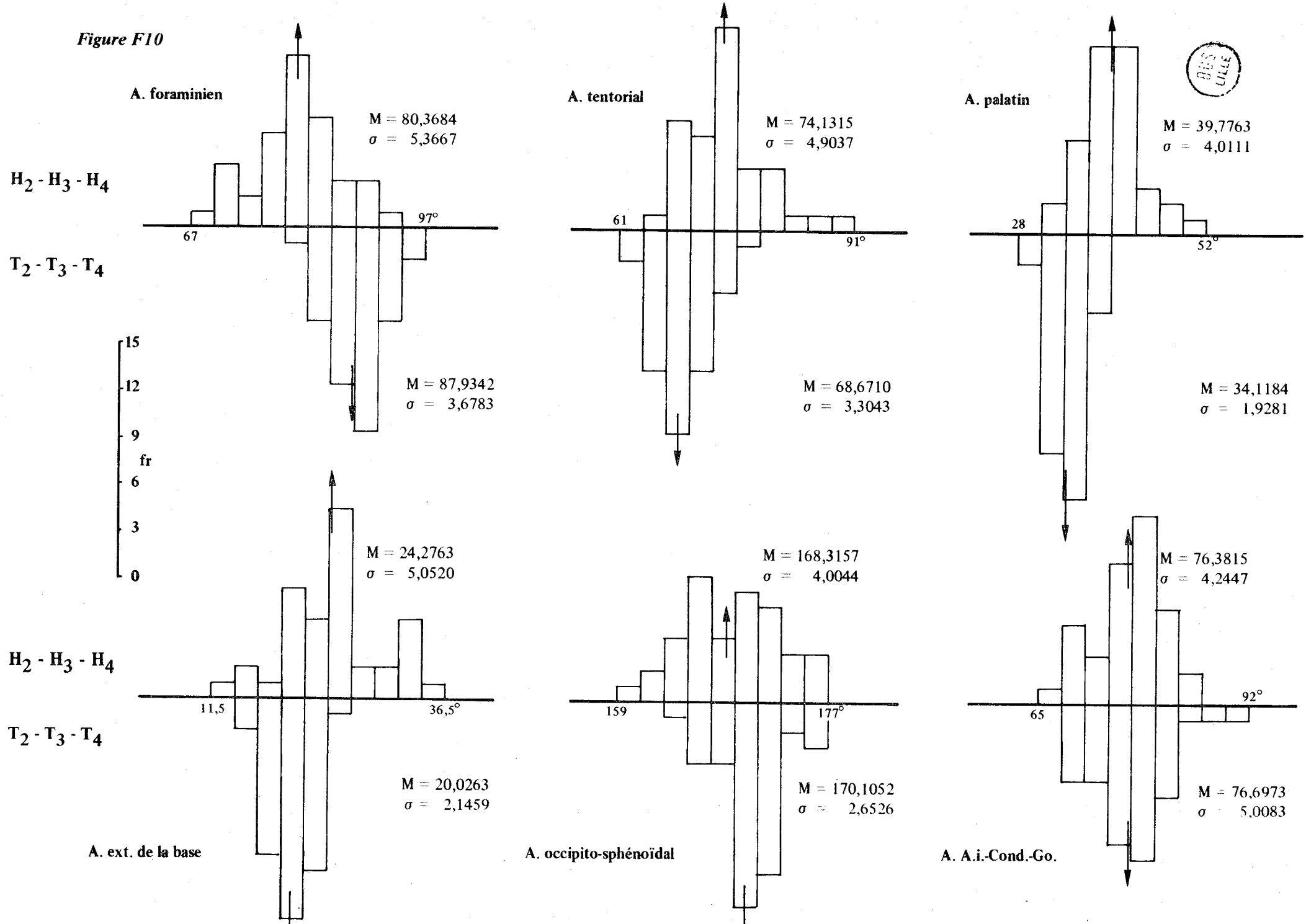
A. foraminien
M = 80,3684
σ = 5,3667
67
97°
M = 87,9342
σ = 3,6783
A. tentorial
M = 74,1315
σ = 4,9037
61
91°
M = 68,6710
σ = 3,3043
A. palatin
M = 39,7763
σ = 4,0111
28
52°
M = 34,1184
σ = 1,9281
H2 - H3 - H4
T2 - T3 - T4
15
12
9
fr
6
3
0
M = 24,2763
σ = 5,0520
11,5
36,5°
M = 20,0263
σ = 2,1459
A. ext. de la base
M = 168,3157
σ = 4,0044
159
177°
M = 170,1052
σ = 2,6526
A. occipito-sphénoïdal
M = 76,3815
σ = 4,2447
65
92°
M = 76,6973
σ = 5,0083
A. A.i.-Cond.-Go.

Figure F11

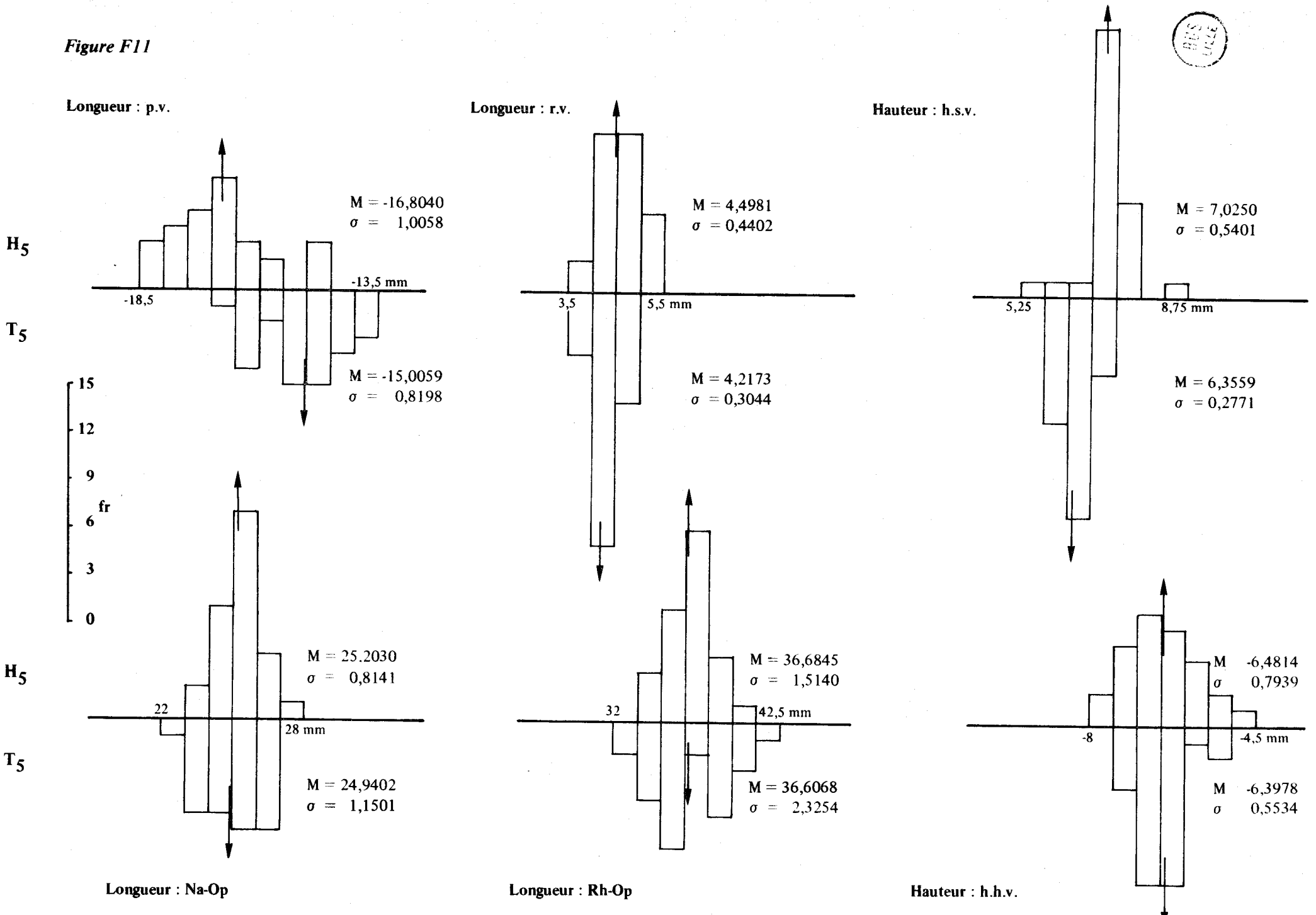
Longueur : p.v.
Longueur : r.v.
Hauteur : h.s.v.
H5
T5
M = -16,8040
σ = 1,0058
-13,5 mm
-18,5
M = -15,0059
σ = 0,8198
M = 4,4981
σ = 0,4402
3,5
5,5 mm
M = 4,2173
σ = 0,3044
M = 7,0250
σ = 0,5401
5,25
8,75 mm
M = 6,3559
σ = 0,2771
15
12
9
fr
6
3
0
M = 25.2030
σ = 0,8141
22
28 mm
M = 24,9402
σ = 1,1501
M = 36,6845
σ = 1,5140
32
42,5 mm
M = 36,6068
σ = 2,3254
M -6,4814
σ 0,7939
-8
-4,5 mm
M -6,3978
σ 0,5534
Longueur : Na-Op
Longueur : Rh-Op
Hauteur : h.h.v.

Figure F12

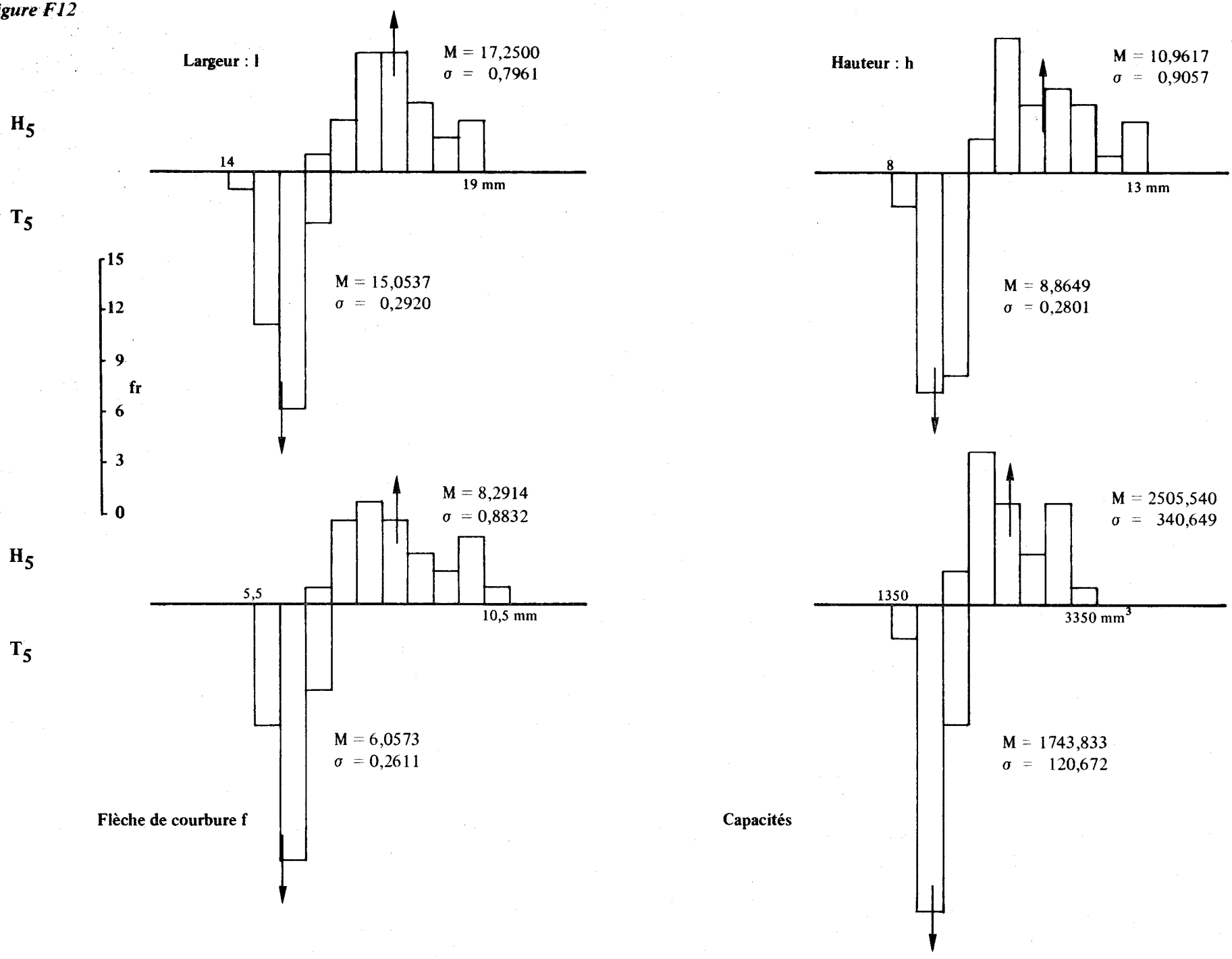
Largeur : l
M = 17,2500
σ = 0,7961
14
19 mm
H5
T5
15
12
9
fr
6
3
0
M = 15,0537
σ = 0,2920
Hauteur : h
M = 10,9617
σ = 0,9057
8
13 mm
M = 8,8649
σ = 0,2801
M = 8,2914
σ = 0,8832
5,5
10,5 mm
H5
T5
M = 6,0573
σ = 0,2611
Flèche de courbure f
M = 2505,540
σ = 340,649
1350
3350 mm3
M = 1743,833
σ = 120,672
Capacités

Figure F13

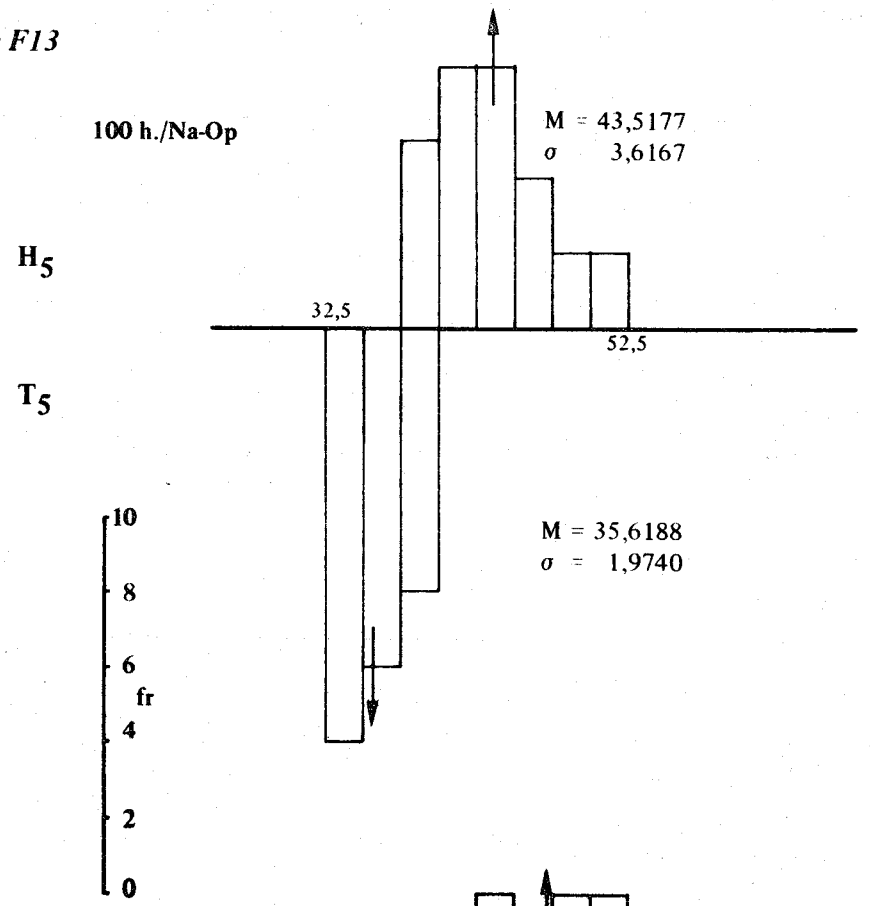
100 h./Na-Op
M = 43,5177
σ 3,6167
H5
32,5
52,5
T5
M = 35,6188
σ = 1,9740
10
8
6
fr
4
2
0

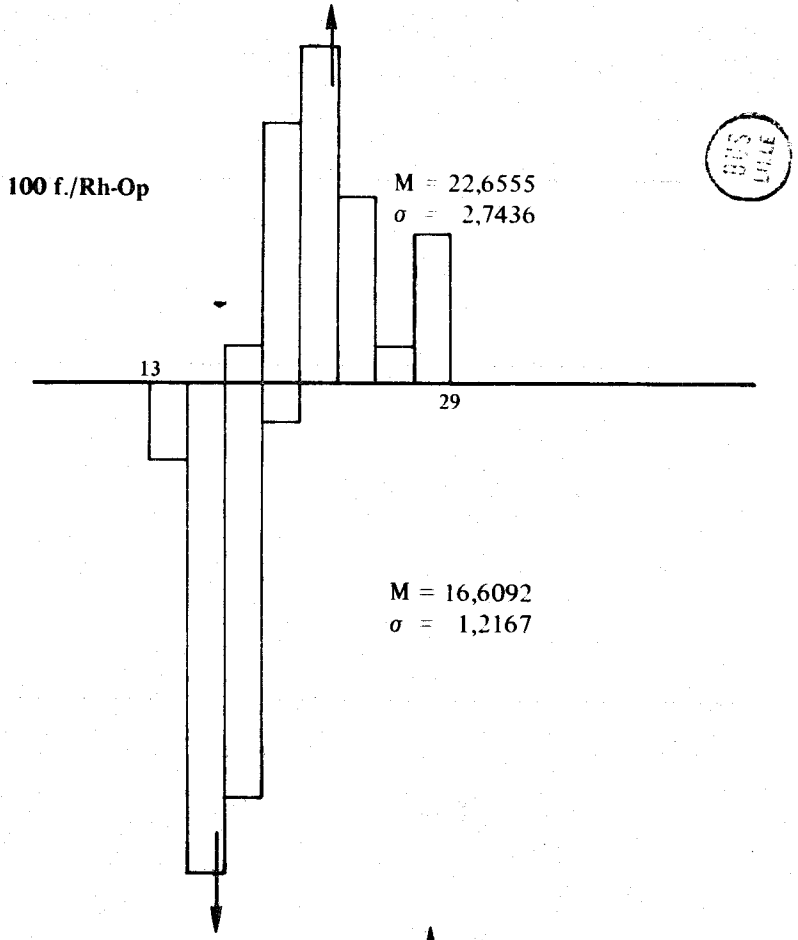
100 f./Rh-Op
M = 22,6555
σ = 2,7436
13
29
M = 16,6092
σ = 1,2167

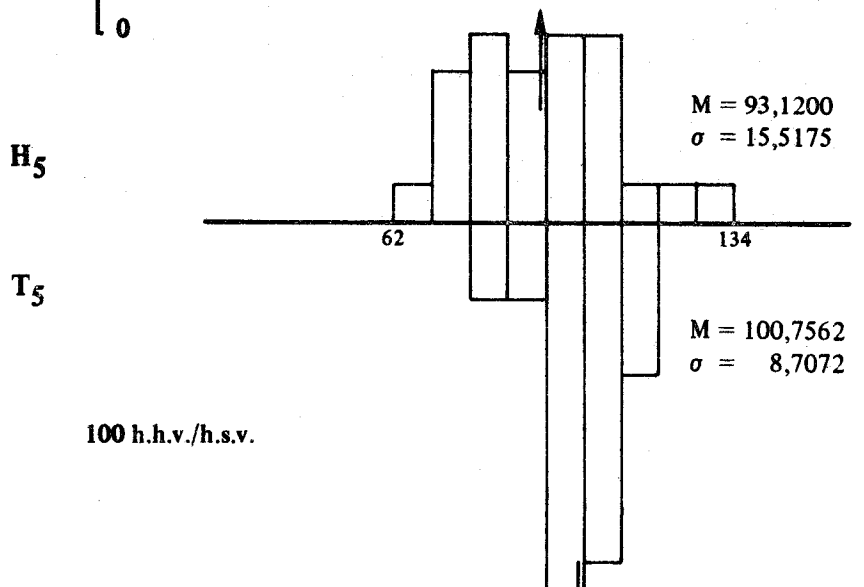
H5
M = 93,1200
σ = 15,5175
62
134
T5
M = 100,7562
σ = 8,7072
100 h.h.v./h.s.v.

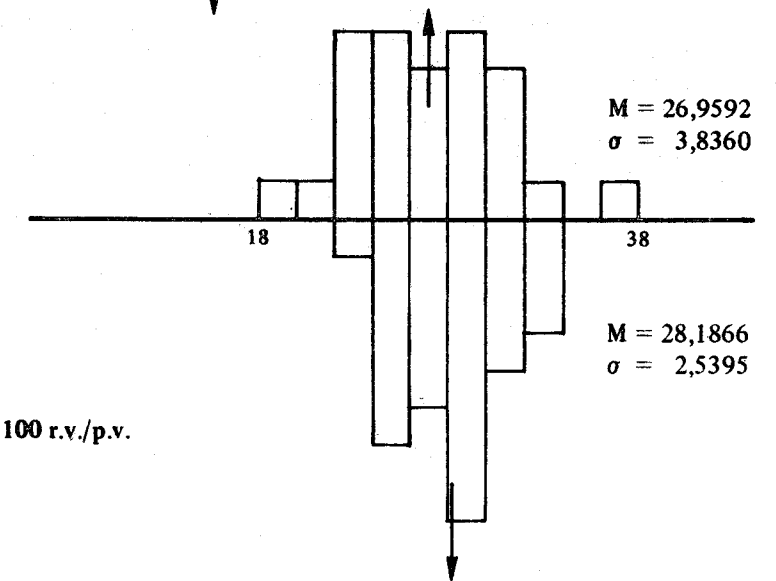
M = 26,9592
σ = 3,8360
18
38
M = 28,1866
σ = 2,5395
100 r.v./p.v.

Figure F14

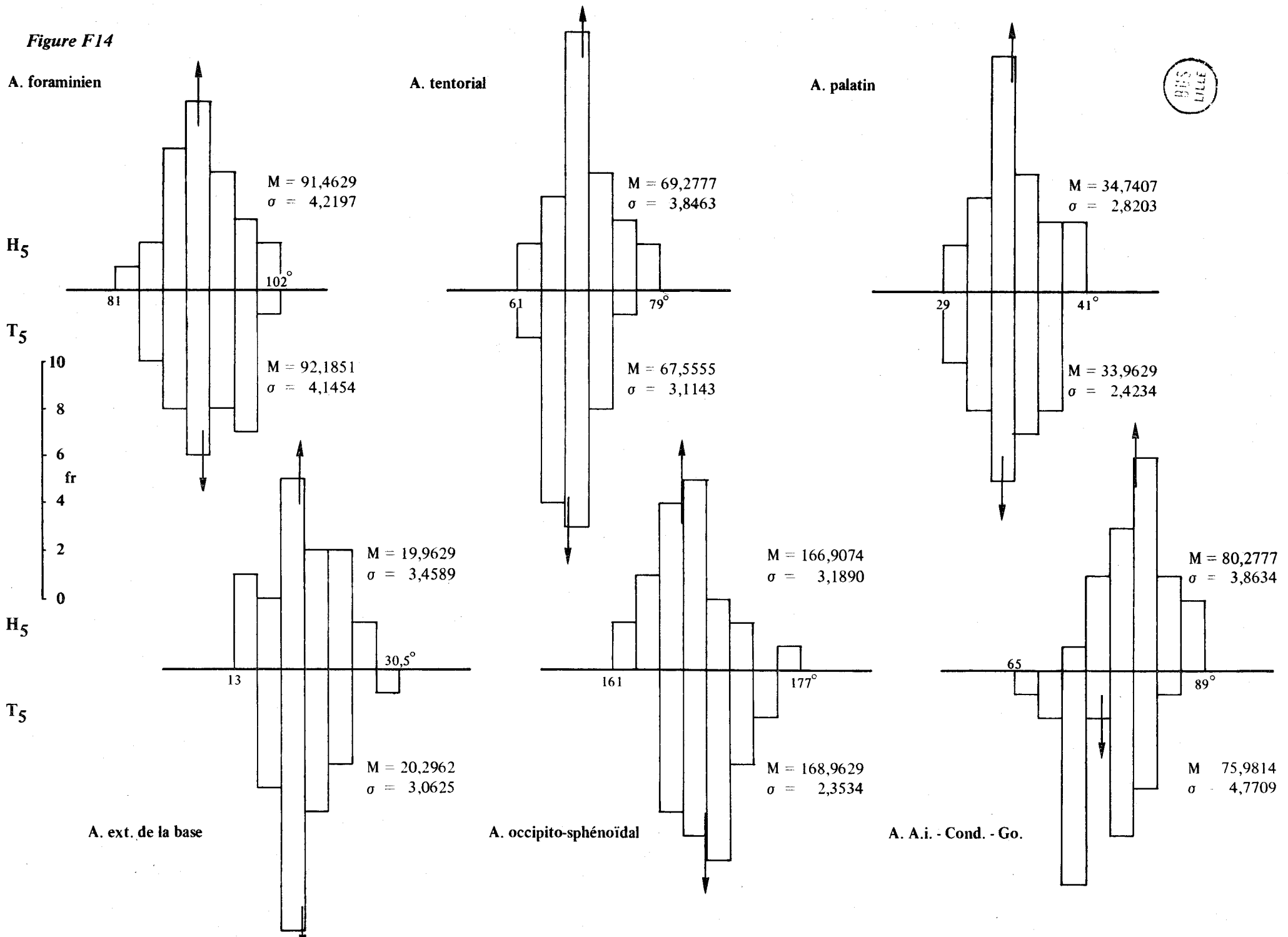
A. foraminien
M = 91,4629
σ = 4,2197
H5
102°
81
T5
M = 92,1851
σ = 4,1454
10
8
6
fr
4
2
0
A. tentorial
M = 69,2777
σ = 3,8463
61
79°
M = 67,5555
σ = 3,1143
A. palatin
M = 34,7407
σ = 2,8203
29
41°
M = 33,9629
σ = 2,4234
M = 19,9629
σ = 3,4589
H5
30,5°
13
T5
M = 20,2962
σ = 3,0625
A. ext. de la base
M = 166,9074
σ = 3,1890
161
177°
M = 168,9629
σ = 2,3534
A. occipito-sphénoïdal
M = 80,2777
σ = 3,8634
65
89°
M 75,9814
σ 4,7709
A. A.i. - Cond. - Go.

Figure F15

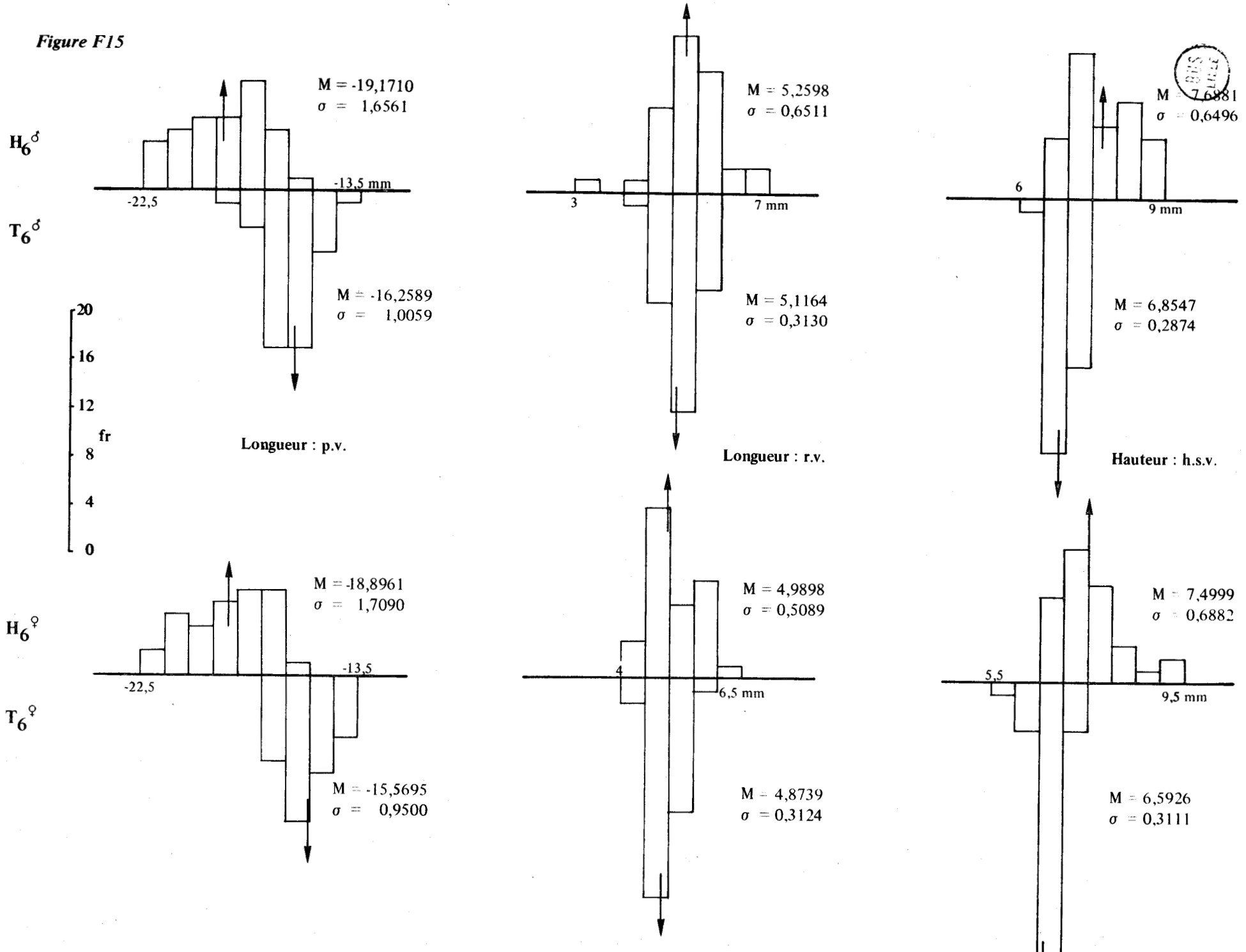
H6♂
T6♂
M = -19,1710
σ = 1,6561
-22,5
-13,5 mm
M = -16,2589
σ = 1,0059
20
16
12
8
4
0
fr
Longueur : p.v.
M = 5,2598
σ = 0,6511
3
7 mm
M = 5,1164
σ = 0,3130
Longueur : r.v.
M = 7,6881
σ = 0,6496
6
9 mm
M = 6,8547
σ = 0,2874
Hauteur : h.s.v.
H6♀
T6♀
M = -18,8961
σ = 1,7090
-22,5
-13,5
M = -15,5695
σ = 0,9500
M = 4,9898
σ = 0,5089
4
6,5 mm
M = 4,8739
σ = 0,3124
M = 7,4999
σ = 0,6882
5,5
9,5 mm
M = 6,5926
σ = 0,3111

Figure F16

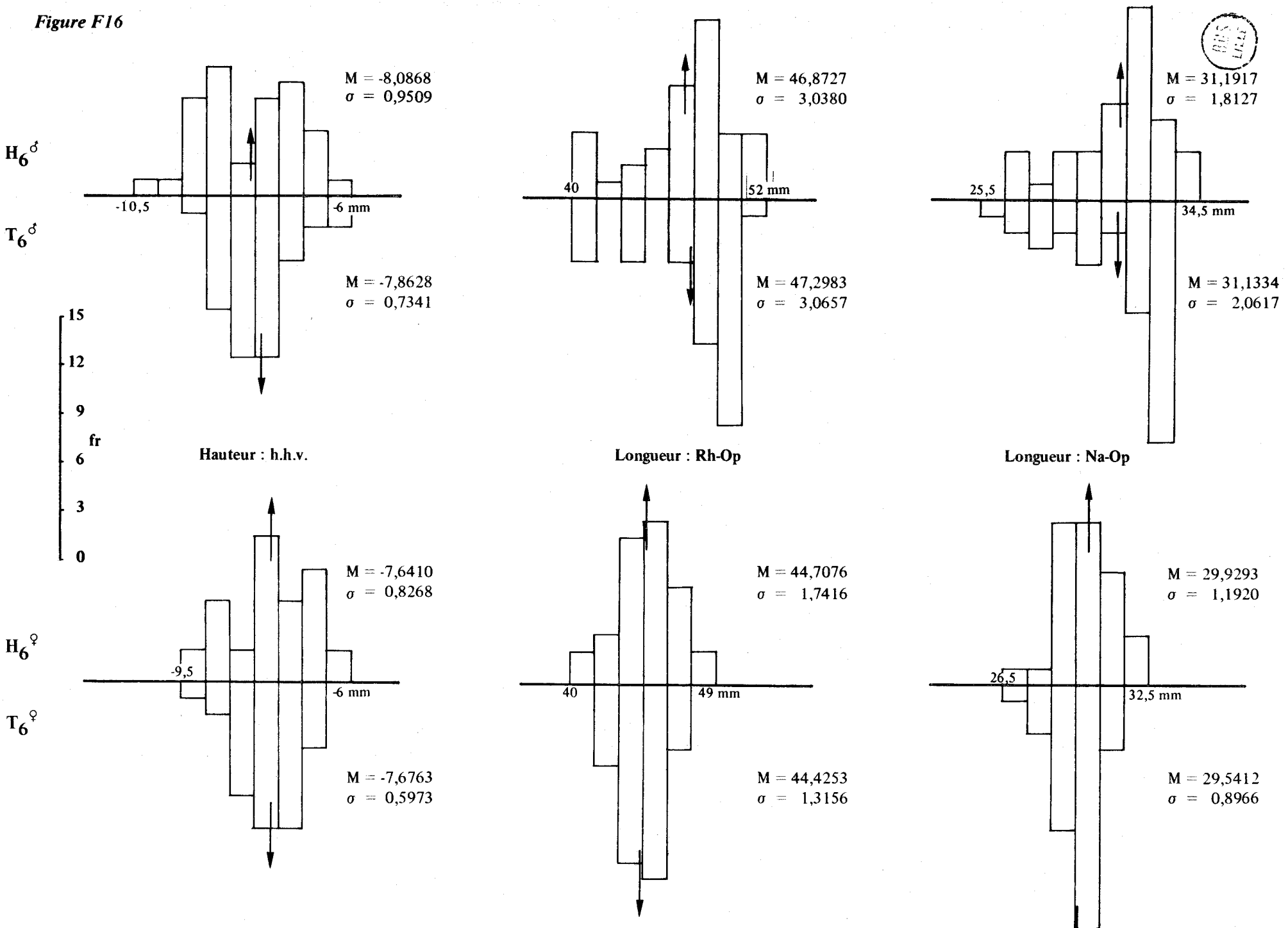
H6♂
T6♂
M = -8,0868
σ = 0,9509
-10,5
-6 mm
M = -7,8628
σ = 0,7341
15
12
9
6
3
0
fr
Hauteur : h.h.v.
M = 46,8727
σ = 3,0380
40
52 mm
M = 47,2983
σ = 3,0657
Longueur : Rh-Op
M = 31,1917
σ = 1,8127
25,5
34,5 mm
M = 31,1334
σ = 2,0617
Longueur : Na-Op
H6♀
T6♀
M = -7,6410
σ = 0,8268
-9,5
-6 mm
M = -7,6763
σ = 0,5973
M = 44,7076
σ = 1,7416
40
49 mm
M = 44,4253
σ = 1,3156
M = 29,9293
σ = 1,1920
26,5
32,5 mm
M = 29,5412
σ = 0,8966

Figure F17

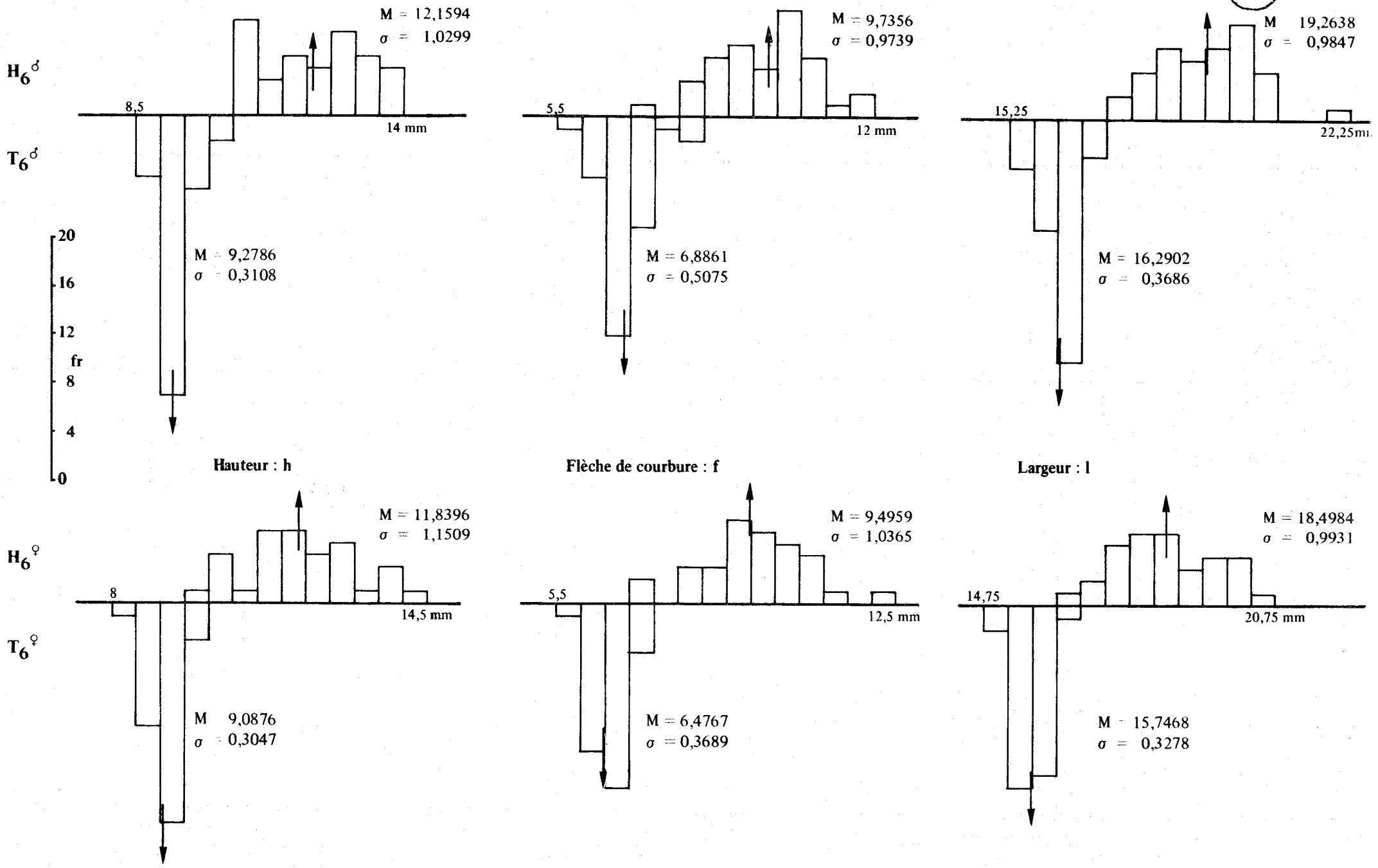
H_6♂
T_6♂
M = 12,1594
σ = 1,0299
8,5
14 mm
M = 9,2786
σ = 0,3108
20
16
12
fr
8
4
0
M = 9,7356
σ = 0,9739
5,5
12 mm
M = 6,8861
σ = 0,5075
M 19,2638
σ = 0,9847
15,25
22,25mm
M = 16,2902
σ = 0,3686
Hauteur : h
Flèche de courbure : f
Largeur : l
H_6♀
T_6♀
M = 11,8396
σ = 1,1509
8
14,5 mm
M 9,0876
σ = 0,3047
M = 9,4959
σ = 1,0365
5,5
12,5 mm
M = 6,4767
σ = 0,3689
M = 18,4984
σ = 0,9931
14,75
20,75 mm
M = 15,7468
σ = 0,3278

Figure F18

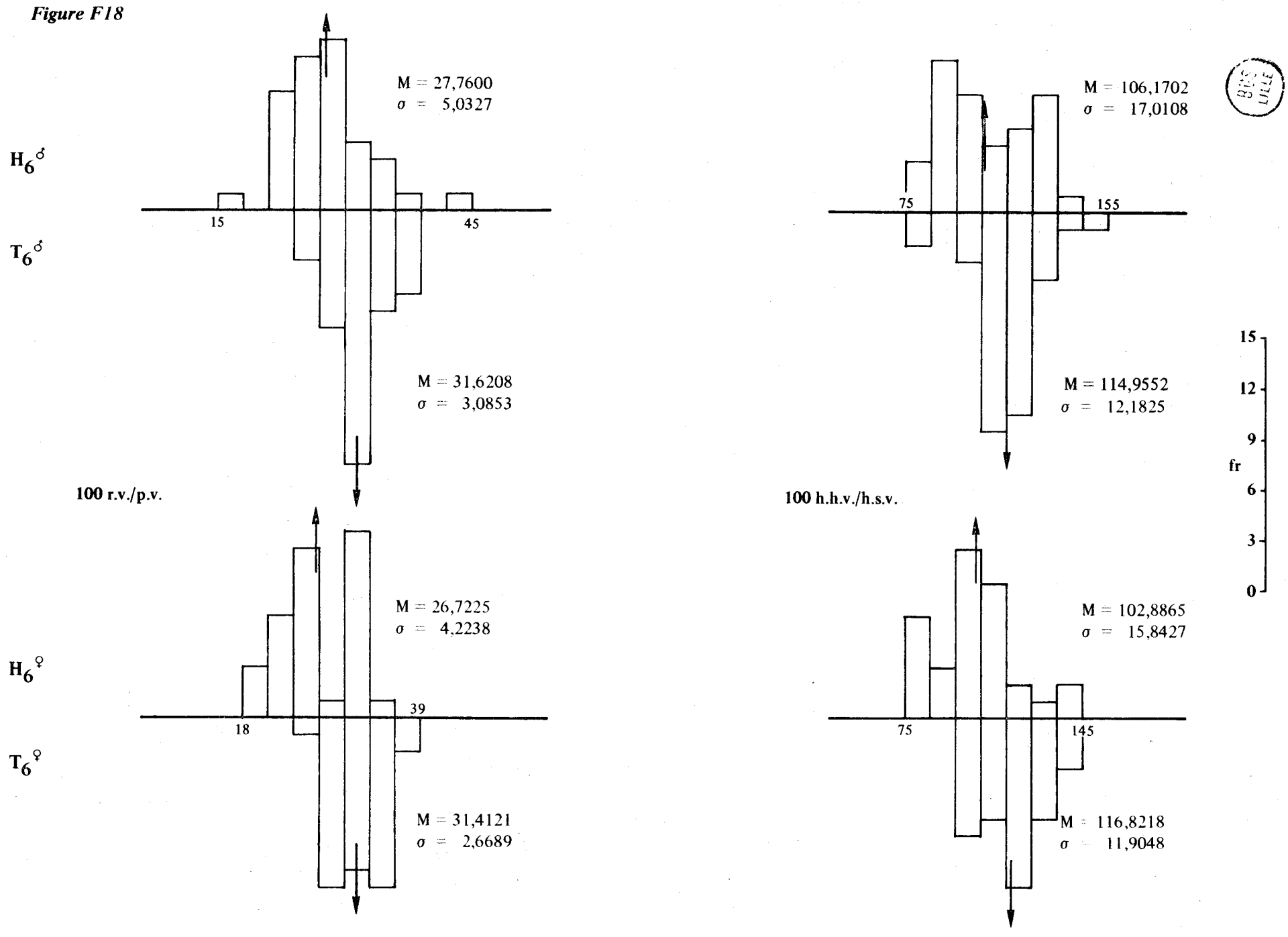
H6♂
T6♂
M = 27,7600
σ = 5,0327
15
45
M = 31,6208
σ = 3,0853
100 r.v./p.v.
M = 106,1702
σ = 17,0108
75
155
M = 114,9552
σ = 12,1825
100 h.h.v./h.s.v.
15
12
9
fr
6
3
0
H6♀
T6♀
M = 26,7225
σ = 4,2238
18
39
M = 31,4121
σ = 2,6689
M = 102,8865
σ = 15,8427
75
145
M = 116,8218
σ = 11,9048

Figure F19

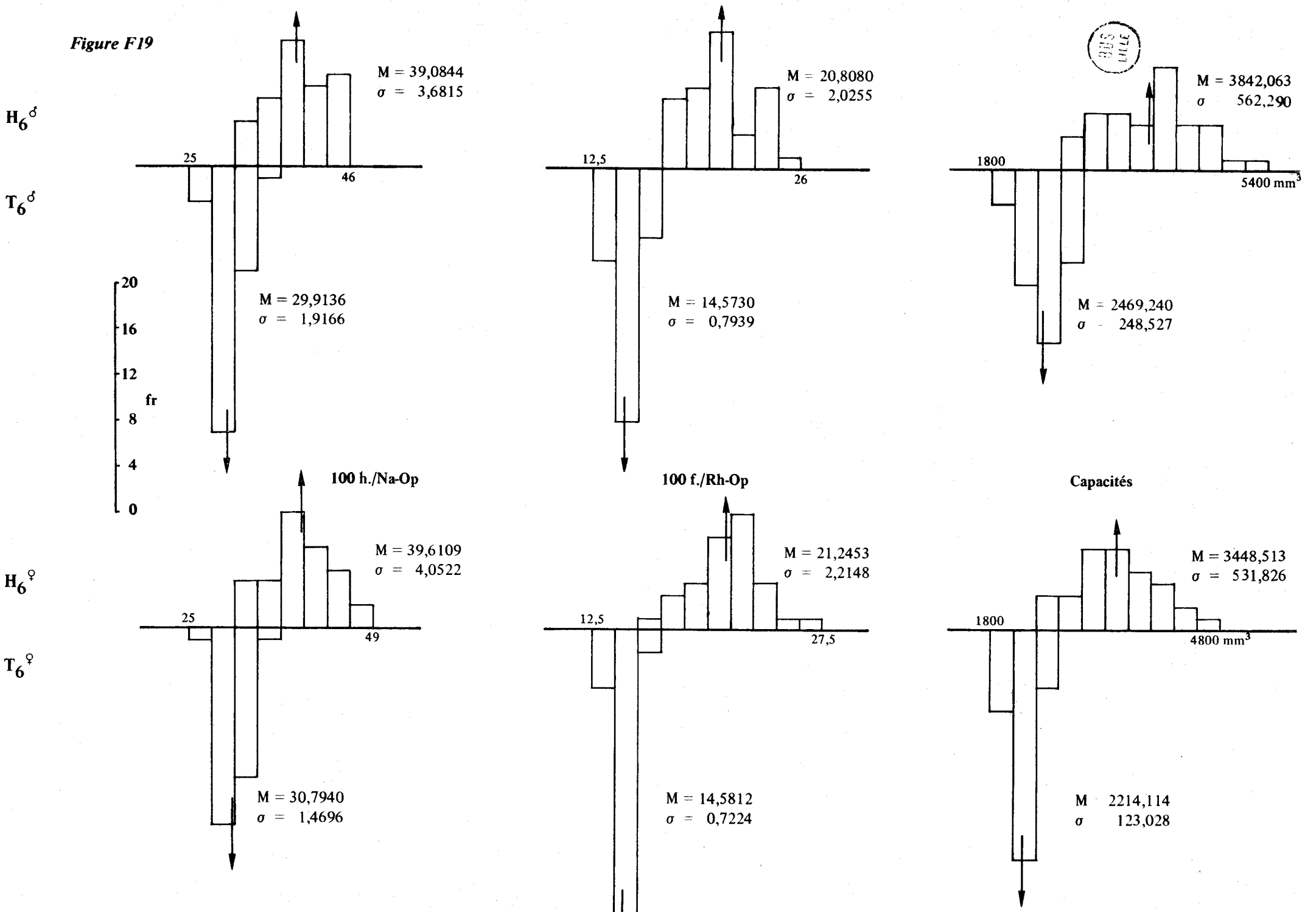
H6♂
T6♂
M = 39,0844
σ = 3,6815
25
46
M = 29,9136
σ = 1,9166
20
16
12
fr
8
4
0
M = 20,8080
σ = 2,0255
12,5
26
M = 14,5730
σ = 0,7939
M = 3842,063
σ 562,290
1800
5400 mm³
M = 2469,240
σ 248,527
100 h./Na-Op
H6♀
T6♀
M = 39,6109
σ = 4,0522
25
49
M = 30,7940
σ = 1,4696
100 f./Rh-Op
M = 21,2453
σ = 2,2148
12,5
27,5
M = 14,5812
σ = 0,7224
Capacités
M = 3448,513
σ = 531,826
1800
4800 mm³
M 2214,114
σ 123,028

Figure F20

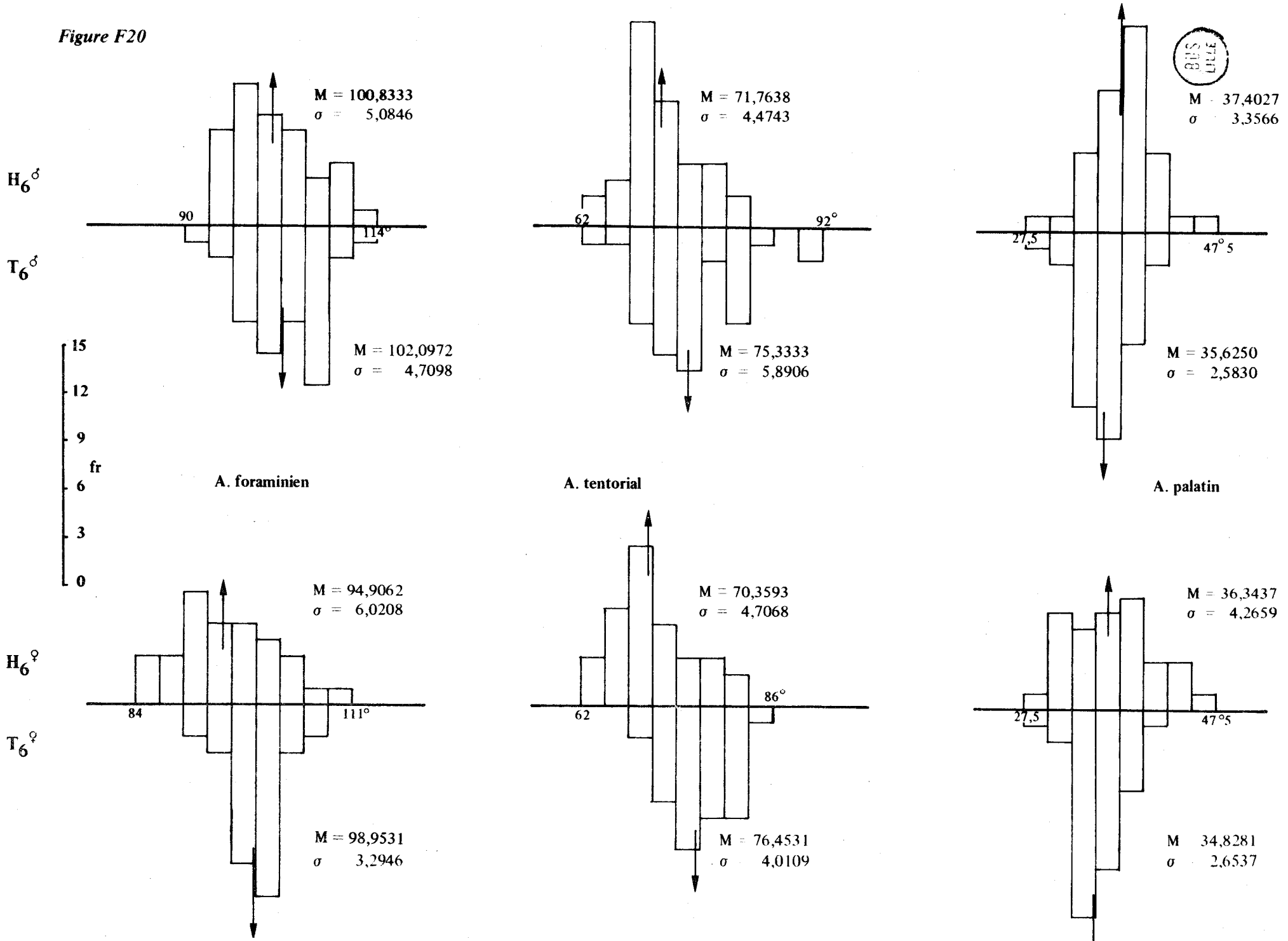
H6♂
T6♂
M = 100,8333
σ = 5,0846
90
114°
M = 102,0972
σ = 4,7098
A. foraminien
M = 71,7638
σ = 4,4743
62
92°
M = 75,3333
σ = 5,8906
A. tentorial
M = 37,4027
σ = 3,3566
27,5
47°5
M = 35,6250
σ = 2,5830
A. palatin
15
12
9
fr
6
3
0
H6♀
T6♀
M = 94,9062
σ = 6,0208
84
111°
M = 98,9531
σ 3,2946
M = 70,3593
σ = 4,7068
62
86°
M = 76,4531
σ 4,0109
M = 36,3437
σ = 4,2659
27,5
47°5
M 34,8281
σ 2,6537

Figure F21

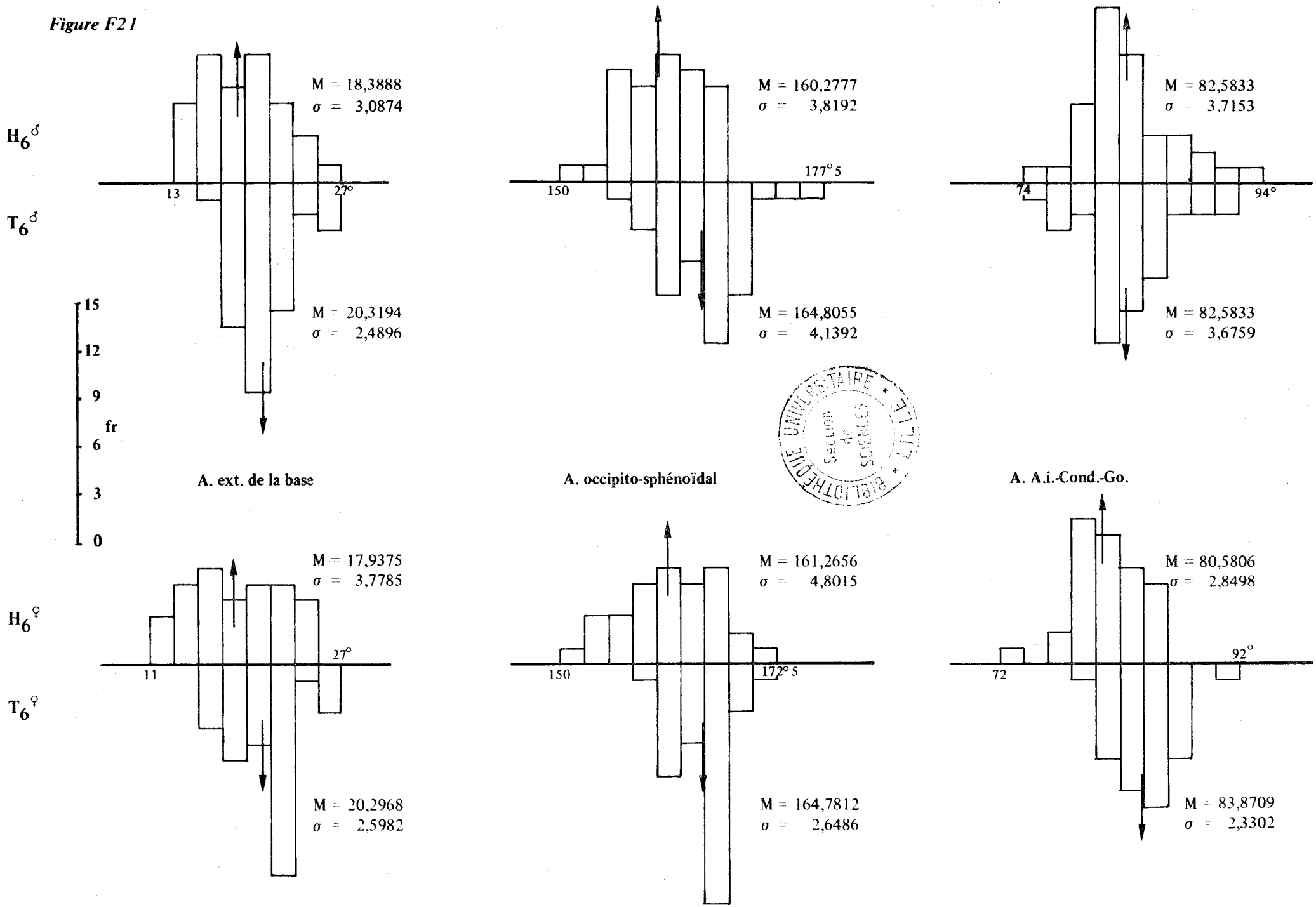

BIBLIOTHÈQUE UNIVERSITAIRE LILLE Section de Sciences

Travail du Laboratoire de Crâniologie Comparée
de la Faculté Libre de Médecine

E.R. 93 du C.N.R.S.

56, rue du Port

59 - Lille - France